

# أشكال سطح الأرض

تأليف

محمد مجدى تراب

أستاذ الجغرافية الطبيعية

كلية آداب دمنهور - جامعة الإسكندرية

٢٠٠٥

توزيع منشأة المعارف

حقوق الطبع محفوظة للمؤلف، غير مسموح بطبع أى جزء من أجزاء الكتاب أو تخزينه فى أى نظام تخزين المعلومات واسترجاعها، أو نقله على أية وسيلة سواء أكانت إلكترونية أو شرائط ممغنطة أو ميكانيكية أو استنساخاً، أو تسجيلاً أو غيرها إلا بإذن كتابى من المؤلف.

اسم الكتاب : أشكال سطح الأرض

اسم المؤلف : أ.د. محمد مجدى تراب

رقم الإيداع : ١٦٨١٣ / ٢٠٠٤

التقييم الدولى : ٧ - ١٣٤٦ - ٠٣ - ٩٧٧

التجهيزات الفنية : أسكنر سنتر - القاهرة

كتابة كمبيوتر : المؤلف

طباعة : مطبعة الدلتا ت : ٥٩٠١٩٢٣ (٠٣)

الموزع : منشأة المعارف، جلال حذى وشركاه. ت/ف: ٤٨٧٣٣٠٣ - ٤٨٥٣٠٥٥



## مقدمة

إن وجه الكوكب الذى نعيش فوقه فى تغير مستمر ، وهذه إحدى سمات الحياة نفسها فهى فى تطور وتغير دائم . ويتغير وجه الأرض من خلال نظم بيئية مسببها الأساسى هو الإشعاع الشمسى ، وخاصة الحرارة فهى التى تودى إلى تحريك الرياح ودفعها من إقليم لآخر ، كما تعمل على تبخر الماء من سطح الأرض وإعادة تساقطه فى صورة أمطار ، بعضها يسقط على المسطحات البحرية مباشرة ، وبعضها الآخر يسقط على اليابس ، فينساب على سطح الأرض نحو البحار أو المحيطات، أو يغور ويتسرب فى جوف الأرض ليكون رصيذاً من الماء الجوفى يستفيد منه الإنسان والنبات والحيوان على سطح أرضنا .

وعوامل التعرية والنحت من رياح ، ومياه جارية، وثلجات، وأمواج ، ومياه باطنية تنخر فى طبقات الأحجار الكربونية ... هى أيضا عوامل نقل أو حمل، ثم إرسابها فعندما تحمل هذه العوامل نتاج ما فتته من صخور من منطقة لأخرى ، وحتما تقوم بترسيبه على شكل فرشاة رسوبية أو طبقات ، فالرياح تدرى حبات الرمل لترسيبها تحت أقدام الخفاف الصخرية، أو عند إصطدامها بجذوع النباتات التى تنمو فى المسطحات السبخية ، وترسيبها على شكل كتبان رملية فى نطاقات الصحارى الحارة أو على السهول الساحلية ، و الأنهار الجليدية عندما تنصهر ، تترك ركائماها على شكل تلال غير مصنفة ، أو تصب فى فيوردات عميقة تكتنفها جروف بحرية شاهقة ، توفر بيئة مواتية لصيد الأسماك ويقتات منها الإنسان ، والأنهار تهدر وتقسو وتنشق مجاريها العميقة فى شياها ، فتحطم وتدمر وتفتت الصخور ، وتحمل آثار تدميرها إلى حيث تنساب وتجرى ، ولكنها بعد حين وإن طال الدهر ، يضعف تيارها ويهين شياها ، فلا تقوى على حمل

فتانها وصلصالها ، فتنبى سهولها الفيضية ودالاتها ، والأمواج القوية تحطم بحروف السواحل وتنتحتها بأشكال بديعة تهدى القلوب الحائرة لقدرة الله عز وجل .

هذا هو موضوع كتابنا فهو يتناول عوامل تشكيل سطح أرضنا بسهولها ووديانها ، بسواحلها وصحاريها وقفارها ، بجبالها وأغوارها ، ويحاول التعبير عنها بكلمات وتعبيرات مبسطة ، لكنها دقيقة ومعبرة ، ومؤيدة بأشكال وخرائط وصور فوتوغرافية ، تكيد الكاتب الكثير ، وواجه المتاعب حتى يصل للبيئة الطبيعية لمعظم أشكال سطوح أرضنا ، فتجول في مختلف البيئات الطبيعية من أسكتلندا في أقصى الشمال إلى أراضي السودان عند حط الإستواء ، ومن سواحل المغرب المطلة على الأطلسي غرباً ، إلى مضيق ملقا وسهول تايلند وسواحل ماليزيا وسنغافورة شرقاً .

وينقسم كتابنا إلى سبعة فصول يهتم الأول منها بعمليات التجوية وحركة المواد على المنحدرات بتأثير الجاذبية الأرضية ، أما الفصل الثاني فيتناول الأشكال الجوفية الناشئة سواء البنيوية منها أو الركائزية ، ويدرس الفصل الثالث الأشكال النهرية (الفيضية) نحتاً ونقلًا وإرساباً، أما أشكال السواحل فكانت من نصيب الفصل الرابع ، وموضوع الفصل الخامس هو الأشكال الناتجة عن فعل الرياح ، والفصل السادس يعالج أشكال الكارست الجيرية ، أما الفصل السابع والأخير فهو عن الأشكال الجليدية . ويسعدني أن أقدم هذا الكتاب المنهجي لزملائي وطلابي في عالمنا العربي ، وأرحب بكل وجهة نظر ، أو ملاحظة ونقد موضوعي يثرى العمل ، وأرجو أن أكون قد وفقت فيما قصدت ، والله من وراء القصد ..

محمد مجدى تراب

الإسكندرية في سبتمبر ٢٠٠٤

magdytorab@hotmail.com

## أشكال سطح الأرض

مقدمة :

الفصل الأول : أشكال التآكل وحركة المواد على المنحدرات.

الفصل الثاني : أشكال جوفية (تكتونية) .

الفصل الثالث : أشكال فيضانية (هغرية).

الفصل الرابع : أشكال السواحل .

الفصل الخامس : أشكال الرياح .

الفصل السادس : أشكال الكارست.

الفصل السابع : أشكال جليدية .



# أشكال التجوية وحركة المواد على المنحدرات

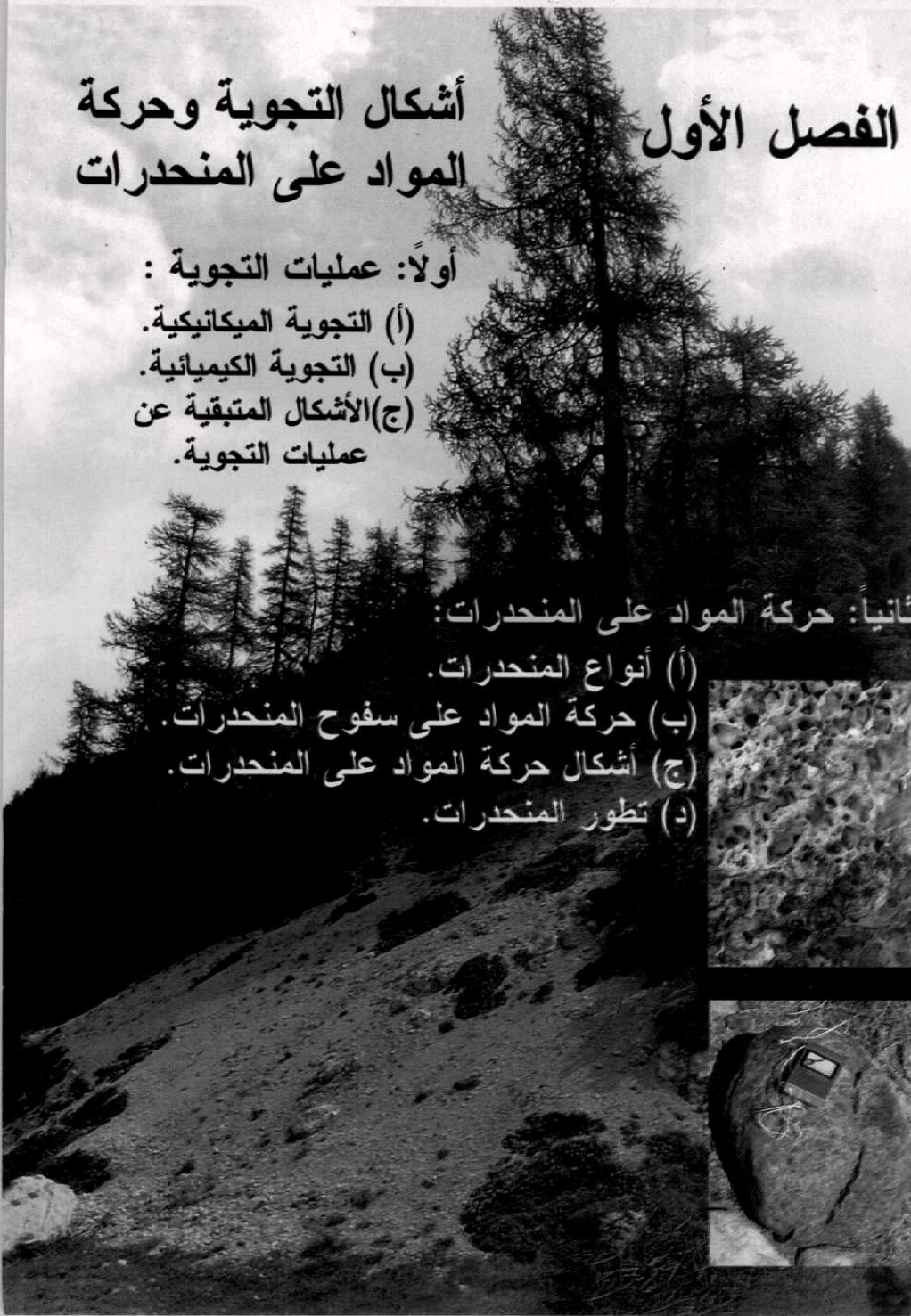
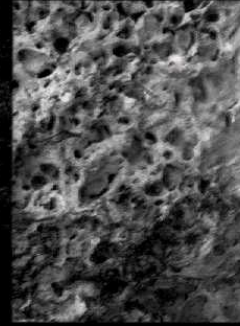
## الفصل الأول

أولاً: عمليات التجوية :

- (أ) التجوية الميكانيكية.
- (ب) التجوية الكيميائية.
- (ج) الأشكال المتبقية عن عمليات التجوية.

ثانياً: حركة المواد على المنحدرات:

- (أ) أنواع المنحدرات.
- (ب) حركة المواد على سفوح المنحدرات.
- (ج) أشكال حركة المواد على المنحدرات.
- (د) تطور المنحدرات.





## الفصل الأول أشكال التجوية وحركة المواد على المنحدرات

### أولاً : عمليات التجوية Weathering :

التجوية عبارة عن تأثير الجو في حالة سكون الرياح على تفكك وتخلل الصخر في مكانه دون حركة ، وهي تنقسم إلى مجموعتين هما التجوية الميكانيكية والتجوية الكيميائية .

(أ) التجوية الميكانيكية ( الطبيعية ) :

#### Mechanical (Natural) Weathering

يقصد بالتجوية الميكانيكية تفكك الصخر وتفتيته في مكانه إلى جزيئات أصغر ، دون أن تلحق بمكوناته المعدنية أية تغيرات ، فالتجوية الطبيعية هي مجرد عملية إنتزاع قطعة من الصخر وجرشها أو سحقها وهي في موضعها دون حركة . وتحدث التجوية الميكانيكية عن طريق عمليتين تسود كل عملية منهما في أحد الإقليم المناخييين التاليين:

"١" الصحارى الحارة الجافة وشبه الجافة حيثما يرتفع المدى الحرارى اليومي ، بسبب تأثير التباين الحرارى على تمدد وإنكماش المعادن الداخلة في تكوين الصخر ، خاصة إذا اختلف معدل تمدد وإنكماش كل معدن منها ، مما يؤدي إلى تفكك وتفصد الصخر إلى جزيئات أصغر حجماً ، أو إنفصال قشور من السطح الخارجى للكتل الصخرية الجواه ، ويطلق على هذه العملية اسم التجوية الشمسية أو التجوية بالإشعاع الشمسى Insolation Weathering ، أو التجوية الحرارية Thermal Weathering .

"٢" الأقاليم القطبية وشبه القطبية التى يسود فيها فعل الصقيع Frost Action التى تعتمد المياه المنسربة داخل الشقوق والفواصل الصخرية ، ثم إعادة إنصهارها عند إرتفاع درجة

الحرارة مرة أخرى ، حيث يتفكك الصخر بسبب تأثير الفعل الميكانيكي الناجم عن ضغط الثلج على جوانب الشقوق والفواصل ، خاصة وأن حجم الثلج أكبر من حجم المياه قبل تجملدها .

وهناك عمليات جيومورفولوجية أخرى تقوم بعمل التجوية الميكانيكية مثل : التجوية الملحية Salt Weathering ، أى تأثير الضغط الناتج عن بلورات الأملاح المنسربة داخل الشقوق والفواصل ، وهى بذلك تشبه فعل الصقيع ، وتسود هذا النوع من التجوية الميكانيكية على سواحل المسطحات البحرية والبحيرات المالحة . كما أننا لا نستطيع إغفال دور الكائنات الحية فى تحطيم صخور القشرة الأرضية ، مثل القوارض والحشرات والحيوانات ، إلى جانب دور الإنسان فى تعديل المظهر المورفولوجي لسطح الأرض . وفيما يلي عرض لأهم الظواهر أو الأشكال الجيومورفولوجية الناتجة عن التجوية الميكانيكية :

#### ١- التقشر الصخري Exfoliation :

أصل مصطلح Exfoliation لاتينى ، وهو يتألف من كلمتين هما Ex أى يخرج أو ينكشف و Folia وتعنى أوراق النبات ، وهى عبارة عن عملية إنفصال قشور أو صفائح رقيقة أو سمكية من أسطح الصخر ، ويحدث عادة فى الصخور الجرانيتية وحجر الصوان ، تحت تأثير عدد من الظروف الطبيعية أهمها : إنزياح الضغط Unloading ، التجوية الشمسية Insolation Weathering ، بالإضافة إلى المذرجة Hydration إحدى عمليات التجوية الكيميائية (Goudie et al, 2004) . ويطلق على هذه العملية عدة مصطلحات من بينها: التجوية الشريطية Sheeting Weathering ، أو التقشير البصلى Onion Weathering وذلك لتقشر الأسطح الخارجية للصخر بما يشبه البصلة (صور من ١- ١ إلى ٣-١) .





صورة (١-١) تقشر كتلة من الجرانيت بوادي  
خداع (تصوير: محمد الشرقاوي<sup>١</sup>، ٢٠٠٤)

تتباين أقطار الكتل المتأثرة بعملية التقشر الصخري من سنتيمتر واحد إلى مئات الأمتار، حيث يطلق على الكتل الكبيرة الحجم المتقشرة تعبير القباب الضخمة **Mega Domes**، أو قباب التقشر **Exfoliation Domes**، وهي تبدو كروية أو بيضاوية الشكل، وتنشأ عادة عن وجود أنظمة المفاصل في مسارات منحنية موازية للسطح الخارجي للكتلة الصخرية، ويتباين سمك هذه المفاصل بحسب العمق في إتجاه باطن الكتلة الصخرية، فتكون متكاثفة في شبكات متقاربة عند السطح، ويزداد تباعدها بالداخل، وتحت ظروف الاختلاف الكبير في درجات الحرارة يضعف تماسك الشرائح الصخرية التي تحددها هذه المفاصل، فتتفصل عن جسم الكتلة الأم واحدة تلو الأخرى (صورة ١-٤) (صلاح البحري، ١٩٧٩ "ب").

<sup>١</sup> مدرس مساعد بقسم الجغرافيا - كلية آداب دمنهور، جامعة الإسكندرية أثناء إعداده لرسائله للدكتوراه عن جيومورفولوجية منطقة رأس بنسى.

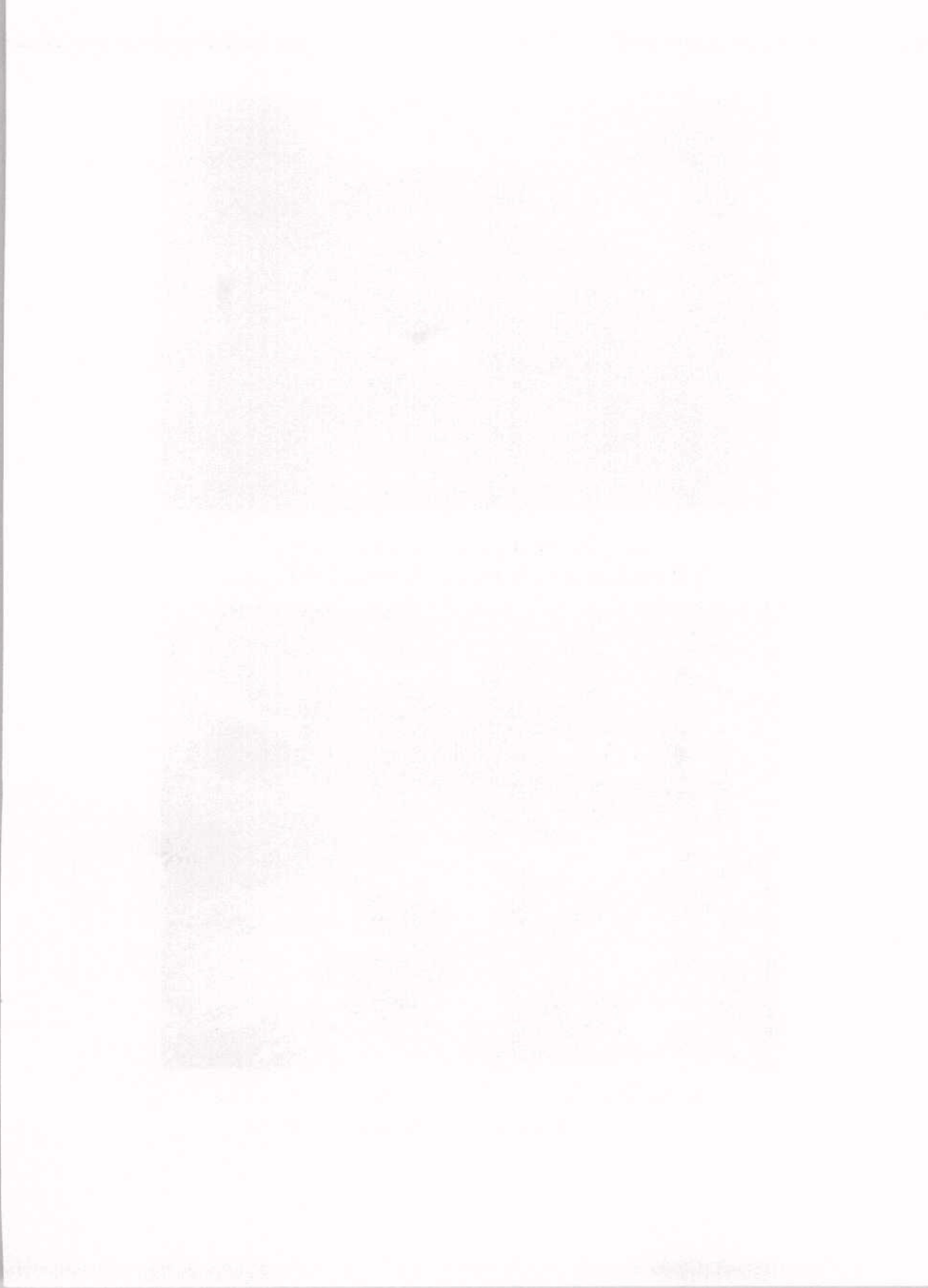




صورة (٢-١) كتلة كروية من الصوان متأثرة بفعل التقشير  
(تصوير : Slattery, 2004 , in: Richard Kesel 2002 )



صورة (٣-١) تقشير الصخور المتحولة بالقرب من قرية "مسافى" بالإمارات  
(تصوير المؤلف في مارس ٢٠٠٤)



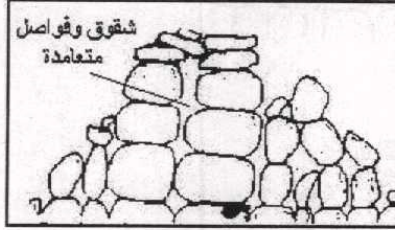
صورة (١-٤) قبة ناتجة عن فعل التقشر

مصدر الصورة:

<http://powayusd.sdcoc.k12.ca.us/pusdmvms/Faculty/Downs/EarthScience/erosion/Images/exfoliation.jpg>



## ٢- المظهر العمداني Tor- Columnar Structure :



شكل (١-١) ملامح المظهر العمداني



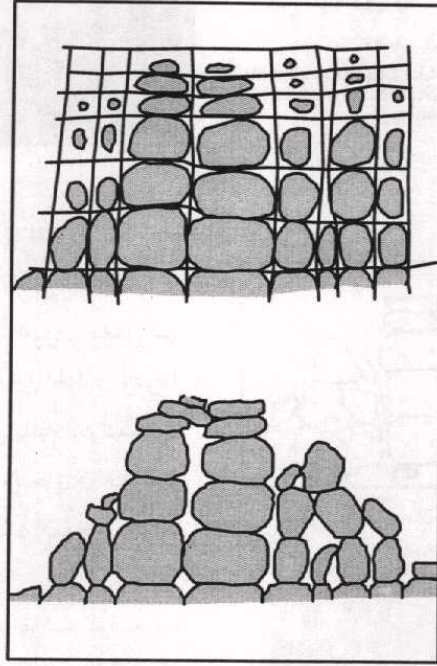
صورة (١-٥) تأثير الشقوق الرأسية على تكوين المظهر العمداني في الأحجار الرملية

(تصوير : Danny Vaughn 2002, in: Slattery, 2004)

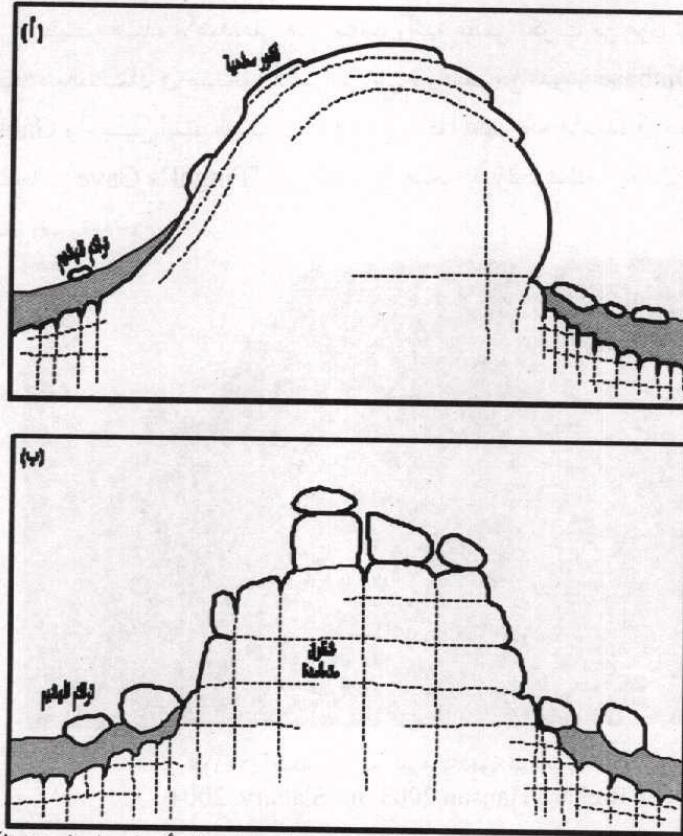
ينشأ عن تأثير الكتل الصخرية ذات النظم المتعامدة من الفواصل ، فتعمل على توغل مؤثرات التباين الحراري وعوامل التحلل الكيميائي بالمياه ، وتتسع هذه الشقوق تدريجياً وتتحول في النهاية إلى مجموعة من القوالب الصخرية المتراسة كقوالب الحجر .

وقد تظهر هذه القوالب المتراسة أيضاً على شكل مجموعة من البيض Eggs المثلثة فوق بعضها بانتظام ، نتيجة تأثير الصخر الأصلي بنظم مفصلية متعامدة ، وتصنع معاً مجموعة من المستطيلات أو المكعبات ، وتتقوس حوافها المدببة بتأثير عمليات التجوية، ويطلق عليها تعبير جلاميد البيض ، أو جلاميد البيض الجرانيتي Egg - Shaped Granite Boulders (أشكال من ١-١ إلى ١-٣، وصورة ١-٥).





شكل (١-٢) تأثير نظم الفواصل المتعامدة على تكوين المظهر العمداني



شكل (١-٣) قبة صخرية تعرض سطحها الخارجى لفعل التقشر ثم توغل تأثير العوامل الجوية في الكتلة الصخرية عبر نظم الفواصل المتعامدة مكونة المظهر العمداي

### ٣- الأعمدة الرأسية Columnar Sills :

تشبه في شكلها المظهر العمداي ، ولكنها تنشأ عن برودة العروق النارية Sills، وقد تبدو هذه الأعمدة على شكل ثلاثي أو رباعي أو سداسي الأوجه ، ومن أوضح أمثلة هذه الأعمدة الأسوار الجانبية لنهر "هدسون" بالولايات المتحدة الأمريكية ، والمعروفة بإسم الباليسيد . The Palisades

وتظهر هذه الأعمدة على هيئة حافات رأسية عظمية تكونت من عرق نارى عظيم الامتداد والسّمك فى صخور العصر الترياسى ، وتتألف من الدياباز Diabase والجابرو Gabbro ( حسن أبو العينين ، ١٩٩٥ ) ، كما تظهر هذه الأعمدة فى منطقة كهف "Fingal's Cave" بنيوزيلندا ، وفى صخور البازلت بمنطقة "Giant" جيانث بأيرلندا (صورة ٦-١).



صورة (٦-١) أعمدة رأسية بعد تأثرها بالتجوية الميكانيكية  
( Richard Hanson 2003, in: Slattery, 2004 :

#### ٤- التفلق الصخرى Rock Shattering :

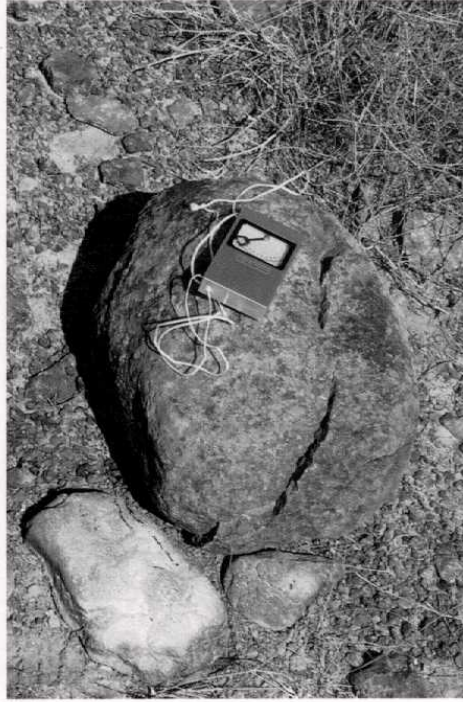
تفلق أو انفصال الكتل الصخرية إلى أجزاء أصغر حجماً ، وتعزو هذه الظاهرة إلى إرتفاع حرارة هذه الكتل خلال أيام الصيف القاطظ ، فإذا ما تصادف هطول مطر زويعى ، يودى هذا إلى تبريد مفاجئ لأسطح هذه الكتل ، فتتشطر إلى مجموعة من الكتل الأصغر حجماً ،



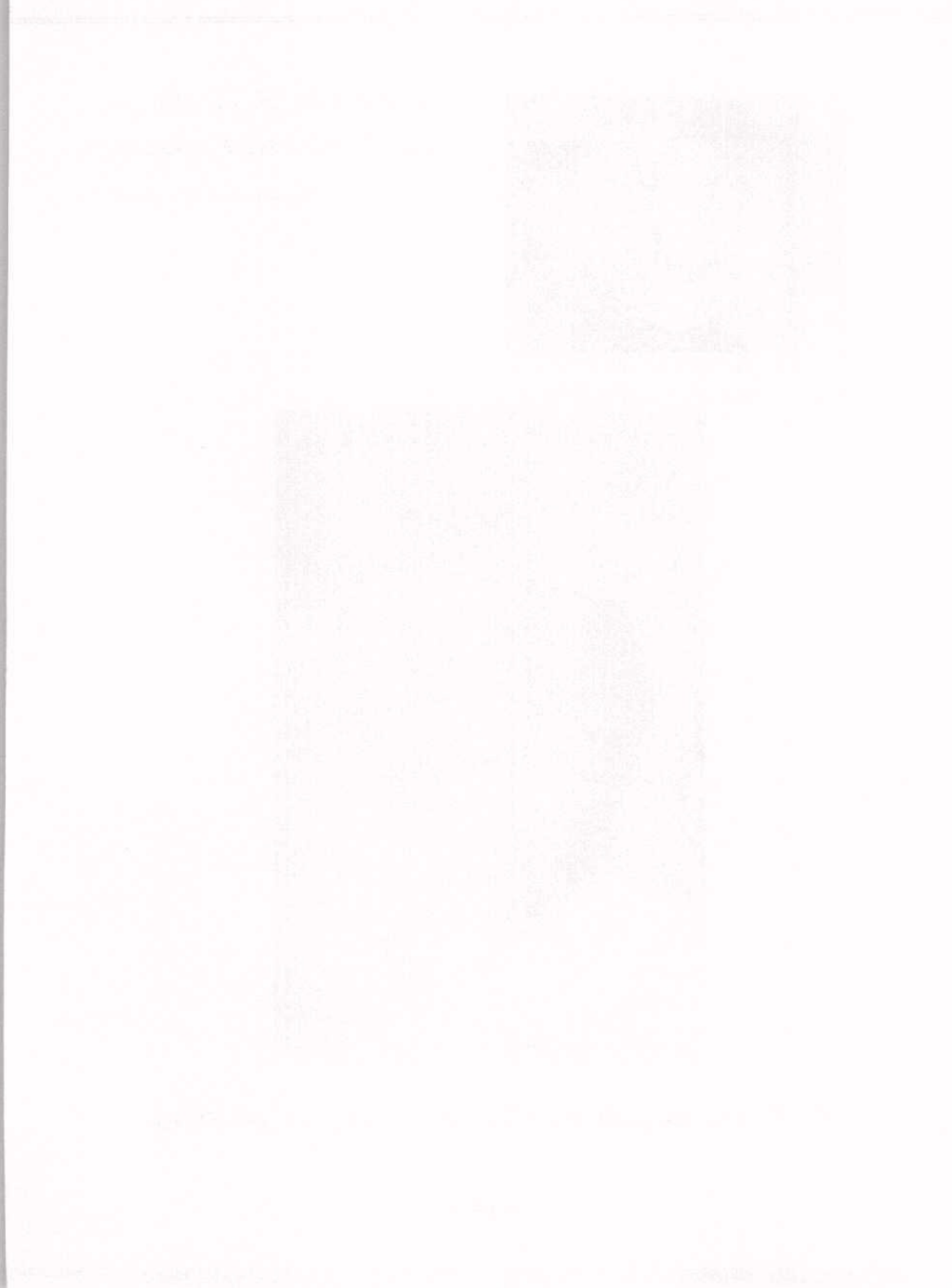


صورة (٧-١) تفلق كتلة صخرية بالقرب من بلدة "دبا" بالإمارات (تصوير المؤلف في مارس ٢٠٠٤)

وهي بذلك أشبه بكتل الحديد الصلب التي  
إذا سخنت ثم بردت فجأة بالماء إعتراها  
التشقق والإنكسار (صورتا ٧-١ و ٨-١).



صورة (٨-١) تفلق كتلة من الصوان في منطقة "مسافى" بالإمارات (تصوير المؤلف في مارس ٢٠٠٣)



## ٥- التفكك الكتلي Block Sparation :

حتى تتحول إلى حطام من الجلاميد  
والحصي (صورة ٩-١) .



صورة (٩-١) تفكك كتلي في الحجر الرملي

تكسر جسم الصخر وانقسامه إلى كتل  
على طول خطوط المفاصل وسطوح  
الانفصال التي تمزق أجزاءه ، والتي توجد  
عادة في مجموعات مختلفة الاتجاهات ،  
تتقاطع مع بعضها بزوايا شتى ، وتعمل  
ظروف التجوية على توسيع هذه المفاصل،  
وتفكك الكتلة الصخرية الأصلية تدريجياً،  
وتتأثر حوافها القائمة الشكل وتصبح  
ملساء ومقوسة لتعاود الكرة من جديد

## ٦- التفكك الحصى ( الحبيبي ) Granular Disintegration :



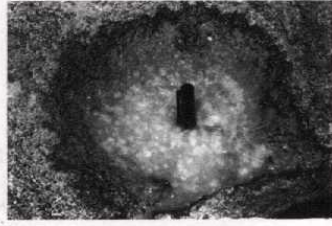
صورة (١٠-١) تفصد حبيبات الأركوز وتبعثرها  
على سطح الأرض الناتج عن تقشر صخور  
الجرانيت (تصوير : Michael Daniels  
( 2002, in: Slattery, 2004

هى انفراط أو تفصد  
Exudation أو تفكك حبيبات الأسطح  
الخارجية من الصخر بانفصال جزيئات  
حصوية من هذا السطح على شكل  
بللورات منفردة أو مجموعات متلاصقة  
منها ، وتحدث عادة في الصخور الجرانيتية  
عندما تنفطر جزيئاتها مكونة رواسب  
الأركوز Arkose وهي عبارة عن رمال  
خشنة تنتشر في مناطق توافر هذه الصخور  
بالصحارى (صورة ١٠-١) .

كما تتواجد هذه الظاهرة حيثما تتأثر الشقوق والفواصل الصخرية بتداخل بعض الحبيبات الملحية والثلجية ، وتتحول إلى بللورات أكبر حجماً، فتتفصل بعض الحصوات وتساقط على جانبي الفاصل ، نتيجة عملية الاحتكاك بين البللورات الثلج أو الملح على الأسطح الداخلية للكتلة الصخرية . ويطلق تعبير حوض التفكك الحصوي Exudation Basin على المنخفضات والنتوءات الملساء ، الناجمة عن انفصال وانقراط الحبيبات من جوانب الكتل الصخرية بتأثير بللورات الثلج ، ويشيع هذا المصطلح في العروض الباردة .

#### ٧- التجوية الملحية Salt Weathering-Salt Fretting:

الملحية ، إلى جانب الفعل الهيدروليكي الناتج عن ضغط بللورات الملح (صورة ١-١١).



صورة (١-١١) تجوية ملحية على هوامش حفرة إذابة تتجمع بها مياه البحر الأحمر بمنطقة رأس بناس (تصوير : محمد الشرقاوي ، ٢٠٠٤)

تنشأ التجوية الملحية بسبب تداخل المياه المالحة في النظم المفصلية بالمناطق الساحلية عادة، وعلى ضفاف بعض البحيرات المالحة، حيث تسرب المياه وتبخّر، وتترك ذرات الملح داخل هذه الشقوق فتساعد على تفتت بعض مكوناته ، ويطلق تعبير وجبة الصخور Rock Meal على الفتات الناتج عن هذه العملية ، ولا يقتصر الأمر على التفتت الميكانيكي للصخر، ولكن تسهم عملية الإذابة الملحية Sal Solution في التفاعل مع مكونات الصخر القابلة للإذابة في المحاليل



#### ٨-تجوية الصقيع Frost Weathering :

تتشيم الصخر و سحقه إلى جزيئات صغيرة (صورة ١-١٢) .

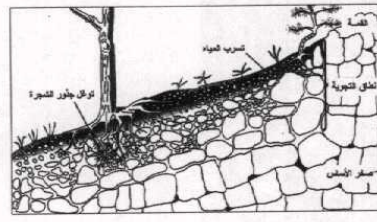


صورة (١-١٢) تجوية الصقيع وتأثيرها في توسيع الفواصل الرأسية (تصوير : Heather Viles 2002, in: Slaterry, 2004)

تحدث تجوية الصقيع في العروض القطبية وشبه القطبية بتأثير تسرب المياه داخل الشقوق والفواصل ، ثم تجمدها عند انخفاض درجة الحرارة إلى ما دون الصفر المئوي ، فيزداد حجم بللورات الثلج ، لأن من المعروف أن الثلج يتميز بزيادة حجمه بالمقارنة بحجم المياه في حالتها السائلة ، ولذلك تضغط بللورات الثلج على جوانب الشق أو الفاصل الصخري فتعمل على

#### ٩- التجوية الميكانيكية بالكائنات الحية Bio Mechanical Weathering

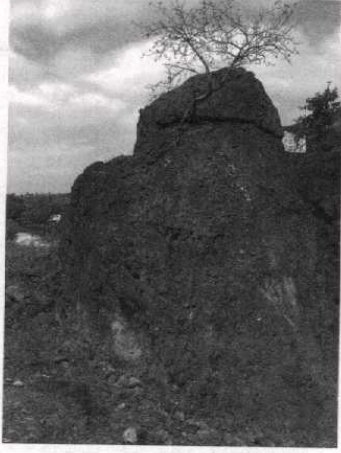
تقوم الكائنات الحية بدور لا يستهان به في تفكك صخور القشرة الأرضية ، فالأشجار تضرب بجذورها في الشقوق سعياً وراء ما هنالك من تربة هزيلة ورطوبية ، فهي بذلك تقوم بتوسيع المفاصل ، وفي النهاية تنفصل الكتل الصخرية وتقتلع من مواضعها ، وأيضاً هناك بعض الحيوانات الأرضية مثل الجرذان والأرانب والفئران ، والحشرات تحفر مآويها في باطن الأرض فتساعد تقتيت الصخر



شكل (١-٤) التجوية الميكانيكية بجذور الأشجار

## ١٠- روابي وتلال النمل الأبيض ( Termitaria (Termite Hills ) :

المنشآت في أستراليا (صور من ١٣-١ إلى ١٥-١).



صورة (١٣-١) تجوية ميكانيكية بالضغط الناتج عن نمو جذور شجرة داخل فاصل أفقي بمنطقة "صلالة" في سلطنة عُمان (تصوير المؤلف في سبتمبر ٢٠٠٣)

تبدو روابي النمل الأبيض كتلال مسحوبة القمة ومتسعة القاعدة ، يصل إرتفاعها لنحو ٢٥ قدم ، تنتشر في إفريقيا الإستوائية والصحارى الإستوائية ومنطقة "صلالة" بسلطنة عُمان . ويقوم النمل الأبيض White Ants ببناء هذه التلال ليتخذها كمساكن تأويّة ، حيث يقوم بفرز وتصنيف المواد الرسوبية ومفتتات التربة الدقيقة الحجم، التي لا تزيد أقطار حبيباتها عن المليمتر الواحد ، ويعمل على تجميعها في كومات، ويفرز عليها بعض المواد اللاصقة من جسده ، ليبني تلالاً بيضاء اللون تصمد كثيراً أمام غزوات عوامل التعرية ، لدرجة إضطر أمامها الإنسان لإزالتها بإستخدام المفرقات عند تمهيد مواقع بعض



صورة (١٤-١) مجموعة روابي قام ببناءها النمل الأبيض في منطقة "صلالة" بسلطنة عُمان (تصوير المؤلف في سبتمبر ٢٠٠٣)



صورة (١٥-١) التركيب الداخلي لإحدى روابي النمل الأبيض في منطقة "صلالة" بسلطنة عُمان  
(تصوير المؤلف في سبتمبر ٢٠٠٣)

#### (ب) التجوية الكيميائية Chemical Weathering :

التجوية الكيميائية عبارة عن تفاعل أو تأثير مكونات الصخر المعدنية بالماء أو بخاره أو أحد العناصر الجوية ، فتتحول مكونات الصخر أو بعضها إلى تراكيب جديدة تختلف عن المادة الأصلية ، وتتم هذه العملية في موضع الصخر ودون أية حركة .

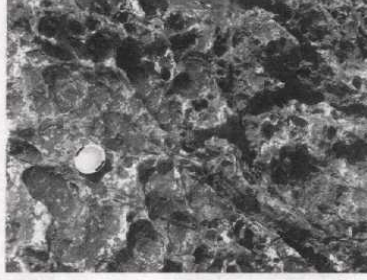
#### ١- عمليات التجوية الكيميائية Chemical Weathering Processes :

##### "أ" عملية الإذابة Solution :

عند تجمع المياه في الحفر والتوءات والمنخفضات التي ترصع سطح الأرض، تبدأ المياه في التسرب عبر أسطح الانفصال الطبقي ونظم المفاصل وخطوط الضعف الجيولوجي الأخرى ، حيث يبدأ تأثير إذابة التكوينات القابلة للذوبان في المياه ، وخاصة الملح



الصخرى ( الهاليت ) والأحجار الجيرية والدولوميت والطباشير بسبب قابلية كربونات الكالسيوم للذوبان بالماء الحامض " يبلغ معدل حموضة Ph. R. مياه الأمطار الرقم ٧ " (صورة ١-١٦) .



صورة (١٦-١) تأثير مياه الأمطار على إذابة في الأحجار الجيرية بجبل لبنان (تصوير المؤلف في يوليو ٢٠٠٢)

#### "ب" عملية التميؤ ( الهدرجة ) Hydration :

اتحاد الماء أو بخاره بأحد العناصر التي يتألف منها الصخر ، وينشأ عن هذا الاتحاد عنصر آخر أضعف تماسكاً من العنصر الأصلي ، مما يؤدي إلى إضعافه ، مثل تحول الفلسبار في الصخور الجرانيتية إلى طين الكاولين Kaolin، ومعدن إهيدريت (كبريتات الكالسيوم اللامائية ) إلى جبس ( كبريتات كالسيوم مائية ) كتأثر بعض أنواع الحجر الرملي المحتوية على الميكا بإتحادها بالماء وتتساقط حبيباتها أسرع من حبيبات الكوارتز ، وهناك بعض المعادن تكبر أحجامها عند اتحادها بالماء ، فيترتب على ذلك زيادة عدد سطوحها الخارجية ، بينما تظل كتلتها الداخلية ثابتة ، مما يساعد على انفصال قشورها .

#### "ج" عملية الأكسدة - Oxidation - Oxidization :

تفاعل الأكسجين الجوي مع أحد معادن الصخر وتحوله إلى أكسيده ، وتكثر هذه العملية في الصخور المحتوية على مكونات حديدية وبخاصة إذا كانت بمعزل عن الهواء الجوي ، وحينما تتعرض للمؤثرات الجوية يتحد فلز الحديد بالماء والأكسجين ، فيتحول لونه من



الأزرق أو الرمادي إلى اللون الأحمر أو البني ، وبالطبع تعد أكاسيد الحديد أقل صلابة من الفلز نفسه .

#### "د" عملية الكربنة Carbonation – Carbonization :

حينما يهطل المطر يحمل معه جزءاً من ثاني أكسيد الكربون الجوي ، فيكون نوعاً من حامض الكربونيك المخفف ، الذي تضعف أمامه المواد الكلسية وتتحول هذه المواد إلى بيكربونات كالسيوم التي تتميز بدورها بقابليتها الشديدة للإذابة في الماء، أي أن هذه العملية تكون ملازمة لعملية الإذابة Solution وتبدو أوضح ما تكون في المناطق الرطبة والساحلية وخاصة على طول أنظمة الفواصل الصخرية .

مياه الأمطار + ثاني أكسيد الكربون  $\rightarrow$  تساقط حامض كربونيك مخفف  
حامض كربونيك مخفف + كربونات كالسيوم  $\rightarrow$  كربنة  $\rightarrow$  بيكربونات كالسيوم  
بيكربونات كالسيوم + ماء  $\rightarrow$  إذابة  $\rightarrow$  رواسب جيرية ناتجة عن تجوية كيميائية

#### ٢- أشكال التجوية الكيميائية Chemical Weathering Landforms :

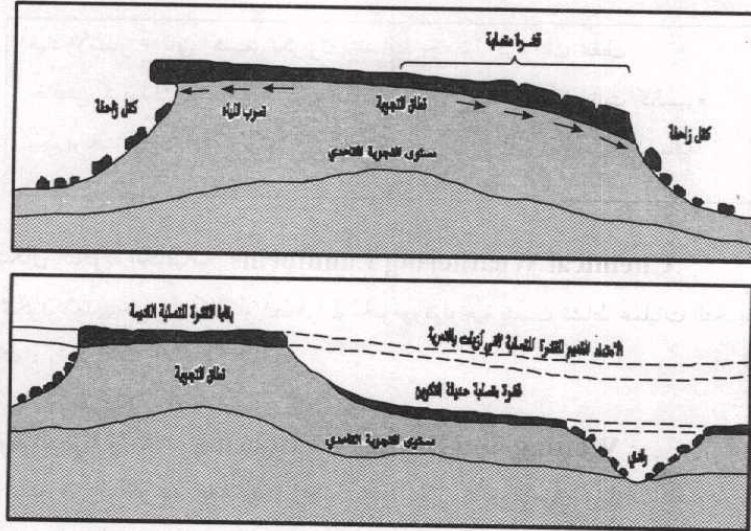
تتكون العديد من الأشكال أو الظواهر الجيومورفولوجية بسبب نشاط عمليات التجوية الكيميائية ، أهمها ما يلي :

##### "أ" تجوية الرطوبة والجفاف Wetting and Drying Weathering :

تتعرض المناطق الساحلية للغمر والانكشاف المتوالي بتأثير الأمواج وتيارات المد والجزر فحيثما تتعرض الصخور للبلل والجفاف بصورة متتابة يومياً تضعف مكوناتها القابلة للتحلل بالمياه ، وخاصة الصخور المحتوية على نسبة كبيرة من المعادن الصلصالية . وهذه العملية تكون ملازمة عادة للتجوية الملحية Salt Weathering . ولكن يتوقف عملها في الصخور التي تظل مبللة بصفة دائمة ( جوده ، ١٩٨٩ ) .

### "ب" طلاء الصحراء Desert Varnish :

يطلق عليها أحياناً الأرضفة الصحراوية Desert Pavement أو درع الصحراء Desert Armor ، أو القشرة المتصلبة وهي عبارة عن طبقة سطحية متماسكة شديدة الاستواء ، وتشكل من تصاعد المياه المتسربة من باطن الأرض إلى السطح مرة أخرى بالخاصية الشعرية ، حاملة معها الأملاح الذائبة كمحاليل مركزة ، تنقل معها المواد الملحية أو الكلسية فتعمل على شدة تماسك الطبقة الرقيقة السطحية ، وغالباً ما تكتسب هذه القطرات الصلبة ألواناً فاتحة تتألف من رواسب أكاسيد الحديد والمغنسيوم (شكل ٥-١).



شكل (٥-١) دور القشرة الجيرية المتصلبة في حماية سطح الأرض من التآكل والنحت بعوامل التعرية (After: Small, 1989)

### "ج" التجوية البيضاوية ( الكروية ) Spheroidal weathering :

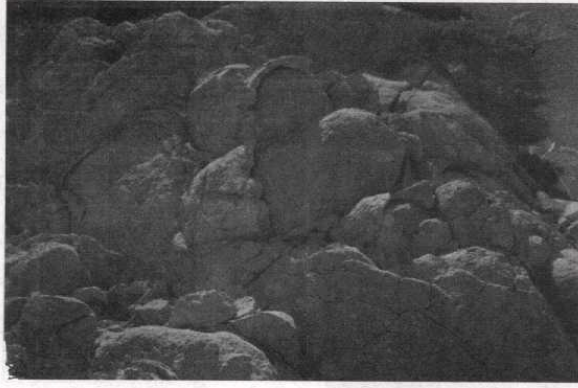
تشبه في مظهرها عمليات التورق الصخرى التي تحدث في التقشر Exfoliation ، وتبدو الأسطح الخارجية للصخر مشابة للمظهر البصلي ، ولكن تحت تأثير العمليات الكيميائية المتغيرة Chemical Alteration وخاصة فعل الإذابة بالمياه ، وتحدث هذه الظاهرة في الكتل الصخرية الجرانيتية بوجه خاص والدولوميت والبازلت وأيضاً الأحجار الرملية .

منخفض الفيوم (شكل ١-٦ ، وصورتا ١٧-١٨).

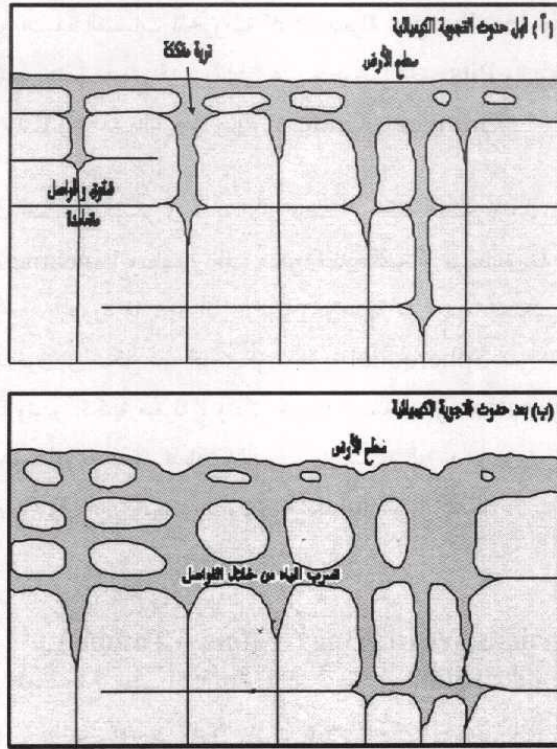


صورة (١٧-١) بداية تأثير التجوية الكروية المتمثلة في توسيع نظم الفواصل المتعامدة وبروز أجزاء كروية الشكل فيما بين الفواصل ( تصوير : William Locke 2002, in: Slaterry, 2004

وتنتشر كتل الجلاميد الناتجة عن التجوية البيضاوية القديمة (الحفرية) إبان فترات المطر البليوستوسيني ، وقد ميز ( Barton, 1938, P.111) بعض الجلاميد البيضاوي الجرانيتي في الصحارى المصرية وأرجع نشأته إلى فترة تتراوح بين ٢٠٠٠ إلى ٥٠٠٠ سنة مضت ، وتشكل تحت تأثير الظروف المناخية الرطبة في المناطق الصحراوية الحالية المتاخمة لأسوان ، كما ميز المؤلف عدد من كتل الجلاميد الكروية بمنطقة "جبل قطران" شمال



صورة (١-١٨) تجوية بيضاوية في الأحجار الرملية  
(تصوير : Mike Slattery 2002, in: Slattery, 2004)



شكل (١-٦) مراحل تكوين التجوية البضاوية بسبب تسرب المياه عبر الشقوق والفواصل المتعامدة (After: Small, 1989)

#### "د" التلال المخروطية (أقماع السكر) Sugarloaves :

أطلق هذا المصطلح لأول مرة على بعض القباب الجرانيتية بمنطقة "Rio" على الساحل الشرقي للبرازيل ، ثم شاع فيما بعد بالولايات المتحدة الأمريكية وخاصة بولايين "جورجيا وكارولينا الشمالية" .



وتبدو هذه القباب المخروطية كتلال منعزلة Inselberges تتألف من صخور الجرانيت وتتميز بتقعر منحدراتها ، وتنتشر على سطوحها الحفر Pits والتوئات والتكهفات والكهوف Caves وتتحدد بالثلوم والخدود Grooves – Gutters .

وتنشأ أقماع السكر في بداية الأمر بانفصال الكتلة الصخرية الجرانيتية عبر خطوط الضعف Lineaments وتظهر على شكل كتلة مكعبة أو مستطيلة تقاوم عوامل التعرية بالمقارنة بالأجزاء المجاورة لها ، إلا أن جوانبها وهوامشها سرعان ما تستجيب لعوامل الوهن والضعف وتتحول إلى شكل شبه كروي أو بيضاوية Spheroidal على حين تزال الأجزاء المتاخمة لها تماماً وتبدو ككتلة منعزلة ، وتتأثر حوافها بعملية التميؤ Hydration حيث تتحد الفلسبارات ببخار الماء وتتأكسد المعادن الحديدية – المغنيسية التي تدخل في تركيب الجرانيت ، ويتبقى الكاولين المحتوى على حبيبات الكوارتز صامداً أمام عوامل التحلل .

"هـ" تكهفات التجوية (التافوني) :

#### Cavernous Weathering ( Tafoni – Tafone )

أصل المصطلح إيطالى Tafone ثم حُرف إلى Tofoni باللغة الفرنسية (بجزيرة كورسيكا) ، ويطلق تعبير تافوني على الكهوف الصغيرة الحجم الناتجة عن فعل التجوية الكيميائية ، وتحدث في الصخور الجرانيتية الخشنة ، كما تتأثر الأحجار الرملية والجيرية والشيسست بهذه التكهفات التي تتراوح أبعادها من بضعة ديسمترات وقد تصل أعماقها أحياناً إلى المتر الكامل ، وهى حفر كروية الشكل مجوفة من الداخل وتشبه إلى حد ما "خوذة الجندي" ، وتتميز أسطحها الداخلية بصقلها وتقوسها .

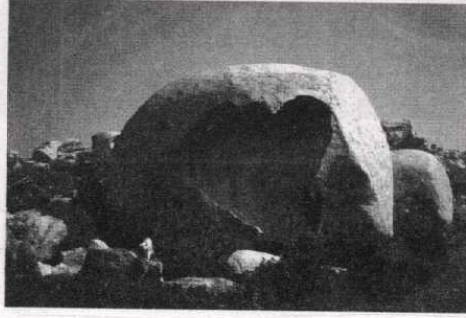
ويطلق تعبير " جانب التافوني " Side of Tafoni على الأوجه الداخلية المجوفة لهذه السكهفات ، وتسمى الأوجه الخارجية للكتل الجلاميدية التي لم تتأثر بفعل التجوية الكيميائية " بقاعدة التافوني " Basal Tafoni ، وتبدو تكهفات التافوني على شكل قباب التقشر ولكنها

محفوفة ومعكوسة ، ويطلق عليها أحيانا تعبير "التقشر السلبي" Negative Exfoliation ، وتحدث هذه الظاهرة بالمناطق التي تتمتع بتغيرات حادة في درجات الحرارة بالإضافة إلى هبوب رياح قوية قادرة على إزالة المواد المتحللة من داخل هذه التجاويف .



وتنتشر هذه الظاهرة في الأقاليم المدارية وشبه المدارية وشبه الجافة ، حيث لوحظت بمناطق متفرقة من جنوب غرب الولايات المتحدة الأمريكية وصحراء غرب الأرجنتين ، وإقليم "ناميبيا" وأجزاء من "تنجانيقا" ، وقرب "كردفان" بالسودان وغرب أستراليا كما ميزها المؤلف في منطقة سانت كاترين بشبه جزيرة سيناء ، متشكلة في الصخور الجرانيتية بجبل "الشيخ" (صورتا ١٩ و ٢٠-١).

صورة (١٩-١) فجوة تافوني ضخمة متكونة في الأحجار الرملية

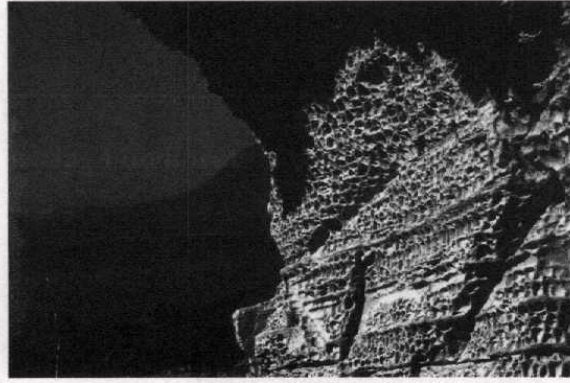


صورة (٢٠-١) تكهفات التافوني في الأحجار الرملية  
(تصوير : Heather Viles 2002, in: Slattery, 2004)

"و" تجوية خلايا النحل :

### Honey Comb Weathering ( Alveolar Weathering )

تشابه تجوية خلايا النحل مع تكهفات التافوي من حيث عامل النشأة ، إذ أن كلاهما ينشأ عن الإذابة بفعل المياه لبعض معادن الصخر في ظل ظروف التباين الحرارى، إلا أنها تختلف في مظهرها المورفولوجى ، إذ تبدو ككتوعات وحفر سداسية الشكل ، تتميز بانتظام وتماثل أشكالها ، ولا يتعدى طول ضلعها أكثر من بضعة سنتيمترات ، وتنتشر بالنطاقات الساحلية المتأثرة بتيارات المد والجزر ، حيث تغطي مياه البحر على سطح الأرض ، فتتسرب المياه وتعمل على تحلل وإذابة مكوناتها ، إلى أن تأتى الرياح فتزيل نواتجها وتترك السطح عارياً، ترصعه بعض الحفر السداسية ، ولوحظ إنتشار حفر خلايا النحل على طول سواحل منطقة "أوتواى" Otway بفيكتوريا غربى استراليا (صورة ٢١-١) .



صورة (٢١-١) تجوية خلايا النحل على جرف من الأحجار الرملية  
(تصوير : Heather Viles 2002, in: Slattery, 2004)



### "ح" التجوية العضوية Organic Weathering

قد تحدث عمليات التجوية الكيميائية نتيجة التفاعل بين نواتج تحلل المواد العضوية النباتية والحيوانية ، أو الفضلات البشرية والحيوانية وبين بعض أنواع صخور القشرة الأرضية (جوده ، ١٩٨٩) (صورتا ٢٢-١ و ٢٣-١) مثل :-

٣- يساعد ثاني أكسيد الكربون الذي تفرزه الحشرات والنباتات على تحلل التكوينات الجيرية.



صورة (٢٢-١) ثقب وحفر دائرية متكونة في الأحجار الجيرية بتأثير تحلل بعض المواد العضوية في الطحالب والأشنيات بمياه الأمطار في منطقة Rakov Skocjan بسلوفنيا (تصوير المؤلف في أغسطس ٢٠٠٣)

١- تفرز أوراق وسيقان النبات المتحللة بعض المركبات العضوية القادرة على غزو المعادن الكربونية الموجودة بالصخور النارية والمتحولة، كما تتفاعل أيضاً مع المواد اللاصقة لبعض الصخور الرسوبية ، ويتخلف عن هذه التفاعلات مواد رسوبية تستطيع أن تتفاعل بدورها مع بعض المكونات الأرضية .

٢- تفاعل الفضلات البشرية والحيوانية وروث الطيور وذرق الحشرات مع عناصر القشرة الأرضية.



صورة (٢٣-١) تجوية عضوية على طول نظم الفواصل الرأسية في منطقة Rakov Skocjan بسلوفنيا (تصوير المؤلف في أغسطس ٢٠٠٣)

### "ط" أشكال الإذابة Solution Features :

يتركز تأثير فعل الإذابة بالمياه على الصخور الكربونية القابلة للذوبان في المياه مثل الأحجار الجيرية والدولوميت والجبس والطباشير ، وتتعدد صور المياه القادرة على القيام بفعل الإذابة مثل: مياه المطر ، قطرات الندى المتكاثف على سطح الأرض ، الثلوج الذائبة بسبب إرتفاع درجة الحرارة، ومياه المسطحات البحرية ورذاذ الأمواج ... وغيرها ، وأهم الأشكال الناتجة عن فعل الإذابة هي :

#### ١- حوز الإذابة Solution Pits :

عبارة عن حوز أو ثلوم طويلة غائرة في الصخور تبدو في صورة متوازية ولا يتعدى عمقها أكثر من بضعة سنتيمترات ، كما يطلق على حواف هذه الحوز تعبیر حافة الإذابة Solution Visor.

#### ٢- برك الإذابة Solution Poals :

حفر دائرية أو بيضاوية الشكل تنتج عن تجمع قطرات المياه على الأسطح شبه المستوية فتعمل على تحلل مكوناتها ، وقد يزداد تأثير الإذابة فتتحول هذه البرك إل فجوات عميقة وغائرة (صور من ١-٢٧ إلى ١-٣٠).

#### ٣- قمم وبروزات الإذابة Solution Pinnacles :

أجزاء صخرية بارزة فيما بين حفر وبرك وحوز الإذابة كأحد الأشكال المتبقية عن الفعل الكيميائي للمياه .

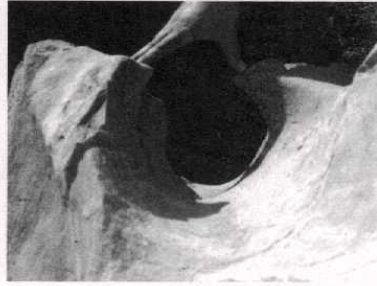
#### ٤- برك الإذابة العميقة Deep Solution Pools :



حفر دائرية عميقة غائرة في الصخر ومتعمقه نظراً لإستمرار الفعل الكيميائي فترة زمنية طويلة بالإضافة إلى ضعف التكوينات الصخرية وقابليتها للذوبان في المياه (صور من ١-٢٧ إلى ١-٣١).

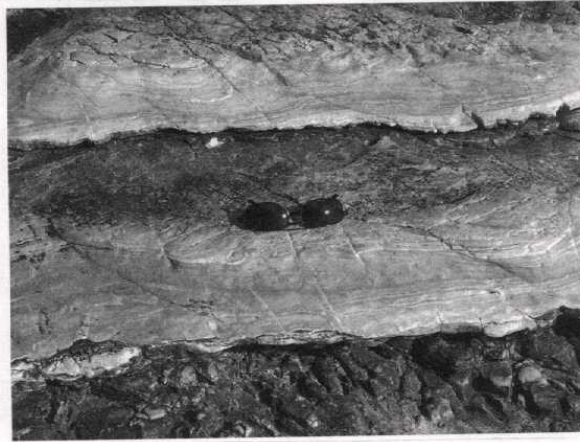
صورة (١-٢٤) حفر إذابة دائرية في الأحجار الجيرية على ساحل جنوب مدينة بيروت (تصوير المؤلف في يوليو ٢٠٠٢)

## ٥- قنوات تشبه حرف أوميغا ( $\Omega$ ) Omega Channels :

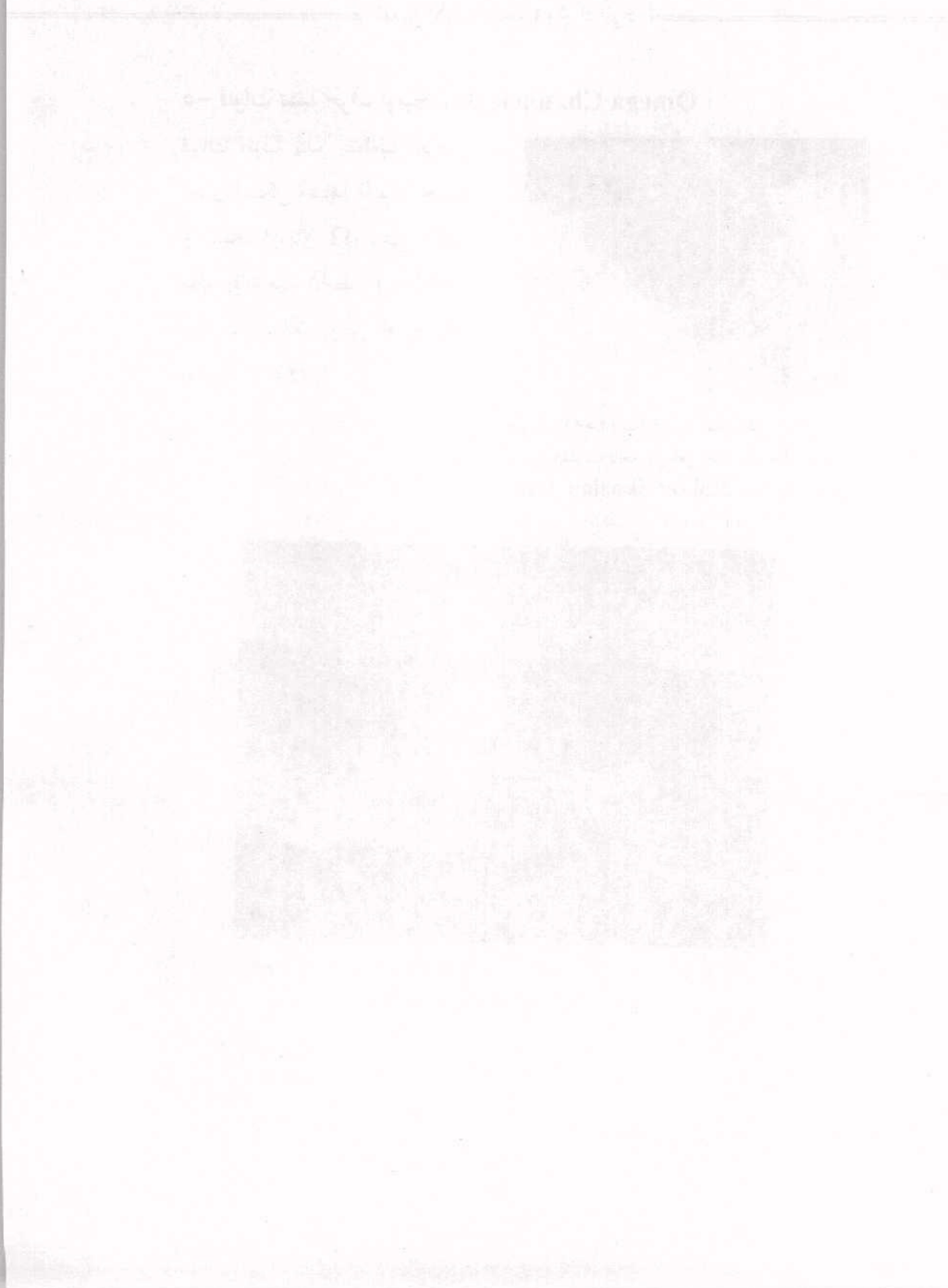


قنوات طويلة يبدو مقطعها العرضي دائري الشكل مشابهاً لمقلوب حرف أوميغا اليوناني  $\Omega$ ، وهي تتكون بتأثير إذابة مياه الأمطار في الأحجار الجيرية في العروض المطيرة عادة (صورة ٢٥-١).

صورة (٢٥-١) قناة دائرية المقطع على شكل حرف أوميغا مقلوب ناتجة عن فعل إذابة الأحجار الجيرية في منطقة Rakov Skocjan بسلوفينيا (تصوير المؤلف في أغسطس ٢٠٠٣)



صورة (٢٦-١) حفر إذابة طويلة في الأحجار الجيرية قرب ساحل بيروت (تصوير المؤلف في يوليو ٢٠٠٢)





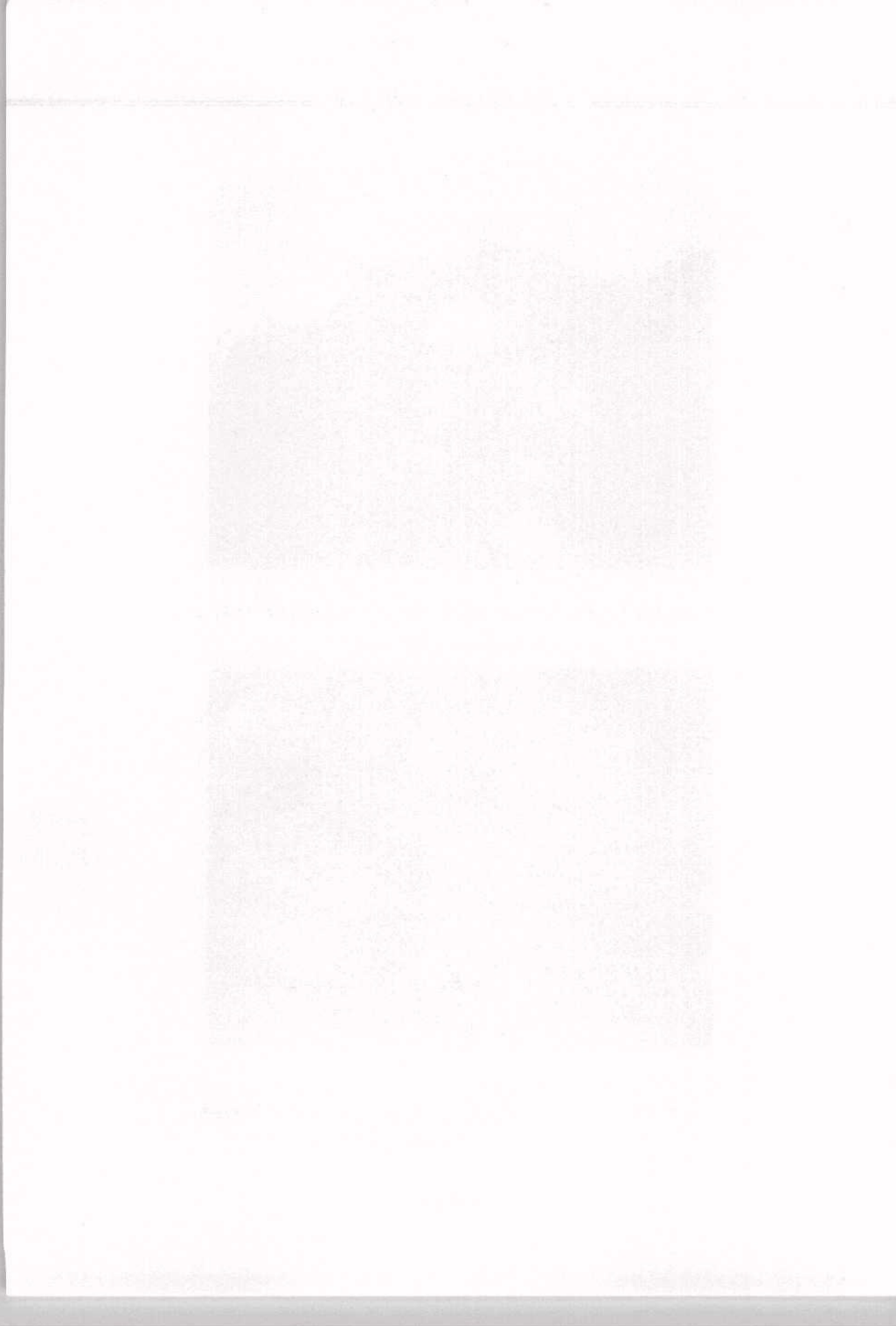


صورة (٢٧-١) فجوة ناتجة عن إذابة الأحجار الجيرية في المرتفعات الغربية بسوريا  
(تصوير المؤلف في يوليو ٢٠٠٢)



صورة (٢٨-١) ثقب إذابة في الأحجار الجيرية بمنطقة صلالة في سلطنة عُمان  
(تصوير المؤلف في سبتمبر ٢٠٠٣)



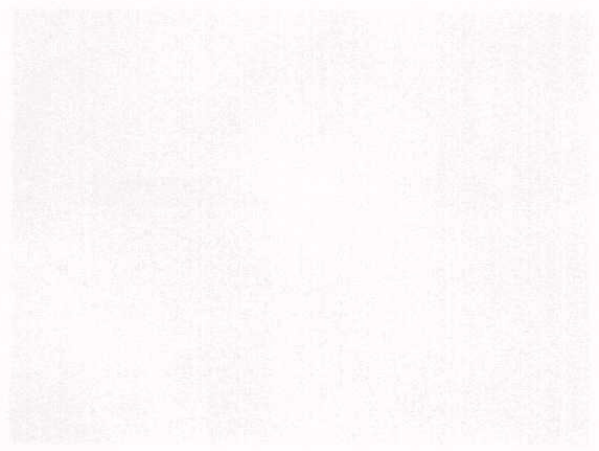
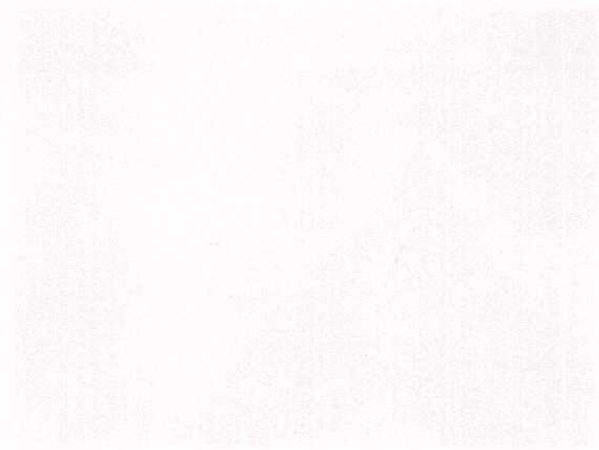




صورة (٢٩-١) نفق رأسى صغير أو ثقب إذابة متعمق في الأحجار الجيرية بمنطقة "صلالة" في سلطنة عُمان  
(تصوير المؤلف في سبتمبر ٢٠٠٣)



صورة (٣٠-١) حفرة إذابة بيضاوية الشكل متكونة في الأحجار الجيرية بمنطقة "صلالة" في سلطنة عُمان  
(تصوير المؤلف في سبتمبر ٢٠٠٣)



### (ج) الأشكال المتبقية عن عمليات التجوية

#### Residual Features of Weathering

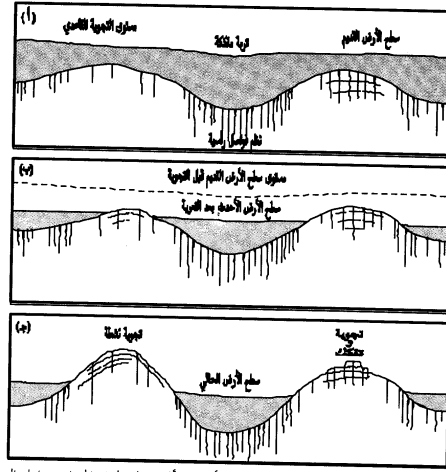
تشتمل هذه المجموعة من الأشكال الأرضية على مظاهر سطح الأرض التي تبقى عن نشاط فعل التجوية بنوعيهما (الميكانيكية والكيميائية) ، أى أنها تتكون نتيجة تجوية أجزاء الصخر المحيطة بها .

#### ١- مستوى التجوية القاعدى Weathering Basal Surface:

مستوى التجوية القاعدى هو أقصى عمق يمكن أن تصل إليه مؤثرات الضعف الناجمة عن فعل التجوية ، أى الحد الفاصل بين المواد الجواه والأساس الصخرى ، وهو عادة ما يبدو وعراً وتظهر به المنخفضات والمرتفعات ، ويتحدد عمق هذا المستوى بعدة عوامل أهمها :

- ١- نوع الصخر ومدى مقاومته لعوامل التفكك والتحليل .
- ٢- طبيعة البناء الصخرى ومدى تأثره بالنظم المفصلية .
- ٣- المناخ ويشمل طبيعة الإشعاع الشمسى ونظام التساقط وكميته .
- ٤- درجة انحدار سطح الأرض .
- ٥- نوع الغطاء النباتى .

وكسلما اشتدت بواطن الضعف بالصخر وازداد تأثره بالنظم الخطية يصبح فريسة سهلة أمام غزوات التجوية ، وتتسرب المياه إلى أعماق أكبر ، ويكون أكثر تأثراً بالتباين الحرارى ، خاصة بالأجزاء العارية من الغطاء النباتى وركامات المواد الجواه ، وتظهر الأجزاء البارزة من مستوى التجوية على شكل كتل صخرية صلبة وتلال متبقية تُعرف بأحجار القلب Core Stone (شكل ١-٧) .



شكل (١-٧) مراحل إنخفاض مستوى سطح الأرض بتأثير إزالة المواد الجواه بعوامل التعرية (After: Small, 1989)

### ثانيا : حركة المواد على المنحدرات بتأثير الجاذبية الأرضية :

(أ) أنواع المنحدرات Types of Slopes :

تصنف منحدرات سطح الأرض وفقاً لدرجات إنحدارها وتقوس سطوحها إلى الأنواع التالية

(شكل ٨-١) :

#### ١- الجروف The Cliffs :

تتميز الجروف بإنحداراتها الشديدة التي تتراوح بين ٤٥ و ٩٠ درجة ، وهي تعد أكثر أنواع المنحدرات تأثراً بعوامل التجوية ، نظراً لإنكشافها أمام العوامل الجوية ، فهي تتكون من طبقات صخرية ولا تغطيها الفتات ، ولذلك تسمى بالأوجه المكشوفة



**Free Faces** ، كما تتحرك المواد الجواه عليها بسرعة نحو أقدام المنحدر . وتتعدد مسميات الجروف وفقاً لأقاليم تواجدها وعوامل التعرية المساهمة في تشكيلها ، منها الجسوف النهرية **River Cliffs** التى تتكون على جوانب المجرى المائية بسبب عمليات التقويض الجانبي ، كما يطلق مصطلح الجروف الساحلية **Coastal Cliffs** على المنحدرات الشديدة المتأثرة بالنحت البحرى ، ويطلق اسم الجروف الجليدية **Glacial Cliffs** على المنحدرات المتأثرة بالنحت الجليدى .

## ٢- المنحدرات المستقيمة (منتظمة الإنحدار) **Rectilinear Slopes**:

تميز المنحدرات المستقيمة بتماثل درجات إنحدارها ، ولكنها تصنف إلى منحدرات شديدة وأخرى هينة الإنحدار ، وعادة ما تغطى أسافلها محروطات الهشيم **Talus** ، التى تتكون من تراكم المواد الجواه على الأجزاء السفلى من المنحدر بتأثير الجاذبية الأرضية ، بينما تنكشف أجزائها العليا وتكون معرضة لتأثير عمليات التجوية، ولكن تتميز المنحدرات الشديدة بزيادة نسبة أجزائها المكشوفة العليا عن أجزائها المغطاة بالهشيم ، والعكس صحيح فالمنحدرات الهينة تزداد بها نسبة الأجزاء المغطاة بالفتات الصخرى ، بالمقارنة بأجزائها العليا المكشوفة أمام عمليات التجوية بنوعها .

## ٣- المنحدرات المحدبة **Convex Slopes**:

تمثل المنحدرات المحدبة عادة في الأجزاء العليا من الحافات الصخرية ، وهى أكثر تأثراً بعمليات النحت والتجوية ، وتظهر بها الشقوق والفواصل الصخرية، ويمكن تمييز المنحدرات المحدبة عند قياس قطاعات المنحدرات **Slopes Profiles** ، بزيادة درجات الإنحدار تدريجياً من أعلى المنحدر إلى أسفله .

## ٤- المنحدرات المقعرة **Concave Solpes**:

تمثل المنحدرات المقعرة عادة في الأجزاء السفلى من الحافات الصخرية ، وكثيراً ما تغطيتها المسود الجواه والفتات الصخرى المتحرك من أعلى المنحدر بتأثير الجاذبية

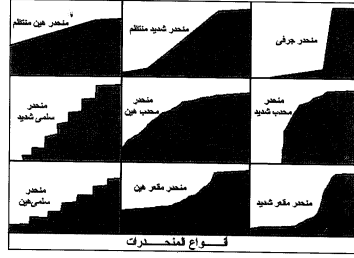
الأرضية. ويمكن تمييز المنحدرات المقعرة عند قياس مقاطعات المنحدرات Slopes Profiles ، بإنخفاض قيم درجات الانحدار تدريجياً من أعلى المنحدر إلى أسفله .

##### ٥- المنحدرات السلمية Scalariform Slopes:

يطلق تعبير المنحدرات السلمية على الحافات الصخرية التي تتباين درجات إنحدارها ، فتبدو بعض أجزائها شديدة الانحدار تعقبها أجزاء أخرى هينة الانحدار، وينتشر هذا النمط في الحافات الصخرية ذات الطباقية الأفقية المتفاوتة الصلابة .

##### ٦- المنحدرات المركبة Complex Slopes:

يطلق مصطلح المنحدرات المركبة على الحافات الصخرية المكونة من منحدرات محدبة بالتتابع مع أجزاء أخرى مقعرة ، كما تدعى أحياناً باسم المنحدرات المحدبة - المقعرة Convexo-Concave ، أما في حالة وجود قسم من المنحدر مستقيم يفصل بين المنحدرين المحدب والمقعر ، فيطلق على الحافة تعبير: منحدر محدب- مستقيم- مقعر Convexo- Rectilinear- Concave.



شكل (١-٨) أنواع المنحدرات

(ب) حركة المواد على سفوح المنحدرات Mass Movements :

يتوقف تحديد نمط حركة المواد على سفوح المنحدرات على مجموعة من العوامل ، يرتبط بعضها بخصائص المنحدر ، ويختص البعض الآخر بطبيعة المادة المتحركة ، وتشترك هذه المجموعة من العوامل معاً في تحديد نوع وسرعة تحرك الفتات الصخري فوق سطوح المنحدرات ، وتشكيل المظهر النهائي لهذه المواد بعد إستقرارها عند الحضيض ، وهذه العوامل هي (أشكال من ١-٩ إلى ١٦-١) :-

"أ" عوامل متعلقة بخصائص المنحدر :

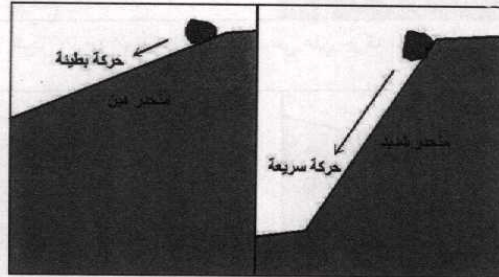
- ١- نوع التركيب الصخري وتتابعه على اجزاء الحافة :يسهل تعرية ونحت الحافات الصخرية المتكونة من صخور ضعيفة المقاومة لعوامل النحت والبرى ، ولذلك فهي تكون المادة الخام التي يسهل تحريكها بالجاذبية الأرضية .
- ٢- البنية الجيولوجية للحافة من حيث ميل الطبقات ودرجة النفاذية والمسامية ومدى تأثرها بالشقوق والفواصل : تعد البنية من أهم العوامل المؤثرة في تحديد نوع وسرعة حركة المواد على المنحدرات ، فالطبقات المائلة في نفس إتجاه المنحدر تعمل على تسهيل نحته وكشطه بتكرار تحرك المواد على سطحه ، كما تسهم درجة النفاذية والمسامية في تسرب المياه خلال تكويناته ، وهذين العاملين يعدا من أهم ضوابط حدوث الإنزلاقات الأرضية التي تهدد الأنشطة البشرية المتاخمة لهذا النوع من الحافات الصخرية.
- ٣- خشونة المنحدر ودرجة وعورته : تعمل زيادة وعورة وتضرس المنحدرات على إعاقه حركة المسواد على المنحدرات وتباطؤ سرعتها ، بسبب زيادة الإحتكاك بين المواد المتحركة وسطح المنحدر .
- ٤- درجة انحدار سطح المنحدر: تشدد سرعة المواد المتحركة على المنحدرات الشديدة، بسبب إكتساب الكتل المتحركة لقوة دفع بتأثير عجلة الجاذبية الأرضية التي تبلغ ٣٢ قدم /ثانية ٢.

- ٥- مدى تقوسه وطبيعة هذا التقوس (محدب أو مقعر): تشتد سرعة المواد المتحركة على المنحدرات المقعرة دون المحدبة ، أى على المنحدرات التي تشتد الأجزاء العليا من منحدراتها قياساً بأجزائها الدنيا ، مما يكسب هذه الكتل قوة دفع عند عبورها للنطاق العلوى من المنحدر يمكنها من اجتياز أجزائه الدنيا بسرعة أكبر .
- ٦- معدل تقطع الحافة بالمسيلات الجبلية ، ودرجة التعميق الرأسى لهذه المسيلات : تعمل المسيلات الجبلية على تعرية صخور سطح الأرض وتجميع المواد المتحركة بالجاذبية الأرضية على المنحدرات .
- ٧- طبيعة الغطاء النباتى على سفوح المنحدرات : للغطاء لنباتى الذى يكسو الحافات الصخرية تأثير مزدوج ، فقد تعوق حركة هذه المواد الأشجار والشجيرات والأحراش، بينما تسهل الحشائش من حركة المواد على المنحدرات .
- ٨- الدرجة المقطوعة من مراحل تطور الحافة وتراجعها أمام عوامل التعرية : من الناحية النظرية تبدو الحافات الشابة التي لازالت في بداية دورها التحتية أشد إنحداراً من الحافات الهرمة التي قطعت شوطاً متقدماً في دورها ، ولذلك فالحافات الشابة تتحرك عليها المواد بصورة فجائية مما يساعد على زيادة معدلات تراجعها الخلفى .

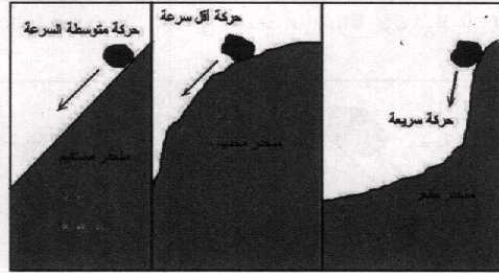
#### "ب" عوامل تختص بطبيعة المادة المتحركة :

- ١- التركيب الصخرى للمادة المتحركة : تتميز الكتل المتكونة من صخور لينة بسهولة نحت حوافها البارزة وتحويلها إلى كتل كروية الشكل تتدحرج بسهولة ويسر على المنحدرات .
- ٢- حجم وكتلة الفئات الصخرى ومدى تجانسه : تكتسب الكتل الكبيرة الحجم قوة دفع بتأثير الجاذبية الأرضية فتزداد سرعتها على المنحدرات ، أما الفئات المساوى لها في الحجم تقل سرعة تحركه على المنحدرات ذاتها لأنها لاكتسب قوة الدفع هذه . كما أن المواد الغير متجانسة تعوق تحرك بعضها البعض ، بسبب تباين سرعة كل نمط منها.

- ٣- درجة استدارة الكتل الصخرية المتحركة :بالطبع تشتد سرعة الكتل شبه الكروية لخلو أطرافها من البروزات التي تعوق تحركها .
- ٤- مدى تشبع المواد بالمياه :تسهل المياه في تسهيل تحرك المواد بإكسابها قوة دفع إضافية من ناحية ، والتفاعل مع مكونات سطح المنحدر وتكوين مادة طينية تعمل على تشحيم سطحه وتسهل حركة المواد عليه .

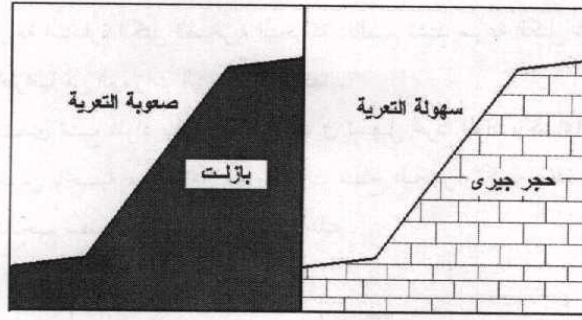


شكل (٩-١) تأثير درجة إنحدار سطح الأرض على حركة المواد على المنحدرات

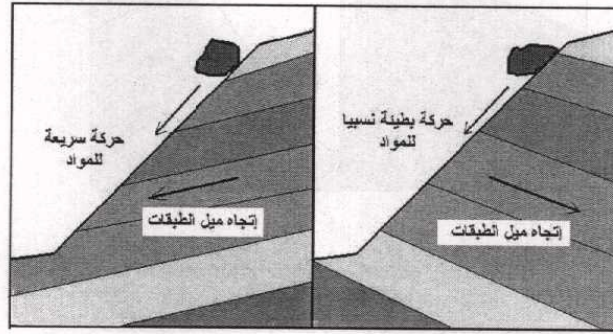


شكل (١٠-١) تأثير نمط تقوس سطح الأرض على حركة المواد على المنحدرات

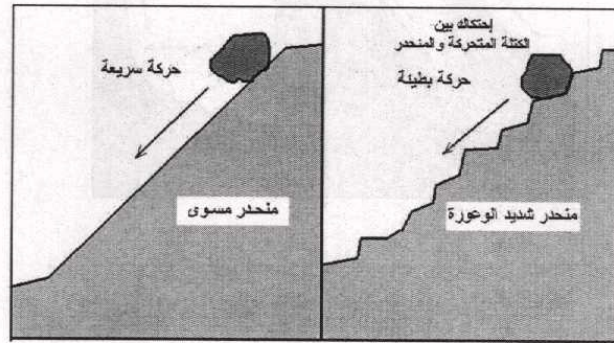




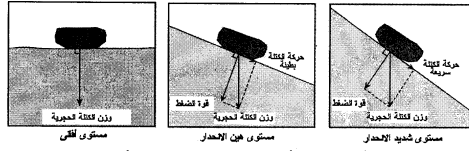
شكل (١١-١) تأثير نوع الصخر على حركة المواد على المنحدرات



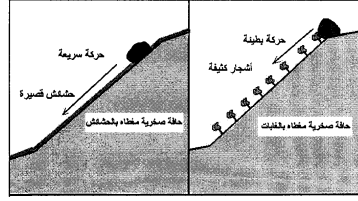
شكل (١٢-١) تأثير اتجاه ميل الطبقات على سرعة تحرك المواد على المنحدرات



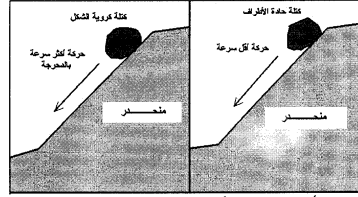
شكل (١٣-١) تأثير درجة وعورة المنحدر على سرعة تحرك المواد على المنحدرات



شكل (١٤-١) تأثير اختلاف درجة إنحدار سطح الأرض على سرعة تحرك المواد على المنحدرات



شكل (١٥-١) تأثير نوع الغطاء النباتي على سرعة تحرك المواد على المنحدرات



شكل (١٦-١) تأثير درجة كروية الكتل المتحركة على سرعة تحرك المواد على المنحدرات

(ج) أشكال حركة المواد على المنحدرات **Mass Movements Landforms**:

تتعدد أشكال حركة المواد على المنحدرات بتأثير الجاذبية الأرضية ولكن يمكن تصنيف هذه الأشكال في أربع مجموعات رئيسية يلخصها (جدول ١-١) هي :

"١" حركة بطيئة جافة مثل زحف الصخور أو التربة **Rock Creep** وزحف التربة **Soil Creep**.

"٢" حركة سريعة جافة مثل تساقط الصخور **Rock Fall**.

"٣" حركة بطيئة مشبعة بالمياه مثل بعض حالات زحف المواد المختلطة بالمياه على المنحدرات الهينة.

"٤" حركة سريعة مشبعة بالمياه مثل الانزلاق الأرضي **Landslides** والتدفق أو الإنسياب الأرضي أو الطيني **Earth Flow and Mud Flow**.

جدول (١-١) أنماط حركة المواد على سفوح المنحدرات<sup>(١)</sup>

السقوط (التساقط)	الإنزلاق رطب-جاف شبه متجمد	التدفق (الإنسياب) تدفق جاف : شبه متجمد	الزحف رطب -جاف شبه متجمد	المهبوط رطب - جاف شبه متجمد
١- التساقط الصخري	١- إنزلاق الصخور	١- تدفق صخري ٢- تدفق الركام	١- زحف الصخور	١- المهبوط الصخري
٢- تساقط التربة	٢- إنزلاق الحصى	٣- تفر صخري ٤- تدفق تربة	٢- زحف المفتتات	٢- هبوط التربة
٣- تساقط المفتتات	٣- الإنزلاق الأرضي	(طين-لوس-رمل) ٥- تدفق مفتتات (تدفق الحصى) تدفق رطب: ١- تدفق التربة ٢- تدفق الطين ٣- التدفق الأرضي تدفق المفتتات تدفق شبه متجمد (في العروض الباردة) ١- تدفق صخري ٢- إنزلاق التربة	٣- زحف الركام ٤- زحف التربة	٣- المهبوط الأرضي

<sup>(١)</sup> . After : Savage, 1951 ،

ولاحظ أن:

١- التربة : لا يقل حجم حبيباتها عن ٠,٠٧٩ مم

٢- المفتتات : خليط من حطام الصخور والتربة ويتراوح حجم حبيباته بين ٠,٠٧٩ إلى ٢ مم

## ١- زحف التربة Soil Creep:

التجوية الكيميائية الناجمة عن تتابع الرطوبة والجفاف Wetting and Drying ويمكن ملاحظة زحف التربة بصورة غير مباشرة بالعديد من الشواهد مثل: ميل أعمدة الكهرباء والأسوار وجزوع الأشجار بسبب دفعها بتراكم هذه الرواسب عليها (شكل ١-١٧، وصورة ١-٣١).

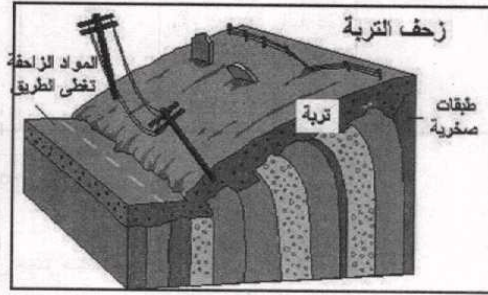


صورة (١-٣١) إنكشاف جذور إحدى الأشجار نتيجة زحف التربة (تصوير: Bernie Bauer 2002, in: Slattery, 2004)

يُعد زحف التربة من أكثر أشكال حركة المواد بالجاذبية الأرضية شيوعاً، وهو عبارة عن حركة بطيئة تحدث على المنحدرات الهينة سواء للمفتتات أو التربة، وتنتشر في المناخات المعتدلة والمدارية، ويتراوح سمك التربة المتحركة بين بضعة سنتيمترات وأكثر من ٥ أمتار، وهناك العديد من العوامل المؤثرة في حدوث هذا النمط من حركة المواد أهمها مايلي:

(أ) العوامل البيولوجية مثل إندساس جذور النباتات داخل نظم الفواصل، وحفر الحيوانات والزواحف لجحورها داخل صخور المنحدر مما يساعد على تفككها.

(ب) العوامل المناخية وبصفة خاصة التباين الحاد في درجات الحرارة الذي يسهم في حدوث التجوية الميكانيكية للصخر، أو حول الصفر المئوي ودوره في حدوث تجوية الصقيع Frost Action، إلى جانب تأثير

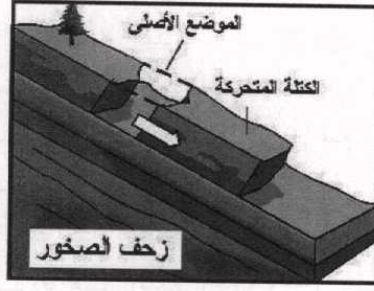


شكل (١-١٧) ملامح زحف التربة



## ٢- زحف الصخور Rock Creep :

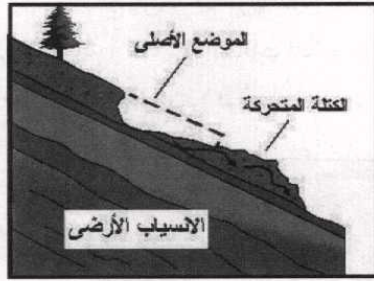
تحدث عملية الزحف الصخري عادة في المناطق التي تتشكل من الأحجار الرملية والكونجلوميرات ، خاصة إذا كانت متأثرة بنظم الفواصل المتعامدة شديدة التكاثف ، والتي تسهم في إضعاف الصخر وسهولة تفككه، وتحرك هذه الكتل الصخرية عادة على منحدرات صخرية مصقولة (شكل ١٨-١).



شكل (١٨-١) ملامح زحف الصخور

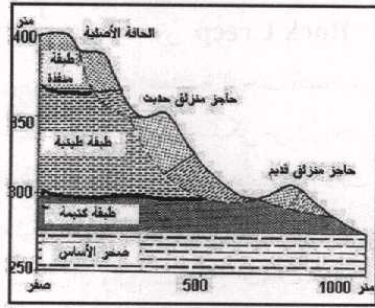
## ٣- التدفق الأرضي والتدفق الطيني Earth Flow and Mud Flow :

قد تصل إلى عشرات الكيلومترات (شكل ١٩-١).



شكل (١٩-١) ملامح التدفق (الانسياب) الأرضي

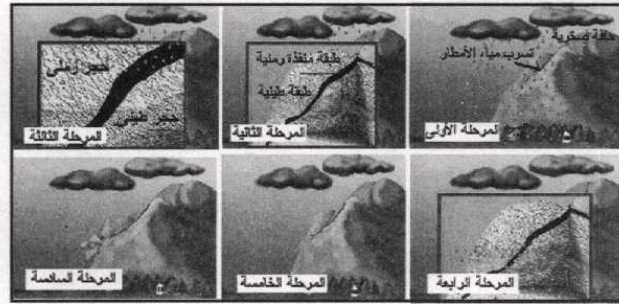
يطلق على هذه العملية أحياناً تعبير الإنسياب الأرضي ، وهي تعد من أنماط الحركة السريعة ، وهي ترتبط بحركة المواد الرطبة ، ولكن تتميز التدفقات الأرضية بضعف إنحدار سفوحها بالمقارنة بالتدفقات الطينية التي تتطلب منحدرات أشد ، وتحتوي موادها الطينية على كميات أكبر من المياه ، وهي تنتشر بالمناطق ذات الأمطار الغزيرة ، فتسبب تحرك طبقة سميكة من الطين الخالي من الكساء النباتي من إرتفاع يناهز الكيلومتر الكامل ولمسافات



#### ٤- الإنزلاق الأرضي Landslides:

إحدى عمليات حركة المواد السريعة على سفوح المنحدرات وهي تحدث بصورة فجائية على الرغم من عدم تشبع موادها بالمياه ، ولكن يتوقف تعرض الحافات الصخرية لعملية الإنزلاق على عدة شروط هي (شكلا ٢٠-١ و ٢١-١، وصورة ٣٢-١):

- ١" تعاقب صخور صلبة منفذة للمياه فوق طبقة سميكة من الصخور الطينية والصلصالية.
  - ٢" ميل الطبقات في إتجاه المنحدر .
  - ٣" تشبع الطبقة الطينية بالمياه سواء المتسربة من الطبقة المنفذة العليا أو تحت سطحياً .
  - ٤" ندرة الغطاء النباتي الذي يعوق عملية الإنزلاق .
  - ٥" شدة إنحدار الحافة ( أكثر من ٣٠ درجة ) .
- وينتج عن تراكم المواد المتزلقة تشكيل مجموعة من الحواجز يتفق عددها مع عدد مرات تراجع الحافة ، كما تبدو الحافات المتأثرة بالإنزلاق على شكل أقواس تشبه نعل (حدوة) الفرس Horse - Shoe وتتراكم أسفلها حواجز الإنزلاق Slide Ridges .



شكل (٢١-١) مراحل الإنزلاق الأرضي

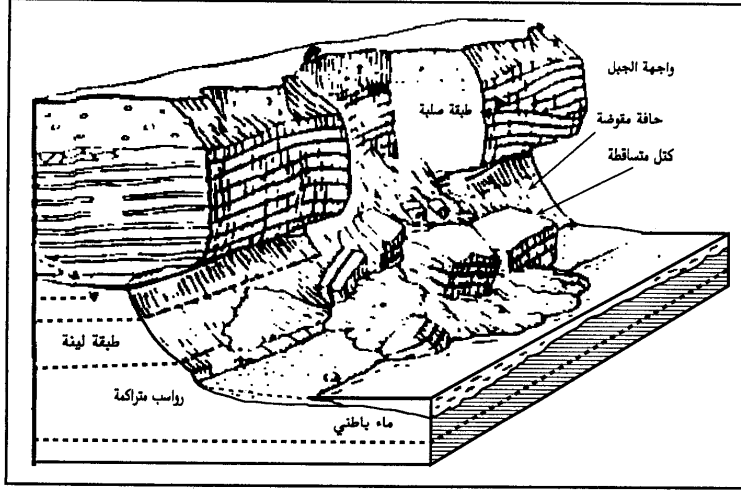


صورة (٣٢-١) إنزلاق أرضي في وادي Likhu Khola في الهند  
(تصوير : Keith Richards 2002, , in: Slattery, 2004)



##### ٥- تساقط الكتل الصخرية Rock Fall :

أحد أشكال الحركة الجافة السريعة بفعل الجاذبية الأرضية ، وتحدث عند أعالي الحافات الصخرية الشديدة الانحدار والجرفية ، وبخاصة تلك المتأثرة بنظم الفواصل المتشابكة . وتم هذه العملية بصورة فجائية في ثوان معدودة ، ودون تدخل أى عامل من عوامل التعرية ، ومن النادر رؤيتها في الحقل ، ولكن يمكن الاستدلال على زمن حدوثها بدراسة شكل الكتلة المتساقطة ، ودرجة تأثرها بعمليات النحت الحديثة من حيث الصقل ودرجة الإستدارة ، ومدى الاختلاف اللونى لقشرتها الخارجية ، ومطابقتها على القمة الأصلية لهذه الكتلة (شكل ٢٢-١).



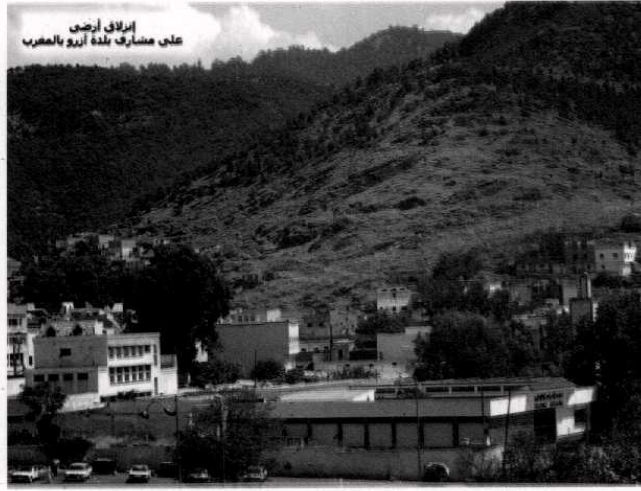
شكل (٢٢-١) مجسم يوضح تساقط صخرى في حافة أفقية الطبقات متأثرة بالتقويض بالماء الباطنى

##### ٦- إنزلاق الكتل الصخرية Rock Slides- Block Glide :

من العمليات الجيومورفولوجية النادرة وتشبه الإنزلاق الأرضى ولكن تتشكل المواد المتحركة في هذه الحالة من الكتل الصخرية في ظل الظروف المساعدة لحدوث عملية الإنزلاق ، وأهمها تشبع الطبقة الطينية بالمياه بحيث تعمل على تشحيم سطح المنحدر فتقلل الاحتكاك بينه وبين الكتل المتحركة ، كما تسهم الشقوق والفواصل الصخرية المتشابكة في سرعة انفصال الطبقة الصخرية المتزلقة على السطح الشديد الانحدار (صورتا ٣٣-١ و ٣٤-١) .







صورة (٣٣-١) إنزلاق أرضي قرب بلدة "أزرو" بجبال أطلس الوسطى في المغرب  
(تصوير المؤلف في يوليو ٢٠٠٣)



صورة (٣٤-١) إنزلاق أرضي في وادي "باسبا Baspa" بجبال الهيمالايا بشمال الهند  
(تصوير : Vikram Gupta 2002, , in: Slattery, 2004)



## ٧- الهبوط الأرضي Subsidence :

تحدث عملية الهبوط الأرضي تحت تأثير عدد من الظروف المساعدة هي (شكل ١-٢٣) :-

- ١" تحلل الطبقة السفلية للمنحدرات السطحية بتأثير الماء الباطني وخاصة بفعل الإذابة للأحجار الجيرية ، وتعرض أسقف الكهوف الجيرية للهبوط والإنهيار .
- ٢" إختلال توازن أسقف المناجم وهبوط الطبقات السطحية للمنجم .
- ٣" عدم ثبات رواسب الطفل الجليدي السفلية وهبوط الرواسب التي تعلوها .
- ٤" الضغط الناتج عن تراكم الرواسب والمفتتات الصخرية فوق طبقات هشة .
- ٥" هبوط أجزاء من المدن والطرق والسكك الحديدية بسبب تآكل مواد النحت السطحية .
- ٦" وجود الآثار البشرية المدفونة تحت الأرض مثل المدن التاريخية القديمة مثل مدينة الإسكندرية الحالية المشيدة فوق بقايا مدينة تاريخية قديمة في نفس موقعها .



شكل (١-٢٣) ملامح الهبوط الأرضي

## ٨- منحدر البيدمونت Piedmont :

يطلق على منحدر البيدمونت أحياناً تعبير نطاقات حضيض الجبال Mountain Foot Zones وهو يتألف من العناصر الآتية ( من أعلى لأسفل ) (شكل ١-٢٤) :

### ١" قمة الجبل Mountian Top :

نعني بها الجزء العلوي من الحافة الصخرية وكثيراً ما تكون متأثرة بنظم الشقوق والفواصل وظروف التجوية بنوعيتها ، مما يساعد على شدة نحتها وتراجعها خلفياً .

### "ب" واجهة الجبل Mountain Front :

ويمثل منحدر الجبل Mountain أو الحافة Scarp وتتميز بشدة إنحدارها الذي يصل أحياناً إلى الجرف القائم تماماً ، وترتبط الأجزاء المحدبة من المنحدر بمكاشف الصخور الصلدة ، أما الصخور اللينة فتتفق مع الواجهة المقعرة للمنحدر، ولذلك يتفاوت معدل تراجع المنحدر تبعاً لمدى صلابته ، ومرحلة تطوره التحتاني .

### "ج" زاوية البيدمونت Piedmont Angle :

ويطلق عليها أحياناً تعبير كوع الجبل (المنحدر) Mountain Knick وهي تمثل موضع إتصال واجهة الجبل أو المنحدر و سطح الأرض المتاخم لها . وكثيراً ما تنطمر زاوية البيدمونت أسفل مراوح رسوبية عظيمة السمك ، متراكمة من الحافات التي تعلوها ، ولكن في كثير من الأحيان تنكشف منطقة الكوع بسبب نشاط عوامل نقل المواد من الجزء العلوى من سهل البيدمنت Pediment .

### "د" سهل البيدمنت Pediment Plain :

على سطحه ، حتى تفقد طاقة حركتها فتترسب تدريجياً مكونة نطاق الباجادا الرسوبى .



شكل (١-٢٤) عناصر أو أجزاء المنحدر

سهل صخرى هين الإنحدار يقع أسفل كوع الجبل مباشرة نزلاً إلى الباجادا أو النطاق الرسوبى الفيضى Alluvial Zone ويظهر سهل البيدمنت مقعراً في مظهره العام وينحدر إنحدار هيناً لا يزيد عن السبع درجات . ويتفاوت إتساعه بين بضعة أمتار ونحو الكيلومتر ، ويتألف قسمة العلوى من سطح مصقول نتيجة إندفاع المواد الزاحفة

#### ٩- مخروط الهشيم :

#### Cliff Debris-Scree-Talus Cone –Talus Creep

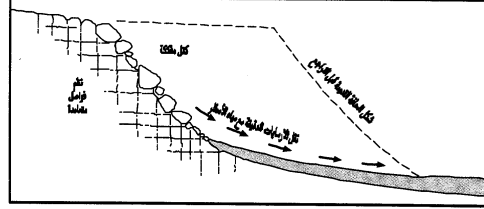
يُطلق مصطلح مخروط الهشيم " التيلاس " الفرنسي الأصل على الحطام الصخري المتجمع ككومات متراكمة تحت أقدام الحافات الصخرية الشديدة الانحدار ، بتأثير الجاذبية الأرضية تحت ظروف المناخ الصحراوي الجاف ، والمتعدل البارد ، وأيضاً المناطق القطبية ، ولكن تتباين أشكال هذه المخروطات وأحجامها تبعاً لمدى تأثير الحافات بعوامل التعرية ، واختلاف معدل تراجعها، وعامل التعرية السائد ، إلى جانب طبيعة وحجم المواد التي تتألف منها هذه الكومات الهرمية الشكل .

وتصنف المواد المكونة للمخروط الرسوبي حسب أحجامها ، فنجد أن معظم الجلاميد والكتل الصخرية الكبيرة الحجم تنحدر بسرعة نحو أقدام الحافات ، وتعلوها الكتل المتوسطة والحصى والحصى ، أما الراوسب الرملية والأترية الدقيقة فتغطي أعالي المخروط ، وعند سقوط الأمطار تتحول هذه الأترية إلى مادة لاصقة تعمل على حماية جسم المخروط الرسوبي (صورة ٣٥-١) (شكل ٨-١).

#### (د) تطور المنحدرات Slopes Evolution :

تتعرض منحدرات سطح الأرض لتغيرات واضحة عبر الزمن سواء في أشكالها أو قطاعاتها التضاريسية، حيث تتأثر المنحدرات بفعل عمليات التجوية وخاصة عند قممها وفي أقسامها العليا، وتستحرك المواد المنحدر على سطح المنحدر بتأثير الجاذبية الأرضية ، وتحدد سرعة تحرك هذه المواد على عدة ضوابط سبق معالجتها في الصفحات السابقة ، وتتراكم في النهاية على حضيض المنحدرات مكونة ما يعرف باسم مخروط الهشيم Talus Creep، ومع استمرار هذه العمليات لفترات زمنية طويلة تتراجع الحافات الصخرية خلفاً ويتحول للشكل المخدب ، على حين تتجمع نواتج المواد المتحركة على حضيض المنحدر فيتحول مظهره للشكل المقعر (شكلا ١-٢٥، ١-٢٦). ولكن لا تتراجع جميع أجزاء الحافة الصخرية بمعدلات متماثلة ، فللضوابط الجيولوجية دوراً واضحاً في تحديد هذا المعدل من حيث:

١. ليثولوجية الصخر ومدى مقاومته لعوامل النحت ، ونسبة النفاذية والمسامية بين حبيبات الصخر ، وطبيعة المادة اللاصقة لهذه الحبيبات
٢. ظروف البنية الجيولوجية وخاصة درجة وإتجاه ميل الطبقات الصخرية ، ومدى تعرضها لحركات الطلي والتصدع .

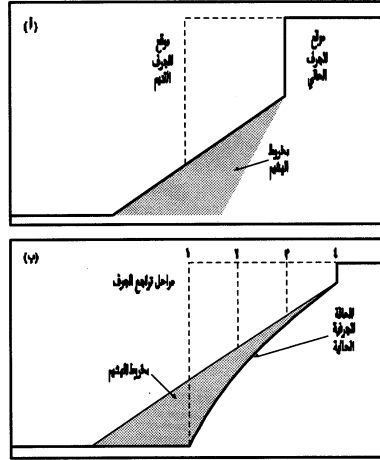


شكل ( ١-٢٥ ) تراجع حافة صخرية وتحولها لحافة مقعرة التقوس

وقد ساهم العديد من الجيومورفولوجيين بوضع نماذج توضح مراحل تطور سفوح المنحدرات ، فقد وضع **وليم موريس دافيز W.M. Davis** تصوراً لمراحل تطور منحدرات

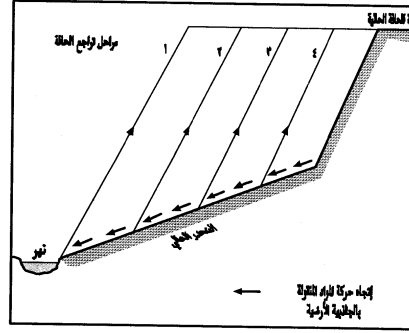


- السفوح من خلال دراسته للدورة التحاتية البسيطة وتطبيقها على منحدرات جوانب المجارى النهرية ولخصها فيما يلي (حسن أبو العينين ، ١٩٩٥ عن Davis, 1954) فيما يلي:
١. يظهر المنحدر في بداية الأمر شديد الانحدار مستقيماً ومنتظماً إلى حد كبير.
  ٢. تتأثر الأجزاء العليا من المنحدر بعمليات التجوية وعوامل التعرية وتشكل قسماً محدباً.
  ٣. تتجمع المواد المتحركة على حضيض المنحدر وتكون قسماً مقعراً.
  ٤. يكون تتابع التحدب/التقعر شديداً في مرحلة الشباب ، ثم يقل تدريجياً مع تتابع الدورة التحاتية إلى أن يصل لأقل درجة في مرحلة الشيخوخة.



شكل (١-٢) مراحل تراجع الجروف الرأسية وتكوين مخروط هشيم من نواتج تجوية الحافة المتراجعة

أمسا فالتر بنك W.Penk فقد أقترح التراجع المتوازي لمنحدرات السفوح The Parallel Retreat Model ، وأشار إلى أن السفح يتراجع خلفاً عن شكله الأصلي بصورة منتظمة ومتوازية. وبدرجات متساوية ، على إفتراض تجانس الظروف الجيولوجية للمنحدر وعدم تقطع أجزائه بالمسيلات الجبلية ، ومع استمرار تراجع المنحدر خلفياً يتكون المنحدر القاعدى الذى يمثل السطح الحالى للسفح ، الذى يزداد طوله تدريجياً مع توالى عملة التراجع الخلفى للمنحدر الأصلى (شكل ١-٢٧).



شكل (١-٢٧) تراجع متوازي لحافة صخرية

#### قائمة المراجع:

##### أولاً : مراجع باللغة العربية :

- ١-جودة حسنين جودة ، ١٩٨٩ : الجيومورفولوجيا ، دار المعرفة الجامعية ، الإسكندرية.
- ٢-جودة فتحى التركمانى ، ٢٠٠٣ : أشكال السطح ، دراسة فى أصول الجيومورفولوجيا ، بدون ناشر ، القاهرة.
- ٣- حسن سيد أحمد أبوالعينين ، ١٩٩٥: أصول الجيومورفولوجيا ، الطبعة الحادية عشرة ، مؤسسة الثقافة الجامعية ، الإسكندرية.
- ٤-حسن رمضان سلامة ، ١٩٨٣: مظاهر الضعف الصخرى وآثارها الجيومورفولوجية، دمشق.
- ٥-صلاح الدين بحسرى ، ١٩٧٩(أ) : جغرافية الصحارى العربية ، المنظمة العربية للترية والثقافة والعلوم ، معهد البحوث والدراسات العربية ، القاهرة.
- ٦- ----- ، ١٩٧٩ (ب): أشكال سطح الأرض ، دار الفكر العربى ، دمشق.
- ٧-محمد صبرى محسوب ، ١٩٩٨: جيومورفولوجية الأشكال الأرضية ، دار الفكر العربى ، القاهرة.
- ٨- ----- ، ٢٠٠١: الأطلس الجيومورفولوجى ، معالجة تحليلية للشكل والعملية، دار الفكر العربى ، القاهرة.
- ٩- محمد مجدى تراب ، ١٩٩٦: أشكال الصحارى المصورة، منشأة المعارف ، الإسكندرية.
- ١٠- يحيى عيسى فرحان ، ١٩٨٣: مورفولوجية المنحدرات فى مناطق مختارة من وسط الأردن، منشورات جامعة اليرموك ، اليرموك .

ثانياً : مراجع بلغات أجنبية :

1. Ahmed, M., J.W. Smith, and S.C. George, 1999, Effects of biodegradation on Australian Permian coals: Organic Geochemistry, v. 30, p. 1311-1322.
2. Barton, D.C., 1938, Discussion: The disintegration and exfoliation of granite in Egypt, J.Geol.,v. 46,109-111.
3. Benedict, L.G., and W.F. Berry, 1964, Recognition and measurement of coal oxidation: Monroeville, PA, Coal Research, 41 p.
4. Calemma, V., R. Rausa, R. Margarit, and E. Girardi, 1988, FTIR study of coal oxidation at low temperature: Fuel, v. 67, p. 764-770.
5. Carson, M.A., and Kirkby, M.J., 1970, Hillslope form and process: London, Cambridge University Press, 475 p.
6. Chandra, D., 1962, Reflectance and microstructure of weathered coals: Fuel, v. 41, p. 185-193.
7. Chang, S., and R.A. Berner, 1999, Coal weathering and the geochemical carbon cycle: Geochimica et Cosmochimica Acta, v. 63, p. 3301-3310.
8. Chigira, M., and T. Oyama, 2000, Mechanism and effect of chemical weathering of sedimentary rocks: Engineering Geology, v. 55, p. 3-14.
9. Clayton, J.L., and P.J. Swetland, 1978, Subaerial weathering of sedimentary organic matter: Geochimica et Cosmochimica Acta, v. 42, p. 305-312.
10. Clemens, A.H., T.W. Matheson, and D.E. Rogers, 1991, Low-temperature oxidation studies of dried New Zealand coals: Fuel, v. 70, p. 215-221.
11. Crawford, D.L., ed., 1993, Microbial transformations of low rank coals: Boca Raton, CRC Press, 223 p.

12. Crelling, J.C., R.H. Schrader, and L.G. Benedict, 1979, Effects of weathered coal on coking properties and coke quality: Fuel, v. 58, p. 542-546.
13. Davidson, R.M., 1990, Natural oxidation of coal: IEA Coal Research, publication 29, 76 p.
14. Davidson, R.M., 1991, Natural oxidation of coal: University of Kentucky Center for Applied Energy Research, Energeia, v. 2, no. 2, p. 1-4.
15. Davis, W. M., 1954, Geographical Essays, ed. By D. W. Johnson, Dover, N. Y.
16. Dunlop, N.F., and R.B. Johns, 1999, Thermally induced chemical changes in the macromolecular structure of an Indonesian coal: Organic Geochemistry, v. 30, p. 1301-1309.
17. Fairbridge, R.W., 1969, The encyclopedia of Geomorphology, John Wiley & Sons Inc., New York, 1295p.
18. Fredericks, P.M., P. Warbrooke, and M.A. Wilson, 1983, Chemical changes during natural oxidation of a high volatile bituminous coal: Organic Geochemistry, v. 5, p. 89-97.
19. Goudie, A.S.(Edit.), 2004, Encyclopedia of Geomorphology, International Association of Geomorphology, New York, 1156p.
20. Gray, R.J., and D.E. Lowenhaupt, 1989, Aging and weathering, in R. Klein and R. Wellek, eds., Sample selection, aging, and reactivity of coal: New York, John Wiley & Sons, p. 255-334.
21. Huggins, F.E., G.P. Huffman, G.R. Dunmyre, M.J. Nardozi, and M.C. Lin, 1987, Low temperature oxidation of bituminous coals: its detection and effect on coal conversion: Fuel Processing Technology, v. 15, p. 233-244.
22. Ingram, G.R., and J.D. Rimstidt, 1984, Natural weathering of coal: Fuel, v. 63, p. 292-296.
23. Isaacs, J.J., and R. Liotta, 1987, Oxidative weathering of Powder River basin coal: Energy and Fuels, v. 1, p. 349-351.

24. Jackman, H.W., R.L. Eissler, and F.H. Reed, 1957, Weathering of Illinois coals during storage: Illinois State Geological Survey Circular 227, 22 p.
25. Klein, R., and R. Wellek, eds., Sample selection, aging, and reactivity of coal: New York, John Wiley & Sons, 469 p.
26. Landais, P., R. Michels, J. Kister, J.-M. Dereppe, and Z. Benhedda, 1991, Behavior of oxidized type II kerogen during artificial maturation: *Energy Fuels*, v. 5, p. 860-866.
27. Leythaeuser, D., 1973, Effects of weathering on organic matter in shales: *Geochimica et Cosmochimica Acta*, v. 37, p. 113-120.
28. Littke, R., 1993, Deposition, diagenesis and weathering of organic matter-rich sediments: New York, Springer-Verlag, Lecture Notes in Earth Sciences 47, 216 p.
29. Lopez, D., Y. Sanada, and F. Mondragon, 1998, Effect of low-temperature oxidation of coal on hydrogen-transfer capability: *Fuel*, v. 77, p. 1623-1628.
30. Martinez, M., and M. Escobar, 1995, Effect of coal weathering on some geochemical parameters: *Organic Geochemistry*, v. 23, p. 253-261.
31. Mathews, W.H., and R.M. Bustin, 1984, Changes associated with natural in situ weathering of a coking coal from southeastern British Columbia: *Fuel*, v. 63, p. 548-550.
32. Nelson, C.R., ed., 1989, Chemistry of coal weathering: New York, Elsevier Science Publishers, Coal Science and Technology, v. 14, 230 p.
33. Ollier, C.D., 1984, Weathering: New York, Longman, 280 p.
34. Oyama, T., and M. Chigira, 2000, Weathering rate of mudstone and tuff on old unlined tunnel walls: *Engineering Geology*, v. 55, p. 15-27.



35. Peucker-Ehrenbrink, B., and R.E. Hannigan, 2000, Effects of black shale weathering on the mobility of rhenium and platinum group elements: *Geology*, v. 28, p. 475-478.
36. Pisupati, S.V., and A.W. Scaroni, 1993, Natural weathering and laboratory oxidation of bituminous coals: organic and inorganic structural changes: *Fuel*, v. 72, p. 531-542.
37. Savage, C.N., 1951, Mass wasting classification and damage in Ohio, *Ohio J Sci*, v. 51, No. 2, 299-308.
38. Slattery, M., (ed.) 2004, *Atlas of Geomorphology* on CD., Christian University, Texas.
39. Selby, M.J., 1993, *Hillslope materials and processes*: Oxford, Oxford University Press, 451 p.
40. Small, R.J., 1989, *Geomorphology and Hydrology*, Longman, New York, 177p.



## الفصل الثانى أشكال جوفية (تكتونية)

- أولاً: أشكال الطبقات الصخرية الأفقية.
- ثانياً: لأشكال الطبقات الصخرية المائلة.
- ثالثاً: أشكال التوائية.
- رابعاً: أشكال إنكسارية (صدعية).
- خامساً: أشكال بركانية.



1. The first part of the document is a list of the names of the members of the committee.

2. The second part of the document is a list of the names of the members of the committee.

3. The third part of the document is a list of the names of the members of the committee.

## الفصل الثاني أشكال جوفية (تكتونية)

تعمل مجموعة من العوامل مصدرها جوف الأرض في دأب على زيادة تضرس القشرة الأرضية بأن ترتفع بعض الأجزاء وتغور بالبعض الآخر ، وتعرف بالعوامل الداخلية أو الباطنية Endogenetic Agents ، وهى بذلك تتوازن مع الآثار المترتبة على نشاط مجموعة العوامل الخارجية من تجوية ومياه جارية وجوفية ورياح ، وغيرها من العوامل المسؤولة عن نحت المناطق البارزة من اليابس ، ونقل مفتاتها لتملأ المواضع المنخفضة والتناوعات والفجوات لتجعل سطح الأرض أكثر إستواءاً .

وتنقسم العوامل الباطنية إلى مجموعتين هما: العوامل التدريجية البطيئة التى يستمر تأثيرها لفترات زمنية طويلة قد تصل لمئات الملايين من السنين ، مثل حركات الطى والثنى (الإنثناءات) المجدبة والإنثناءات المقعرة) والإنكسارات (الصدوع) ، والعوامل الفجائية السريعة مثل الإنثناءات البركانية ، والمفزات الزلزالية ، والفورات الحارة . ويتناول هذا الفصل الأشكال الأرضية التى تنشأ بتأثير العوامل الباطنية ، وتشتمل على خمس مجموعات هى :

- ١ - أشكال الطبقات الصخرية الأفقية .
- ٢ - أشكال الطبقات الصخرية المائلة .
- ٣ - أشكال إنثناءية .
- ٤ - أشكال إنكسارية (صدعية) .
- ٥ - أشكال بركانية .

### أولاً : أشكال الطبقات الصخرية الأفقية:

تعد الطبقات الصخرية الأفقية أحد نظم البنية الجيولوجية Structure وتنقسم بعدة خصائص أهمها ما يلى :

١ - يبلغ ميل طبقاً Dip القيمة (صفر) .

## ٢- يتساوى سمكها الحقيقى True Thickness مع سمكها الرأسى Vertical Thickness.

٣- تظهر مكاشفها الصخرية سواء العلوية أو السفلية موازية لخطوط الكتور .

٤- ترسم على الخرائط الجيولوجية والجيولوجية بالرمز (+)

وفيما يلى أهم الأشكال الجيومورفولوجية المرتبطة بالطبقات الصخرية الأفقية ، وهي التى نطلق عليها اسم أشكال (ظواهرات) الشواهد الصخرية Zeugen ، وهو مصطلح ألماني يُطلق على مجموعة التلال التى تشير إلى مستوى سطح الأرض القديم قبل بداية تأثير عوامل التعرية ، وتضم هذه المجموعة من الأشكال : الموائد الصخرية والقور والتلال المزدوجة "النهود" والأعمدة الصخرية والتلال المنفردة "الأعلام" أو التلال المتخلقة وغيرها ... إلا أنها تشترك جميعاً في عدة خصائص هي (شكل ٢-١) :

- ١- إستواء سطوحها وتساوى مناسيبها .
- ٢- تغطيتها قلنسوة أو قشرة صلبة تعمل على حمايتها من عوامل النحت والإزالة .
- ٣- ترتبط بالطبقات الصخرية الأفقية .
- ٤- ينتهى مصير هذه التلال بالإزالة والاكساح وتشكيل السهل النحائى .

### (أ) الموائد الصخرية Meza-Mesa :

المائدة الصخرية أو " الميزا" مصطلح اشتق من هضبة الميزتا الأسبانية ، ثم انتشر بالجنوب الغربى للولايات المتحدة الأمريكية ، وهو يُطلق على بعض الهضبات أو التلال ذات الطباق الأفقية المتوجه بتكوينات أكثر صلابة تتألف عادة من السليكات أو اللاتريت أو القشرة الجيرية المتصلبة بالخاصية الشعرية ، ويعمل هذا الغطاء الصلب على حماية جسم التل من الإزالة بعوامل التعرية . وكان يعتقد قديماً أن هذه الظاهرة وغيرها من أشكال الشواهد الصخرية تنشأ نتيجة برى حضبيض الصخور بالرياح ، لكن يرجح الآن تأثير التجوية الكيميائية عند إلتقاء قواعد هذه التلال بسطح الأرض المشبع بالمياه ، وتتميز أسطح هذه الموائد بالإستواء التام ، بينما يشهد إغدار حوافها بسبب تأثيرها بالتقويض الجانبي بفعل المياه . ويُطلق بدو الصخر على الهضبات الشاهدة تعبير " قور " ومفردتها " قارة " مثل قارة " أم الصغير " على الهامش الشمالى لمنخفض القطارة، والتي استغلها السكان المحليون في بناء قرية على سطحها طلباً للأمن والحماية.



(ب) القواعد الصخرية " قواعد التماثيل " Pedestal :



صورة (١-٢) قاعدة تمثل في طبقات الأحجار الرملية الأفقية المتباينة الصلابة في صحراء "النقب" جنوب فلسطين المحتلة (تصوير : Nicolaus Kuhn ٢٠٠٢ , in: Slattery, ٢٠٠٤)

عبارة عن هضبيات صغيرة تنشأ عن نشاط عمليات النحت في الكتل الصخرية ذات الطباقية الأفقية ، وهي تشبه الموائد الصحراوية ولكنها تتميز عنها بعدم وجود تقويض جانبي عند أسافلها ، ولذا تبدو حوافها شديدة الانحدار ومصقولة بتأثير الاكتنساح بالرياح (صورة ١-٢).

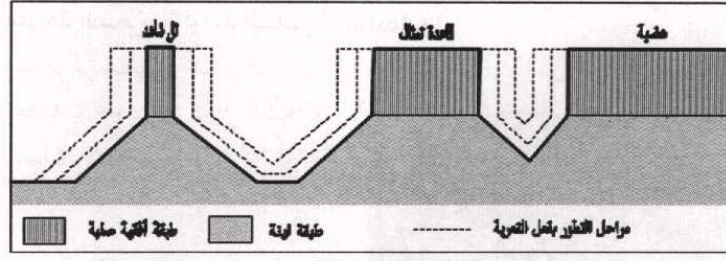
(ج) التلال الشاهدة " القور " Buttes :

سحقها ونقلها من جديد (شكل ١-٢ ، صورة ٢-٢).



صورة (٢-٢) تل شاهد يبرز وسط السبخات الساحلية بالقرب من ساحل الخليج العربي بدولة الإمارات (تصوير المؤلف في مارس ٢٠٠٢)

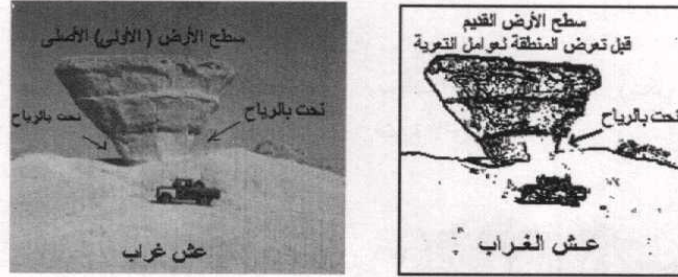
يُعد الجيولوجي الأمريكي Fremont أول من اقترح هذا المصطلح عام ١٨٤٥ ، ثم تناولته فيما بعد كتابات Gilbert (١٨٩٥) and Gulliver وهو يُطلق على الموائد الصحراوية حينما تتعرض سطوحها المعلقة للإهيار نتيجة توالي عمليات التقويض السفلى بالمياه والاكتنساح بالرياح، لدرجة لا تقوى عندها القشرة الصخرية على ضغط توازنها فتتهار ، ولكن تراكم المفتتات عند أقدام هذه التلال يعمل على حمايتها من عوامل النحت والإزالة لبعض الوقت، حتى تتمكن هذه العوامل من



شكل (١-٢) بعض الظواهر المتكونة عن تحت الطبقات الأفقية

#### (د) عش الغراب Mashroom :

أحد الأشكال الصخرية الصحراوية ذات الطباقية الأفقية ، وهو يشبه نبات عش الغراب ويمثل صخرة تشبه المائدة القائمة على عمود واحد محدود القطر بالنسبة للسطح العلوى المستوى عظيم الإتساع (شكل ٢-٢) .



شكل (٢-٢) عش غراب متكون في طبقات الحجر الرملى الأفقية

#### (هـ) الأعمدة الصحراوية Desert Pillars and Pyramids :

أعمدة صخرية تنتهى إلى أعلى بكتلة جلمودية نتيجة وجود بقايا طبقة أفقية تعرضت للنحت ، وقد يعزى حدوث بعضها إلى البريشيا البركانية أو الطفل الجلمودى أو الطفل الجليدى، وكثيراً ما تتعرض الشواهد الصحراوية Buttes لعمليات التقويض الجانبى بالتجوية الكيميائية واكتساح الفتحات بالرياح ، فتنهار سفوحها وتتحول إلى أعمدة قائمة الشكل ،

تنوجها قلنسوات رقيقة السمك ولكنها أكثر صلابة من الأعناق الهشة التى تحملها ، وسرعان ما تتآكل هى الأخرى ، وتنهار الأعمدة وتزال مكوناتها بالإكتساح كمرحلة أخيرة من مراحل تشكيل السهل التحتاى ، وتنتشر الأعمدة الصخرية فى أجزاء متعددة من سطح الأرض ، فتمثل فى إقليم الأراضى الوعرة Badlands بولاية "داكوتا الجنوبية" .

وهناك اصطلاح فرنسى آخر يُطلق على هذه الأعمدة هو أعمدة الدمازيل Domoiselle وبالغرب الأمريكى تعبیر Hoodoos ، كما تتخذ هذه الأعمدة الشكل الهرمى Pyramids بولاية "أوتا" الأمريكية (صور من ٢-٣ ، إلى ٥-٢) .



صورة (٢-٤) أحد أعمدة الدمازيل  
(Richard Kesel, 2002, in  
Slattery, 2004)



صورة (٢-٣) أهرامات صخرية فى منطقة "واليز  
Wallis" السويسرية  
(Frans Kwaad, 2002, in  
Slattery, 2004)



صورة (٢-٥) أعمدة صخرية فى منطقة "دروف تيرول Drof Tirol" بجبال الألب الإيطالية شمال مدينة  
"مورانو Morano" بحوالى ٥ كم (تصوير المؤلف فى أغسطس ٢٠٠٤)

#### (و) التلال الجزيرية المنفردة Inselbergs :

عبارة عن تلال تبرز كالجزر وسط السهول الصحراوية ، وهى تقابل اصطلاح Monadnock بالأقاليم الرطبة ، وتعبر Mogate بالمناطق الكارستية ، وإذا وصلت هذه التلال إلى مرحلة متقدمة من مراحل دورتها التحاتية يُطلق عليها فى هذه الحالة تعبير Hum أما فى مرتفعات الأبالاش فيُطلق على هذه التلال المنفردة اسم "أوناكا" بينما يُطلق عليها فى جنوب إفريقيا تلال التافلكوب .

وتنشأ هذه التلال كظواهرات متبقية Residual Features عن نشاط التعرية خلال أعصر رطبة وجافة متعاقبة خلال فترات زمنية سابقة ، حيث كانت تسود التجوية الكيميائية خلال الفترات الرطبة وتنشط خلالها عوامل النحت بالمياه ، ما تلبث أن تكتسحها الرياح إبان مراحل الجفاف اللاحقة بها .

وتتخذ التلال المنفردة عدة أشكال فقد تبدو مخروطية الشكل مدببة القمة ، أو مستوية السطح ، وكثيراً ما تتخذ سطوحها المظهر القبابى المقوس ، وهى عموماً تتشكل نتيجة التقطيع المستمر للكتل الهضبية ، ومن أشهر التلال الجزيرية فى العالم تلك المنتشرة بالإقليم الشمالى من أستراليا ، حيث ترتفع ثلاثة تلال من الكوارتزيت بأكثر من ٣٠٠ متر عن السهول المحيطة بها .

#### (ز) التلال المزدوجة القمة (النهود الصحراوية) Desert Breasts :

عبارة عن تلال مزدوجة القمة تنشأ نتيجة وجود عامل ضعف جيولوجى يسهم فى زيادة معدلات النحت عبر نطاق الضعف ، فيعمل على تقسيم الكتلة الصخرية إلى قسمين ، يمثل كل قسم منهما إحدى القمم ، وقد يكون عامل الضعف الجيولوجى أحد نظم الفواصل ، مما يسمح بتوغل المؤثرات الجوية من تفاوت حرارى ومياه داخل الصخر، فيزيد من توسيعه وإنفصاله ، وقد يكون عامل الضعف عبارة عن نطاق من الصخور اللينة ، فيسهل إزالتها بعوامل التعرية .

### (ح) التطور الجيومورفولوجى لأشكال الشواهد الصحراوية

#### Desert Witnesses-Zeugen

تتميز أشكال الشواهد الصحراوية بالتطور من مظهر لآخر ، تبعاً لتأثير عوامل التعرية عليها ، ويتباين معدل تطورها من شكل لآخر ، بسبب إختلاف درجة الصلابة الصخرية لمكوناتها ومدى تأثيرها بأنظمة الفواصل ، وكذلك مدى توافر المياه والرطوبة الجوية ، واقتراب مستوى الماء الباطنى ، إلى جانب شدة الرياح بالإقليم وظروفه المناخية الأخرى .  
فقد تنهار الأجزاء العلوية للموائد الصحراوية وأعشاش الغراب ، فتبدو كتلال شاهدة ، وسرعان ما تتحول إلى أعمدة بارزة وسط السهول الصحراوية ، مصيرها هى الأخرى النحت والإكتساح .

### ثانياً : أشكال الطبقات الصخرية المائلة :

#### (أ) الكويستا Cuseta-Questa :

تعد الكويستا من أهم الظاهرات الجيومورفولوجية التى تنشأ نتيجة التباين فى التركيب الصخرى ونظام بنائه وهى ليست قاصرة على المناطق الجافة ولكنها تنتشر فى جميع النطاقات المناخية بالكرة الأرضية .

ويتألف الشكل العام للكويستا من حافة ذات إنحدارين متضادين ، الأول شديد عكس اتجاه ميل الطبقات ويعرف باسم الحافة Escarpment ، ويمثل الآخر سطح الكويستا ويميل ببطء شديد مع اتجاه ميل الطبقات Dip ، ويُطلق عليه اسم إنحدار ميل الطبقات أو إنحدار ظهر الكويستا Dip-Slops ويتراوح إنحداره بين نصف الدرجة وحوالى الخمس درجات ، ويتشكل التابع الطبقي للكويستا عادة من طبقات رسوبية مائلة متباينة الصلابة ، تعرضت لعوامل التعرية المختلفة مكونة حافة الكويستا (حسن أبو العينين ، ١٩٩٥) .



(ب) أظهر الميمون **Hogbacks-Razorbacks** :

عبارة عن حافات صخرية شديدة الانحدار تتبع ميل الطبقات (أكثر من ٥٠ درجة) ، أما الحافات التي يتراوح ميل طبقاتها بين (٢٠-٥٠ درجة) فيُطلق عليها مصطلح منحدر صخري (منحدر الميل) Face Slope-Scarp Slope، أما الحافات الهينة الانحدار التي يقل ميل طبقاتها عن ذلك فيُطلق عليها تعبير كويستا Cuesta . وتتميز أظهر الميمون عن الحافات الرأسية Homoclinal Ridges في أن إنحدارها يتبع ميل الطبقات ، أما الثانية فإن إنحدارها عكس ميل الطبقات Anti-Dip Slope، وتشكل حافات أظهر الميمون نتيجة تتابع الطبقات المائلة الصلبة والضعيفة ، وتباين تأثير عوامل التعرية عليها . وهناك عدة أنماط من هذه الحافات هي (شكل ٢-٣ ، صور من ٢-٦ إلى ٢-٩) :

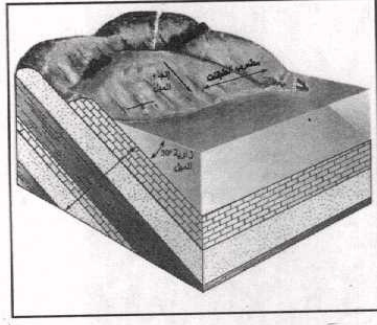
- ١- حافات أظهر الميمون القبابية Domed Hogbacks مثل حافات مرتفعات هنري Henry mt بولاية "أوتا" الأمريكية المتكونة في قباب اللاكوليث .
- ٢- حافات أظهر الميمون ذات التداخلات النارية Domed Hogbacks (الناجمة عن تداخل القواطع النارية Dikes)
- ٣- حافات أظهر الميمون الإنكسارية Faulted Hogbacks (الناجمة عن الحافات الإنكسارية)



صورة (٢-٦) حافة ظهر ميمون إلتوائية النشأة في "جبال الحجر" بسلطنة عُمان  
(تصوير المؤلف في فبراير ٢٠٠٤)

- ٤- حافات أظهر الميمون الالتوائية Recumbent Folded Hogbacks (الناجمة عن الحافات الالتوائية المضجعة أو النائمة) Recumbent Folds
- ٥- حافات أظهر الميمون المرفوعة وحيدة الجانب Monoclinical Hogbacks
- الناجمة عن الالتواءات وحيدة الميل Monoline Folds

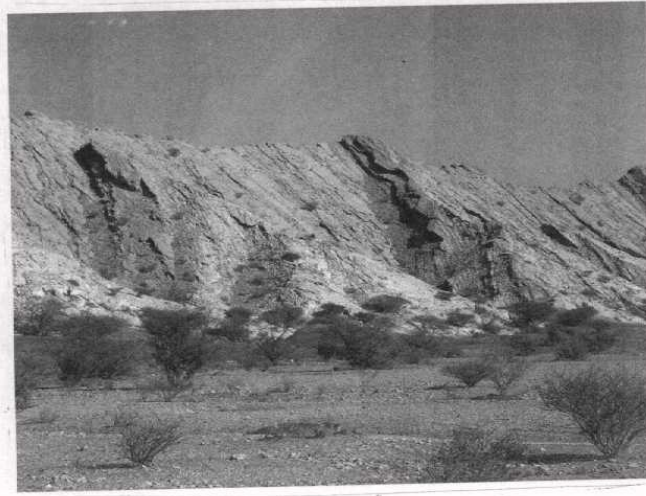




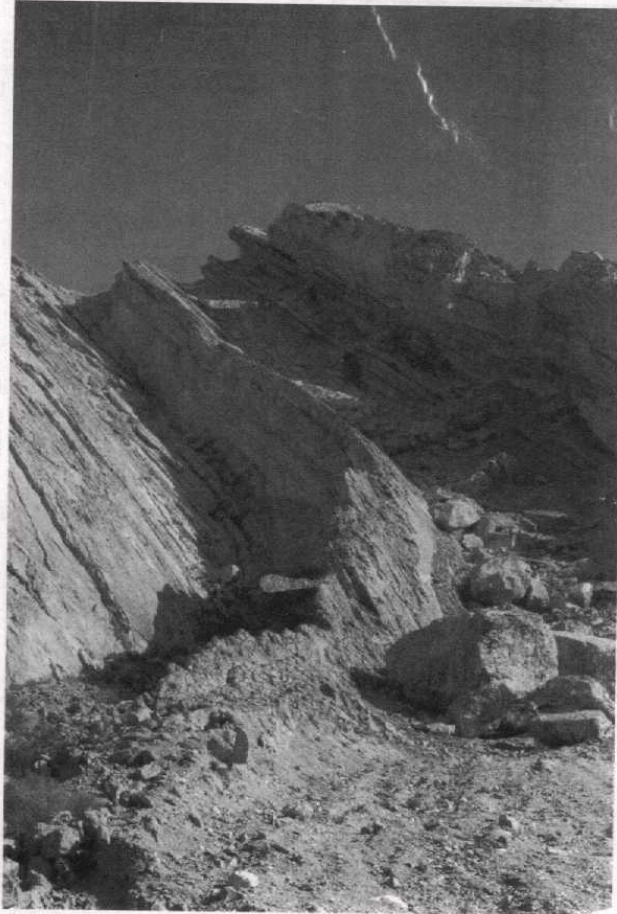
شكل (٢-٣) مجسم لعناصر حافة ظهر ميمون

٦- حافات أظهر الميمون الجيرية  
Limestone Hogbacks مثل حافات  
إقليم الكارست في أستريا Istria  
بيوغسلافيا

٧- حافات أظهر الميمون المدفونة تحت  
الارسابات الفيضية Buried Hogbacks  
وهي حافات مدفونة تحت الرواسب  
الفيضية للأودية الجافة والمراوح الفيضية  
وبالاجادا .



صورة (٢-٧) تأثير التعرية بالمسييلات الجبلية على حافة ظهر ميمون إلتوائية النشأة في "جبال  
الحجر" بسلطنة عُمان (تصوير المؤلف في فبراير ٢٠٠٤)



صورة (٨-٢) مجموعة حافات شديدة الميل ناتجة عن حركة التوائية  
(تصوير : Nicolas Waldmann 2002 , in: Slatery, 2004)



صورة (٢-٩) حافة ظهر ميمون إلتوائية النشأة بالقرب من "جبل حفيت" بدولة الإمارات  
(تصوير المؤلف فى فبراير ٢٠٠٣)

### ثالثاً : أشكال التوائية **Folded Landforms**:

تتعدد الأشكال الجيومورفولوجية الناتجة عن تأثير عوامل التعرية على الالتواءات ، ومن المعلوم أن أضعف أجزاء الإلتواء المحذب هو خط القمم المتفق مع محور الالتواء ، الذى يتأثر بقوى الشد التى تتعرض لها الطبقات المشنية ، ولذلك عادة ما تظهر على سطح الأرض فى مناطق الالتواءات مجموعات من الشقوق والفواصل الصخرية تمتد موازية لمحور الالتواء ، وهى تعطى فرصة مواتية لتوغل عوامل التفكك والتحلل الصخرى ، وخاصة التباين الحرارى والرطوبة الجوية ، مما يسهل من إزالة وتذرية المواد الجواه بعوامل التعرية ، وتدرجياً تتسع هذه الفواصل وينخفض سطح الأرض ، ومع استمرار هذه العملية لفترات زمنية طويلة ينخفض سطح الأرض على طول محور الإلتواء عن المناطق المتاخمة له ، وهو ما يطلق عليه اسم ظاهرة الانقلاب أو **الإنعكاس التضاريسى Inverted Relief**.

كما تتأثر القباب الصخرية الإلتوائية Anticlinal Domes – Folded Domes المنشأة بعملية النحت والإزالة عند نقطة القمة ، بسبب تأثرها بقوة الشد التى تتعرض لها الطبقات المشنية ، ولذلك يسهل تجويتها ميكانيكياً وكيميائياً ، فيخفض مستواها وتتكون مجموعات من نظم التصريف المركزى التى تتجه مجاريها نحو مركز القبة المنخفضة .

ونتيجة لتأثر المناطق الإلتوائية بعوامل التعرية فى النطاقين السابقين وهما تخفيض محاور الإلتواءات المحدبة ، وتأثر قمم القباب الإلتوائية بعوامل التعرية تتكون مجموعة من الأشكال الجيومورفولوجية يمكن إيجازها فى النقاط التالية (Gerrard, 1986) :

- (أ) الحافات الصخرية الجرفية شبه الرأسية Homoclinal cliffs التى تتكون نتيجة تأثر الطبقات الداخلية من جناحى الإلتواء بعوامل التعرية .
- (ب) حافات أظهر الميمون Hogbacks المتكونة على جناحى الإلتواء .
- (ج) مجموعات الكويستات Cuestas المرتبطة بتأثير عوامل التعرية على الإلتواءات الوحيدة الجانب التى تقل زاوية طيل طبقاتها عن عشر درجات .
- (د) الرؤوس البحرية الناتجة عن بروز الإلتواءات الوحيد الجانب Monoclinical Folds على خطوط السواحل مثل مجموعة الرؤوس البحرية على ساحل البحر المتوسط فيما بين الإسكندرية والسلوم .
- (هـ) التصريف المائى المركزى المرتبط بالقباب الإلتوائية المتأثرة بعوامل التعرية
- (و) الجارى المائية الرئيسية التى تتكون على طول محاور الإلتواءات المحدبة Anticlinal Streams التى تتبع مضارب الطبقات Strikes .
- (ز) الجارى العكسية Anti-Dip Streams المتكونة على الحافات الشديدة الميل .
- (ح) الخوانق النهرية التى تتكون نتيجة إختراق الجارى المائية للحافات الشديدة الميل .

#### رابعاً : أشكال إنكسارية Faulted Landforms:

هناك العديد من الأشكال الأرضية التى تنشأ عن حركات التصدع الأرضى ، التى تحدث على طول مناطق الضعف الجيولوجى ، فعند حدوث الحركة الإنكسارية قد ترتفع أجزاء من طبقات القشرة الأرضية وتنخفض أجزاء أخرى ، وتنشأ نتيجة ذلك مجموعة الظواهرات الجيومورفولوجية الآتية:

##### (أ) الحافات الإنكسارية (الصدعية) Fault Scarps:

تتكون الحافات الإنكسارية (الصدعية) Fault Scarps نتيجة قوى الشد والضغط التى تتعرض لها الطبقات الصخرية الصلبة ، فلا تستجيب لهذه الإجهادات فتتكسر ، ويمكن تمييزها سواء أثناء الدراسة الميدانية أو بتحليل الخرائط الطبوغرافية أو المرئيات الفضائية أو الصور الجوية ، حيث تختص بالسماط الآتية (صورة ٢-١٠):

- ١- إمتداد الحافات الصخرية على شكل خط مستقيم ، ويمكن ملاحظتها إما فى الميدان أو على الخرائط الكنتورية أو الصور الجوية والمرئيات الفضائية.
- ٢- شدة إنحدار الحافة الجرفية واستوائها وصلقلها وتخزز واجهتها بعض الثلوم والخدوش الطولية الناجمة عن احتكاك الطبقات أثناء حدوث الإنكسار.
- ٣- عدم التناسق بين مدى صلابة التركيب الصخرى ومظهر سطح الأرض ، فقد تتكون الحافة الصخرية المرفوعة من صخور ضعيفة لاتتناسب مع ارتفاعها الشاهق.
- ٤- إذا كانت الحافة الصدعية حديثة النشأة ينتشر على طول خط الإنكسار كميات متناثرة من شظايا الصخور الحادة الأطراف التى يطلق عليها اسم البريشيا الإنكسارية.
- ٥- تتقطع الحافة الإنكسارية بمجموعات من الأودية المعلقة يطلق عليها اسم الأودية الكأسية.
- ٦- إنتشار مخروطات الهشيم على الجانب الهابط من الحافة الإنكسارية، حيث تتجمع الرواسب أسفل الأودية المعلقة.



٧- يشير توالى حدوث الزلازل في منطقة الحافة يدل على أنها مازالت نشطة تكتونياً وحافتها الإنكسارية حديثة النشأة.



صورة (٢-١٠) حافة صدعية على ساحل منطقة رأس مسندم في سلطنة عمان  
(تصوير المؤلف في فبراير ٢٠٠٣)

#### (ب) الأودية الإنكسارية Faulted Vallies:

يرتبط هذا النوع من الأودية بخطوط الإنكسار بأنواعها المختلفة ، وبصفة خاصة الإنكسار الرأسى البسيط Normal Fault ، أو الإنكسار العكسى Reverse Fault ، أو الغور الإنكسارى Graben ، ويمكن تميز عدد من الظواهر المرتبطة بها :

#### ١- أودية تتبع خطوط الإنكسار العادى البسيط Faulted Vallies:

يمتد هذا النوع من المجارى المائية في حالتين هما :

- (أ) موازياً للحافة الإنكسارية مباشرة أى يعتبر ضمن أودية المضارب النهرية، وهو يتميز بعدم تماثل إنحدارات جانبي المجرى ، حيث يشتد إنحدار الجانب المتفق مع الحافة الإنكسارية ، بينما يقل إنحدار الجانب



الآخر ، ويستقطع الجانب الإنكسارى بأعداد من المجارى القصيرة الشديدة الانحدار السريعة الجريان ، بينما تتصل بالجانب الآخر روافد طويلة هينة الانحدار بطيئة الجريان .

(ب) قد يمتد المجرى المائى بصورة عمودية على إتجاه الحافة الإنكسارية ، ويظهر على المجرى فى هذه الحالة نقطة تحديد تركيبية<sup>١</sup> Strucural Knick Points ، وإذا تقطعت الحافة الإنكسارية بعدد من المجارى المتوازية يظهر عليها مجموعة من نقاط تحديد الشباب يطلق عليها اسم خط الشلالات الإنكسارية Faulted Waterfall Line.

## ٢- منعطفات إنكسارية النشأة Faulted Meanders:

إذا تعرضت منطقة الحوض النهري لنظم إنكسارية متعامدة أى تصنع زوايا قائمة بين مجاريها فيبدو نظام التصريف متعامداً ، وتظهر بعض أجزاء المجارى المائية على شكل منعطفات قائمة الشكل ، وسبق أن درس المؤلف مجموعة من المنعطفات الإنكسارية فى حوض وادى قصب (المؤلف ، ١٩٩٧) الذى يلقى بحمولته المائية فى خليج العقبة بجنوب سيناء.

<sup>١</sup> راجع أنواع نقاط تحديد الشباب ضمن موضوع النحت النهري فى الفصل الثالث من هذا الكتاب

### ٣- أودية الأغوار الصدعية Graben Vallies:



وهي عبارة عن مجارى مائية رئيسية يتفق إمتدادها مع مضارب الطبقات ، وتتبع الأجزاء الوسطى من الإنكسار الإحدودى التى هبطت لأسفل وتطوقها حافتي الجانبين المرفوعين لأعلى ، وتتميز بإتساع مجاريها ، وعادة ما تلقى بالمجرى الرئيسى مجموعات من المجارى التالية (مجرى تتبع إتجاه ميل الطبقات) أو مجارى عكسية ، تتميز بقصر أطوالها وشدة إنحدارها وسرعة جريانها (صورة ٢-١١).

صورة (٢-١١) مرئية فضائية للبحر الميت و نهر الأردن التى يتفق إتجاههما مع إمتداد الإحدود الإفريقى العظيم

### ٤- الأودية المناضلة Antecedent Vallies:

يطلق هذا المصطلح على الأودية التى تمكنت من المحافظة على إتجاهها العام على الرغم من تعرضها لحركات رفع تكتونية ، وقد تتكون الأودية المناضلة على الجوانب المرفوعة من المناطق الإنكسارية<sup>١</sup>.

<sup>١</sup> راجع موضوع النهر المناضل بالفصل الثالث من هذا الكتاب .

#### ٥- نقاط تجديد الشباب الإنكسارية الناشئة Faulted Knick Points:

هناك العديد من أنواع نقاط تجديد الشباب من بينها النقاط التركيبية التى تنشأ عن التراكيب البنائية ومن بينها الإنكسارات<sup>١</sup>.

#### (ج) البحيرات الإنكسارية Faulted Lakes:

يمكن تمييز البحيرات الإنكسارية الناشئة بشكلها الطولى ، شديدة العمق ، وترتبط عادة بسنظم التصريف المتعامد ، وتظهر على الصور الجوية والمرئيات الفضائية والخرائط الطبوغرافية خطية السواحل ، قليلة التعرج .

#### (د) هضاب الضهور الصدعية Horst Plateaus :

يرتبط هذا النوع من الهضاب بالأجزاء الوسطى التى رفعت لأعلى وتحيط بها أجزاء هبطت لأسفل ، ويمكن تمييزها بدراسة المكاشف والقطاعات الجيولوجية ، وترتبط بها الظاهرتين الآتيتين : أولاهما الكتل الصدعية Fault Blocks ، وثانيهما المسيلات الجبلية Gullies السريعة الجريان التى تقطع حواف الهضبة .

#### (هـ) الينابيع الإنكسارية Faulted Springs :

تنشأ الينابيع الإنكسارية عند إنكشاف الطبقة الحاملة للمياه على طول خط إنكسارى مما يساعد على إثناق ينبوع بصورة تلقائية .

<sup>١</sup> راجع موضوع نقاط تجديد الشباب التركيبية بالفصل الثالث من هذا الكتاب .

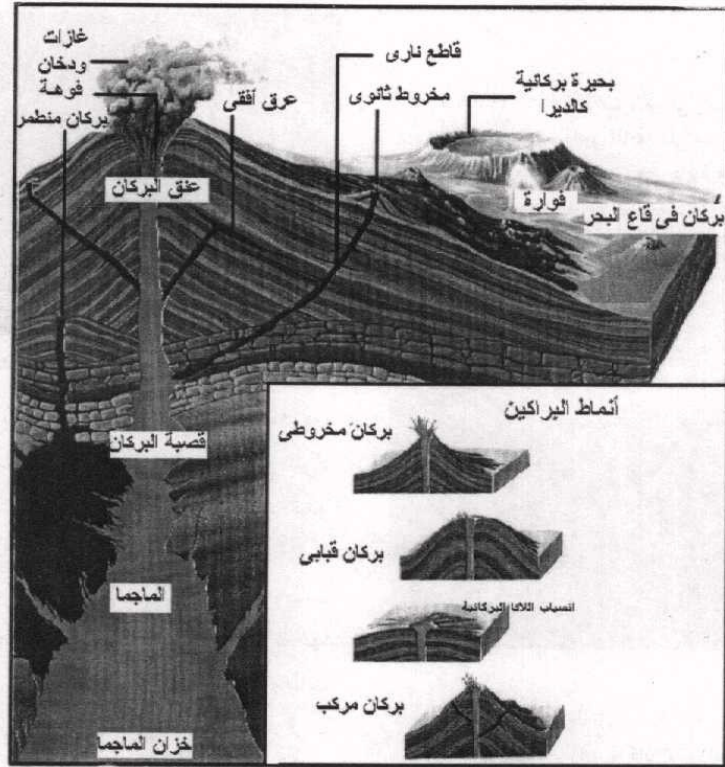
### خامساً : أشكال بركانية Volcanic Landforms:

تسهم الثورات البركانية في تشكيل المظهر المورفولوجي لبعض مناطق سطح الأرض ، خاصة إذا كانت تلك المناطق حديثة النشأة التكتونية ، ولذا يغطي سطح الأرض بالمصهورات البركانية والمفتتات والرواسب ذات المصدر البركاني .

وقد تأثرت أجزاء متعددة من صحارى أمريكا الشمالية بالمخروطات البركانية الحديثة وأهمها براكين "سنسيت" في صحراء "أريزونا" ، و"أبوى ويسا" في صحراء "كاليفورنيا" ، وبعض براكين وادي "ديث - Death Valley" في "أريزونا" . كما حدثت بعض الأنشطة البركانية في الصحراء الشرقية المصرية وشبه جزيرة سيناء ، وأبرزها "جبل الدخان" و"جبل كاترين" ، وبعض المخروطات البركانية المنعزلة المتناثرة في منطقة طريق القاهرة - السويس الصحراوى ، وتظهر بالمناطق المتأثرة بالأنشطة البركانية العديد من الأشكال الجيومورفولوجية (شكل ٢-٤) ، سوف نتناول أهمها فيما يلى :

#### (أ) البراكين المخروطية Volcanic Cones

يستخدم هذا النوع من البراكين شكل المخروط الناقص، وقد تبدو في بعض الأحيان على شكل قبة، ويتشكل المخروط البركاني من الالفا الفلزية الغليظة القوام ، مما يساعد على تراكمها رأسياً، على شكل طبقات متوازية من الحمم والرماد البركاني، وتتكون عند قمة جسم البركان فتحة على شكل الصحن أو القمع يطلق عليها اسم الفوهة Crater، وتتصل الفوهة بالقنطرة التي تنقل الصهير من الخزانات الجوفية نحو السطح، وتحتل الفوهة في معظم البراكين الحامدة بحيرة صغيرة ناجمة عن تجمع مياه الأمطار، وقد تظهر على جسم البركان بعض المخروطات الثانوية الصغيرة الحجم، يرتبط كل مخروط منها بقنطرة ثانوية ، تنبثق من خلالها الحمم وتنساب على جسم البركان ، وتنقسم البراكين المخروطية للأشكال الآتية:

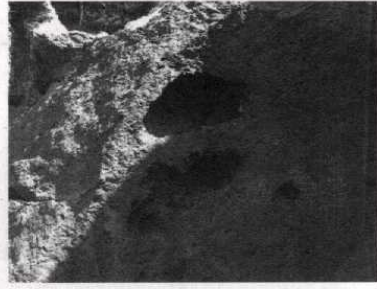


شكل (٢-٤) أنماط البراكين وبعض الأشكال المصاحبة لإنشاق البركان

#### ١- مخروطات السيكوريا Scoria Cones:

أى المخروطات البركانية التى تنحبس داخل حممها فجوات وفقايع ممتلئة بالغازات والأبخرة (صورة ٢-١٢).

صورة (١٢-٢) فجوات ناتجة عن إنحباس  
الغازات البركانية داخل المagma على هوامش  
بركان "استرمبولي" بالقرب من جزيرة صقلية  
الإيطالية (تصوير المؤلف في سبتمبر ٢٠٠٣)



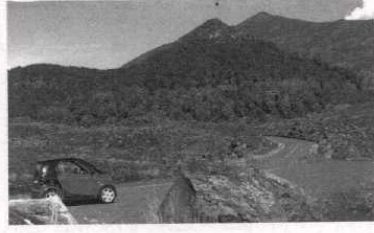
صورة (١٣-٢) مخروط ثانوي يتكون من الرماد  
البركاني على منحدرات بركان إتنا الإيطالي  
(تصوير المؤلف في سبتمبر ٢٠٠٠)

## ٢- مخروطات الرماد البركاني Ash Cones :

تبنى مخروطات الرماد من قطع الالفا المقذوفة، وهذا ما يدل عليه اسمها ، وتتراكم المواد الفلذبركانية فوق بعضها ، ولذلك تبدو سفوحها شديدة الانحدار (تتراوح بين ٣٠ و ٤٠ درجة)، وعادة ما تكون مخروطات الرماد صغيرة الحجم ، إذ لا يزيد إرتفاعها عن ٣٠٠ متر، وهي غالباً ما تمثل مخروطات طفيلية أو ثانوية تتكون فوق أو قرب البراكين الكبيرة وهي غالباً ما تتواجد في مجموعات، ويشير إنتشارها إلى وصول المنطقة إلى المراحل الأخيرة من نشاطها البركاني ، ويحدث ذلك بسبب برودة الصهير المكون لها ، أو حينما يصبح أكثر لزوجة (صورة ١٣-٢).



### ٣- مخروطات بركانية متطفلة Parasitic :



عبارة عن براكين صغيرة الحجم تتكون على جوانب ومنحدرات المخروط البركاني نتيجة تسرب الحمم عبر الفواصل والشروخ الصخرية (صورة ٢-١٤) (Blume, 1992: 40).

صورة (٢-١٤) بركان مخروطي ثانوي يكسوه غطاء نباتي كثيف وتكون هذا المخروط متطفلاً على منحدرات بركان "إتنا" في جزيرة صقلية الإيطالية (تصوير المؤلف في سبتمبر ٢٠٠٣)

### (ب) البراكين المدرعة (المهضبية) Shield Volcanoes :

تتكون البراكين المهضبية أو المدرعة حينما تندفع اللافا المائعة ، ولذلك يأخذ البركان شكلاً شبه مستوي ، ويفترش مساحة كبيرة من السطح. وتتكون البراكين المدرعة أساساً من طفوح اللافا البازلتية التي تحتوى على نسبة قليلة فقط من المواد الفلذبركانية ، وفي العادة لا تتعدى زاوية إنحدار هذه البراكين بضع درجات على الجوانب لاتزيد على ١٥° عند القمة، كما يتمثل ذلك في براكين جزر "هاواي" وخاصة بركان "مونا لوا" Mauna Loa الذي يعد أكبر بركان هضبي على سطح الأرض (هو واحد من خمسة براكين تشكل مجتمعة جزيرة هاواي)، وتستقر قاعدة هذا البركان فوق قاع المحيط على عمق ٥٠٠٠ متر تحت سطح البحر، ويصل إرتفاعه إلى ٤١٧٠ متراً فوق سطح الماء ، وقد تطلب بناء هذه الكتلة الضخمة من طبقات الحمم البركانية حوالى المليون سنة ، خلال عدة دورات من الفورانات المتكررة ، وقد بنيت الكثير من الهياكل البركانية الأخرى بنفس الطريقة على أعماق المحيط ، ومن بينها جزيرة "ميدواي" وجزر "الجالاباجوس" (المؤلف ، ٢٠٠٤) .



ويتكون البركان المدرع من فوران متكرر لطفوح رقيقة متعاقبة من البازلت السائل ، وعندما تتراكم هذه الطفوح تصبح تركيباً بركانياً يحدث فوران على الجوانب بالإضافة إلى الفورانات المندفعة من القمة أو الفوهة الرئيسية.

#### (ج) القباب البركانية Ratholith – Lacolithes :

تتكون القباب البركانية Volcanic Domes من برودة وتصلب الحمم الغليظة القوام Viscous Lava تحت سطح الأرض ، ثم إنكشافها بعد إزالة الطبقات التي تغطيها بواسطة عوامل التعرية ، وقد تتعرض القباب البركانية هي الأخرى لفعل التعرية النشطة على الرغم من صلابتها . وقد تبدو القباب بصورة منفردة أو تتجمع على شكل مجموعات متقاربة متفاوتة الأحجام .

وتتكون القباب من الصخور النارية عادة ، وهى تنبثق إما بالقرب من سطح الأرض ، ويُطلق عليها في هذه الحالة اسم الصخور المتداخلة Intrusive Rocks أو تنبثق هذه المصهورات من باطن الأرض وتظهر على السطح فتسمى في هذه الحالة بالصخور السطحية Extrusive Rocks ، ويرجع ظهور هذه الكتل على شكل قبابي بين الطبقات الصخرية إلى إندفاع المصهورات البركانية إلى أعلى بتأثير الضغط والحرارة العالية ، وانصهار الصخور التي تمكنت من إزاحتها من طريقها ، حيث تظهر عليها بعض آثار التحول الصخرى الحرارى ، وتتخذ هذه القباب عدة أشكال وفقاً لتباين أسلوب تكوينها ، وأهم هذه الأشكال ما يلى :

#### ١- الكتل القبابية العميقة Batholiths :

تتكون من المصهورات البركانية المندفعة من باطن الأرض فتعمل على تشكيل قباب شاهقة الارتفاع ، وتعرض أعالي هذه القباب لفعل النحت بعوامل التعرية المختلفة.

## ٢- الكتلة الهلالية المحدبة (اللاكوليث) Lacolith :

تتكون هذه القباب نتيجة إندفاع المصهورات البركانية بضغط شديد على طبقات الصخور التي تعلوها وتجعلها فى حالة تحدب ، أما القاعدة فتظل أفقية الشكل .

## ٣- الكتلة الهلالية المقعرة (الفاكوليث) Phacolith :

تعرف باسم الكتلة الهلالية حيث تندفع المصهورات البركانية فى قمم وقيعان الألتواءات (الطيات) مكونة اشكالاً هلالية المظهر قد تنكشف نتيجة إزاحة الطبقات التي تعلوها بفعل عوامل التعرية .

## ٤- اللابوليث Lapolith :

يطلق على هذه التداخلات اسم الكتلة الوعائية ، لأنها تشبه الوعاء فى طريقة تشكيلها ، حيث يعمل الثقل الهائل للمصهورات البركانية على هبوط القاعدة الصخرية التي ترتكز عليها هذه المصهورات وتبدو كالوعاء المقعر الشكل ، وتظهر على شكل حلقات من الالاف تمتد بينها طبقات من الصخور الأخرى (صورة ١٥-٢) . كما تُصنف القباب البركانية حسب أشكالها للأنواع التالية (Francis, 1993. 156):



١- القباب المرفوعة

Upheaved Domes

٢- القباب المشاهدة لبركان بيليه

Peléeen Domes

٣- قباب الحمم المنخفضة المنسوب

Low Lava Domes

٤- كوليه Coulée

صورة (١٥-٢) قمة بركانية يبلغ قطرها حوالى ١٥ كم تأثر سطحها بفعل عوامل التعرية فى محمية "كاتامى Katami" فى ولاية "الاسكا" الأمريكية

#### (د) البراكين المركبة Composed Volcanoes:

تعد البراكين المركبة من أجمل أشكال البراكين على وجه الأرض ، ويُعزى تشكيلها إلى اختلاف درجة سيولة اللافا الناتج عن تباين تركيبها المعدنى ، ولذلك يتكون البركان المركب خلال مرحلتين هما :

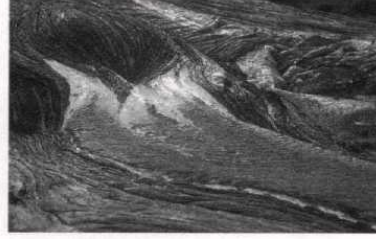
**المرحلة الأولى :** يتشكل في البداية بركان هضبي مسطح يتكون من لافا قلووية ذات لزوجة منخفضة شبه مائعة ، ولذلك يغطى مساحات واسعة من سطح الأرض ، وقد يستمر البركان الهضبي في الثوران لمدة طويلة وإخراج الحمم شبه السائلة ، ويفترش مساحات كبيرة من سطح الأرض ، ثم يخبث لفترة من الزمن .

**المرحلة الثانية :** يعاود البركان نشاطه من جديد ، ولكن يتغير تركيب مواد الصهارة تبعاً لاختلاف مصادرها في جوف الأرض ، مما يغير نظام الثوران ، ويبدأ البركان في قذف المواد الفلذبركانية الغليظة القوام ، وتتراكم هذه المواد قرب الفوهة ، مما ينتج عنها بناء مخروط من الرماد ينمو رأسياً ذو جوانب شديدة الإنحدار ، وبذلك يتركز المخروط البركاني الحديث فوق البركان الهضبي القديم ، مما يعكس طبيعة تركيبه المعدنى المزدوج المتعاقب من الحمم القلووية شبه السائلة يعقبها مرحلة إنبثاق المواد الفلذبركانية الغليظة القوام (المؤلف ، ٢٠٠٤).

#### (هـ) أشكال ناتجة عن إنسياب الحمم (اللافا) البركانية Lava Flow:

يتشكل إنسياب اللافا من إنبثاق الأحيان لأكثر من ٢٠,٠٠٠ كم مربع المصهورات البركانية السائلة عبر خطوط جنوب شرق "واشنطن" بالولايات المتحدة الضعف الجيولوجى حتى تظهر على سطح الأرض ، حيث تبرد بسرعة هائلة ولذا فهي عديمة البللورات، وقد ساعدت قلة لزوجة الإنسيابات السطحية على سيلانها كالماء ، وافتراشها مساحات شاسعة من سطح الأرض (صورة ٢-١٦)، تصل في بعض

صورة (١٦-٢) حمم بازلتية مائعة تتحرك بسرعة على سطح الأرض من نوع Pahoechoe Flow متخذة شكل الجدائل أو الجبال على هوامش بركان "Kilauea" في جزر "هاواي"



ومن أوضح الأمثلة للإنسيابات اللافية في وطننا العربي المنطقة البركانية الممتدة من غرب بحيرة "طبريا" في فلسطين إلى جبل "الدروز" و"حوران" في سوريا إلى وادي "السرطان" في السعودية . وهناك العديد من الأشكال المرتبطة بإنسيابات الحمم من أهمها الأشكال الآتية :

#### ١- فرشات الحمم (الخرات - الخوار) : Lava Sheets

مفردها حرّة وهي أرض مغطاه بالبازلت الأسود الناشئ من تصلب الصهير المنبثق من باطن الأرض ، خلال مناطق الضعف في القشرة الأرضية ومن فوهات البراكين ، وبعد تصلب الصهير تظهر عليه الشقوق ، نتيجة عظم المدى الحراري اليومي والفصلي في الصحراء ، مما يؤدي إلى ظهور الحرّة في شكل صخور منثورة فوق سطح الأرض أو متراكمة فوق بعضها تبعاً للنشاط البركاني ونظامه وكذلك مدى البعد عن مركز الشقوق الصخرية التي انبثقت منها اللافا المنصهرة (عبد الله الغنيم ، ١٩٨٤ ، ص ٣٤) .

ويبلغ متوسط عرض هذا النطاق السطحي قرابة المائة كيلومتر (صورة ١٧-٢).

وتحظى شبه الجزيرة العربية بالنصيب الأعظم من الخرات البازلتية وخاصة بالنطاق المحصور بين قواعد جبال لبنان الشرقية والطرف الشمالي لصحراء "النفود"، في نطاق يمتد نحو ٤٥٠ كم ،

صورة (١٧-٢) فرشاة من الحصى البركاني تغطي  
سطح الأرض بالقرب من بركان "فيزوف" شرقى  
مدينة "نابولي" الإيطالية  
(تصوير المؤلف فى سبتمبر ٢٠٠٣)



ويبدو المظهر الطبوغرافى للأسطح الطفحجية للحرارات ، كهضاب شبه مستوية بوجه عام ،  
إلا أنها مسننة السطح ، تقطعها أحياناً بعض الأودية المنطبعة التى تعمل على إنفصالها إلى مجموعة  
هضيبات كاشفه الصخور المترابطة عليها .

وتعد الحرارات من الأشكال الأرضية النادرة فى الصحراء الكبرى الإفريقية ، حيث تكاد  
تقتصر أكبر نماذجها فى الصحارى الليبية على الجبل الأسود والهروج الأسود ، ويبرز هذان  
الجبلين كإثنين من الأعلام البركانية المخروطية الشكل التى تغطي طفوح البازلت منحدراتها .

#### ٢- الأنفاق والأنابيب البركانية Volcanic Tunnels and Tubes:

تعتبر الأنفاق والأنابيب البركانية من الظواهر الشائعة التى تتشكل من إنسياب اللافا  
البازلتية الشديدة الميوعة والحرارة ، وتتراوح أقطار هذا الأنابيب من المتر الواحد أو أقل ، وقد  
تصل لما يشبه أنفاق السكك الحديدية أو مترو الأنفاق (صورتا ١٨-٢ و ١٩-٢).

وهى تتكون نتيجة وجود بعض الغازات المنحسبة داخل الحمم ، ويعتقد بأن القنوات التى  
تغذى معظم البراكين متصلة بمصدر للصهير قريب من سطح الأرض ، وعلى النقيض من ذلك  
فإن بعض الأنابيب الغنية بمعادن الحديد و الماغنيسيوم تمتد على شكل أنابيب تصل إلى الغلاف  
المائع من الوشاح (طبقة الأئوسفير) على عمق ٢٠٠ كيلومتر، ولهذا فإنه يعتقد بأن المواد  
المكونة لهذه الأنابيب هى عبارة عن عينات من هذه الطبقة المائعة ، ولم يطرأ عليها تغير كبير

خلال رحلة صعودها إلى سطح الأرض ، ولذلك فهذه الأنابيب تعتبر نوافذ يطل منها الإنسان على جوف الأرض ، وتسهم فى الكشف عن التركيب الداخلى لباطن الأرض (Francis,1993 :149) .



صورة (٢-١٨) نفق بركانى يبلغ قطره حوالى ٦ أمتار فى جزر هاواى  
(تصوير : Ann Dittmer 2002 , in: Slattery, 2004 )



صورة (٢-١٩) نفقان بركانيان متقاطعان يبلغ قطرها حوالى الأمتار الأربعة  
(تصوير : Ann Dittmer 2002 , in: Slattery, 2004 )

وتصل أحيانا الأنابيب البركانية قرب السطح ولكن مرحلة الفوران قد تتوقف قبل خروج الالافا فوقه ، وغالبا ما يحتوى الجزء العلوى من هذه الأنابيب على خليط من قطع الالافا ومن القطع التى مزقتها الغازات الهاربة من جدران الفتحات البركانية ومن التركيبات المعروفة من هذا النوع : الأنابيب الحاملة للماس بجنوب أفريقيا ، فهناك تقدر الأعماق التى نشأت فيها الصخور



المكونة لهذه الأنابيب بحوالى ٢٠٠ كيلومتر، حيث يكون الضغط كافياً لتكون الماس وبعض المعادن التي عادة ما تتكون تحت ظروف الضغط العالي ، وفي هذه الحالات ينشأ الماس على هيئة بلورات في الأعماق ، ثم يتم نقلها إلى أعلى عن طريق الجزء السائل من الصهير. ويهتم المختصون في علم البركنة Volcanology بدراسة الأنفاق والأنابيب البركانية ، لأنها توفر لهم معلومات مهمة عن أقصى إمتداد لإنسياب الحمم ، وقوة إندفاعها ، وتساعد على تقدير سرعة تحركها ، ودراسة أسلوب تكوينها.

### ٣- الكهوف البركانية Volcanic Caves:

تتشكل الكهوف البركانية من انحباس الغازات والأبخرة داخل صخور الماجما ، متخذة شكل حجرات أو فراغات كبيرة الحجم ، أو ممرات ممتدة داخل تكوينات الماجما المتصلبة ، وتتكون داخل بعض الكهوف البركانية مجموعات من الأعمدة الصاعدة والأعمدة النازلة ، مشابة لتلك المتكونة في كهوف الكارست الجيرية ، إلا أن هذا النوع من الأعمدة يتكون من الحمم البازلتية Basaltic Lava Stalagmites and Stalactites .

ويعد بركان "آبوا" Apua في جزر "هاواي" من أفضل الأمثلة لهذه الظاهرة الفريدة ، كما أكتشف أحد الكهوف في نطاق بركان "كازمورا" Kazumura في جزر هاواي يمتد لمسافة تصل لحوالى ١٠ كم ، ومتوسط إتساعه يبلغ حوالى خمسة أمتار (صورة ٢-٢٠).



صورة (٢-٢٠) مداخل لكهوف بركانية في جزيرة "فولكانو" الإيطالية (تصوير المؤلف في سبتمبر ٢٠٠٣)



#### ٤- دلتاوات الحمم Lava Deltas:

غالباً ما تظهر دلتاوات الحمم حينما تستدفق اللافا البازلتية المائعة القوام بالقرب من خطوط سواحل البحار والبحيرات ، مكونة دلتاوات مثلثة الشكل تنحدر إنحداراً هيناً صوب خط الساحل ، وتتميز مكوناتها بسرعة برودتها وتصلبها نظراً لتأثرها بمياه المسطح البحرى الملاصق لها ، وعندئذ تبدأ رحلة تأثرها بالفعل الديناميكي والتفاعل الكيميائي للنحت بالأمواج ، وهناك العديد من دلتاوات الحمم تتمثل على سواحل جزر "هاواى" ،

وجزيرة "تيريف Tenerife" إحدى جزر "الكنارى" (صورة ٢-٢١).

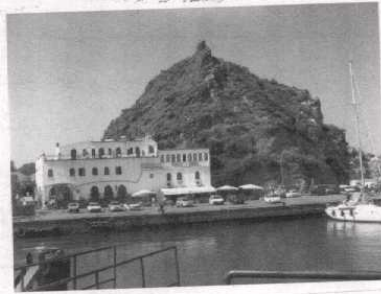


صورة (٢-٢١) صورة جوية مائلة Oplique لدلتا مثلثة الشكل مكونة من إنسياب حمم بركان "Kilauea" بجزر "هاواى" - مصدر الصورة: <http://volcanooes.usgs.gov/Products/Pglossary/LavaDelta.html>

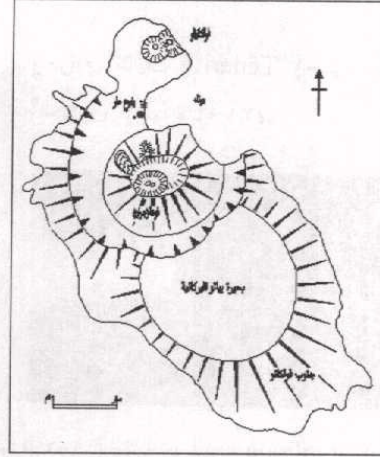
#### ٥- روابى الحمم Lava Mounds or Volcanic Hummocks :

عبارة عن روابى أو تلال مخروطية أو قبابية الشكل يتراوح إرتفاعاتها بين بضعة أمتار إلى أكثر من ٢٠ متر ، وهى تتكون من تعرض الحمم البركانية للإنزلاق ، أو بسبب تراكم مفتتات الحمم أسفل المنحدرات ، وهى تشتمل على خليط غير متجانس من هشيم ومكسورات الحمم المتصلبة ، وقد تنساب فوقها الحمم السائلة فتعمل على اندماجها وتماسكها ، فتبدو كأنها كتلة واحدة

ضخمة من الحمم (شكل ٢-١، صورتا ٢-٢٢ و ٢-٢٣).



صورة (٢-٢٢) رابية من الحمم تشرف على ميناء للقوارب فى جزيرة "فولكانو Volcano" الإيطالية (تصوير المؤلف فى سبتمبر ٢٠٠٣)



شكل (٢-٥) الملامح الجيومورفولوجية لجزيرة "فولكانو"

صورة (٢-٢٣) رابية ضخمة من الحمم البركانية القديمة تعرضت للانزلاق الأرضي على تخوم جبل "سانت هيلينز St. Helens" بالجزء الغربي من ولاية "واشنطن" الأمريكية \*

#### ٦- كومات الحمم "تملوس" Lava Tumulus

تعتبر كومات الحمم المتصلبة "تملوس Tumulus" من الظواهر الشائعة في المناطق البركانية ، وهى عبارة عن تلال بيضاوية أو قبابية الشكل ، يتراوح إرتفاعها بين متر واحد عشرة أمتار.

وتنتج عن تدافع وإنسياب الحمم البازلتية الغليظة القوام من نوع Pahoehoe فوق سطح الأرض ، مكونة أجزاء بازة من الحمم المتصلبة على شكل كومات محدودة الإرتفاع ، وهى سرعان ما تتأثر بعمليات التجوية مكونة شقوق طولية الشكل ، تحفر على محاورها الطولية ، بالإضافة إلى أعداد من الحنوذ والثلوم الصغيرة تمتد بصورة عمودية على الشقوق الطولية بتأثير التباين الحرارى ، المدعوم بعمليات التجوية الكيميائية (صورتا ٢-٢٤ و ٢-٢٥).

صورة (٢-٢٤) كومة من الحمم البركانية المتصلبة تعرضت قممها لفعل التعرية لا يتجاوز إرتفاعها ٣٠ متر على الطريق الواصل بين "Hilina و Pali" بالقرب من بركان "Kilaue" في جزر "هاواي" - تصوير: Griggs, J.D., USGS  
www.geology.sdsu.edu/how\_volcano\_work/Thumblinks/tumulus\_page.html



صورة (٢-٢٥) كومة من الحمم على هوامش أحد البراكين الثانوية المتكونة على بركان "إتنا" المخروطى بإيطاليا ( تصوير المؤلف في سبتمبر ٢٠٠ )

#### ٧- بحيرات الحمم Lava lakes :

عبارة عن بحيرات مكونة من الحمم الملتهبة يتراوح قطرها بين بضعة عشرات من الأمتار وأكثر من عشرة كيلومترات ، وقد يصل عمقها إلى أكثر من مائتي متر . وتتكون بحيرات الحمم مصاحبة لتصلب الحمم السائلة المتبقية داخل فوهات البراكين الحامدة Craters ، وفي المنخفضات الأرضية التي تغطيها تدفقات الحمم المنسابة نحوها بتأثير الجاذبية الأرضية، وتتم عملية تصلب وتماسك بحيرات الحمم بصورة تدريجية من حوافها الخارجية نحو مراكزها ، ومن سطحها العلوى نحو أعماقها ، إلى أن تتصلب كل كمية الحمم المتجمعة داخلها التي قد تستغرق



عشرات السنين ، وعندئذ تصبح على شكل كتلة متماسة من الحمم المستوية السطح (صورة ٢-٢٦).



صورة (٢-٢٦) بحيرة بركانية طويلة الشكل ناتجة عن إنسياب الحمم عبر قناة تخرج من فوهة بركان "Kupainanaha" - تصوير: Wolfe, E., USGE ، مصدر الصورة : [www.geology.sdsu.edu/how\\_volcanoes\\_work/Thumblinks/Lavalake\\_page.html](http://www.geology.sdsu.edu/how_volcanoes_work/Thumblinks/Lavalake_page.html)

#### ٨- الجزر المخاطة بالحمم البركانية "كيوكا" Kipuka :

أصل مصطلح "كيوكا" Kipuka مأخوذ عن إحدى اللغات المحلية للسكان الأصليين لجزر "هاواي" ، وهو يُطلق على الجزر الأرضية البارزة المرتفعة المنسوب المخاطة بالحمم البركانية المتدفقة من البراكين البازلتية ذات القوام شبه السائل ، وقد تغطي هذه الجزر بنطاق من الغطاء النباتي أو تظل جرداء ، وفقاً لكميات الأمطار الساقطة على إقليمها (صورة ٢-٢٧) .

صورة (٢٧-٢) جزيرة متصلة من الحمم القديمة ينمو عليها غطاء نباتي كثيف من الأشجار ومحاطة بحمم بازلتية حديثة شديدة الميوعة (شبه السائلة) تنساب من بركان "Pu'u 'O'o-Kupaianaha" بالقسم الشرقي من بركان "Kilauea" في جزر "هاواي" - تصوير : Moore, R., USGS  
www.geology.sdsu.edu/how\_v  
olcanoes\_work/Thumblinks/Ki  
puka\_page.html



#### ٩- رشات الحمم Spatter :

مفتتات من الحمم المنصهرة دقيقة الحبيبات ، تُقذف بقوة من فوهة البركان، وهي تبرد وتتصلب بسرعة عقب سقوطها وإنتشارها على منحدرات المخروط البركاني وسطح الأرض المتاخم له (صورة ٢٨-٢).



صورة (٢٨-٢) مفتتات من الحمم المتصلبة تفتتت سطح الأرض بالقرب من بركان "Kilauea" في جزر "هاواي" - تصوير : Mattox, T., USGS  
www.geology.sdsu.edu/how\_v  
olcanoes\_work/Thumblinks/spt  
ter\_page.html

#### ١٠- وسائد الحمم البازلتية Pillows lava :

كومات طولية الشكل المحدودة الارتفاع ، تتكون من إنسياب الحمم البازلتية القاعدية شبه المائعة تحت المسطحات المائية مثل سواحل البحار أو البحيرات أو البرك ، وعند إنسياب الحمم في أول الأمر واحتلاطها بالمياه تكون على هيئة عجينة رخوة تشبه معجون الأسنان ، ولكن مع

التبريد المستمر لسطوحها ، فإنها تتصلب تدريجياً ، وتكون قشوراً متصلة قبابية المظهر ، ولكن تظل حشواتها الداخلية رخوة لفترة من الوقت قبل تصلبها الكامل ، وعندئذ تشبه الوسادة في مظهر العام ، ويشير وجود هذه الظاهرة إلى إنسياب اللافا وإحتلاطها بالمياه قبل عملية التصلب.



#### ١١- السيكوريا البركانية Scoria :

السيكوريا عبارة عن حصوات من الحمم المتصلبة بسرعة فوق سطح الأرض، يتراوح سمكها من سنتيمتر واحد إلى عشرات السنتيمترات ، وتوجد داخلها بعض الفجوات والفراغات الناتجة عن إغثاس الغازات والأبخرة المصاحبة للإنشاق البركاني ، ويختلف تركيب السيكوريا من بركان لآخر ، فقد تتكون من الحمم البازلتية ، أو الحمم الإندسيتية ، ولذلك يتباين لونها من الأسود إلى الرصاصي الداكن ، وفقاً لدرجة تركيز الحديد في مكوناتها المعدنية (صورتا ٢-٢٩ و ٣-٣).

صورة (٢-٢٩) كتل من السيكوريا بيضاوية يصل قطرها لجوالى ١٢ سنتيمتر تنتشر على منحدرات بركان إتنا في جزيرة صقلية (تصوير المؤلف فى سبتمبر ٢٠٠٣)

صورة (٢-٣٠) حصوات من السيكوريا الدقيقة الحبيبات تم جمعها من تخوم بركان "استرمبولى" بالقرب من مدينة "نابولى" الإيطالية  
تصوير: Mattox, T., USGS, مصدر الصورة :

[www.geology.sdsu.edu/how\\_volcanoes\\_work/Thumblinks/scoria\\_page.htm](http://www.geology.sdsu.edu/how_volcanoes_work/Thumblinks/scoria_page.htm)





## ١٢- أشجار الحمم Lava Trees و قوالب جذوع الأشجار Tree Mold:



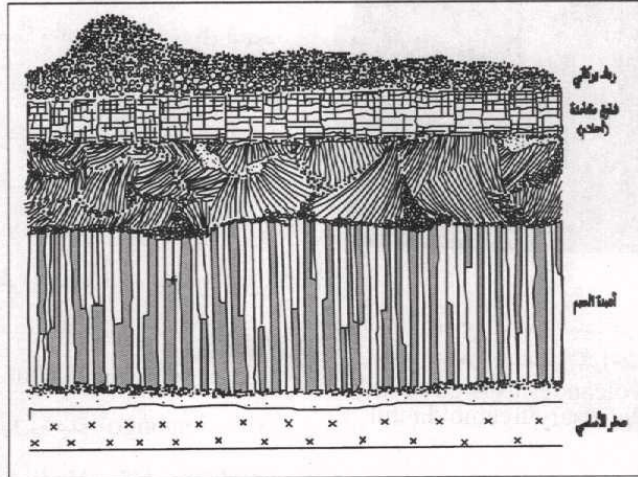
صورة (٢-٣١) حمم متوهجة عملت على إقتلاع جذع شجرة - مصدر الصورة:

<http://volcanoes.usgs.gov/Products/Pglossary/treemold.html>

عبارة عن حفر إسطوانية الشكل يتراوح عمقها بين ٢٠ و ٥٠ سنتيمترات، تتكون كل حفرة منها نتيجة إقتلاع جذع إحدى الأشجار بعد إنسياب الحمم الملتهبة حولها ، وبعد برودة الالفا وتصلبها يبدو سطح الأرض مزركشاً بالحفر الدائرية المستفاوثة العمق، تشير كل حفرة منها إلى إحدى الأشجار التي أحرقت بعد إنسياب الحمم حولها ، وتختلط داخلها أوراق الشجر ، وأغصان النباتات المحترقة ، منغمسة داخل الحمم المتصلبة التي تشكل جدران وأرضية هذه الحفر ، وقد تكسو الحمم المتدفقة جانوع الأشجار ، فتؤدي إلى تصلبها والمحافظة على إنتصائها فوق سطح الأرض ، وينتشر هذا الشكل الفريد من الحمم في منطقة "Mauna Ulu" في جزر "هاواي"، وفي منطقة "Nyiragongo" في أفريقيا الوسطى (Francis, ١٩٩٣ : ١٣٨) (صورة ٢-٣١).

### ١٣- أعمدة الحمم Lava Pillars – Lava Columns :

تتكون أعمدة الحمم من تصلب اللافا البازلتية عند برودتها الفجائية ، حيث تتشقق طولياً إلى أعمدة رباعية أو سداسية المقطع ، يتراوح طولها بين ١٠ و ٢٠ متر ، ولا يتعدى سمك كل عمود منها أكثر من ٥٠-٦٠ سنتيمتر ، ولكنها سرعان ماتتحطم بتأثير التجوية<sup>١</sup> ، فتتراكم مكسوراتها على سطح الأرض ، وتنتشر أعمدة اللافا في مناطق متعددة من بينها هضبة "كلومبيا" وخاصة على جروف خانق نهر "كلومبيا" بالقرب من بلدة "Hood River" ، وعلى منحدرات نهر "Grand Coulee" بولاية واشنطن الأمريكية، إضافة إلى العديد من الأنهار التي تشق مجاريها الخانقية في البازلت (شكل ٢-٦) .



شكل (٢-٦) أعمدة من الحمم البازلتية

<sup>١</sup>راجع موضوع التجوية الميكانيكية في الفصل الأول

#### ١٤- الشعر البركانى : Pele's Hair :



صورة (٢-٣٢) كمية من الشعر البركانى المفتول على سطح إنسيابات الحمم المنبثقة من بركان " Kilauea " فى جزر "هاواى"

ترتبط هذه الظاهرة الفريدة ببركان " Pele " الرابض فى جزر "هاواى" ، وهى عبارة عن أعداد هائلة من الشعيرات الدقيقة السمك لايتعدى سمكها أكثر من نصف ملليمتر ويتراوح طولها بين نصف المتر والمتر الكامل ، وهى تتكون من الحمم البازلتية الغليظة القوام المتصلبة ، وهى عادة ما تحملها الرياح لعشرات الكيلومترات بعيداً عن فوهة البركان (صورة ٢-٣٢).

#### ١٥- الحمم المختلطة بالخصى " لاهار " Lahar :

أصل مصطلح "لاهار" مأخوذ عن اللغة الأندونيسية ، وهو يدل على الحمم المائية المختلطة بالخصى والرواسب والمياه ، وعادة ماينساب هذا الخليط بسرعة نحو الأراضي المنخفضة المحيطة بجسم البركان ، وهو يتكون من تدفق الخصى أو الطين المشبع بالمياه مع الحمم البركانية القاعدية المائية القوام ، خاصة وقت ذوبان الثلج ، أو أثناء فيضان الأنهار ، أو عند هطول السيول على مناطق الثورانات البركانية النشطة .

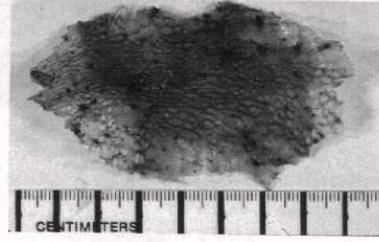
#### ١٦- رقائق الحمم "ليمو" Limu- Limuo :

عبارة عن قشور رقيقة ببيضاوية الشكل من تتكون الحمم البازلتية التى تتصلب عند إغمارها الفجائى من فوهات البراكين البحرية ، وتساقطها فى مياه اللسطحات البحرية المحيطة بها ، وعندئذ تختلط أمواج البحر بالحمم الملتهبة ، فتتصاعد منها الغازات والأبخرة الكثيفة نظراً لسرودتها الفجائية ، فتقوم الأمواج بنقلها وإعادة ترسيبها على الشواطئ فى صورة فرشاة من



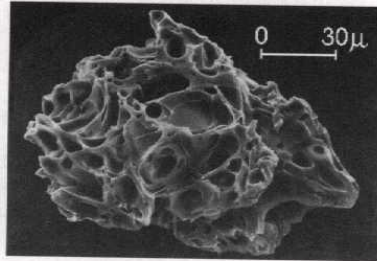
الرقائق المتصلبة ذات مظهر زجاجي تشبه قشور الأسماك ، تميل ألوانها إلى البني المائل للخضرة أو الرمادى (صورة ٢-٣٣)

صورة (٢-٣٣) كتلة متصلبة من رقائق الحمم  
"ليمو" التى قذفها بركان "Kilauea"  
فى جزر "هاواى"



#### ١٧- الرماد البركانى Volcanic Ash:

السحب القائمة ترتفع من فوهة البركان نحو السماء (صورة ٢-٣٤).



صورة (٢-٣٤) منظر مكبر تحت المجهر لإحدى  
حببات الرماد ضمن مقذوفات بركان " Mount  
St. Helens " تظهر بها فجوات ناتجة عن انحباس  
الغازات داخل الماجما

يتكون الرماد البركانى من حبيبات صخرية ومعادن يقل قطرها عن ٢ ملليمتر، ومن الشائع ألا يزيد قطر حبيباته عن ٠,٠٢٥ من الملليمتر الواحد ، ولذلك فمن السهل حمله بالرياح ونقله لمسافات بعيدة عن مصدره البركانى ، ويتميز الرماد بصلاية حبيباته كما أنه لا يذوب فى المياه ، وهو ينتج عن سحق الصخور المحيطة بالجمما المندفعة عبر قصبة البركان ، وتحويلها إلى حبيبات دقيقة ، وعادة ما يختلط بالغازات والأبخرة الناتجة عن تبخر الماء الجوفى الملامس لخزانات الماجما ، مكوناً أعمدة من

## ١٨- الحمم البازلتية من نوعي "باهوهو" و "آه آه" :

### Pahoehoe & AA-type lava flow :

يصنف سكان جزر "هاواي" بلغتهم المحلية أشكال الحمم البازلتية إلى نمطين هما Pahoehoe & AA اللذين يختصا بالسماوات الآتية (صور من ٢-٣٥ إلى ٢-٣٧):

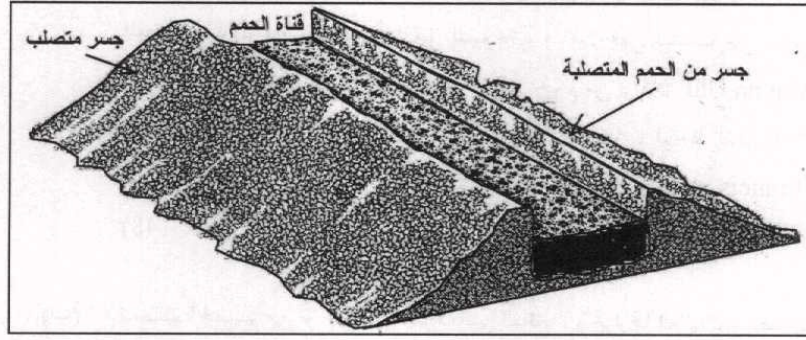
(أ) تتميز الحمم من نوع "باهوهو" بلونها الداكن المائل للسود ، و سطحها الأملس المصقول ، وقلة لزوجتها أى أنها تميل للميوعة ، ولذلك فهي تنساب على سطح الأرض بسرعة ، ففي دراسة أجريت على تدفق الحمم من بركان Mauna Ulu في جزر هاواي خلال ثورانه في عامي ١٩٦٩-١٩٧٤ ، لوحظ تدفق ٣٣٤ مليون متر مكعب من هذا النوع من الحمم البازلتية وحدها (Francis, 1993: 148) .

(ب) تتسم الحمم من نوع "آه آه" بلونها البني الفاتح ، وحرارتها العالية ، و سطحها الخشن ، وعظم سمكها الذي يصل لعدة أمتار ، وسرعة تدفقها نظراً لسيولة قوامها ، حيث سجلت سرعة تدفقها في بركان إتنا عام ١٩٧٥ بمعدل يتراوح بين ٥ و ١٠ متر مكعب في الثانية، ولكن سرعتها تقل بالتدرج عند برودتها بسبب تعرضها للجو ، فتتصلب قشرتها الخارجية في أول الأمر ، بينما تظل أجزاءها الداخلية لدنة ، وتستمر في تصلبها التدريجي إلى أن تصبح كتلاً صلبة تشبه الجبال المجدولة (Scarth, 1994:146).

## ١٩- قنوات الحمم Lava Channels ، وجسور الحمم Lava Levée :

ترتبط قنوات الحمم بالمصهورات البركانية شبه المائعة التي تسيل بسرعة فوق منحدرات سطح الأرض ، وقد تتجمع هذه القنوات في مجرى أكثر إتساعاً مسببة أضراراً بالغة بالمناطق المأهولة بالسكان حول البركان ، وكثيراً ما تترنح هذه المجاري في إمتدادها مكونة منعطفات

Meanders بسبب تباين قوام الحمم المنصهرة التي تسيل في القناة ، ودرجة تماسكها وتصلبها، وقد تتكون على ضفاف هذه القنوات بعض الجسور الطبيعية المكونة من الحمم المتصلبة Natural Lava Levée ، وهي تمتد بشكل طولي موازية للقناة ، أى بصورة مشابهة للجسور الطبيعية النهرية النشأة التي تتكون بتراكم الطمي على ضفتي المجرى النهري أثناء فترات الفيضان (شكل ٧-٢ وصور من ٣٨-٢ إلى ٤٠-٢).



شكل (٧-٢) خصائص جسور الحمم الطبيعية



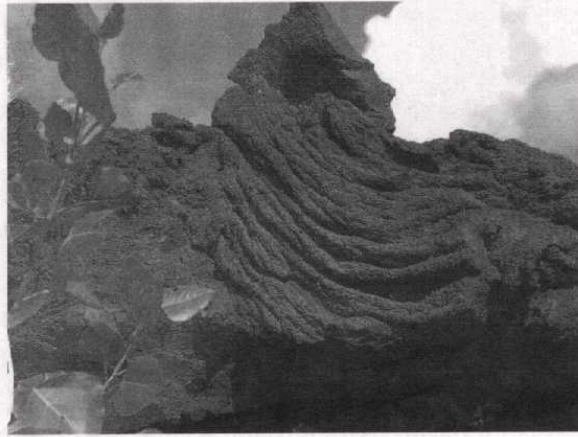
صورة (٣٥-٢) منعطف في قناة ناتجة عن تدفق الحمم من بركان "Kilauea" في جزر "هاواي" ، لاحظ ظهور زوج من الجسور الطبيعية يمتدا على ضفتي القناة يتكونا من الحمم المتصلبة- تصوير: Babb, J, مصدر الصورة:

[www.geology.sdsu.edu/how\\_volcanoes\\_work/Thumblinks/Lavalevee\\_page.html](http://www.geology.sdsu.edu/how_volcanoes_work/Thumblinks/Lavalevee_page.html)





صورة (٣٦-٢) حمم بازلتية غليظة القوام متصلبة من نوع "باهوهو"  
(تصوير : Slattery, 2004 , in: Bill Renwick 2002 )



صورة (٣٧-٢) حمم محدولة من نوع "آه آه" على منحدرات بركان إتنا بالقرب من مدينة "كاتانيا" بجزيرة  
صقلية الإيطالية (تصوير المؤلف في سبتمبر ٢٠٠٣)

(و) بعض الأشكال الأرضية المصاحبة للنشاط البركاني :

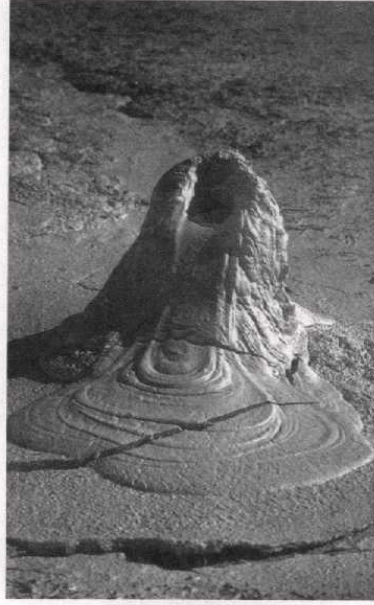
#### ١- البراكين الطينية Mud Volcano :

يتكون هذا النوع من البراكين من تراكم الطين والطين المنبثق من حواف الأرض مصاحباً لمياه الينابيع الحارة ، التي تتشكل نتيجة تقارب الطبقات الحاملة للمياه من خزانات الماجما ، وهي تتميز بانخفاض إرتفاعها الذي لا يتجاوز المترين ، ويختلف مظهرها المورفولوجي بين الشكل القبابي أو الجرسى أو المخروطي ، تبعاً لعدد من العوامل هي (صورة ٢-٣٨):

(أ) القوام ومدى تشبعها بالمياه .

(ب) درجة الحرارة .

(ج) حجم حبيبات الرواسب .



صورة (٢-٣٨) بركان طيني لا يتجاوز إرتفاعه ٤٠ سنتيمتر مصاحباً لنشاط الفوارات الحارة في منطقة " Norris " من المنتزه الوطني Yellowstone National Park بولاية "ولمنج" الأمريكية

#### ٢- روابي وحواجز المداخن Fumaroles Mounds and Ridges :

المداخن عبارة عن إنبثاق الانخرة والغازات من الشقوق والفواصل في حالتها الغازية، دون خروج المياه الحارة في صورتها السائلة ، وتتألف المواد المنبثقة من المداخن عادة من بخار الماء محتلطاً بثاني أكسيد الكربون والهيدروجين والكلور والميثان ، وهي بذلك تختلف عن

الفوارات الحارة التي تندفع منها المياه على حالتها السائلة ثم تتوقف برهة من الزمن ثم تعاود إندفاعها من جديد (صورة ٢-٣٩).

وتتكون روابي المداخل نتيجة تسرب بخار الماء من خزان للمياه الجوفية يقع بالقرب من مصدر حرارى ، فترتفع درجة حرارة المياه إلى درجة الغليان ، فتفور وتتسرب الغازات وبخار الماء مختلطة ببعض معادن الصخور القابلة للذوبان في بخار الماء الحار من المتسرب من خلال الشقوق والفواصل ، فتتجمع الرواسب حول فوهة المدخنة مكونة رابية محدودة الارتفاع ، قباية أو جرسية الشكل .



صورة (٢-٣٩) رابية متكلسة حول فوهة مدخنة

وقد يتسرب بخار الماء المحمل بالرواسب من خلال الشقوق الطولية ، مكوناً حاجز طولى من الإرسابات المتصلبة ، ويرتبط التركيب المعدنى للظاهرتين بالطبقات الصخرية التي استخلصت منها ، فقد تتكون من السليكا ، أو التوفا ، أو الترافرتين ، أو أكاسيد الحديد .

(ز) أشكال بركانية مُتبقية :

#### :Residual (Remnant) Volcanic Landforms :

تشتمل هذه المجموعة من الأشكال تأثير عوامل التعرية على الإنبثاقات البركانية وتضم مايلي :



## ١- الهياكل والأعناق البركانية

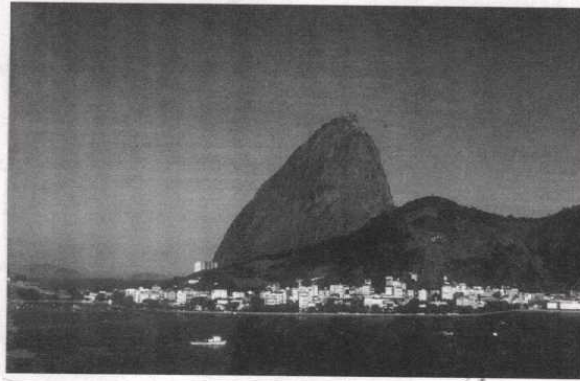
### volcanic Skeletons , Necks and Diatremes

تتعرض البراكين كغيرها من الأشكال التضاريسية لتأثير عوامل التجوية والتعرية باستمرار، وتضمحل مخروطات الرماد بسهولة لأنها تتكون من مواد هشة ، ورغم ذلك فإن كل التركيبات البركانية سوف تتلاشى ، ويتقدم نشاط التعرية فإن الصخور التي تتكون منها القسبة كثيراً ما تقاوم هذا النشاط ، وقد تبقى بارزة فوق سطح الأرض حتى بعد أن تختفى معظم مكونات المخروط ويعتقد بأن "شِب روك -الصخرة السفينة " بولاية " نيومكسيكو" هي عبارة عن ذلك التركيب المسمى بالرقبة البركانية ، فهذا التركيب يفوق في إرتفاعه ناطحات السحاب هو واحد من عدة تركيبات تبرز بوضوح من الأراضي الصحراوية الحمراء في الجنوب الغربي للولايات المتحدة (صورة ٢-٤٠) .

تتأثر المخروطات البركانية الخامدة بعوامل التعرية ، فتعمل على إزالة بعض أجزائها الخارجية ، حيث تتساقط جدران فوهة البركان ، وتنهار السفوح الجانبية لجسم المخروط بفعل الجاذبية الأرضية ، ولا يتبقى منه في النهاية سوى عمود بركاني يمثل قسبة البركان Volcanic Neck ، التي تقف منعزلة وتشير إلى موقع البركان القديم (صورة ٢-٤١).



صورة (٢-٤٠) مرئية فضائية لمخروط بركان خامد يتعرض لعمليات التجوية وعوامل النحت البحري وفعل الرياح في جزر القمر



صورة (٢-٤١) عنق بركاني متبقى عن بركان خامد تعرض لعوامل التعرية  
(Frnk Eckardt, in: Slattery, 2004 تصوير)

## ٢- أشكال الكارست البركانية Volcano Karst :

أستخدم (Naum et al., 1962) مصطلح أشكال الكارست البركانية لأول مرة ويشمل الظواهر الجيومورفولوجية الآتية :

(أ) حلقات التوفا Tuff Rings

(ب) مخروطات التوفا Tuff Cones

(ج) الخرافيش البركانية Volcanic Yardang

(د) الخيم أو الأكواخ البركانية Volcanic Tents or Wigwams

## ٣- تعرية القواطع النارية Dikes :

{حواجز السدود النارية " الديناصورات " (Barrier Dikes ( Dikes)}

أحد أشكال الثورانات البركانية التي تقطع الطبقات الصخرية رأسياً ، وتعمل على انصهار الصخور المحيطة بها وتحويلها إلى صخور متحولة تبعاً لشدة حرارتها . ويتوقف شكل الظاهرة الناتجة من اختراق السدود النارية للقشرة السطحية على طبيعة المادة المكونة للسد الناري ودرجة صلابتها بالنسبة للصخور التي تخترقها ، فتعمل عوامل التعرية على نحت وتآكل الطبقات الأقل صلابة ، فإذا كانت السدود أشد مقاومة فإنها تبقى على شكل حواجز طولية تمتد أحياناً لمسافات كبيرة ، وتشبه الديناصورات الراكضة بالصحراء ، تمثل السدود أعمدها الفقيرة ، أما إذا كانت المادة المكونة للسد الناري أقل صلابة من الطبقات المجاورة لها ، تحفر السدود الخنادق الطولية بدلاً من السدود ، كأحد أشكال الانقلاب التضاريسي . وقد ميز المؤلف أعداداً كبيرة من الحواجز النارية بمنطقة "سانت كاترين" بشبه جزيرة سيناء ، كما تتمثل هذه السدود في الصحراء الليبية شمالى "الهروج الأسود" .



#### ٤- ظاهرات ناتجة عن تعرية الفوهات البركانية Craters:

##### (أ) البحيرات البركانية الإنهيارية Caldera:

جزيرة مخروطية الشكل تبرز داخل البحيرة  
الأصلية (صورة ٢-٤٢).



صورة (٢-٤٢) بحيرة بركانية أنشئت داخلها مخروط  
بركانى ثانوى (تصوير: Ann Dittmer,  
2002, in: Slattery, 2004)

الكالديرا Caldera عبارة عن بحيرات  
كبيرة المساحة ، مرتفعة المنسوب ، تتميز  
بشدة إنحدار جوانبها الخارجية ، دائرية  
الشكل فى أغلب الأحيان ، تحتل فوهات  
بعض البراكين الخامدة بسبب توسع فوهته  
بتأثير عوامل التعرية ، مما يساعد على  
إنكشاف غرفة الصهير المفرغة جزئياً الغير  
منفذة للمياه ، وتجمع مياه الأمطار داخل  
الفوهة المتسعة مكونة بحيرة من المياه العذبة،  
وقد يعاود البركان ثورانه من جديد مكوناً  
مخروطاً ثانوياً داخل البحيرة على شكل

ويبلغ إتساع بحيرة الفوهة المعروفة باسم "Crater Lake" فى ولاية أوريجون حوالى  
١٠ كيلومترات ، ويصل عمقها لنحو ١٣٠٠ متر ، وبدأت هذه الفوهة فى التكوين منذ  
حوالى ٧٠٠٠ سنة، ولكن هذا الفوران التاريخى كان ضخماً جداً ، فقد خرج منه ما يقدر  
بحوالى ٧٠ كيلومتراً مكعباً من المواد البركانية ، ونظراً لثقل هذه الكمية وإفتقارها إلى الدعم  
من الداخل فقد تحطم جزء من المخروط الذى كان يصل إرتفاعه لنحو ٣٦٠٠ متر، وبعد  
تهدم المخروط تجمعت مياه الأمطار داخل فوهة البركان الشاسعة ، مكونة بحيرة ذات مياه  
دفيئة تكتسب حرارتها من العنق القديم للبركان المندثر ، كما تتمثل بمنطقة "حائل" بشمال  
السعودية أثنين من البحيرات البركانية على قممى جبلى "أجا وسلمى" البركانيين ، حيث  
تنجمع داخلهما مياه السيول الصحراوية ، إلا أنها سرعان ما تحف فى فصل الصيف القائلظ ،  
كما توجد العديد من البحيرات البركانية تحتل أحدها فوهة بركان خامد يدعى "جبل التل"  
فى منطقة "حرة كيشب" شمال شرق مكة المكرمة بحوالى ١٥٠ كم ، إضافة إلى فوهة إنهيارية  
أخرى على قمة بركان خامد يقع ضمن نطاق حرة "حظيمة" شرق ساحل البحر الأحمر

بحوالى ٥٥٠ كم ، وفوهة أخرى على قمة بركان بازلتى قديم بالجزء الغربى من حرة "خير" (Coleman, 1993).

#### (ب) الفوهات البركانية المنخفضة المنسوب "مار" Maars:

يتميز هذا النوع من فوهات البراكين بانخفاض منسوبه ، وصغر مساحته التى لا تتعدى الكيلومتر المربع ، وهو يقترن عادة بالبراكين القاعدية المحدودة الارتفاع ، وكثيراً ما تختلط الحمم بالسركانية بالمياه الباطنية عند اختراقها لمستوى الماء الجوفى مما يؤدي إلى غليانها ، وإحتلاطها بالحمم المنبتقة من الفوهة.



صورة (٢-٤٣) بحيرة منخفضة المنسوب "مار" يبلغ قطرها حوالى ٣٠٠ متر تكونت خلال ١٠ أيام من ثوران أحد براكين "الاسكا" - مصدر الصورة: <http://volcanoes.usgs.gov/Products/Pglossary/maar.html>

وعند توقف البركان عن الثوران، تتكون بحيرة دائرية ضحلة تشغل فوهة البركان، تعمل على تجميع مياه الأمطار داخلها ، وهى بذلك تتشابه مع البحيرات البركانية Caledera إلا أنها ذات منسوب منخفض، وصغيرة المساحة ، كما أنها تستمد مياهها الأولية من باطن الأرض (صورة ٢-٤٣) .

#### (ج) الفوهات القمعية الشكل Funnel-Shape Crater:

عبارة عن فوهات تشبه القمع المقلوب نتيجة إتساعها الكبير فى حوافها الخارجية ، بينما يضيق عنق ومخرج الحمم البركانية ، بسبب ضعف قوة دفع المصهورات البركانية ، الذى قد يحدث لأحد الأسباب الآتية (Blume, 1992:42):

- ١- إنخفاض درجة حرارة الماجما.
- ٢- إختلاط الماجما بالمياه الجوفية .
- ٣- عظم عمق خزان الماجما .

#### (د) الفوهات المجوفة Pit Crater

يشبه هذا النوع من الفوهات البركانية إبريق الشاى أو الغلايات Kettle-Shape Crater

#### (هـ) حلقات التوفا Tuff Rings:

تتكون حلقات التوفا من إثناق مفتتات السيكورى البازلتيّة نتيجة إندفاع الثوران البركانى من قاع بحيرة أو مسطح بحرى ضحل ، أو فى منطقة غنية بالطبقات الحاملة للمياه الجوفية ، وعلى ذلك تشيع الحمم البركانية المندفعة بالمياه ، وتستمر فى ثورانها لفترات زمنية طويلة ولكن بقوة ضعيفة ، بسبب إختلاط الماحما بالمياه ، مما ساهم فى تحديد مظهرها الجيومورفولوجى الذى يتميز بالخصائص الآتية ( Scarth, 1994 ) :

- ١- تبدو حلقات التوفا أقل إرتفاعاً نظراً لتراكم كيات أقل من الحمم ، إذ يتراوح إرتفاعها بين ٤٠ و ٦٠ متر وقد تصل لحوالى ١٥٠ متر .
- ٢- جوانبها الخارجية هينة الإندثار.
- ٣- قيعانها ضحلة وكثيراً ما يرتفع منسوبها عن الأرضى المتاخمة لها ، ولذلك من النادر أن تتجمع داخلها مياه الأمطار .
- ٤- تتراوح أقطارها بين نصف كيلومتر إلى كيلومتر واحد.
- ٤- ترسب على سطوحها طبقة رقيقة من التوفا لايزيد سمكها عن ٥ أو ١٠ سنتيمترات .

توجد العديد من حلقات التوفا فى المناطق البركانية فى العالم ، لعل أشهرها حلقة "Cerro Xico" التى تشرف على مدينة نيومكسيكو مباشرة ، وحلقة أخرى قديمة تُدعى "Diamond Head" فى جزيرة "أوهاو" Oahu إحدى جزر "هاواى" .

#### ٥- المسيلات البركانية Volcanic Planezes :

تتكون المسيلات بتأثير تعرية الماء الجارى على منحدرات المخروطات البركانية ، وتعدد مصادر المياه الجارية على البراكين ، مثل هطول الأمطار، أو فيضان المياه من البحيرات البركانية



المتراكزة داخل فوهة البركان<sup>١</sup>، أو ذوبان الثلج نتيجة إرتفاع درجة حرارة الجو . كما يختلف شكل المقطع العرضي للمسيل ، ودرجة إتساعه ، ومدى تعرجه ، ونوعية الرواسب المنتشرة على قاعه وفقاً لعدد من العوامل أهمها مايلي (صورتا ٢-٤٤ ، ٢-٤٥) :

- (أ) كمية الأمطار الساقطة وفصليتها .
- (ب) درجة إنحدار جوانب المخروط البركاني وطبيعة ودرجة تقوسه (محدب - مقعر - مستقيم - مركب).
- (ج) نوعية الرماد البركاني أو الحمم المتصلبة على جوانب البركان ودرجة صلابتها.
- (د) خصائص وكثافة الغطاء النباتي إن وجد على جسم البركان.

<sup>١</sup> تعرض أحد براكين الفلبين لمخاطر فيضان إحدى البحيرات البركانية Caledera خلال عام ٢٠٠٢ ، فقامت الجهات المسئولة بنشق قنوات لتصريف مياه البحيرة من قمة البركان بعيداً عن المحلات العمرانية.



صورة (٢-٤٤) فوهة بركان "Panum" تظهر داخلها قبة محاطة بحلقة محدودة الارتفاع من التوفا في منطقة "Mono Lake" شرق ولاية "كاليفورنيا" الأمريكية - مصدر الصورة: [www.geosci.unc.edu/.../ MonoTrip/Leg2.html](http://www.geosci.unc.edu/.../MonoTrip/Leg2.html)



صورة (٢-٤٥) مسيلات جبلية ناتجة عن فعل التعرية المائية بالقرب من فوهة بركان "فولكانو" الإيطالي (تصوير المؤلف في سبتمبر ٢٠٠٣)

قائمة المراجع :

أولاً : مراجع عامة :

- ١- جودة حسنين جودة ، ١٩٨٩ : الجيومورفولوجيا ، دار المعرفة الجامعية ، الإسكندرية.
- ٢- جودة فتحى التركمانى ، ٢٠٠٣ : أشكال السطح ، دراسة فى أصول الجيومورفولوجيا ، بدون ناشر ، القاهرة.
- ٣- حسن سيد أحمد أبوالعينين ، ١٩٩٥ : أصول الجيومورفولوجيا ، الطبعة الحادية عشرة ، مؤسسة الثقافة الجامعية ، الإسكندرية.
- ٧- محمد صبرى محسوب ، ١٩٩٨ : جيومورفولوجية الأشكال الأرضية ، دار الفكر العربى ، القاهرة.
- ٨- ----- ، ٢٠٠١ : الأطلس الجيومورفولوجى ، معالجة تحليلية للشكل والعملية ، دار الفكر العربى ، القاهرة.
- ٩- محمد مجدى تراب ، ١٩٩٦ : أشكال الصحارى المصورة ، منشأة المعارف ، الإسكندرية.
- ١٠- ----- ١٩٩٧ : التطور الجيومورفولوجى لحوض وادى قصب بالنطاق الشرقى من جنوب شبه جزيرة سيناء ، مجلة الجمعية الجغرافية المصرية ، العدد التاسع والعشرون ، الجزء الثانى .
- ١١- ----- ، ٢٠٠٤ : أساسيات الجغرافية الطبيعية ، مكتبة الفلاح للنشر والتوزيع ، العين ، ٤٤٠ ص.



ثانياً : مراجع عن الأشكال البركانية :

- 1- Applegate, T.B., Jr. (1990). Volcanic and structural morphology of the south flank of Axial Volcano, Juan de Fuca Ridge: Results from a Sea MARC I side-scan sonar survey, *Journal of Geophysical Research*, 95: 12,765-12,783.
- 2- Applegate, T.B., Jr., and R.W. Embley (1992). Submarine tumuli and inflated tube-fed lava flows on Axial Volcano, Juan de Fuca Ridge, *Bulletin of Volcanology*, 54: 447-458.
- 3- Atwater, T. and J. Severinghaus (1989). Tectonic maps of the northeast Pacific. In: *The eastern Pacific Ocean and Hawaii*, edited by E.L. Winterer et al., Geological Society of America, *Geology of North America*, N: 15-20.
- 4- Baker, E.T., (1994). A 6-year time series of hydrothermal plumes over the Cleft segment of the Juan de Fuca Ridge, *Journal of Geophysical Research*, 99: 4889-4904.
- 5- Blume H., 1992. *Colour atlas of the surface forms of the earth*, Cambridge, Mass. : Harvard University Press, 139 p.
- 6- Chadwick, W.W., Jr., R.W. Embley, and C.G. Fox (1991). Evidence for volcanic eruption on the southern Juan de Fuca Ridge between 1981 and 1987, *Nature*, 350: 416-418.
- 7- Chadwick, W.W. Jr., R.W. Embley, T.M. Shank (1998). The 1996 Gorda Ridge eruption: geologic mapping, sidescan sonar, and SeaBeam comparison results, *Deep Sea Research II*, 45: 2547-2569.
- 8- Clague, D.A., J.R. Reynolds, and A.S. Davis (2000). Near-ridge seamount chains in the northeastern Pacific Ocean, *Journal of Geophysical Research*, 105: 16,541-16,561.
- 9- Clague, D.A. and M.L. Holmes (1987). Geology, petrology, and mineral potential of the Gorda Ridge. In: *Geology and resource Potential of the Continental Margin of Western North America and Adjacent Ocean Basins—Beaufort Sea to Baja California*, edited by D.W. Scholl, A. Grantz, and J.G. Vedder, Circum-Pacific Council for Energy and Mineral Resources, *Earth Science Series*, Houston, TX, 563-580.

- 10-Clague, D.A. and P.A. Rona (1990). Geology of the GR14 site on northern Gorda Ridge. In: Gorda Ridge: A Seafloor Spreading Center in the U.S. Exclusive Economic Zone, edited by G.R. Murray, Springer-Verlag, New York, 31-50.
- 11-Coleman, R.G. (1993). Geologic evolution of the Red Sea, Oxford University Press, New York, 186 p.
- 12-Collier, R.W., S.H. Holbrook, and J.M. Robbins (1986). Studies of trace metals and active hydrothermal venting on the Gorda Ridge, Oregon Department of Geology and Mineral Industries, Report 0-86-13: 36 pp.
- 13-Cowen, J.P., M.A. Bertram, E.T. Baker, R.A. Feely, G.J. Massoth, and M. Summit (1998). Geomicrobial transformation of manganese in Gorda Ridge event plumes, Deep-Sea Research II, 45: 2,713-2,737.
- 14-Davis, A.S. and D.A. Clague, (1987). Geochemistry, mineralogy, and petrogenesis of basalt from the Gorda Ridge, Journal of Geophysical Research, 92: 10,467-10,483.
- 15-Davis, A.S., and D.A. Clague (1990). Gabbroic xenoliths from the northern Gorda Ridge: Implications for magma chamber processes under slow spreading centers, Journal of Geophysical Research, 95: 10,885-10,905.
- 16-Davis, A.S., and D.A. Clague (2000). Seamount structure and petrology of basalts from the President Jackson Seamounts, northern Gorda Ridge: magmatic relationship between on- and off-axis volcanism, Journal of Geophysical Research, 105: 27, 956.
- 17-Davis, A.S., D.A. Clague, and W.F. Friesen. (1994). Petrology and mineral chemistry of basalt from Escanaba Trough, southern Gorda Ridge, U.S. Geological Survey Bulletin, 2022: 153-170.
- 18-Davis, A.S., D.A. Clague, W.A. Bohrson, G.B. Dalrymple, and H.G. Greene (in press). Seamounts at the Continental Margin of California: A Different Kind of Oceanic Intra-Plate Volcanism, Bulletin Geological Society of America.
- 19-Davis, A.S., D.A. Clague, and W.M. White (1998). Geochemistry of basalt from Escanaba Trough: Evidence for sediment contamination, Journal of Petrology, 39: 841-858.

- 20-Davis, A.S., L.B. Gray, and D.A. Clague (1998). Non-hotspot ocean island volcanoes: examples from the central and NE Pacific Ocean. In: *Evolution of Ocean Island Volcanoes*, Geological Society of America, Penrose Conference Series, Galapagos, Ecuador, p.27.
- 21-Delaney, J.R., H.P. Johnson, and J.L. Karsten (1981). The Juan de Fuca ridge-hotspot-propagating rift system: New tectonic, geochemical, and magnetic data, *Journal of Geophysical Research*, 86: 11,747-11,750.
- 22-Embley, R.W. and D.S. Wilson (1992). Morphology of the Blanco Transform Fault Zone—NE Pacific: Implications for its tectonic evolution, *Marine Geophysical Researches*, 14: 25-45.
- 23-Embley, R.W., K.M. Murphy, and C.G. Fox (1990). High-resolution studies of the summit of Axial Volcano, *Journal of Geophysical Research*, 95: 12,785-12,812.
- 24-Embley, R.W., S.G. Merle, R.S. Yeats, C. Goldfinger, J. Reynolds, and D.A. Clague (in press). A Forearc Section of the Cascadia Subduction Zone at Heceta Bank off Oregon Revealed by High Resolution Imagery: Extension of Geologic Mapping to the Continental Shelf, *Marine Geology*.
- 25-Embley, R.W., W. Chadwick, M.R. Perfit, and E.T. Baker (1991). Geology of the northern Cleft segment, Juan de Fuca Ridge: Recent lava flows, sea-floor spreading, and the formation of megaplumes, *Geology*, 1:, 771-775.
- 26-Embley, R.W., and W.W. Chadwick, Jr. (1994). Volcanic and hydrothermal processes on the southern Juan de Fuca Ridge, *Journal of Geophysical Research*, 99: 4741-4760.
- 27-Embley, R.W., W.W. Chadwick, Jr., D. Clague, and D. Stakes (1999). 1998 Eruption of Axial Volcano: Multibeam anomalies and seafloor observations, *Geophysical Research Letters*, 26: 3425-3428.
- 28-EEZ-Scan 84 Scientific Staff (1988). Physiography of the western United States Exclusive Economic Zone, *Geology*, 16: 131-134.
- 29-EEZ-Scan 84 Scientific Staff (1986). Atlas of the Exclusive Economic Zone, Western Conterminous United States, U.S.

- Geological Survey Miscellaneous Investigations Series I-1792, 152 pp.
- 30- Fairbridge, R.W. (1969). The encyclopedia of Geomorphology, John Wiley & Sons Inc., New York, 1295p.
- 31- Fisk, M.R., and K.J. Howard, Geology and Geophysics of Gorda Ridge (1987). In: Gorda Ridge: A Seafloor Spreading Center in the U.S. Exclusive Economic Zone, edited by G. R. McMurray, Springer-Verlag, New York, 3-17.
- 32- Fisk, M.R., R.A. Duncan, C.A. Fox, and J.B. Witter (1993). Emergence and petrology of the Mendocino Ridge, Marine Geophysical Researches, 15: 283-296.
- 33- Francis, P. (1993). Volcanoes a planetary perspective, Clarendon Press, New York, 443 p.
- 34- Gerrard, J. (1986). Rocks and Landforms, London: Unwin Hyman.
- 35- Goldstein, S.J., M.T. Murrell, D.R. Janecky, J.R. Delaney, and D.A. Clague (1992). Geochronology and petrogenesis of MORB from the Juan de Fuca and Gorda Ridges by  $^{238}\text{U}$ - $^{230}\text{Th}$  disequilibrium, Earth and Planetary Science Letters., 109: 255-272.
- 36- Hammond, S.R. (1997). Offset caldera and crater collapse on Juan de Fuca ridge-flank volcanoes, Bulletin of Volcanology, 58: 617-627.
- 37- Kappel, E.S. and W. Ryan (1986). Volcanic episodicity and a non-steady-state rift valley along northeast Pacific spreading centers: Evidence from SeaMARC I, Journal of Geophysical Research, 91: 13,925-13,940.
- 38- Koski, R.A., D.A. Clague, and E. Oudin (1984). Mineralogy and chemistry of massive sulfide deposits from the Juan de Fuca Ridge, Geological Society of America Bulletin, 95: 930-945.
- 39- Kulm, L.D., E. Suess, J.C. Moore, B. Carson, B.T. Lewis, S.D. Ritger, D.C. Kadko, T.M. Thornburg, R.W. Embley, W.D. Rugh, G.J. Massoth, M.G. Langseth, G.R. Cochrane, and R.L. Scamman (1986). Oregon subduction zone: Venting, fauna, and carbonates, Science, 231: 561-566.
- 40- Lonsdale, P. (1991) Structural patterns of the Pacific floor offshore of peninsular California. In: The gulf and peninsular province of the

- Californias: American Association of Petroleum Geologists Memoir, edited by Dauphin et al., 47: 87-125.
- 41-MacKay, M.E., (1995). Structural variation and landward vergence at the toe of the Oregon accretionary prism, *Tectonics*, 14: 1309-1320.
- 42-MacKay, M.E., G.F. Moore, G.R. Cochrane, J.C. Moore, and L.D. Kulm (1992). Landward vergence and oblique structural trends in the Oregon margin accretionary prism: Implications and effects on fluid flow, *Earth and Planetary Science Letters*, 109: 477-491.
- 43-Masson, D.G., D.A. Cacchione, and D.E. Drake (1988). Tectonic evolution of Gorda Ridge inferred from sidescan sonar images, *Marine Geophysical Researches*, 10: 191-204.
- 44-MBARI Mapping Team, (2001). Santa Barbara Multibeam Survey, Monterey Bay Aquarium Research Institute, Digital Data Series No. 4. (this is referenced for Rodriguez Seamount).
- 45-MBARI Mapping Team, (2000). Monterey Bay Multibeam Survey, Monterey Bay Aquarium Research Institute, Digital Data Series No. 3. (this is referenced for Davidson Seamount).
- 46-Morton, J.L., M.L. Holmes, and R.A. Koski (1987). Volcanism and massive sulfide formation at a sedimented spreading center, Escanaba Trough, Gorda Ridge, northeast Pacific Ocean, *Geophysical Research Letters*, 14: 769-772.
- 47-Morton, J.L., R.A. Zierenberg, and C.A. Reiss (1994). Geologic, hydrothermal, and biologic studies at Escanaba Trough: An Introduction, U.S. Geological Survey Bulletin, Report B 2022, 1-18.
- 48-Nielsen, R.L., J.Crum, R. Bourgeois, K. Hascall, L.M. Forsythe, M.R. Fisk, and D.M. Christie (1995). Melt inclusions in high-An plagioclase from the Gorda Ridge: An example of the local diversity of MORB parent magmas, *Contributions to Mineralogy Petrology*, 122: 34-50.
- 49-Nittrouer, C.A., ed. (1999). The Formation of Sedimentary Strata on Continental Margins. *Marine Geology* 154: 1-426.
- 50-Normark, W.R. and F. Serra (2001). Vertical tectonics in northern Escanaba Trough as recorded by thick Quaternary turbidites, *Journal of Geophysical Research*, 106: 13,793-13,802.



- 51-Ross, S. L. and R.A. Zierenberg (1994). Volcanic geomorphology of the SESCO and NESCA sites, Escanaba Trough, U.S. Geological Survey Bulletin, 2022: 143-151.
- 52-Rubin, K.H., M.C. Smith, M.R. Perfit, D.M. Christie, and L.F. Sacks (1998). Geochronology and geochemistry of lavas from the 1996 North Gorda Ridge eruption, Deep-Sea Research II, 45: 2571-2597.
- 53-Scarth, A. (1994). Volcanoes, Texas A&M University Press College station, UK, 273 p.
- 54-Slatery, M., (ed.) 2001. Atlas of Geomorphology on CD., Christian University, Texas.
- 55-Smith, M.C., M.R. Perfit, and I.R. Jonasson (1994). Petrology and geochemistry of basalts from the southern Juan de Fuca Ridge: controls on the spatial and temporal evolution of mid-ocean ridge basalt, Journal of Geophysical Research, 99: 4787-4812.
- 56-Volpe, A.M., and S.J. Goldstein (1993)  $^{226}\text{Ra}$  -  $^{230}\text{Th}$  disequilibrium in axial and off-axis mid-ocean ridge basalts, Geochimica et Cosmochimica Acta 57: 1233-1241.
- 57-Zierenberg, R.A., P. Schiffman, I.R. Jonasson, R. Tosdal, W. Pickthorn, and J. McClain (1995). Alteration of basalt hyaloclastite at the off-axis Sea Cliff hydrothermal field, Gorda Ridge, Chemical Geology, 126: 77-99.

ثالثاً : مراجع عن الأشكال البنيوية :

1. Allmendinger, R.W. 1998, Inverse and forward modeling of trishear fault-propagation folds. Tectonics v. 17., p. 640-656.
2. Azor, A., Keller, E. A., and Yeats, R. S., Geomorphic indicators of active fold growth: South Mountain-Oak Ridge anticline, Ventura basin, southern California: Geological Society of America Bulletin, v. 114, p. 745-753.
3. Baldwin, J. N., Kelson, K. I., Randolph, C. E., 2000, Late Quaternary fold deformation along the Northridge Hills Fault, Northridge, California; deformation coincident with past Northridge blind-thrust earthquakes and other nearby structures?:

- Bulletin of the Seismological Society of America, v. 90, p. 629-642.
4. Barragan, R., R. Baudino, and R. Marocco, Geodynamic evolution of the Neogene intermontane Chota basin, Northern Andes of Ecuador, *Journal of South American Earth Sciences*, 9, 309-319, 1996.
  5. Batt, G. E., Brandon, M. T., Farley, K. A., and Roden-Tice, M., 2002, Tectonic synthesis of the Olympic Mountains segment of the Cascadia wedge, using 2-D thermal and kinematic modeling of isotopic ages: *Journal of Geophysical Research*, v. 000, p. 000-000.
  6. Birkeland, P., 1999, *Soils and geomorphology*: New York, Oxford University Press, 430 p.
  7. Boudiaf, A. Ritz, J-F, and Phillip, H., 1998, Drainage diversions as evidence of propagating active faults; an example of the El Asnam and Thenia faults, Algeria: *Terra Nova*, v. 10, p. 236-244.
  8. Boyer, S. E. and Elliot, D., 1982, Thrust systems: *American Association of Petroleum Geologists Bulletin*, v. 66, p. 1196-1230.
  9. Brandon, M. T., and Calderwood, A. R., 1990, High-pressure metamorphism and uplift of the Olympic subduction complex: *Geology*, v. 18, p. 1252-1255.
  10. Brandon, M. T., and Vance, J. A., 1992, Tectonic evolution of the Cenozoic Olympic subduction complex, Washington State, as deduced from fission track ages for detrital zircons: *American Journal of Science*, v. 292, p. 565-636.
  11. Brandon, M. T., Roden-Tice, M. K., and Garver, J. I., 1998, Late Cenozoic exhumation of the Cascadia accretionary wedge in the Olympic Mountains, northwest Washington State: *Geological Society of America Bulletin*, v. 110, p. 985-1009.
  12. Brozovic, N., Burbank, D. W., Fielding, E., and Meigs, A. J., 1995, The spatial and temporal topographic evolution of Wheeler Ridge, California: New insights from digital elevation data [abstract]: *Geological Society of America, Abstracts with Programs*, v. 27, p. 396.
  13. Bullard, T. F. and Lettis, W. R., 1993, Quaternary fold deformation associated with blind thrust faulting, Los Angeles Basin, California: *Journal of Geophysical Research*, v. 8349-8369.

14. Burbank, D. and Anderson, R., 2000, *Tectonic Geomorphology*: Oxford, Blackwell Science Ltd., 288 p.
15. Burbank, D. W., Meigs, A., and Brozovic, N., 1996, Interactions of growing folds and coeval depositional systems: *Basin Research*, v. 8, p. 199-223.
16. Burbank, D. W., McLean, J. K., Bullen, M., Abdrakhmatov, K. Y., and Miller, M. M., 1999, Partitioning of the intermontane basins by thrust-related folding, Tien Shan, Kyrgyzstan: *Basin Research*, v. 11, p. 75-92.
17. Dalton, T.D., A.S. Meltzer, B. Carson, S. Fritz, J. Faberman, and R. Moeller, Late Pleistocene-Holocene lake history based on integrated sedimentological and ground penetrating radar investigations, *Paleolimnology*, in review.
18. Davis, D. Suppe, J., Dahlen, F.A. 1983. Mechanics of fold and thrust belts and accretionary wedges. *Jour. Geophy. Research* v. 88 p. 1153-1172.
19. Davis, J.L., and A.P. Annan, 1989, Ground-penetrating radar for high-resolution mapping of soil and rock stratigraphy: *Geophysical Prospecting*, 37, p. 531-551.
20. Delcaillau, B., Deffontaines, B., Floissac, L., Angelier, J., Deramond, J., Souquet, P., Chu, H. T., and Lee, J. F., 1998, Morphotectonic evidence from lateral propagation of an active frontal fold; Pakuashan Anticline, foothills of Taiwan: *Geomorphology*, v. 24, p. 263-290.
21. Demanet, D., F. Renardy, K. Vanneste, D. Jongmans, T. Camelbeeck, and M. Meghraoui, 2001, The use of geophysical prospecting for imagin active faults in the Roer Graben, Belgium: *Geophysics*, 66, p. 78-89.
22. Ego, F., M. Sebrier, A. Lavenue, H. Yepes, and A. Egues, Quaternary state of stress in the Northern Andes and the restraining bend model for the Ecuadorian Andes, *Tectonophysics*, 259, 101-116, 1996.
23. Erslev, E.A. 1991, Trishear fault-propagation folding: *Geology*, v. 19, p. 617-620.
24. Fischer, MP, Woodward, NB, Mitchell, MM 1992, The kinematic of beak-thrust folds: *Jour. Struct., Geol.* v. 14, p. 451-460.

25. Meltzer, A.S., and C. Almy, 2000, Fault structure and earthquake potential Lajas Valley, SW Puerto Rico: EOS, Transaction, American Geophysical Union, 81, F1181.
26. Olskin, M., Sieh, K., Rockwell, T., Miller, G., Gupta, P., Curtis, M., McArdle, S., Elliot, P., 2000. Active parasitic folds on the Elysian Park anticline: Implications for seismic hazard in central Los Angeles, California. GSA Bulletin, v. 112, n. 5, p. 693-707.
27. Poblet, J. McClay, K., Storti, F., Munoz, J.A. 1997, Geometries of syntectonic sediments associated with single-layer detachment folds: Jour. Struct. Geol., v. 19, p. 4369-381.
28. Powell, R. and Matti, J., (in review), Geologic map and digital database of the Lucerne Valley 7.5' Quadrangle, San Bernardino County, California: U. S. Geological Survey, Open File Report, scale 1:24,000.
29. Pubellier, M., Deffontaines, B., Quebral, R., and Rangin, C., 1994, Drainage network analysis and tectonics of Mindanao, southern Philippines: Geomorphology, v. 9, p. 325-342.
30. Pullen, S.E., and J.A. Hunter, 1990, Delineation of buried bedrock valleys using the optimum offset shallow seismic reflection technique, in Ward, S. H., ed., Geotechnical and environmental geophysics: Society of Exploration Geophysicists, p. 75-87.
31. Shaw, J.C. Suppe, J. 1995 Earthquake hazards of active blind-thrust faults under the central Los Angeles basin California. Jour. Geophy. Research v. 101 p. 8623-8642.
32. Shedlock, K.M., T.M. Brocher, and S.T. Harding, 1990, Shallow structure and deformation along the San Andreas fault in Cholame Valley, California, based on high-resolution reflection profiling, Journal of Geophysical Research, 95, p. 5003-5020.
33. Shtivelman, V., U. Frieslander, E. Zilberman, and R. Amit, 1998, Mapping shallow faults at the Evrona playa site using high-resolution reflection method, Geophysics, 63, p. 1257-1264.
34. Snavely, P. D., Kvenvolden, K. A., Rapp, J. B., Hostettler, F. D., and Golan-Bac, M., 1989, Preliminary evaluation of the petroleum potential of the Tertiary accretionary terrane, west side of the Olympic Peninsula, Washington: U. S. Geological Survey Bulletin 1892, 44 p.

35. Spotila, J. and Sieh, K., 2000, Architecture of transpressional thrust faulting in the San Bernardino Mountains, southern California, from deformation of a deeply weathered surface: *Tectonics*, v. 19, n. 4, p. 589-615.
36. Suppe, J. Chou, G.T., Hook, S.C. 1991. Rates of folding and faulting determined from growth strata. In: *Thrust Tectonics*, ed. K. McClay, pp. 105-121. Chapman and Hall, London.
37. Suppe, J., 1983, Geometry and Kinematics of Fault Bend Folding: *American Journal of Science*, v. 283, p. 684-721.
38. Suppe, J., Medwedeff, D.A. 1990 Geometry and kinematics of fault propagation folding *Eclog. Geol. Helv.* V. 83 p. 409-454.
39. Tabor, R. W. and Cady, W. M., 1978a, Geologic Map of the Olympic Peninsula: U.S. Geological Survey Map I-994, 2 sheets, scale 1:125,000.
40. van der Beek, P., Champel, B., and Mugnier, J-L., 2002, Control of detachment dip on drainage development in regions of active fault propagation folding: *Geology*, v. 30, p. 471-474.
41. Wang, K., 1996, Simplified analysis of horizontal stresses in a buttressed forearc sliver at an oblique subduction zone: *Geophysical Research Letters*, v. 23, p. 2021-2024.
42. Winter, T., Avouac, J. P., Lavenue, A., 1993, Late Quaternary kinematics of the Pallatanga strike-slip fault (central Ecuador) from topographic measurements of displaced morphological features: *Geophysical Journal International*, v. 115, p. 905-920.

# الفصل الثالث أشكال فيضية (نهرية)

أولاً: الأنهار.  
ثانياً: الوادى النهرى.  
ثالثاً: المجرى النهرى.  
رابعاً: أنماط التصريف النهرى.  
خامساً: الدورة الجيومورفولوجية.  
سادساً: الإرساب الحوضى فى  
المناطق شبه الجافة.  
سابعاً: تأثير تغير منسوب مستوى  
القاعدة على نظم التصريف.  
ثامناً: تأثير التراكيب البنيوية على  
نظم التصريف النهرى.  
تاسعاً: تأثير ميل الطبقات الصخرية  
على نظم التصريف.  
عاشراً: الأسر (القرصنة) النهرى.

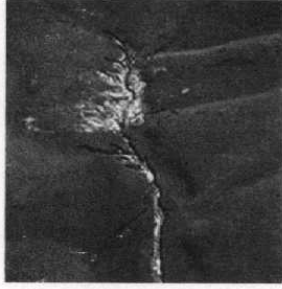




## الفصل الثالث أشكال فيضية (نهرية)

تعتبر الأنهار أكثر عوامل تشكيل سطح الأرض قوة ونشاطاً ، وتسوية سطحه ، فهي القوة القادرة على نحت الجبال والهضاب وحفر الأودية ، وبناء السهول الفسيحة الخصبة التي قامت عليها الحضارات البشرية .

هذه الحالة باسم النهر الداخلي ، أو التصريف المائي الداخلي (صورة ١-٣) .



صورة (١-٣) مسيل مائي يشكل اللبنة الأولى لتكوين النظام النهري

فالنهر يتكون من تجمع مياه الأمطار على شكل مسيلات ، تتلاقى في جداول تنحدر على سطح الأرض ، لتتجمع مرة أخرى في مجار مائية محدودة الإتساع ، لتتلاقى في مجار أكبر ، وهكذا حتى تتمكن من تكوين مجرى نهري قادر على شق طريقه في القشرة الأرضية حتى يصب في أحد المسطحات البحرية ، أو ينتهي في أحد الأحواض الداخلية فلا يصل للبحر مثل بحيرة تشاد ، أو البحر الميت ، أو بحر قزوين وغيرها ، ويسمى النهر في

أولاً : الأنهار .. مصادرها .. عناصرها .. ودورها في تشكيل سطح الأرض :

(أ) مصادر مياه الأنهار:

تتعدد مصادر مياه الأمطار ، وقد يكون المطر هو المصدر المباشر لمياه النهر ، ولكن تستمد بعض الأنهار مياهها من ذوبان الجليد ، أو من الينابيع أو العيون المتدفقة من سطح الأرض ، كما يختلف مقدار ماء النهر من فصل إلى آخر ، وذلك يرجع بالطبع إلى موسم المطر ،

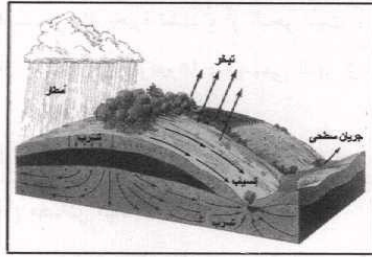
أو فترة الجفاف ، فيكون وفيراً في الحالة الأولى وأقل في الحالة الثانية . إلا أن هناك بعض الحالات تساعد على حفظ مستوى مياه النهر دائماً ، ومن هذه الحالات مثلاً وجود بحيرات في مجرى النهر، فهي تمدد بالمياه ، وتعمل بمثابة الخزانات التي تمد النهر بالتدريج بما يحتاجه من مياه ، وكذلك قد توجد بعض الغابات والنباتات التي تعترض مجرى النهر ، فتعوق سرعة جريانه ، فتتجمع مياهه ثم تنصرف بالتدريج - وقد يكون للنهر عدة روافد، تعمل كمصادر دائمة للمياه، وهكذا ... وعلى كل حال - مهما كانت الأنهار منتظمة في جريانها ، إلا أنه عادة يكون لها موسم فيضان وموسم تخاريق ، وفي الجهات الحارة غالباً ما تكون الأمطار هي سبب الفيضان ، كما يتحكم عامل البخر في زيادة مياه النهر (شتاء) ونقصانه (صيفاً) ، وهناك بعض الأنهار التي تفيض في الربيع وأوائل الصيف ، وهي الأنهار التي تغذيها الثلوج الذائبة في هذا الوقت بالذات ، خصوصاً إذا جاء الربيع دافئاً بعد شتاء قارس طويل .

#### (ب) عناصر النظم النهرية :

يضم النظام النهري مجموعة العناصر الآتية :

#### ١- حوض تصريف Drainage Basin :

بين الأودية نحو شبكات التصريف للمائي  
(شكلاً ١-٣ ، ٢-٣) :



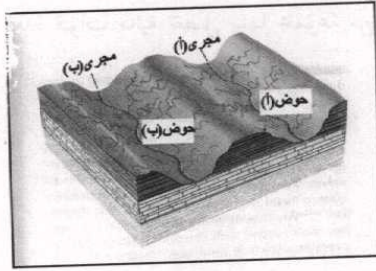
شكل (١-٣) بعض طرق تغذية الأنهار بالمياه

عبارة عن المساحة الأرضية التي تضم جميع أجزاء النهر من روافده العليا وحتى المصب، وتحدد الحوض مجموعة خطوط يُطلق عليها اسم خطوط تقسيم المياه أو مقاسم المياه Water Divide، أي أعلى المناسيب التي تضم حوض النهر ، فلو سقطت نقطة مياه في أي جزء من الحوض فإنها تنحدر إلى المجرى النهري داخل الحوض ، وتصنف أحواض التصريف إلى عدة أنواع وفقاً لأسلوب إنسياب المياه على أسطح أراضي ما

"أ" الأحواض الخارجية Exorheic Drainages التي تتدفق المياه بسهولة دون وجود عوائق تضاريسية تحول دون وصول المياه بسرعة إلى مجارى التصريف ثم إلى المسطحات البحرية المفتوحة (مستوى القاعدة العام).

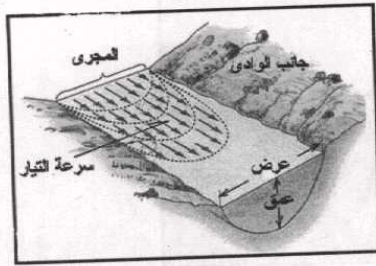
"ب" الأحواض الداخلية Endorheic Drainages التي تصب جمولتها داخل اليابس في الأهوار والمستنقعات والبرك والبحيرات والخفر الكارستية وغيرها .

"ج" الأحواض عشوائية Arheic Drainages غير محددة على الإطلاق بمقاسم المياه، وينتشر هذا النوع من الأحواض في الصحارى الرملية بصورة مؤقتة عقب سقوط الأمطار ، سرعان ما تتلاشى معالمها مع تسرب المياه .



شكل (٣-٢) خط تقسيم مياه يفصل بين حوضين

"د" أحواض جوفية Underground Drainage، ينتشر هذا النوع من الأحواض



شكل (٣-٣) أبعاد المجرى النهري

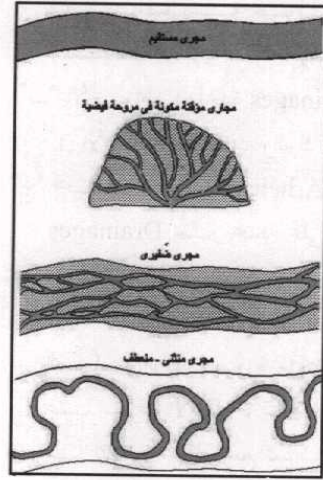
## ٢- الوادى النهري River Valley:

هو المنخفض الطولى الذى تجرى فيه الحمولة النهرية ، ويشغل مجرى النهر جزءاً صغيراً من واديه ، أى أن الوادى مصطلح أكثر شمولاً من المجرى ، لأنه يضم المجارى المائية بالإضافة إلى الأجزاء الصخرية المنحدرة الواقعة على مستويات أعلى من جانبي المجرى (شكل ٣-٣) .

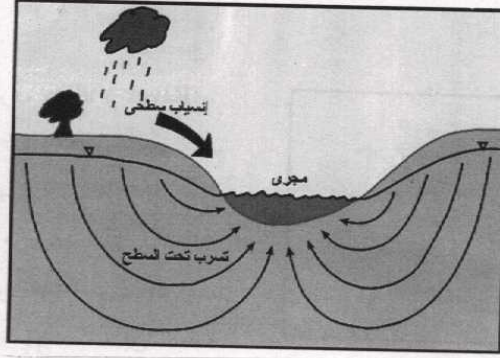


### ٣- المجرى النهري River Stream:

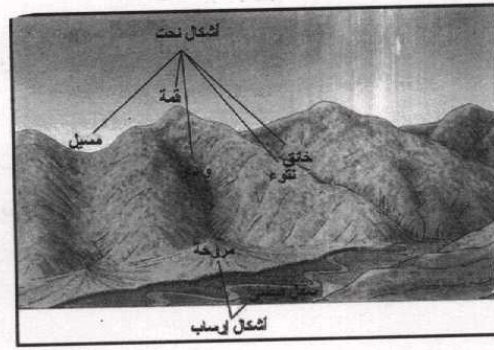
عبارة عن القناة المائية التي تمثل الجزء المنخفض من الوادى النهري الذى تجرى فيه المياه من المنابع العليا نحو المصب، وتنساب نحوه المياه إما سطحياً أو تتسرب إليه باطنياً (شكل ٣-٤)، وقد يمتد المجرى مستقيماً أو منشئاً أو ضفيرياً أى يتفرع لعدة قنوات مائية تفصل بينها مجموعة من الجزر (أشكال من ٣-٤ إلى ٣-٦).



شكل (٣-٤) أنماط المجرى المائية وفقاً لتعرجها وإنشائها



شكل (٣-٥) تسرب المياه سطحياً وباطنياً نحو المجرى المائية



شكل (٦-٣) بعض أجزاء النظام النهري

#### ٤- شبكة التصريف المائي Drainage Network :

يُطلق على مجموعة القنوات المائية للنهر تعبير شبكة النهر River Network ، وتختلف أشكال الشبكات النهرية تبعاً للظروف الجيولوجية ، وحجم وموسمية الأمطار الساقطة ، ودرجة الانحدار الأصلي لسطح الأرض ، إلى جانب نوع الغطاء النباتي بالإقليم ، وهو ما نطلق عليه مصطلح نمط التصريف Drainage Pattern (شكل ٧-٣).

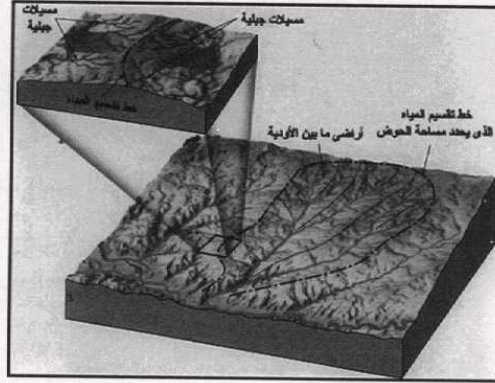


شكل (٧-٣) شبكة تصريف المياه



#### ٥- أراضي ما بين الأودية Interfluve :

يُطلق هذا المصطلح على الأراضي المرتفعة المنسوب المحصورة بمقاسم المياه وتدخل ضمن حوض التصريف فيما بين الأودية ، وهي تتسم عادة بتضرسها ووعورتها ، وتنساب المياه نحو الوديان عند سقوط الأمطار عليها ، أو إنصهار الجليد الذي يغطي قممها (شكل ٨-٣) .



شكل ( ٨-٣ ) عناصر النظام النهري

#### (ج) دور الأنهار في تشكيل سطح الأرض :

تقوم الأنهار الجارية بدور كبير في تشكيل سطح الأرض من حيث نحت سطح الأرض وحفر الأودية وتعميقها وتوسيعها وهذا في الواقع هو الخطوة الأولى في عمل التعرية النهرية ، التي ستليها خطوات أخرى تتمثل في نقل الرواسب التي تُمكن النهر من نحتها ثم أخيراً عملية الإرساب ، وتتوقف التعرية النهرية في شدتها على عدد من العوامل هي :

١- وفرة الرواسب المفككة فكما زادت الرواسب كانت طاقة المياه أقوى في عملية النحت ، إضافة إلى نوعية الرواسب وأحجامها ومدى قابليتها للذوبان في المياه .  
٢- كمية المياه وسرعة جريانها التي تتوقف على درجة إنحدار المجرى ودرجة وعورة القاع .

٣- شكل المقطع العرضي للقناة المائية وتأثيره في مدى إحتكاك الحمولة المائية بموانب وقاع المجرى.

٤- طبيعة صخور القاع فكما كانت الصخور لينة كانت أسرع في الإزالة من الصخور الصلبة ، إضافة إلى درجة نفاذية ومسامية صخور القاع ، التي تحدد مدى قابلية صخور القاع لتسريب المياه خلالها .

٥- الظروف المناخية وخاصة درجة الحرارة ونسبة التبخر .  
٦- نوع وكثافة الغطاء النباتي .

والتعرية النهرية أما أن تتم بطريقة ميكانيكية بأن تهشم الصخور وتقوم بسحقها إلى كتل وحصوات أصغر حجماً ، أو تكون بطريقة كيميائية بأن تذيب بعض مكونات الصخر ثم تحملها ذائبة في المياه . ونتيجة لهذا العامل تستطيع الأنهار أن تشق أوديتها الواسعة والعميقة وسط الجبال العتيقة ، ومع مرور الزمن تتغير معالم المناطق الجبلية تماماً، إذ تتحول الجبال الشاهقة إلى هضاب مستوية السطح ، كما تصبح السلاسل الجبلية الطولية عبارة عن هضبات متقطعة ، تفصلها بعض الروافد العليا للأنهار ، ولذلك تعد الأنهار من أكبر العوامل التي تسهم في تسوية سطح الأرض وتخفيض مناسيبها (صورة ٣-٢).



صورة (٢-٣) مظاهر التعميق الرأسى القلعم لنهر العاصى (بسوريا) - ويلاحظ أن مقطع العرضى غير متواثم مع كمية حمولته الشحيحة خلال الوقت الراهن (تصوير المؤلف في يوليو ٢٠٠٢)

### ثانياً : الوادى النهري :

#### (أ) تعريف الوادى Valley :

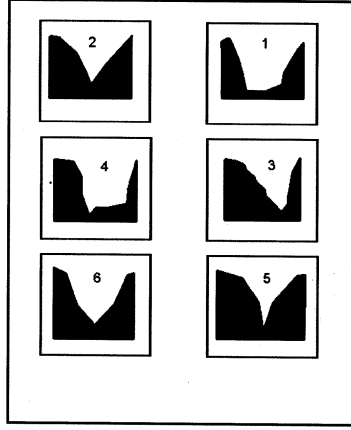
الوادى مصطلح طبوغرافى يُطلق على أشكال من التضاريس السلبية تختلف أحجامها ، تمكنت الأنهار من حفرها ، وقد تكون هذه الأنهار دائمة الجريان ، أو موسمية ، أو كانت تجرى بالمياه خلال فترات مناخية سائلة ، وقد تدين بعض الأودية في وجودها للحركات التكتونية أكثر من التعرية النهرية ، مثل "وادى الموت Death "Valley ووادى "كاليفورنيا العظيم" ، ووادى "شيلي" ، ووادى "الأردن" وغيرها .

وتُعرف الأودية بأسماء عديدة مثل الفج والشق والمسيل والتجوف والسيل والخور والخانق والأخدود والوهاد ، وهى مجرد أشكال لمنخفضات طولية تمكنت المياه الجارية من حفرها ، ولكن يخلط البعض بين الأودية والأنهار ويستخدمونها على أنهما مترادفين، فقد يكتب البعض

عن الأنهار الفنية (الشابة) والناضجة والمهمة ، ولكنها في الحقيقة الوديان الفنية والناضجة والمهمة. فمن الجائز أننا نرى لها هراً في واد فني ، أو العكس لأن الفتوة (الشباب) والنضج والمهرم (الشيخوخة) ، تعد كمصطلحات زمنية تدل على الفترة الجيومورفولوجية التي قطعها الوادي من دورته النحائية (تورنيرى ، ١٩٧٥).

#### (ب) المقطع العرضي للوادي Cross Profile :

يُعد المقطع العرضي للوادي من أهم أساليب تحليل الخرائط الكنتورية التي تجرى للأودية ، وهو يلقي الضوء على المرحلة التي قطعها الوادي من دورته الجيومورفولوجية ، كما يبين مدى بلوغ الوادي لمرحلة الاستقرار والتوازن بين عمليات النحت والإرساب، ويوضح أيضاً آثار العوامل الجيولوجية والمناخية على الوادي ، ومدى استقرار مستوى القاعدة ، ويمكن إستقراء قدر وافر من المعلومات الجيولوجية والمناخية والجيومورفولوجية من دراسة خصائص المقطع العرضي للوادي ، ومن بينها ما يلي (شكل ٣-٩) :



شكل (٣-٩) بعض أشكال المقاطع العرضية للأودية

رقم المقطع	المدلول الجيومورفولوجي للمقطع العرضي
١	مقطع على شكل حرف U غير متمائل لتباين صلابة صخور جانبيه
٢	مقطع عرضي على شكل حرف V شبه متمائل
٣	مقطع على شكل حرف V غير متمائل لتباين صلابة صخور جانبيه
٤	مقطع لوادي غير متوائم مع حمولته الحالية الشحيحة نتيجة التغيرات المناخية
٥	V in V وادي في مرحلة الشباب تعرض لانخفاض مستوى القاعدة
٦	V in U وادي في مرحلة الشيخوخة تعرض لانخفاض مستوى القاعدة

#### ١ - أودية متماثلة Symmetric Valleys :

تظهر المقاطع العرضية لهذا النوع من الأودية بصورة متناسقة بين جانبيها في أجزاء الأودية المستقيمة ، وخاصة التي تنسم بتشابه الظروف الجيولوجية على جانبيها سواء من حيث صلابة التكوينات الصخرية أو بنيتها الجيولوجية أو الظروف المناخية ، وخاصة الحرارة والرطوبة الجوية ومعدلات التساقط ، أو أنماط الغطاء النباتي كما ونوعاً.

#### ٢ - أودية غير متماثلة Asymmetric Valleys :

يعكس المقطع العرضي غير المتماثل تأثير الظروف الجيولوجية والهيدرولوجية للوادي النهري ، حيث يظهر جانبي هذا النوع من الأودية غير متناسقين ، فيبدو أحدهما هين الإنحدار ، بينما يشهد الإنحدار الجانب الآخر ، وهناك العديد من الأسباب التي تؤدي لتكوين هذا المظهر الجيومورفولوجي أهمها ما يلي :

"أ" المقطع العرضي للنهر عند المنعطفات النهرية River Meanders حيث يشتد إنحدار الجانب المقعر للمنعطف نظراً لتعرضه لقوى النحت والتفويض الجانبي ، أما الجانب المحدب فيبدو هين الإنحدار بتأثير عمليات الترسيب ، وتتكون في هذا الجانب القطوع النهرية Slip-off Slope والجواجز الرسوبية Point Bar Deposits .

"ب" إختلاف التكوين الجيولوجي بين جانبي الوادي ، حيث يقترن الجانب الشديد الإنحدار مع التكوينات الصلبة ، نظراً لصعوبة تأثرها بالنحت والتوسيع الجانبي ، ويقترن الجانب الهين الإنحدار مع التكوينات الهينة فيسهل نحتها وتخريب منحدراتها .



"ج" تُحفر بعض الأودية في طبقات أفقية متعاقبة من الصخور صلبة وصخور لينة، فتعمل على تشكيل مصاطب بنوية ، قد تتكون على أحد جوانب الوادى دون الجانب الآخر فتكسب مقطعه العرضى مظهرًا غير متماثلًا.

"د" الأودية السحيقة تتفق محاورها مع خطوط الإنكسار ، فيبدو الجانب الهابط أقل إرتفاعاً ولطيفاً إنحداراً، أما الجانب المرفوع فيبدو عادة أعلى إرتفاعاً وأشد إنحداراً ، وينتمى لهذا النوع من الأودية العديد من الجارى الإنكسارية النشأة لبعض أودية شبه جزيرة سيناء التى تصب في خليج "العقبة" مثل وادى "قُصيب" وبعض أجزاء وادى "دهب" .

"هـ" وجود عدد من المساقط المائية المتدفقة من مجموعة من الروافد تتركز على أحد جوانب الوادى دون الجانب الآخر ، مما يسهم في شدة إنحدار هذا الجانب بينما يبدو الجانب الآخر هين الإنحدار.

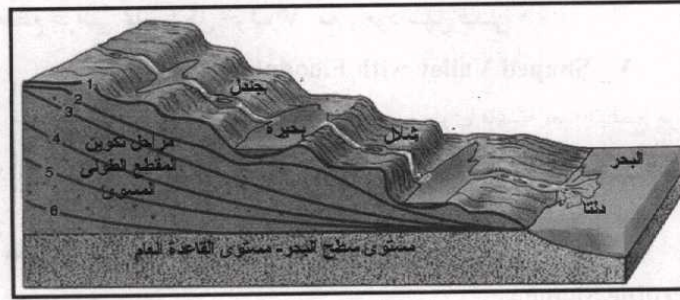
"و" قد يظهر عدم التناسق في المقطع العرضى لبعض الأودية نتيجة الاختلاف في الظروف المناخية على جانبيه ، التى تؤدي إلى سرعة تجوية أحد جوانبه مما يسرع من تآكله وتعرض سفوحه للإنهيار والتساقط ، فيشتد إنحداره مقارنةً بجانبه الآخر . كما أن السفوح الجنوبية (في نصف الكرة الشمالى) تصلها أشعة الشمس بقدر أكبر من السفوح الشمالية ، مما يؤثر على معدلات التبخر، وتحدد حسط الثلج الدائم ، ونوع وكثافة الغطاء النباتى ، وعلى ذلك تختلف الظروف الجيومورفولوجية على جانبي الوادى فيتباين مظهرهما الأرضى .

"ح" عند هبوب الرياح الدائمة بصورة عمودية على توجيه الجرى ، تعمل على شدة التقويض الينوعى على الجانب الآخر مما يسهم في شدة إنحداره نسبياً قياساً بالجانب الآخر ، ولعل مجرى وادى النيل يتأثر بهذه الظاهرة نظراً لهبوب

الرياح الغربية والشمالية الغربية معظم فترات السنة، مما أدى إلى شدة إنحدار بعض أجزاء جانبه الأيمن (الشرقي) قياساً بجانبه الأيسر (الغربي). وقد أطلق (Emery, 1947) عند دراسته لأودية منطقة "سان دييجو" في كاليفورنيا تعبير عدم تماثل موجب Positive Asymmetry على الأودية التي تشتد درجة إنحدار جوانبها اليسرى، وأطلق تعبير عدم تماثل سلبى Negative Asymmetry على الأودية التي تشتد درجة إنحدار جوانبها اليمنى.

### ٣- قطاع متوازن Profile of Equilibrium :

يعد الباحثون في علم الهيدرولوجيا الفرنسيين والإيطاليين أول من اقترحوا هذا المصطلح في أوائل القرن التاسع عشر، وهو يدل على المقاطع الطولية لمجاري الأودية التي تمكنت من تهذيب قيعانها وإزالة الأجزاء البارزة بالنحت وحشو الحفر الغائرة بالتسريب، وعندئذ تتعادل قوى النحت مع قوى الإرساب، ويصبح المقطع الطولى مسوياً، ويطلق عليه تعبير قطاع متعادل (شكل ٣-١٠).



شكل (٣-١٠) مراحل تكوين المقطع الطولى المتوازن

#### ٤- مقطع عرضي على شكل حرف V : V\_Shaped Valley

يظهر المقطع العرضي للأودية التي لازالت في مرحلة الشباب بصورة مشابهة لحرف V اللاتيني ، حيث تشتد درجة إنحدار جانبي الوادي ويضيق قاعه ، نتيجة تأثيره بعمليات التعميق الرأسى الناتجة عن سرعة جريان المياه محملة بالكتل الصخرية والحصى والحصى .

#### ٥- مقطع عرضي على شكل حرف U : U\_Shaped Valley

تبدو المقطع العرضية للأودية التي بلغت مرحلة النضج مشابهة لحرف U ، حيث يتأثر النهر بقوى النحت التي تسهم في توسيع جانبيه بالتقويض الجانبي ، وقوى الإرساب المستولة عن إطماء القاع والترسيب على الجوانب المحدبة للثنيات النهرية ، ولكن مع بلوغ النهر لمرحلة الشيخوخة يصبح النهر هراً ، وعندئذ تضعف طاقته النهرية فلا يستطع حمل الرواسب المنقولة ضمن حمولته المائية فتترسب على القاع ، وكما تنشط عمليات الترسيب على الجوانب المحدبة للثنيات النهرية ولايقوى كثيراً على عمليات التقويض على الجوانب المقعرة لهذه الثنيات ، فيظهر المقطع العرضي أكثر ضحوكة من مظهره في مرحلة النضج.

#### ٦-مقطع عرضي على شكل حرف V مع وجود سهل فيضي :

##### V\_Shaped Valley with Floodplain :

يظهر شكل هذا المقطع نتيجة تأثير الوادي بإنخفاض مستوى قاعدته بعد أن قطع مرحلة متقدمة في دورته التحاتية ، التي نجح خلالها في بناء سهل الفيضي المتسع.

#### ٧- مقطع عرضي على شكل حرف V داخل حرف U :

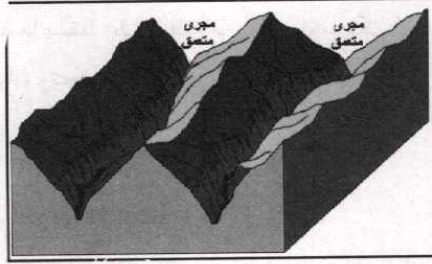
##### V in U Profile Shape :

يشبه هذا المقطع النمط السابق فهو يدل على تأثير الوادي بإنخفاض مستوى قاعدته بعد بلوغه لمرحلة الشيخوخة .

## ٨- مقطع عرضي على شكل حرف V داخل حرف V :

### V in V Profile Shape :

يشير هذا المقطع العرضي إلى تأثير الوادي بإنخفاض مستوى قاعدته وهو مازال مرحلة الشباب ، نظراً لظهور المقطع الأصلي أى العلوى على شكل حرف V ، ثم عاود الوادي تعميق مجراه رأسياً ليصل لمستوى القاعدة المنخفض (شكل ١١-٣) .



شكل (١١-٣) مجسم لمعاودة التعميق الرأسى لنهر في مرحلة الشباب  
إنخفاض مستوى قاعدته

### (ج) بعض الظواهر الجيومورفولوجية التي تظهر على المقطع العرضي للوادي:

- ١- المدرجات النهرية المزدوجة (التوأمية) الناتجة عن إنخفاض مستوى القاعدة .
- ٢- المصاطب الصخرية الناتجة عن تتابع الطبقات الأفقية الصلبة واللينة .
- ٣- المنعطفات النهرية المهرمة ذات الانحدارات الجانبية الغير متماثلة ، والأشكال المرتبطة بها مثل السفوح التي تنقوض عندها القطوع النهرية والجواجز الرسوبية.
- ٤- منعطفات الشباب التي تتشكل في الصخور وتتميز بتماثل إنحدار جوانبها.
- ٥- الجنادل والجزر الصخرية التي تعترض المجرى .

- ٦- الخوانق النهرية .
- ٧- الجزر الرسوبية والضاحض .
- ٨- الحُفر الوعائية الناتجة عن الحركة الدوامية للمياه بما تحمله من كتل صخرية وحصوات.
- ٩- أودية الأغوار الصدعية (الإنكسارية) Rift Valley -Rift Troughs .
- ١٠- التقويض الجانبي .

#### (د) خصائص الوادى النهري:

يُعرف الوادى النهري بأنه نطاق طولى منخفض من سطح الأرض قام بحفره نهر تجمع مياهه بواسطة ما يسقط على المنطقة من أمطار، وما يمكن أن تدمه الثلجات المجاورة أو المياه الجوفية من مياه، وتحدد قوة النهر وقدرته على الفعل التحتاني تبعاً لمجموعة من العوامل نوجزها فيما يلي :

#### ١- الفارق الرأسى Vertical Interval:

يُطلق تعبير الفارق الرأسى على متوسط الفارق بين مناسيب المنابع العليا للنهر ومنسوب مصبه، ويدل الفارق الكبير بين المنسوين على شدة وقوة النهر ، ويتوقف هذا الفارق على مدى إرتفاع المنابع العليا من ناحية ومنسوب المصب من ناحية أخرى ، ويُطلق تعبير مستوى القاعدة على المنسوب الذى تتوقف عنده عملية التعميق الرأسى للوادى ، وهو ينقسم إلى نوعين هما :

"أ" مستوى القاعدة العام **General Base Level** : يُطلق هذا المصطلح على مصبات الأنهار حينما تنتهى فى البحار والمحيطات المفتوحة ومنسوبه يساوى صفر .

"ب" مستويات القاعدة المحلية **Local Base Levels**: يُطلق هذا المسمى على مصبات الأنهار التى تنتهى داخل اليابس فى الأحواض الداخلية أو البحيرات أو

البحار المغلقة ، وقد يكون منسوب هذه الأحواض الداخلية أعلى من منسوب سطح البحر وقد يكون منخفضاً عنه ، والأمثلة على ذلك كثيرة ، ففي وطننا العربي أمثلة من هذا النمط من مستويات القاعدة ، فالبحر الميت على سبيل المثال يعتبر مستوى لنهر الأردن وروافده ، وهو على منسوب حوالي ٤٠٠ متراً أدنى من مستوى سطح البحر العام ، وكذلك منخفضات الصحراء الغربية لمصر مثل القطارة والقيوم والخارجة والداخلية والفرافرة ، ولا شك أن هذه المناسيب تؤثر على عمليتي النحت والإرساب التي تقوم بها الأنهار والأودية التي تنتهي عندها ولا ترتبط الظاهرات الجيومورفولوجية الناتجة عن هاتين العمليتين بمستوى القاعدة العام .

"ج" وهناك حالات أخرى لمستويات القاعدة المحلية منها : وجود بعض البحيرات على المنحاري النهرية ، فمثل هذه البحيرات تعتبر مستوى قاعدة للجزء من النهر الذي ينتهي إليه ، كما تعتبر في الوقت نفسه مصدر مياه للجزء من النهر الذي يخرج منها ، ويتحكم منسوب هذه البحيرة في عمليات التعرية التي تقوم بها كل الروافد التي تصب فيها . كما أن المجرى الرئيسي للنهر يعتبر مستوى قاعدة محلي بالنسبة للروافد التي تنتهي أو تصب فيه ، كما أن بعض العقبات والعوائق التي تضعف سرعة جريان مياه النهر ، وتؤثر بالتالي على طاقته النهرية وتقلل من عملياته التآكلية ، أي إنها تتحكم في هذا المقطع من النهر ، وتعد كمستوى قاعدة محلي له ، وقد تكون هذه العقبات طبيعية مثل الجنادل ، أو تراكم الكتل الصخرية المتساقطة من جوانب الجوانب النهرية التي لا يستطيع النهر دفعها أو دحرجتها في إتجاه المصب ، أو تراكم كميات كبيرة من جذوع الأشجار وتشابكها معاً ، وإنجاسها المؤقت في أحد مقاطع المجرى الضيقة ، وبذلك قد تعمل على حجز المياه في هذا المقطع من المجرى فيرتفع منسوبها ، وتكون بحيرة



صغيرة تنسكب مياهها المتجمعة من فوق تلك العقبات ، ولذلك فهي تعتبر مستويات قاعدة مؤقتة لروافد النهر الأعلى منها منسوباً (شكل ٣-١٢).



شكل (٣-١٢) تكوين بحيرة نهرية تعتبر كمستوى قاعدة محلي للروافد التي تعلوها

وتفيد دراسة مستويات القاعدة في قياس الفارق الرأسى بين منسوب النهر ومستوى مصبه، وتأثير هذا الفارق على علميىي التحت والإرساب، ولكن يجب أن نشير هنا انه بالإضافة إلى هذا الفارق الرأسى هناك أيضاً المسافة الأفقية التي يقطعها النهر من منابعه حتى مصبه، ذلك لأن درجة إنحدار الأرض التي تؤثر على سرعة جريان النهر وعلى قوته ومقدرته على التحت والحمل هي عبارة عن العلاقة بين الفارق الرأسى والمسافة الأفقية<sup>١</sup>.

## ٢- نوع الصخر ونظامه :

تتوقف مدى قدرة النهر على نوع الصخر الذى يؤثر على الخصائص الجيومورفولوجية للوادي النهري سواء أكان هذا التأثير على النهر نفسه ممثلاً في قطاعه الطولى Longitudinal Profile، أو على الوادى ممثلاً في قطاعه العرضى Cross Profile، وتنعكس هذه الصخور في مظاهر جيومورفولوجية تتوقف على طبيعة أو نوع الصخر ، ثم على نظام هذا الصخر في المنطقة التي يشق فيها النهر واديه. وبصورة عامة فإن من أوضح الظواهر التي تعكس أثر

<sup>١</sup> ظل درجة إنحدار المقطع الطولى للنهر = ناتج قسمة الفاصل الرأسى على المسافة الأفقية أى متوسط طول المجرى النهري .

الصخر نوعاً ونظماً على طول الوادى النهري هي ظاهرات الإنزلاقات الأرضية التي تتسبب عن وجود طبقات صخرية مسامية متتابعة على طبقة طينية بشرط أن يتركز هذا التتابع فوق طبقات صخرية صماء مائلمة في إتجاه المنحدر<sup>١</sup>، وكذلك ظاهرات المصاطب الصخرية Rock Benches على جانبي الأودية النهرية، أو ظاهرات نقاط التجديد الصخرية Lithological Knick-Points على قيعان المجارى النهرية .

كما يستوقف التعميق الرأسى للمجرى وتوسيع قنواته المائية على مدى صلابة الصخور الأولسية للمنطقة التي يشقها، ومدى تأثيرها بالتركيب البنائية Geological Structure مثل الإنكسارات والإنزلاقات ونظم الفواصل الصخرية، فهناك الكثير من الأنهار تنفق مجاريها مع محاور الإنزلاقات المحدية، لأنه من المعلوم أن أضعف أجزاء الإنزلاقات المحدية هي محاورها، بسبب تعرضها لقوى الشد والطي، كما أن خطوط الإنكسار تسهم في توجيه المجارى المائية وتحدد أنماط التصريف المائى، أما إختلاف أنواع الصخور في قاع المجرى النهري فله دوره في عدم انتظام المقطع الطولى للمجرى النهري، فالمجارى النهرية التي تقطع صخوراً صلبة تكون أشد إنحداراً من تلك المخترقة صخوراً لينة (ضعيفة)، وهذا التتابع في شدة الإنحدار وقلته (ضعفه) على المجرى النهري من شأنه أن يجعل الأجزاء الهينة الإنحدار بمثابة مستويات قاعدة عملية لأجزاء المجارى الشديدة الإنحدار الواقعة على مناسيب أعلى منها .

### ٣- عامل الزمن Time:

يُقصد بعامل الزمن الفترة الزمنية التي يصل خلالها مستوى سطح البحر في منسوب معين يسمح للنهر أن يعمق واديه ويصل إلى مرحلة يكون فيها قادراً على عمليات النحت الجانبي وبناء سهله الفيضى، حتى يصل فيها إلى مرحلة التوازن أو التعادل State of Equilibrium، وهذه مرحلة يصل إليها النهر عندما يسوى Grade قطاعه الطولى، ويمحى ما عليه من تغيرات في درجات إنحداره سواء أكانت هذه العملية بواسطة نحت Degradation الأجزاء

<sup>١</sup> راجع موضوع الإنزلاقات الأرضية بالفصل الأول .

السيارة من القاع ، أو بواسطة الإرساب Aggradation على الأجزاء العميقة من المقطع ، وتعرف هذه المرحلة بأنها المرحلة التي تتعادل فيها عملية النحت مع عملية الإرساب ، ولكن ليس معناها بأى حال من الأحوال أن النهر أصبح فى مرحلة التوازن غير قادر على عمليتي النحت والإرساب، وتستمر مرحلة التعادل ما لم يتعرض النهر لإحدى الحالتين الآتيتين :

**الحالة الأولى :** إنخفاض مستوى القاعدة الذى يجبر النهر على معاودة التعميق الرأسى ومحاولة وصوله لمستوى القاعدة الجديد المتفقر ، ولذلك فهو ينجح للنحت على حساب عمليات الإرساب.

**الحالة الثانية :** هى تعرض حوض النهر لحركة رفع تكتونية تؤدي هى الأخرى لتنشيط عملية التعميق الرأسى وتكوين خنادق عميقة ليحاول بها النهر مقاومة عمليات الرفع التى أجلت بحالة التوازن ، ويطلق على هذه العملية اسم النضال النهري (كما سيأتى شرحها لاحقاً).

### **ثالثاً : المجرى النهري River Stream :**

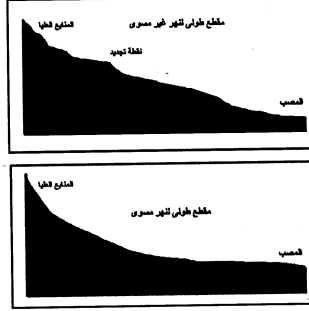
(أ) تعريف المجرى النهري:

المجرى النهري عبارة عن منخفض طولى تحدد الجوانب تجري به المياه من المناطق المرتفعة المنسوب إلى الأجزاء الأخفض منها بتأثير الجاذبية الأرضية ، وتعدد أشكال المقاطع العرضية للمجاري النهرية ، فمنها ما هو أقرب لشكل المثلث ، أو المستطيل ، أو شبه الدائري ، كما أن مستوى المياه فى المجرى يتباين من فصل لآخر تبعاً للمصادر المائية المغذية للنهر ، بالإضافة لمعدلات التبخر .

### **(ب) المقطع الطولى للمجرى Stream Longitudinal Profile :**

يُعد المقطع الطولى للنهر أحد الأساليب الكارترافية التى تعبر عن مدى قوة النهر وقدرته على التعميق الرأسى ، وهو عبارة عن خط مقوس يمثل درجة إنحدار قاع النهر من

مستابعه العليا وحين مصبه ، وهو يدل على العلاقة بين الفارق الرأسى للمجرى وطول مسافته الأرضية ، ويتم إنشاءه باستخدام خريطة كتورية تغطى المجرى الرئيسى للنهر وجميع روافده ، ويفيد هذا النوع من المقاطع فى تحديد المرحلة التى قطعها النهر من مراحل دورته النحتية ، كما تظهر عليه مواضع ومناسيب نقط التغير فى الإنحدار الطولى للنهر على اختلاف مسبباتها، وخاصة نقط القطع الصخرية الناتجة عن صلابه بعض أجزاء القاع ، ونقط التجديد التركيبية Structural Knick Points الناتجة عن إختراق المجرى لحظ انكسار يتقاطع مع توجيهه العام، ونقط تجديد شباب النهر الناتجة إنخفاض مستوى القاعدة أو تغير كميات الأمطار الساقطة على الإقليم (شكل ٣-١٣).



شكل (٣-١٣) تطور المقطع الطولى للمجرى

### (ج) الحمولة النهرية River Load:

تُعرف حمولة النهر بكمية المياه المنقولة في المجرى النهرى ، بالإضافة إلى كل أشكال المواد الصلبة والعضوية والذائبة المنقولة مع المياه نحو المصب ، وتنقسم الحمولة النهرية إلى ثلاثة أنواع رئيسية هي:

#### ١- حمولة الدفع أو الجسر Attrition:

وهي عبارة عن الكتل والجلاميد الصخرية الكبيرة الحجم التي لا تستطيع مياه النهر حملها، وتتحرك هذه الحمولة إما بواسطة الزحف Sliding أو بواسطة الدحرجة Rolling أو بواسطة القفز Jumping Salutation على القاع، وتزداد نسبة المواد المنقولة بهذا الأسلوب كلما كان المجرى سريع الجريان ، مما يساعد على زيادة مقدرته على النقل .

وتعمل الحمولة المدفوعة على سرعة تآكل وتهديب الكتل الصخرية المنقولة على القاع ، فمع استمرار حركة دفع المياه مع إرتطام الكتل الصخرية بقاع المجرى النهرى ، وإصطدامها ببعضها فإلما تنكسر وتأخذ في الاستدارة مكونة الحصى "الزلط" النهرى الأملس ، ويحتل هذا الحصى النهرى الأجزاء المتبقية من تحت الكتل الصخرية الكبيرة ، أما بقية الكتل الصخرية فلها عادة ما تتحول ميكانيكياً وكيميائياً إلى النوعين الآخرين من الحمولة النهرية وهما: الحمولة العالقة Suspended Load و الحمولة الكيميائية للذائبة Chemical Solution Load ، وتعتبر حمولة الدفع (الجسر) أهم أنواع الحمولة النهرية التي تساعد في تكوين وتوسيع الحُفر الوعائية وإلتحامها مع بعض ، مما يسهم في تعميق المجرى ، وبالتالي مساعدة النهر على اقتراب منسوب ضفحة مياهه من مستوى قاعدته .

#### ٢-الحمولة العالقة Suspension :

يتكون هذا النوع من الحمولة النهرية من مواد دقيقة الحجم تعلق وتحتلط بمياه النهر ولا تذوب فيها ، وتنقل عائمة فيما بين سطح المياه والقاع ، وحينما تضعف طاقة الجرى على الحمل ترسب هذه المواد الناعمة لتكون ما يعرف بالغرين Silt ، ويتم ترسيبها عادة على السهل الفيضي المتاخم لجانبى الجرى النهرى ، أو قد تتراكم فوق الجسور الطبيعية Natural Levee حينما تفيض مياه النهر وتغمر ضفتيه أثناء فترات الفيضان، كما أنها قد ترسب على الضفاف الخدبة للنباتات النهرية Meanders ، وعند مقدمات الجزر الرسوبية التى تتكون فى المجارى الضفيرية Braided Streams، وفى المواضع التى تتعرض مائة النهر للتبخر الشديد أو التسرب على القاع بدرجة تفوق وفرة المياه بالجرى ، أو عند أجزاء الجرى الهينة الانحدار ، وبصفة عامة ترسب المواد العالقة حينما تضعف مقدرة النهر على النقل .

#### ٣-الحمولة المذابة Solution :

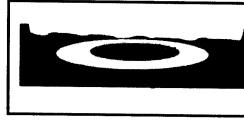
عبارة عن العناصر المذابة أو المتحللة كيميائياً وتصبح ضمن التركيب الكيميائى لمياه النهر ، وتستمدد مصادر المواد المذابة فقد تكون عضوية نتيجة تحلل النباتات وبقايا الحيوانات ، أو ناتجة عن تحلل بعض معادن الصخر فى مياه النهر مثل الكالسيت ، وعادة ما تكون مياه أنهار المناطق الحارة أو المعتدلة الدفينة أغنى فى حمولتها الكيميائية من أنهار المناطق الباردة ، وعندما ترسب هذه الحمولة المشبعة بالمواد المذابة تكون قسادة على المساهمة فى عملية تلاحم الفتات الصخرى Cementation وتماسكه وتكون الأرصغة الصخرية أو صخور المجمعات الكروية "كونجلوميرات" Conglomerates .

(د) العوامل المؤثرة فى سرعة جريان المياه فى مجارى الأنهار:

تتوقف سرعة جريان النهر على كثير من العوامل أهمها مايلى :



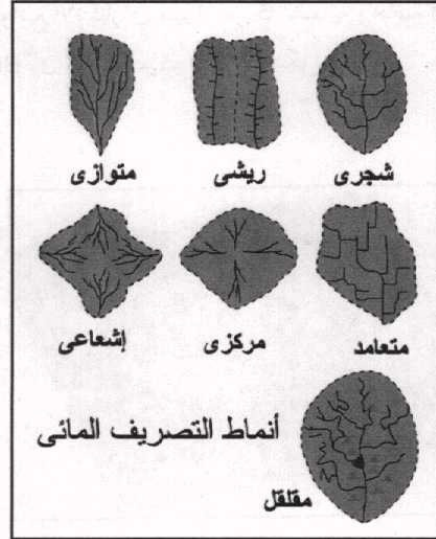
- ١- درجة الإنحدار الطولى للمجرى ومن المعروف أن معظم الأنهار تنبع في أقاليم جبلية أو مناطق مرتفعة ، لأنها أكثر جهات الأرض مطراً أو ذوباناً للجليد.
- ٢- كمية المياه التى تتعرض للتبخير ، وهذا العامل يتحدد وفقاً لعدد من الضوابط ، أهمها درجة حرارة الجو ونسبة الرطوبة الجوية ، بالإضافة إلى مدى إتساع المجرى المائى ، فكلما كان المقطع المائى عريضاً كلما إرتفعت نسبة تبخر مياهه.
- ٣- كمية المياه التى تتعرض للتسرب من قاع المجرى تبعاً لطبيعة التركيب الصخرى ودرجة تأثره بنظم الشقوق والفواصل .
- ٤- نسبة تعرجات المجرى أو درجة استقامته ، فكلما كان النهر مستقيماً تزداد سرعة جريانه بسبب قلة احتكاك جملته النهرية بجوانب المجرى.
- ٥- درجة وعورة وتضرس القاع ، فالوعورة تعوق تدفق المياه بسرعة بسبب احتكاك الحمولة النهرية ببروزات القاع.
- ٦- شكل المقطع المائى ومن المعلوم أن المقاطع القريبة من الشكل الدائرى هى أقل المجرى المائية تعرضاً للإحتكاك وبالتالي تزداد سرعة التدفق .
- ٧- طبيعة الحمولة النهرية ونوع وحجم الرواسب المنقولة فى المجرى ، فبالطبع المواد الخشنة تستهلك فى نقلها قدراً أكبر من طاقة النهر، كما أن زيادة نسبة المواد الصلبة فى الحمولة يعمل على زيادة الاحتكاك الداخلى بين مكونات الحمولة، أى التصادم بين الحبيبات والحصوات المنقولة فى المجرى فتقلل من سرعة الجريان (شكل ٣-١٤).



شكل (٣-١٤) تأثير إحتكاك الحمولة النهرية بالقناة المائية على سرعة الجريان

#### رابعاً : أنماط التصريف المائى Drainage Patterns:

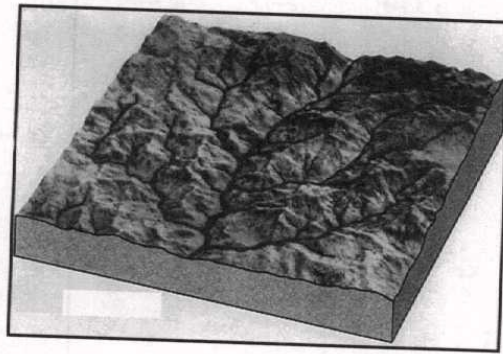
يقصد بأنماط التصريف المائى الشكل الذى تتخذه شبكات التصريف المائى ، من حيث زوايا إلتقاء الروافد بعضها ببعض ، وتوجيهها ، والمسافات الفاصلة بين هذه الروافد ، حيث تظهر الشبكة بهذا المظهر كمحصلة لمجموعة الظروف الجيولوجية والمناخية التى يتعرض لها الحوض ، ومن دراسة هذه الأنماط (شكل ٣-١٥) يمكن إستقراء الخصائص الطبيعية التى أدت لتكوين كل نمط منها ، وأهم أنماط التصريف المائى هى:



شكل (٣-١٥) بعض أنماط شبكات التصريف النهري

### ١- التصريف الشجرى Dendritic Drainage :

تشبه شبكة تصريف هذا النمط شكل شجرة التفاح بأغصانها المتشعبة ، ويتميز باللقاء مجاريه بزوايا حادة ، وتتقارب روافده العليا من بعضها ، مما يعطى الشبكة شكلاً كثيفاً من خطوط التصريف ، ويتسم سطح الأرض الذى يجرى عليه هذا النوع من شبكات التصريف بالتجانس ، ويتكون عادة من نوع واحد من الصخور ، أو طبقات أفقية متشابهة فى صلابتها ومقاومتها لعوامل التعرية ، كما يخلو السطح من التراكيب البنيوية وخاصة الإنكسارات والالتواءات ، وهذا النوع من شبكات التصريف واسع الانتشار فى سهول أمريكا الشمالية وخاصة فى إقليم "الأراضى الوعرة Badlands" فى ولاية "جنوب داكوتا" (شكل ٣-١٦).



شكل (٣-١٦) التصريف الشجرى

#### ٢- التصريف المتوازي Parallel Drainage:

تتميز شبكات تصريف هذا النمط بتوازي روافده نتيجة تأثره بأحد الحالات الجيولوجية والبيئية الآتية :

"أ" إمتداد روافده مع خطوط الإنكسارات المتوازية .

"ب" إنحدار سطح الأرض الأولى إنحداراً هيناً .

"ج" تتابع طبقات أفقية من الصخور الصلبة واللينة.

"د" شق الشبكة مجاريها فوق طية وحيد الميل ، ويتفق مع هذا النمط بعض شبكات التصريف في ولاية "كلورادو" .

"هـ" تراجع خط الساحل خلال مراحل متعاقبة ، مثل بعض أودية الساحل الشمالى الغربى لمصر التى تأثرت بتراجع البحر المتوسط خلال عصر البلايستوسين .

#### ٣- التصريف المتعامد (المستطيل) Rectangular Drainage:

تنظم القنوات المائية لهذا النمط على شكل خطوط متعامدة ، تتلاقى روافدها بزوايا قائمة ، وهو يرتبط بالمناطق الإنكسارية التى تتعرض لنظامين متعامدين من خطوط الإنكسار ، أو نظم الفواصل الصخرية المتعامدة ، وينتشر هذا النمط فى القسم الجنوبى من شبه جزيرة سيناء ، وشبه جزيرة "مُسندم" فى سلطنة عُمان ، وبعض فيوردات النرويج واسكتلندا.

#### ٤- التصريف الزاوى Angular Drainage:

يتشابه هذا النمط بالتصريف المتعامد لكن روافده تتلاقى بزوايا حادة Acute Angles، أو زوايا مسنفرجة Obtuse Angles ، ويصبح شكل الشبكة أقرب للشكل الهندسى المعروف بالمُعين ، ويدين هذا النمط فى مظهره لخطوط الإنكسار ونظم الفواصل المتقاطعة بزوايا حادة .

#### ٥-التصريف المشابك Trellis Drainage:

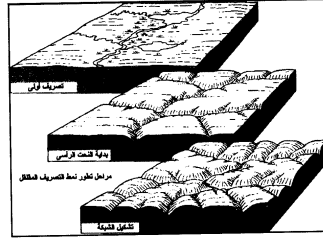
يتميز هذا النمط من أنماط التصريف بامتداد المجرى الرئيسى مع الإنحدار العام لسطح الأرض ، أو تسبعا محور أحد الانثناءات ، وتتلاقى معه روافده بزوايا قائمة ، نتيجة تأثرها بمجموعة من الانثناءات المتوازية ، مع تنابع الطبقات الصلبة والهيئية ، ويظهر هذا النوع في جبال "الأبالاش Appalachians" ، وجبال "جورا Jura" في فرنسا وسويسرا .

#### ٦-التصريف الريشى Pinnate Drainage:

يمتد المجرى الرئيسى لهذا النمط عادة مع خط إنكسارى قد يكون في أغلب الأحوال من النوع الاحدودى ، وتلتقى به روافده القصيرة بزوايا قائمة تشق مجاريها في الجانب المرفوع للإنكسار .

#### ٧-التصريف المقلقل Deranged Drainage :

ينتشر هذا النمط في المناطق الحديثة جيولوجياً ، ولا يرتبط بتراكيب جيولوجية معينة ، ولذلك فشبكة التصريف تكون غير ناضجة وتكثر بها البحيرات والمستنقعات ، ويتم توجيه مجاريه بالعشوائية وعدم الانتظام ، وينتشر هذا النمط في سهول التندرا في "سبيريا" وشمال كندا (شكل ٣-١٧).



شكل (٣-١٧) مراحل تشكيل التصريف المقلقل

#### ٨-التصريف الحلقي Annular Drainage :

تستخذ شبكات التصريف أشكال أقواس من دوائر تحيط عادة بقية صخرية تنبع منها مجموعة الروافد العليا للحوض ، وتتبع مساراتها نطاقات الضعف الجيولوجي الناجمة عن تعاقب الطبقات الصلبة واللينة ، وأبرز مثال لهذا النوع مجموعة الأهمار التي تنبع من قباب إقليم " التلال السوداء - Black Hills " بولاية جنوب "داكوتا" الأمريكية.

#### ٩-التصريف المشع (الإشعاعي) Radial Drainage :

تنسجم المجارى المائية التابعة لهذا النمط من منطقة مركزية ، وتتسع قنواته للخارج في جميع الإتجاهات ، ويرتبط هذا النمط بالقباب الصخرية الحديثة البروز قبل تأثرها بعوامل التعرية ، حيث تنساب مياه الأمطار على سطح الأرض للخارج ، ولكن مع مرور الزمن يتحول هذا النمط إلى التصريف الحلقي بعد إنكشاف طبقات القبة المتباينة الصلابة ، وينتشر هذا النمط في القباب الملحية Salt Domes في بريطانيا و الولايات المتحدة.



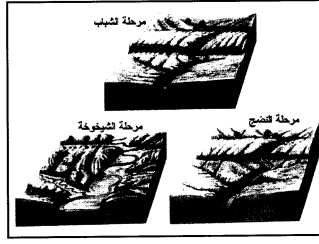
#### ١٠-التصريف المركزى Centripetal Drainage :

تنتج خطوط التصريف المائى نحو نقطة مركزية ، أى عكس النمط السابق ، وهو يقترن عادة بالأحواض التركيبية Structural Basins ، وهو ينتشر فى المنخفضات الصحراوية المغلقة .

#### خامساً : الدورة الجيومورفولوجية للوادي النهري :

فى واقع الأمر أنه ليس هناك وادى غرى يمكن وصفه بالمثالية ، لأن من الصعب وجود الغرض نظام تصريفى يجرى من منبعه حتى مصبه فى ظروف مناخية واحدة ، وفى تكوينات جيولوجية متجانسة ، والهدف هنا مجرد التعرف على أهم الظواهرات الجيومورفولوجية المصاحبة لتطور النظم النهرية ، ودراسة كيفية تكوين النهر لودايه دون التعرض إلى ما يصادف النهر من عقبات جيولوجية أو تغيرات مناخية ، التى عادة ما يكون لها الدور الأكبر فى إختلاف المظهر الجيومورفولوجى للأخمار .

ومن هذا المنطلق يمكن تقسيم الوادى النهري من منبعه إلى مصبه إلى قطاعات ، يتميز كل قطاع منها بسمات وخصائص جيومورفولوجية تميزه عن القطاع الآخر ، ويمكن الربط بين هذا التقسيم ومراحل الدورة الجيومورفولوجية التى أقترحها "وليم موريس دافيز W.M.Davi" فى أواخر القرن التاسع عشر ، بمعنى أن الأجزاء العليا من الوادى النهري عادة ماتعبر عن خصائص النهر فى مرحلة الشباب ، وتكون الأجزاء الوسطى فى مرحلة النضج ، وتبرز الأجزاء الدنيا من النهر سمات مرحلة الشيخوخة (شكل ٣-١٨) .



شكل ( ١٨-٣ ) مراحل الدورة الجيومورفولوجية

ولكن من عيوب هذا التقسيم المكان للدورة الجيومورفولوجية Geomorphological Cycle أنه تصنيف نظري أو افتراضى لا وجود له في الطبيعة ، لأن في الحقيقة لا توجد أنهار في الطبيعة تجرى في نطاق مناخى واحد ، وتشق مجاريها في ظروف جيولوجية متشابهة ، ولا شك أن هذا الاختلاف في الظروف المناخية الذى يودى بدوره إلى تباين الظروف البيئية سواء في الحياة النباتية أو الحيوانية أو البيولوجية بصفة عامة ، وكذلك فإن الاختلاف في نوع الصخر ونظامه يؤثران بدرجة كبيرة على تقسيم الأنهار إلى قطاعات إفتراضية ، فقد تظهر في بعض أجزاء المنابع العليا للنهر بعض الظواهر الجيومورفولوجية التى تسدل على كهولة النهر ، بينما قد تتكون في أجزائه الوسطى بعض ظواهر التحت التى تشير إلى شبابه وعنفوانه ، وإضافة للعاملين السابقين ، يفترض ثبات مستوى القاعدة الذى يصب فيه النهر فترة زمنية تسمح له بالتطور خلال مراحل دورته الجيومورفولوجية ، وهذا الثبات غير واقعى فمستوى القاعدة العام في تذبذب مستمر طوال التاريخ الجيولوجى لهذا الكوكب ، كما أن مستويات القاعدة المحلية قد تتعرض لحركات تكوينية سالبة أو موجبة ، أو تتراكم على سطوحها كميات من الرواسب تغير من مناسيبها ، وعلى الرغم من عيوب هذا التقسيم

الإفتراضى ، يمكن تقسيم الأنهار جغرافياً إلى ثلاث مراحل متتابعة تبدأ بمرحلة الفتوة والشباب عند منابعها العليا وتنتهى بمرحلة الكهولة بالقرب من مصباتها ، وتختص كل مرحلة منها بسمات وخصائص نوجزها فيما يلى:

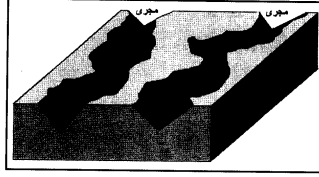
#### (أ) خصائص النهر في مرحلة الفتوة والشباب (المنابع العليا) :

يتميز النهر خلال مرحلة الشباب بعدد من الخصائص تظهر بصورة جلية عند منابعه العليا ، وهي تميزه عن بقية أجزاء النهر وأهمها مايلي (شكلا ٣-١٩ ، ٣-٢٠):

١- ضيق المقطع العرضى للمجرى وظهوره على شكل حرف V أى ترتفع جوانبيه ويشند إنحدارها مع ضيق المجرى ، وتكون ظاهرة الخواثق النهرية في الأجزاء الصلبة من النهر ، وخاصة حينما يتفق توجيه المجرى مع أحد خطوط الإنكسارات أو الشقوق أو الفواصل الطولية ، وتتميز هذه الخواثق بزيادة إرتفاع جوانب المجرى الشديد الإنحدار عن إتساع قنواتها المائية الضيقة .

٢- شدة إنحدار المقطع الطولى للنهر للمنابع العليا للنهر ، وظهور نقط تجديد الشباب ، أى أن قاعه غير مسوًى ، وكقاعدة عامة نقول بأنه كلما كان النهر قصيراً ، و منابعه مرتفعة المنسوب كان إنحداره شديداً.

٣- يحاول السهول أن يشق مجراه خلال مناطق الضعف الجيولوجى ، سواء بتتبع التكوينات الصخرية الضعيفة ، أو بالتزام خطوط العيوب الصخرية مثل : الإنكسارات ، ومخاور الطيات الحديثة ، والشقوق والفواصل .



شكل (٣-١٩) خصائص النهر في بداية تشكيل واديه

٤- سرعة الجريان حيث تكون أعلى الأهمار أشد إنحداراً وأسرع جرياناً من أجزائها الوسطى أو الدنيا ، ففي بعض الأجزاء العليا من الأهمار قد يكون الإنحدار فجائياً أو رأسياً ، فتتكون ظاهرة الشلالات ، أو مساقط المياه ، وقد تسقط المياه فيها من إرتفاع شاهق يصل لمئات الأمتار مثل شلالات "نياجرا" في أمريكا الشمالية أو شلالات "فيكتوريا" في "زيمبابوي" الإفريقية.

٥- يخفر النهر مجراه في المناطق الصخرية ولذلك يتكون قاع المجرى وجوانبه من الصخور ، ولا يوجد في هذه المرحلة أى أثر للإرسابات الغضبية الدقيقة الحبيبات، ويخفر النهر مجراه تعميقاً وتوسيعاً وتلاحم الحفر الوعائية الاسطوانية الشكل ، التي تتكون في الأجزاء الضعيفة جيولوجياً بتأثير الحركة الدوامية للمياه بما تحمله من كتل حجرية وحصى .

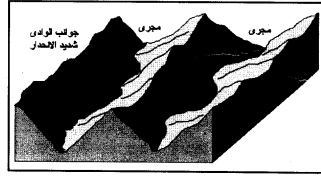
٦- يتميز قاع المجرى بالوعورة ولذلك تظهر على القاع مجموعة من الظواهرات من بينها الحفر الوعائية التي أشرنا إليها في الفقرة السابقة، وظاهرة الجنادل ، وهي عبارة عن أجزاء من النهر تكثر بها الصخور الناتئة فوق سطح المياه ، حيث تبدو كجزر صخرية تعترض المجرى ، وتعطل الملاحة ، وهي تتكون عادة من صخور

صلية تقاوم التأثير التحاتي لتيار مياه النهر ، ومن أمثلة الجنادل: جنادل النيل النوى الستة، التي يطلق عليها خطأ اسم شلالات (الشلال الأول يقع بالقرب من مدينة أسوان).

٧- تتميز خطوط تقسيم المياه بين النظم النهرية بعدم وضوحها ، وتشوشها وتبدو عريضة متسعة لاتظهر عليها في أغلب الأحوال قمم جبلية مذبذبة .

٨- تظهر بعض التنبؤات النهرية في هذه المرحلة المبكرة من عمر النهر ، إلى أنها تكون محصورة في أودية ضيقة ، تشد درجة إنحدارها الجانبية ، ويطلق عليها اسم منعطفات الشباب .

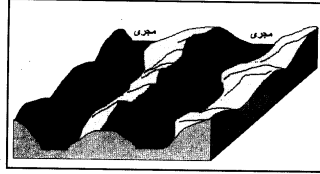
٩- النهر في هذه المرحلة يكون قادراً على حمل الفتات الصخرية الكبيرة الحجم ليقوم بنقلها نحو الجزء الأدنى من النهر ، ولذلك تتكون معظم المواد المنقولة في النهر من كتل كبيرة الحجم والحصى والحصى ، وهي تنقل في معظمها بالدرجة والقفز ، ومن النادر نقل المواد في هذه المرحلة بالتعلق نظراً لكبر أحجامها .



شكل (٣-٢٠) خصائص النهر في مرحلة الشباب

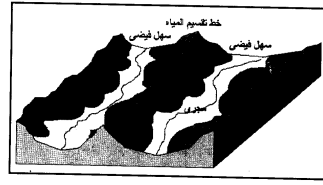
(ب) خصائص النهر في مرحلة النضج (الأجزاء الوسطى) :

- ١- تبدأ الأنهار تكيفاً ملحوظاً خلال هذه المرحلة مع ظروفها الجيولوجية، حيث تتمكن من إطالة مجاريها التي تشق الصخور اللينة، ويشتهل إنحدار الأجزاء المحفورة في الصخور الصلبة (شكلا ٣-٢١، ٣-٢٢).
- ٢- يزداد إتساع الوادي في مرحلة النضج نتيجة عمليات التوسيع الجانبي، وبدء ترنح الترسبات النهرية المصاحب لعمليات الترسب على جوانبها المخدبة، وتقويض جوانبها المقعرة، ولكن لا يتسع السهل الفيضي بدرجة تفوق ترنح المنخفضات النهرية ويظل ملازماً لها.
- ٣- التباطؤ النسبي للجريان السطحي بسبب قلة الإنحدار الطولي للنهر، بالمقارنة مع مرحلة الفتوة والشباب.
- ٤- تظهر مناطق تقسيم المياه بين النظم النهرية حادة مضرسة مُدببة القمم، مما يؤدي إلى جعل المرتفعات الفاصلة بين الأنهار ضيقة.
- ٥- يتلاشى وجود المساقط المائية والشلالات والجنادل التي كانت تظهر على المقاطع الطولية للأنهار في مرحلة الشباب.



شكل (٣-٢١) خصائص النهر في مرحلة النضج





شكل (٣-٢٢) خصائص النهر في مرحلة التضيق المتأخر

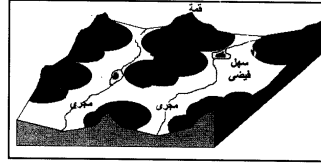
#### (ج) خصائص النهر في مرحلة الكهولة أو الشيخوخة (الأجزاء الدنيا) :

تبدأ مرحلة الشيخوخة في حالة استمرار مرحلة الإستقرار Standstill في مستوى القاعدة ، وعدم تعرض الحوض لحركات رفع تكتونية ، وفي هذه الظروف تنشيط عمليات التوسيع والنحت الجانبي Lateral Erosion على حساب ضعف عمليات التعميق الرأسى. كما تبدأ الأنهار خلال هذه المرحلة في التوافق والتواء مع التكوينات الصخرية التي تشقها ، وعندئذ يتكون نمط نهري لا يعكس المظهر الأصلي لتضاريس المنطقة ، ولكن تسهم العوامل الجيولوجية بصورة أكبر في تحديد المظهر المورفولوجى للأنهار ، ويصبح هذا المظهر نتاج علاقة الأنهار بما تحتها من تكوينات صخرية وتراكيب بنيوية ، كما تؤدي عملية التوسيع الجانبي إلى تقليص وتخفيض أراضي ما بين الأودية ، وتعمل على إتساع قيعان مجاريها ، وتحذيب وتسوية إنحداراتها الطولية ، فيؤدي هذا إلى قلة وعورة المظهر التضاريسي للحوض برمته .

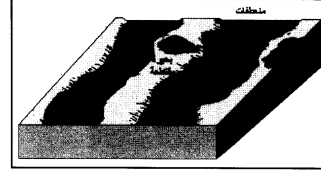
ومع استمرار عملية تواءم النهر مع الصخور التي يشقها ، تنهادى المياه في المجرى برفق ، وتضعف قدرته على حمل المواد الخشنة ، ولذلك تقتصر حملته على المواد العالقة والذائبة في المياه ، وتنشط عمليات الإرساب النهري على الضفاف المحدبة للثنيات النهرية River Meanders ، ويزداد ترنح هذه الثنيات ، وتواصل إنشائها لتكون بحيرات هلالية مُتقطعة Ox-Bow Lakes ، ويميل لتوسيع مجراه على حساب ضحوكله ، ويتفرع عادة إلى مجارى

ضفيرية Braided Streams تفصل بينها جزراً رسوبية ، ويقوم ببناء سهله الفيضى Flood Plains ، وتكوين الجسور الطبيعية Natural Levees على ضفافه، ويتكون غطايًا سميكاً من الفتات الصخري ، ويشير تكوين هذا البناء الرسوبي المتجمع على قيعان المجارى النهرية إلى أن السوادى النهرى قد بلغ مرحلة الشيخوخة من مراحل دورته الجيومورفولوجية ، التي تظهر ملامحها على أجزاءه الدنيا بالقرب من المصب، حيث يتسم النهر خلال مرحلة الشيخوخة بالسعات الآتية (شكلا ٣-٢٣، ٣-٢٤) :

- ١- إتساع المجرى وضحولته ويظهر المقطع العرضى للوادی على شكل حرف U.
- ٢- تكون الأودية واسعة جداً وهينة الانحدار .
- ٣- هدوء جريانه وتهادى المياه برفق .
- ٤- تسوية القطاع الطولى للمجرى وقلة إنحداره العام من المنابع العليا وحتى المصب ، وعدم وجود أية بروزات تعترض المجرى أو نقط تغير فى الإنحدار .
- ٥- تختفى الصخور من قاع المجرى تماماً وتحل محلها الرواسب الفيضية الناعمة.
- ٦- يتكون المجرى داخل سهله الفيضى المتسع الذى يتكون من الرواسب الفيضية التي نمت فى نقلها من منابعه العليا خلال مرحلتى الشباب والنضج.
- ٧- تتكون العديد من البحيرات والمستنقعات والأهوار داخل السهل الفيضى وخاصة بالقرب من المصب .
- ٨- تظهر المعطقات النهرية والمجارى الضفيرية والجزر الرسوبية داخل المجرى .
- ٩- تستكون الحمولة المنقولة من الرواسب الدقيقة الحبيبات وتعدم الحمولة الزاحفة والمجرورة على القاع .



شكل ( ٢٣-٣ ) خصائص النهر في مرحلة الشيخوخة



شكل ( ٢٤-٣ ) خصائص النهر في نهاية مرحلة الشيخوخة

(أ) المظاهر الجيومورفولوجية الناتجة عن فعل النحت :

تعد الحفر الوعائية والشلالات والجنادل والخوانق النهرية ومنعطفات الشباب من أهم مظاهر النحت النهرى ، ويكون النهر في هذه المرحلة شديد الإنحدار سريع الجريان، وقادر على نحت الصخور ، ويظهر قطاعه العرضى شديد الإنحدار يشبه شكله حرف (V) ، وأهم المظاهر السائدة خلال هذه المرحلة هي :

#### ١- تعرية الرش Splash Erosion :

تسأثر الفعل الميكانيكي لإصطدام قطرات ماء المطر Rain Drops بسطح الأرض، ويعظم تأثير السيول الصحراوية لكبر حجم قطرات المياه وخاصة عند سقوطها على الأسطح المفككة الهشة (جوده ، ١٩٨٩).

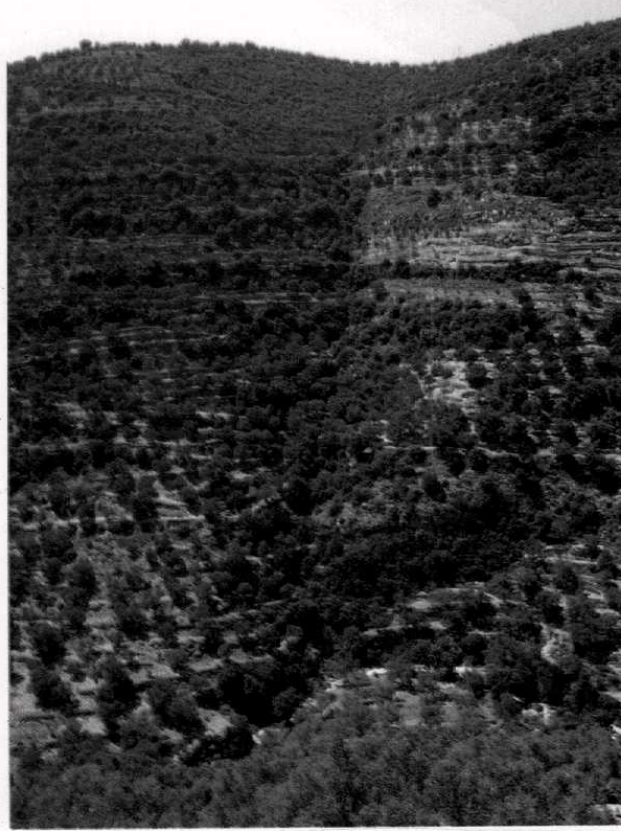
#### ٢- تعرية الجداول Rill Erosion - Rill Wash :

تحرك المياه في بعض القنوات المائية الدقيقة مكونة شبكة تصريفية واضحة المعالم على الأجزاء المضروسة من سطح الأرض ، ويطلق اسم الحافات المزدكشة Chevron Cliffs في حالة تكاثف الجداول المائية المقطعة للحافات الصخرية (Blume,1992).

#### ٣- المسيلات الجبلية Gullies :

تتكون المسيلات الجبلية حيثما تزداد كمية المياه المتحركة وتلتقي أعداد كبيرة من الجداول المائية ، ويشتد النحت والتعميق الرأسى للمجرى المائى بسبب شدة إحدار السطح الذى تشقه . وهناك مجموعة من العوامل يتوقف عليها المظهر الجيومورفولوجى لهذه المسيلات ، أهمها ( جوده ، ١٩٩٦ ) ( صورة ٣-٣ ):-  
 "أ" كمية المياه المتدفقة ونظامها وطبيعة الحمولة المنقولة .  
 "ب" شدة إحدار سطح الأرض ودرجة تقعره .  
 "ج" قابلية التسرب والنفاذية . "د" طبيعة الغطاء النباتى .





صورة (٣-٣) مسيل جبلي شديد الانحدار على أحد جوانب وادي "خوأي" في سوريا  
(تصوير المؤلف في يوليو ٢٠٠٢)

#### ٤- الخوانق " الأخاديد " Georges - Canyon- Gorge :

تنشأ الخوانق أو الأخاديد كأجزاء ضيقة من المجارى المائية ذات جوانب جرفية ، ذات تكوينات جيولوجية أكثر صلابة ، ولذا يواجه الوادي صعوبة في شق مجرى له خلالها ، فتضيق قيعانها ، وتنشأ عن عملية التعميق الرأسى ، ولذلك تشتد عندها سرعة جريان المياه ، وتتكون الخوانق





نتيجة إندفاع الحمولة النهرية بقوة بسبب زيادة طاقة النهر ، ولذا يعظم تأثير التعميق الرأسى للنهر على حساب التوسيع الجانبي ، وهناك العديد من العوامل المساعدة على ظهور الخنادق أهمها (صورة ٣-٤):



"أ" ضعف التركيب الصخري لبعض أجزاء القاع فيسهل بالتالى تعميقها عن بقية أجزاء المجرى .  
 "ب" تتبع النهر لأحد الخطوط الإنكسارية وبصفة خاصة الأغوار الإنكسارية Grabens.  
 "ج" تمكن النهر من إختراق بعض الحافات الصخرية فتتركز طاقته النهرية فى الثغرة التى تمكن من إختراقها ، فيشتد تأثير التعميق الرأسى ، وتظهر هذه الحالة فى بعض أجزاء وادى "الشيخ" شمال مدينة "سانت كاترين" .

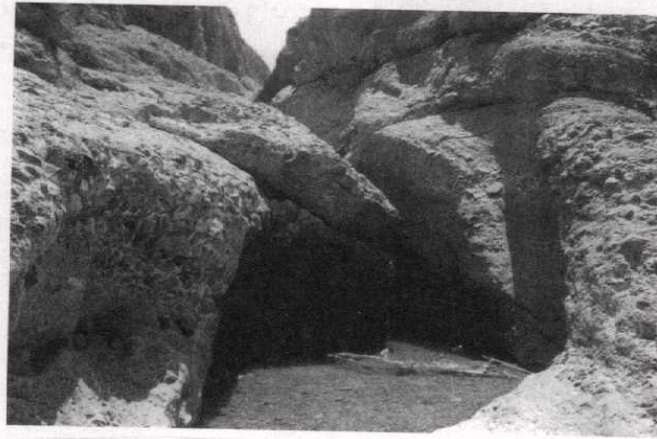
صورة (٣-٤) خندق نهرى فى وادى "خميس" بمنطقة "حنا" - الإمارات (تصوير المؤلف فى إبريل ٢٠٠١)

#### ٥- الحُفر الوعائية Potholes :

عبارة عن مجموعة من الحُفر أو الفجوات الأسطوانية الشكل تظهر على قاع المجرى نتيجة الحركة الدوامية للمياه بما تحمله من مفتتات تحتك بقاع المجرى ، فتعمل على نحت الأجزاء الصخرية الضعيفة على شكل حُفر عميقة دائرية الشكل ، ومع إستمرار هذه العملية تلتقى هذه الحُفر مع بعضها مما يساعد على تعميق القاع (صورتا ٣-٥ ، ٣-٦).



صورة (٥-٣) مجموعة متتابعة من الحُفر الوعائية ساعدت على التعميق الرأسى لنهر سوكا Soca في سلوفينيا (تصوير المؤلف يوليو ٢٠٠٣)



صورة (٦-٣) حُفرة وعائية تتكون على قاع أحد الروافد العليا لودائى "خميس" بمنطقة "حتا" - الإمارات (تصوير المؤلف في إبريل ٢٠٠١)

#### ٦- نقاط تجديد الشباب Knick Points :

عبارة عن درجات أو عتبات صخرية تزيد عندها درجة إنحدار القطاع الطولي للنهر، نتيجة زيادة سرعة المياه في هذه النقطة فتزداد مقدرة على النحت الرأسى ، ولذلك يتمكن من نقل أحجام وكميات أكبر من الكتل الصخرية والحصى ، وهى مايسُطلق عليها اسم الشلالات ، وهناك عدة أسباب تؤدي إلى تكوين نقاط تجديد الشباب أهمها (شكل ٣-٢٥):

##### (أ) هبوط مستوى القاعدة Fall in Base Level :

يحدث هذا النوع من نقاط تجديد الشباب نتيجة الهبوط الذى يطرأ على مستوى القاعدة العام ، وهذه الظاهرة يتكرر حدوثها خلال الزمن الرابع الجيولوجى نتيجة التغيرات المناخية ، إذ هيّطت مستويات البحار العالمية في عدة أدوار نتيجة إنخفاض درجة حرارة الغلاف الجوى ، مما أدى إلى إنحباس جزء من مياه الأمطار على القمم الجبلية في صورة غطاءات جليدية Ice Sheets ، وهبط بالتالى خط الثلج الدائم<sup>١</sup>.

##### (ب) نقاط التجديد الصخرية Lithological Knick Points :

يستكون هذا النوع من نقاط التجديد بسبب اختلاف صلابة الصخور المكونة للقطاع ، فتستكون النقطة حينما تكون الصخور المكونة للجزء الأعلى من النهر أصلب من أجزاءه الدنيا فتندفع المياه وتكون قادرة على التعميق الرأسى بسهولة في الصخور اللينة دون الصلبة ، مكونة درجة أو عتبة صخرية عند سطح الإنفصال الطبقي بين الطبقة الصلبة و الطبقة اللينة .

<sup>١</sup> راجع الجزء الخاص بالظواهر الناتجة عن تغيرات مستوى القاعدة من الفصل ذاته .

(ج) نقاط التجديد البنيوية **Structural Knick Points** :

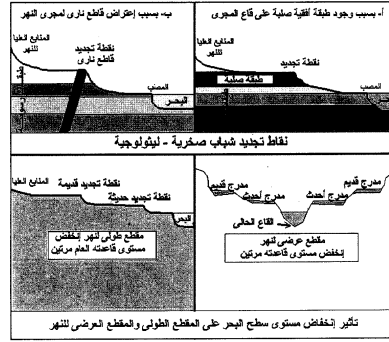
يتشكل هذا النمط من نقاط التجديد نتيجة تعرض النهر لبعض الحركات التكتونية مثل الإنكسارات<sup>١</sup> أو الالتواءات ، أو خروج المصهورات البركانية ، وتعمل هذه الحركات على زيادة الفارق الرأسى بين أجزاء الجرى النهري فتشدد بالتالى سرعة المياه عند هذه النقطة فتزداد طاقتها وتعمل على تعميق الجرى .

(د) نقاط التجديد المناخية **Climatical Knick Points** :

ينشأ هذا النوع من نقاط التجديد نتيجة أحد عاملين هما :

- ١- زيادة كميات الأمطار الساقطة على المنابع العليا للنهر فتزداد مقدرة على النحت الرأسى وتعميق الجرى .
- ٢- التغيرات المناخية التى تعمل على تجمد مياه النهر وتحويله إلى وادى جليدى ، وحينما يستقر المناخ للدفع مرة أخرى تندفع المياه عند الدرجات أو العتبات الصخرية التى كونها الوادى الجليدى ، مكونة نقط تجديد في مظهرها ، إلا أنها في واقع الأمر تشكلت في فترة سابقة نتيجة تحرك الجليد على القاع .

<sup>١</sup> يشترط أن يكون الجانب المرفوع للانكسار جهة المنابع العليا للنهر والجانب الهابط للانكسار جهة المصب .



شكل (٣-٢٥) بعض أنماط نقاط تجديد شباب النهر

(ب) المظاهر الجيومورفولوجية الناتجة عن فعل الإرساب :

هناك عدد من الظروف تكون ملائمة لعمليات الإرساب وهي (شكل ٣-٢٦):

- ١- قلة الانحدار الطولي للنهر أو إتساع الجرى ، أو مرور النهر في بحيرة أو مستنقع مما يساعد على ضعف التيار .
- ٢- وجود ثنية أو مُنعطف هُرى ينتج عنه إعتراض الضفة المخدبة للتيار المائي ، فتضعف سرعة النهر .
- ٣- مرور النهر في منطقة ذات مسامية عالية أو شديدة التبحر ، تعمل على فقد قسم كبير من مائية النهر فتضعف قدرته على الحمل ولذلك يلقى برواسبه على القاع .





شكل (٢٦-٣) بعض الأشكال النهرية الرسوبية

ومن الطبيعي أن النهر لا يلقى في أول مراحل الإرساب سوى المواد الكبيرة الحجم وهي الحصى والحصىاء ، ثم تليها المواد الأصغر منها حجماً ، ثم أخيراً المواد الدقيقة كالغرين Silt ، ويهمنا هنا دراسة خصائص أهم الظواهر الجيومورفولوجية التي تنتج عن عمليات الإرساب وهي :-

#### ١- السهول الفيضية Flood Plains :

يتكون السهل الفيضي عندما يصل النهر بمنسوب مياهه رأسياً إلى مستوى قريب من مستوى القاعدة ، فيؤدي هذا الاقتراب إلى قلة الانحدار وقلة سرعة جريان مياه النهر ، وهذا بدوره يؤدي بالمجرى النهري إلى اتخاذ الشكل المنحني المعدل عن المجرى النهري شبه المستقيم .

يتكون السهل الفيضي من الرواسب النهرية Alluvial Deposits التي تحتوى على الحصى Gravels والغرين Silt ، وبذل وجود الحصى في تكوينات السهل الفيضي على النحت المباني للانحناءات النهرية ، التي تمكن المجرى من نحتها في الجوانب المقعرة للمنعطفات

ثم ترسيبها على جوانبها المحدبة مكونة ما يعرف باسم القطوع النهرية Slip-Off Slope ، وظاهرة الخواجز الرسوبية Point Bars ، وهي عبارة عن جزر مقوسة الشكل تتكون على الجوانب المحدبة للثنيات النهرية أيضاً ، وتتركب من تجمع الحصى أو الرمل أو الغرين .

ويستكون عندئذ سهل مستطيل ضيق يحيط بضفتي الجرى يسمى بالسهل الفيضي Alluvial Plain أو السهل الرسوبي (شكل ٣-٢٧) .



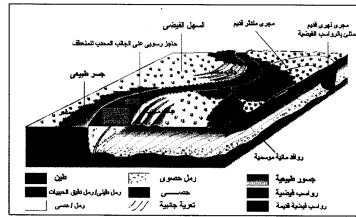
شكل (٣-٢٧) رواسب السهل الفيضي

ويتوقف تكوين السهل الفيضي على ما إذا كانت هناك فرصة طويلة أمام النهر يستطيع خلالها تكوين سهولا فيضية على طول مجراه ، ويحدث هذا عندما يتأثر مجرى النهر في بداية تكوينه بوجود سطح غير مستوي ، فيضطر النهر أن يتخذ شكلاً متعرجاً كثير المنحنيات ، وتساعد هذه المنحنيات على دفع تيار النهر بقوة نحو أحد جانبي النهر، ولذلك تشتد على هذا الجانب عملية النحت ، بينما يضعف التيار على الجانب الآخر ، فيبقى عنده تيار المياه الضعيف بعض الرواسب ، وحينما يفيض النهر كل عام يقوم بحشو واديه برواسبه ،

## ٢- مُنعطفات الشيخوخة Old Stage Meanders :

تسبب التغيرات النهرية Meanders نمواً جانبياً نتيجة إختلاف مقدرة مياه النهر على النحت والإرساب من جانب لآخر على طول القناة النهرية، كما تتحرك الانحناءات النهرية طولياً في اتجاه المصب النهرى ، وتجعل هذه العملية الجانبية والطولية الجرى النهرى دائم التطور ، وعملية تسراكم الرواسب على الجوانب المحدبة للثنيات ، وتحركها الحثيث نحو المصب تسهم في تكوين

السهول الفيضية للأهبار، ويختلف إلتساع السهل الفيضي من جزء لآخر، فقد يكون متسعاً على أحد جانبي المجرى النهرى، وضيقاً أو متسعاً تماماً على الجانب الآخر، ولكن هناك بعض المجرى النهرية تتوسط سهولها الفيضية، ولذلك لا تُسمُّه مُعْطَفَاتُهَا في توسيع سهولها بصورة مرحلية، إلى أن يزداد ترعها وتحركها نحو المصب فتتقارب من أحد الجوانب لتبدأ في ترسيب المزيد من الرواسب على ضفاف ثنائيات الخدبة ففسهم في توسيع سهلها الفيضي من جديد (شكلاً ٣-٢٨، ٣-٢٩، وصوراً ٣-٧، ٣-٨).



شكل (٣-٢٨) عناصر مُعطف الشيخوخة

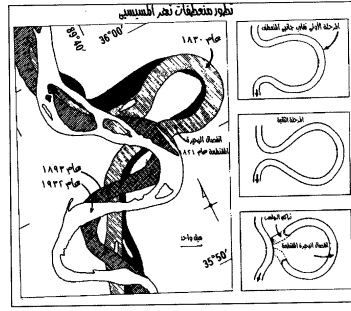


صورة (٧-٣) مُنعطف نهرى قرب مصب نهر أم الربيع بالمغرب  
(تصوير المؤلف في أغسطس ٢٠٠٣)



صورة (٨-٣) مُنعطف في نهر سافا Sava في سلوفينيا  
(تصوير المؤلف في يوليو ٢٠٠٣)



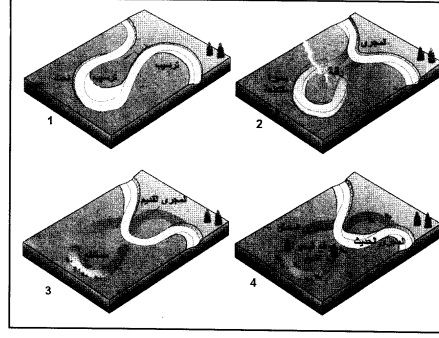


شكل (٣-٢٩) التطور الجيومورفولوجي لمصطفات نهر المسيسيبي بين القرنين الثامن التاسع عشر والعشرين ،  
وكيفية تكوين البحيرات المقتطعة

### ٣- البحيرات المقتطعة Ox-Bow Lakes :

يزداد إنشاء الأجزاء الملتوية من مجرى النهر نتيجة لعمليات التآكل والإرساب التي تتعرض لها جوانبيه ، ومع استمرار هذه العملية تقترب أطراف الانواءات بعضها من بعض إلى أن تتصل هذه الأطراف في النهاية ، وتفتح قناة جديدة قصيرة تجري فيها مياه النهر مباشرة عبر الثنتين المتجاورتين ، وبعد فترة زمنية يتكون سد رسوبي يفضل المجرى الملتوى القديم عن المجرى الجديد، ليظهر القسم المنفصل منها على هيئة بحيرة هلالية الشكل (شكلا ٣-٣٠، ٣-٣١، وصورة ٣-٩).





شكل (٣-٣٠) مراحل تكوين البحيرات المُقْتَطَعة



شكل (٣-٣١) إنقصال البحيرات المُقْتَطَعة عن مُعْطَقات الشَّوْجِحة

#### ٤- الدالات Deltas :

تتكون الدالات وتنمو عند مصبات الأنهار على حساب تقلص المسطحات البحرية ، حيث تتجمع الرواسب في الجزء الأدنى للنهر عند المصب ، وتتراكم على قاع البحر ، ولكن يتوقف تكوين الدالات وتتحدد درجة نموها على مجموعة من الشروط نجعلها فيما يلي :

"أ" هدوء الأمواج وضعف التيارات البحرية.

"ب" ضحولة منطقة الشاطئ .

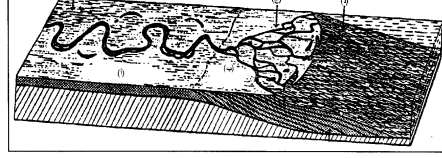
"ج" زيادة حمولة النهر من الرواسب .

"د" وصول النهر لمنطقة المصب بكامل حمولته وألا تعترضه بحيرات مخرية تعمل على ترسيب حمولته من الطمي .

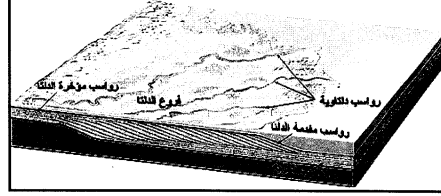
وتتراكم الرواسب الدلتاوية على هيئة طبقات متوازية تتتابع مع كل فيضان ، ويمكن دراسة تعاقبها الرسوبي بحفر آبار رأسية في أرضيتها ، وتتخذ معظم الدالات الفيضية في العالم شكل المثلث ، بحيث يمثل خط الساحل قاعدة المثلث ، كما تمثل قمة الدلتا رأس المثلث ويتفق فرعى الدلتا مع ضلعيه ، وقد تكون الدلتا ذات فرعين أو متعددة الفروع مثل دلتا النيل القديمة قبل أن تضمحل معظم فروعها . وهناك نمط آخر لأشكال الدالات تبدو ذات أصابع أو ألسنة رسوبية ممتدة داخل المسطحات البحرية ، وتشبه قدم الطائر Bird's Foot وتعد دلتا نهر "المسيسى" أشهر أمثلة هذا النوع من الدالات.

ويتوقف نمو الدلتا على كمية الرواسب التي يلقى بها النهر على قاع البحر ، ولذلك يحتل معدل تقدم الدالات من أهم العوامل ، فدلتا نهر "البو Bo" تتقدم بمعدل ١٢ متر في السنة على حساب السبحر الإذريباتي ، بينما تتآكل دلتا النيل بعد بناء السد العالي واحتباس الرواسب الفيضية على قاع بحيرة السد العالي وتعرض سواحل الدلتا للنحر البحر ، بالإضافة إلى تعرضها لحركة هبوط أرضي غير متوازنة يقع مركزها على قاع بحيرة "المترلة" ، وتزداد مخاطر إنكماش

الدلتا إذا ما سلمنا بفرضية إرتفاع مناسيب البحار العالمية الناجم عن تسخين الغلاف الجوى (شكلا ٣-٣٢ ، ٣-٣٣ ، وصورة ٣-١٠).



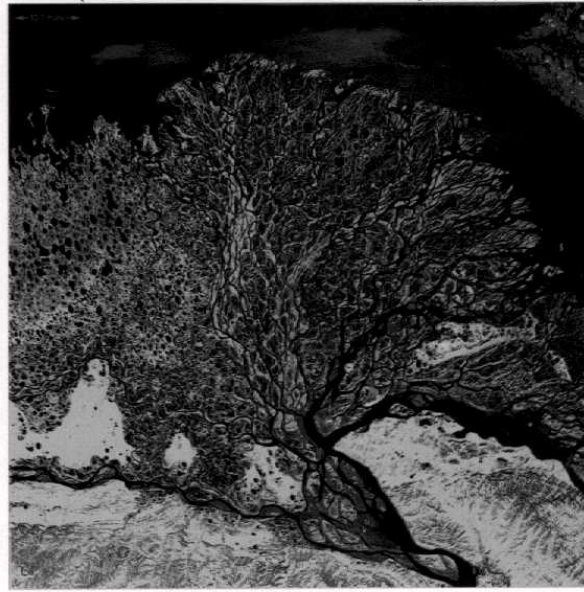
شكل (٣-٣٢) تركيب الدلتا  
(أ) السهل الفيضي ، (ب) قمة الدلتا ، (ج) فروع الدلتا ، (د) رواسب مقدمة الدلتا



شكل (٣-٣٣) تكوين الدلتا بتراكم الرواسب الفيضية على قاع البحر



صورة (٩-٣) بحيرة مقتطعة عن منعطف كبرى  
(Photo: Norm Catto in: Slattery, 2003)



صورة (١٠-٣) مرئية فضائية للدلتا نهر لينا — روسيا



#### ٥- الجسور الطبيعية Natural Levee :

تشكل الجسور الطبيعية من تراكم الرواسب الفيضية على ضفاف المجارى المائية أثناء الفيضان ، حيث تفيض حمولة النهر على الضفاف فتترسب الرواسب وتنساب المياه نحو السهل الفيضى الأقل منسوباً . أما أثناء فترة التحريق ينخفض مستوى المياه فى المجرى وتقل سرعة جريانها فتضعف قدرتها على حمل الرواسب فتتطمى (تترسب) على القاع ، ومع إستمرار الظاهرتين عام بعد عام ، ترتفع الجسور الطبيعية أثناء الفيضان ، ويرتفع القاع وقت التحريق ، مما يساعد على رفع مستوى المجرى بالنسبة للسهل الفيضى المتناخم له ، وهذا الوضع يهدد المناطق الزراعية بالسهل الفيضى لأخطار الغرق أثناء الفيضانات العالية ، وتُعد الأنهار الصينية "الهوانج هو والسي كيانج " أوضح الأمثلة لهذا النمط من الأنهار (شكل ٣-٣٤).



شكل ( ٣-٣٤ ) الجسور الطبيعية وإطماء القاع

#### ٦- المجارى الضفيرية - المصفرة Braided Streams :



تتفرع المجارى المائية عادة إلى عدد من الفروع تفصل فيما بينها بعض الجزر الرسوبية عند ضعف طاقة النهر على حمل الرواسب ، ويحدث هذا عند توافر واحد أو أكثر من الظروف الآتية (صورة ٣-١١):

صورة ( ٣-١١ ) صورة جوية مائلة لمجرى ضفيرية  
(Photo: Martin Geertsema in:  
Slattery, 2003

- "أ" ضعف شدة الانحدار الطولي للمجرى .
- "ب" زيادة إتساع المجرى بالنسبة للحمولة النهرية وقد يحدث ذلك في حالة إنخفاض كميات المياه الواردة للنهر بصورة طبيعية أو بشرية مثل تشييد السدود .
- "ج" زيادة تسرب المياه بسبب اجتياز منطقة ذات مسامية مرتفعة .
- "د" شدة تبخر المياه نتيجة إرتفاع درجة الحرارة مع جفاف الهواء .
- "هـ" اجتياز المجرى لنطاق من المستنقعات التي تنمو به الحشائش والنباتات المائية التي تستنفذ قدرأ من موازنته المائية.

#### **سادساً : الإرساب الحوضى فى الأقاليم شبه الجافة :**

تضم أشكال الإرساب الحوضى فى الأقاليم شبه الجافة مجموعة من الظواهر الجيومورفولوجية ، تتكون نتيجة عمليات الإرساب بفعل المياه فى الأجزاء الحوضية المقعرة من سطح الأرض الواقعة ضمن العروض الصحراوية وشبه الصحراوية ، وتتميز هذه الأقاليم بعدة سمات بيئية أهمها ما يلى:

- ١- الجفاف Aridity حيث يقل فيها معدل التساقط عن معدل التبخر السنوى .
- ٢- كما تتميز بسقوط أمطارها الشحيحة على شكل رخات كثيفة فجائية مُركزة فى فترة زمنية وجيزة ، وهى ما يُطلق عليه تعبير سيول صحراوية .
- ٣- وتنسم بفقر غطاءها النباتى مما يسهلُ من التأثير التحاتى لعوامل التعرية وخاصة فعل المياه الجارية .

ونظراً لأهمية هذا الموضوع أفردنا جزءاً خاصاً من هذا الفصل لدراسة الأشكال الجيومورفولوجية المتكونة عن فعل الماء الجارى بالصحارى لأنها تختص بسمات جيومورفوجية تميزها عن بقية أشكال التعرية النهرية .



(أ) العوامل المؤثرة في تحديد أشكال الإرساب الحوضي في الأقاليم شبه الجافة :

- ١- مدى صلابة الصخر وخصائصه البنيوية .
- ٢- درجة إنحدار ونوع تقوس سطح الأرض (محدب - مقعر - مستقيم)<sup>١</sup> .
- ٣- حجم المياه الساقطة على الإقليم ، وطول الفترة الزمنية التي تستغرقها عملية التساقط .
- ٤- درجة الحرارة ونسبة الرطوبة ومعامل التبخر في المنطقة .
- ٥- نوع وكثافة الغطاء النباتي .
- ٦- طبيعة المواد المنقولة على سفوح المنحدرات بالمنطقة .
- ٧- مستوى الماء الباطني ومدى تذبذبه موسمياً .

(ب) أهم أشكال الإرساب الحوضي في الأقاليم شبه الجافة

يمكن إيجاز أهم الظواهر الجيومورفولوجية الناتجة عن الترسيب الحوضي في الأقاليم شبه الجافة فيما يلي :

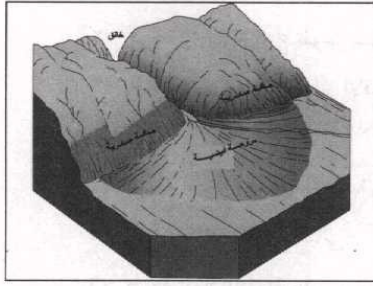
١- المراوح الفيضية (الدالات المروحية) **Alluvial Fans** :

أشكال رسوبية مروحية الشكل تتشكل في المناطق شبه الجافة ، تتميز بضعف إنحدارها وتقوس سطوحها ، ترسم انصاف دوائر تحيط بمخارج المجاري الخانقية الجبلية ، حيثما تنخفض سرعة المياه فجائياً فتتفجر قدرة السيل على الحمل ، فيتخلص من حمولته ، ويفترشها على سطوح قواعد المرتفعات (شكل ٣-٣٥ ، وصورة ٣-١٢) .

وأهم ما يميز الدالات المروحية أن رواسبها تصنف تبعاً للمسافة بين قواعد الجبال والأحواض المحيطة بها ، فتتألف رؤوس المراوح من الجلاميد الصخرية الضخمة ، التي تلقى بها السيول المتتالية عند نطاق التغير في درجة الإنحدار ، بينما يتشكل محيط هذه المراوح من الرمل

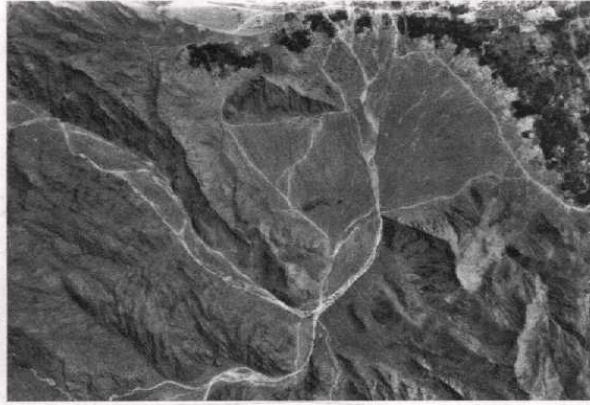
<sup>١</sup> راجع خصائص الجزء الخاص بحركة المواد على سفوح المنحدرات بالفصل الأول .

والغرين والطين ، أما فيما بين الرؤوس والمحيط أو القواعد تتوزع الرواسب الحصوية تبعاً لحجومها ، فيتراكم أحسنها عند الرؤوس ويتجه أدقها نحو الحضيض .



وتتقطع أسطح المراوح بشبكات موسمية من المجارى السيلية ، تتباين أشكالها عقب كل سيل ، وحينما تنمو المراوح الفيضية تقتارب مع بعضها حتى تلتحم مكونة نطاقاً رسوبياً متصلاً عند حضيض المرتفعات يُطلق عليه اسم الباجادا .

شكل (٣-٣٥) الملامح الجيومورفولوجية لمروحة فيضية



صورة (٣-١٢) صورة جوية لمروحة وادى "البيح" بإمارة رأس الخيمة بدولة الإمارات

## ٢- الباجادا - الباهادا : Bajada - Bahada

الباجادا مصطلح أسباني الأصل ، أنتشر فيما بعد وحُرف إلى بهادا بالمناطق شبه الجافة جنوب غرب الولايات المتحدة ، وهو يعنى القسم السفلى الرسوبى من المنحدرات الجبلية الصحراوية ،

ويتميز بإنحداره البسيط الذي لا يتعدى السبع درجات ، بينما يتراوح إنحدار الواجهة الجبلية التي تعلوه بين ١٥ درجة والزوايا القائمة .

وتتشكل الباجادا من مجموعة متلاصقة من الإرسابات المروحية التي تغذيها المسيلات المقطعة للواجهة الجبلية ، وباصطدام مياه هذه المسيلات بسطح الأرض المنبسط عند أقدام الجبال تقل سرعة الجريان فتفتersh حولتها مروحيًا ، وتحتوى إرسابات الباجادا على الرواسب المائية من حصى وغرين مختلطة مع بعض الجلاميد المنظرة التي نقلتها السيول الطينية ، وعموماً فإن رواسب الباجادا تكون مشتقة من المناطق الجبلية المتاخمة لها، وتستدق أحجامها بالإتجاه لأسفل.

### ٣- البلايا (البحيرات السبخية) Playas:

مصطلح أسبان<sup>١</sup> يُطلق في أمريكا على مناطق حوضية مستوية الأسطح ، تشكل أخفض بقاع هذه الأحواض ، وتستمد هذه المنخفضات مياهها من عدة مصادر مثل التساقط أو من نشع المياه الجوفية بالخاصية الشعرية ، وقد تتلقى المياه من الجريان السطحي الذي يسهم في إمتلائها جزئياً بالرواسب التي تجلبها الأودية من المرتفعات المجاورة (عبدالله يوسف الغنيم، ١٩٨١ : ١٤)، وقد تكون مسطحات مائية فصلية أو دائمة ، وعلى ذلك يمكن تصنيف البلايا إلى عدة مجموعات تبعاً لإختلاف مائيتها هي (شكل ٣-٣٦) :-

"أ" بلايا جافة Dry Playa.

"ب" بلايا رطبة Moist Playa.

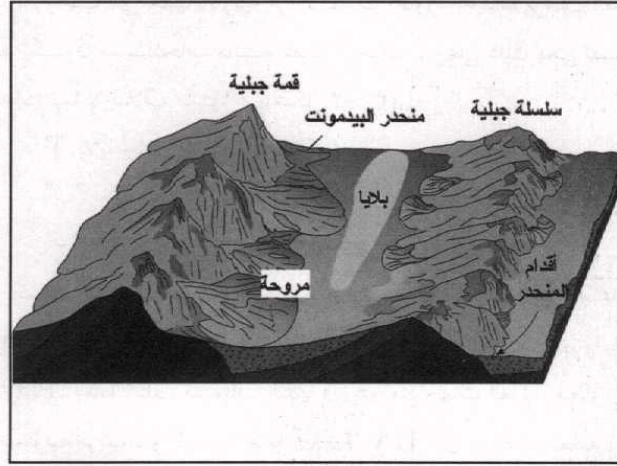
"ج" بلايا موسمية Seasonal Playa .

كما تُصنف البلايا حسب نوع الإرسابات المتراكمة على قيعانها مثل البلايا الجيرية Lime Playa ، والبلايا المحلية المتبلرة Crystal Body Playa ، والبلايا الطينية Mud Playa . كما تختلف مسميات البلايا في كثير من جهات العالم ، فيطلق عليها "Pan" في جنوب أفريقيا ، و"البحيرة الجافة Dry Lake" في أمريكا الشمالية ، و"نور Nor" في صحراء منغوليا ، ويطلق عليها "مسطحات الصلصال Clay Playa" في أستراليا ،

<sup>١</sup> كلمة باللغة الأسبانية تعني الساحل أو الشاطئ (Fairbridge, 1969: 865)

و"التاكير Takir" في روسيا ، أما في شبه الجزيرة العربية فهي تسمى "الخبراء وجمعها الخبراء" (عبدالله يوسف الغنيم ، ١٩٨١ : ١٥).  
ويمثل البلايا السطح السهل المنخفض عند أطراف منحدرات البيدمونت ، حيثما يستمر سطح الأرض في صعوده التدريجي بمعدل أقصاه سبع درجات ، وعند الطرف العلوى لمنحدر البيدمونت يتغير الانحدار فجائياً إلى مواجهة الحائط الجبلى ، ولذا تستدق إرسابات البلايا البحرية قياساً بمكونات الباجادا الخشنة المتراكمة عند حضيض المرتفعات (Cooke & Warren, 1973:215).

وقد ترتبط بعض البحيرات السبخية بالمناطق ذات النشاط التكتونى ، حينما تتواجد المواضع الحوضية بما يسمح بتسرب المياه سطحياً ، مثل البحيرات المنتشرة فى صحارى "أتكاما وموجاف ووادى ديث" بكاليفورنيا كما ترصع بحيرات البلايا أرضية منخفضة منخفضات "سيوه والداخلية والخارجة والقطارة" بالصحراء الغربية المصرية (جوده ، ١٩٩٦ ) .



شكل (٣-٣٦) علاقة البلايا بأشكال الترسيب الحوضى الأخرى

#### ٤- السبخة Sabkha-Sebkha :

السبخة مصطلح عربي الأصل يشير إلى منخفضات صحراوية مسطحة تتأثر بذبذبة مستوى الماء السطحي ، فتعتمد بالمياه حينما يرتفع هذا المستوى حاملاً معه بعض الأملاح الذائبة، لترسب على السطح خلال فصل الجفاف مكونة قشرة ملحية صلبة ، وتتكون معظم مواد السبخ من الإرسابات الطينية المشبعة بالأملاح ، ولذا يُطلق عليها أحياناً السطح القلوي Alkali flat (Allen & Pye, 1992:3). وتنمو بالسبخ مجموعات من النباتات المحبة للملوحة، تعمل كمصائد للرمال وقت الجفاف ، فتتراكم عليها مكونة كومات محدودة الارتفاع (النباك - التبيكات Mounds) وهناك العديد من الدراسات التي أجريت على الأشكال الجيومورفولوجية المرتبطة بالسبخ ، ولعل أبرزها الدراسة التي قدمت عن سبخ شبه جزيرة قطر (محمود عاشور وآخرون ، ١٩٩١) . وتنتشر السبخ في جنوب الخليج العربي ، وأكبر السبخ الداخلية في شبه الجزيرة "سبخة أم السعيم" في الحوض الشرقي من الربع الخالي ، و"سبخة مطي" الواقعة في دولة الإمارات العربية المتحدة ، وسبخ سهل هامة وخاصة بين مدينتي "ينبع" و"جدة" (عبدالله يوسف الغنيم ، ١٩٨١ : ٣١).

وقد تتأثر السبخ الساحلية بتيارات المد فترفع من منسوب مياهها ، كما تسهم بعض الجسار المائية الجوفية في تغذية السبخ بالمياه تحت السطح ، مثل الشطوط Shotts المنتشرة على سواحل تونس والجزائر ، حيث تغذيها بعض الجسار الجوفية المقطعة لجبال أطلس بالمياه ، وبذلك تتميز مسطحات البلياء عن السبخات في إنسياب المياه إليها سطحياً مما تحمله من رواسب على حين ترتبط السبخ بمستوى الماء الباطني على اختلاف مصادره .

#### ٥- الحوض الجلي " البلسن " Bolson :

الحوض الجلي أو " البلسن Bolson" مصطلح أسباني أنتشر على نطاق واسع بجنوب غرب الولايات المتحدة وشمال المكسيك ، وكذلك بحوض "تاريم ومنغوليا" وادي الأردن ، ويتشكل البلسن كنطاق حوضي تطوقه حوائط جبلية عالية ، مُقطعة بالأودية الجافة ، التي تصب مياهها

بالمستفيض ، ويتوسط الخوض الجبلي عادة بحيرة ، أو ملاحه ، أو سبخة يتوقف نموها على العلاقة بين معدل البخر بالإقليم وحجم التصريف الوارد للخوض ، وهي بذلك تعد كمستويات قاعدية مؤقته ليست لها علاقة بمستوى القاعدة العام ، فقد تكون فوقه بكثير أو دونه بكثير ، وينتهي مصير هذه الأحواض بالإمتلاء برواسب الوديان نتيجة إرتفاع قاعها المستمر .

#### ٦- الرواسب البحرية الحفرية Fossiliferous Lacustrine Deposits :

قد تكشف بعض البحيرات القديمة التي تشكلت خلال ظروف مناخية سابقة ، ويستدل على نشأتها بدراسة بقايا رواسبها ، والوقوف على خصائص بيئتها الترسيبية فحينما يتحول المناخ للحفاف تظهر بقايا الرواسب البحرية كتلال تبرز بضع عشرات أو مئات الأمتار فوق المستوى العام لسطح الخوض ، وتصبح بذلك عرضة لعوامل التعرية الحديثة لثمزقها من جديد. ولعل بقايا الرواسب المنتشرة بوادي "فيران" بجنوب شرق سيناء خير شاهد على ذلك ، وتشغل أيضاً الرواسب الطينية الرملية القديمة قاع حوض سولتون بجنوب شرق كاليفورنيا ، وتظهر كتلال فسوق السطح وتعرضت للتآكل السريع وتشكلت لها أعداد كبيرة من القنوات المتعمقة في تكويناتها الهشة .

#### سابعاً : تأثير تغير منسوب مستوى القاعدة على النظم النهرية :

إذا حدث تغير في منسوب مستوى القاعدة ، فإن هذا التغير ينعكس على النهر وواديه في أجزائه المختلفة في صورة ظاهرات جيومورفولوجية عديدة أوضحها على القطاع الطولي للنهر والقطاع العرضي لواديه ، وقبل أن نناقش هذه الظاهرات التي يمكن بواسطتها تبين العلاقة بين المجرى النهرى وواديه من ناحية ومستوى قاعدته من ناحية أخرى يحسن أن نستعرض الخصائص الجيومورفولوجية للوادي النهرى المثالى أى الوادى الذى لا تختلف الظروف المناخية على طول له من منابعه حتى مصبه ، وكذلك الوادى الذى لا إختلاف في تكويناته الصخرية نوعاً ونظماً من منبعه إلى مصبه أيضاً، ثم أخيراً الوادى الذى يصب في مستوى قاعدة مستقر لفترة زمنية طويلة (شكل ٣-٣٧).



شكل ( ٣٧-٣ ) الظواهر الجيومورفولوجية الناتجة عن إنخفاض مستوى القاعدة

#### ١- نقاط تجديد الشباب :Point of Rejuvenation

تظهر نقاط تجديد الشباب على هيئة تغير فجائي في المقطع الطولي للمجرى ، وهى بذلك تتشابه مع جميع نقاط التجديد التى تتكون على قاع المجرى لكن لأسباب أخرى قد تكون جيولوجية أو مناخية .

و يبدأ هذا النوع من نقاط التجديد عند مصبات الأنهار نتيجة الاختلاف في الفارق الرأسى بين منسوب مياه النهر ومنسوب البحر الذى يصب فيه . وتفصل هذين المنسوبين منطقة أرضية تنحدر عليها مياه النهر لتصل إلى المنسوب الجديد المنخفض لمياه البحر، وعلى طول هذه المنطقة الأرضية المنحدرة تسرع مياه النهر في الجريان ويبدأ في هذه المنطقة بنشط في عملية نحت الرأسى مما يسهم في تعميق مجرى النهر في هذا الجزء إلى منسوب يقترب من منسوب القاعدة الهابط ، ونتيجة لذلك تتراجع هذه النقطة ناحية الأجزاء العليا من النهر فتتأثر بها الأجزاء من الأنهار التى تسبقها هذه النقطة، ولذلك فإن جميع روافد النهر ستتأثر أيضا بتراجع هذه النقطة أى أنها



مستكون ممثلة على النهر الرئيسي وعلى كل روافده التي ترفده في مواضع أدنى من موضع نقطة التجديد على النهر الرئيسي<sup>١</sup>، لكن يختلف معدل تراجع هذه النقطة تبعاً لعدد من العوامل أهمها :

- "أ" حجم الحمولة النهرية وكمية الصخور والحصى التي يحملها معه النهر .
- "ب" درجة صلابة صخور القاع .
- "ج" تأثير الشقوق والفواصل الصخرية .
- "د" امتداد الجرى بصورة موازية لبعض السدود الرأسية ( القواطع النارية ) يعمل على تركيز طاقته المائية وبالتالي سرعة تراجع نقطة التجديد .

وينتج عن إنخفاض مستوى القاعدة العام أيضاً تشكيل ظاهرة أخرى ترتبط بنقاط التجديد هي المدرجات النهرية التوأمية المزدوجة ، وهي عبارة عن بقايا القاع القديم للنهر قبل عملية الإنخفاض ، وتستخدم هذه الظاهرة في دراسة مستوى قاع النهر القديم ومعرفة خصائصه الجيومورفولوجية عن طريق جمع وتحليل بقايا الرواسب النهرية المنتشرة على أسطح هذه المدرجات.

## ٢- المدرجات النهرية River Terraces :

أن اختلاف الظروف المناخية في فترة البليستوسين سواء في المناطق المعتدلة المطيرة أو حتى في المناطق الجافة الصحراوية يترك آثاره على سطح الأرض في الأودية النهرية بصفة خاصة على شكل مصاطب على جوانب هذه الأودية ، ففي المناطق المعتدلة المطيرة تنقسم فترة البليستوسين إلى فترات جليدية Glacial Periods وأخرى غير جليدية Interglacial Periods أما في المناطق الجافة أو الصحراوية فإنها تنقسم إلى فترات مطيرة وأخرى جافة Pluvial and Dry Periods ففى أثناء الفترات الجليدية في المناطق المعتدلة ينخفض منسوب سطح البحر

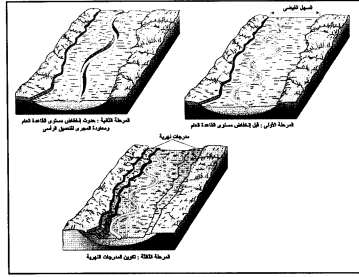
<sup>١</sup>يسمى تعبير مستوى القاعدة العام على منسوب المسطحات البحرية المفتوحة ، كما يسمّى تعبير مستوى القاعدة الأعلى على المصببات النهرية المغلفة مثل البحيرات والبحار الداخلية والمستنقعات والأحواض الداخلية.

نتيجة قلة التصريف النهري واختباس المياه على يابس الأرض في صورة جليد، كما أن كمية المياه المناسبة على سطح الأرض في صورة جليد، كما أن كمية المياه المناسبة على سطح الأرض في صورة أمطار تكون قليلة وعليه فإن الفترات الجليدية تؤثر على المجارى النهرية في أجزائها الدنيا والعلية أو بمعنى آخر عند المصببات وعند المنابع ، ففي الأجزاء الدنيا نتيجة لانخفاض منسوب القاعادة تنشيط عملية النحت وترك سهله الفيضى على جانبيه في صورة مصاطب ، أما في الأجزاء العليا والتي تقع في الظروف المناخية شبه الجليدية Pre- Glacial Conditions هذه الظروف التي تنعكس آثارها بصورة واضحة على مائية (كمية مياه الأمطار) والحمولة النهرية نتيجة تأثيرها على فقر الحياة النباتية على جانبي الوادى النهري ، فإن النهر في هذه المناطق يتصف بعملية الإرساب (شكل ٣-٣٨).

ويتضح لنا هنا إذا ما عرفنا أن الظروف المناخية شبه الجليدية أى المناخة للغطاء الجليدى ، تؤثر على كمية المياه المنصرفة في هذه الأجزاء العليا من النهر حيث لا تساعد هذه الظروف على ذوبان مياه الجليد ، وعليه فإن كمية المياه النهرية تكون قليلة، في حين أن هذه الظروف شبه الجليدية تعمل على فقر الحياة النباتية على جوانب الأودية النهرية العليا كما تعمل نتيجة ذلك على تفكك الصخر وتخلله بدرجة كبيرة على منحدرات هذه الأودية ، ونشاط عملية الصقيع وتنازع ذوبان المياه وتجعلها يودى إلى نشاط في حركة هذا الفتات على هذه المنحدرات إلى المجارى النهرية التي تجرى في قيعان هذه الأودية ، وعلى ذلك فإن نسبة الحموله تزيد على مقدرة كمية مياه الأمطار في تلك المناطق الأمر الذى يودى إلى نشاط عملية الإرساب.

وتنعكس هذه الصورة أثناء الفترات غير الجليدية حيث يرتفع منسوب مستوى القاعدة بسبب ما تنصرف إليه من كميات ضخمة من المياه نتيجة ذوبان الجليد أثناء هذه الفترات ، فيؤثر هذا على الأجزاء الدنيا وتصبح ظاهرة الإرساب فيها واضحة، وتطغى المسطحات المائية البحرية على مخارج هذه الأودية القديمة ، في حين أن الأجزاء العليا نظراً للكميات الكبيرة للمياه

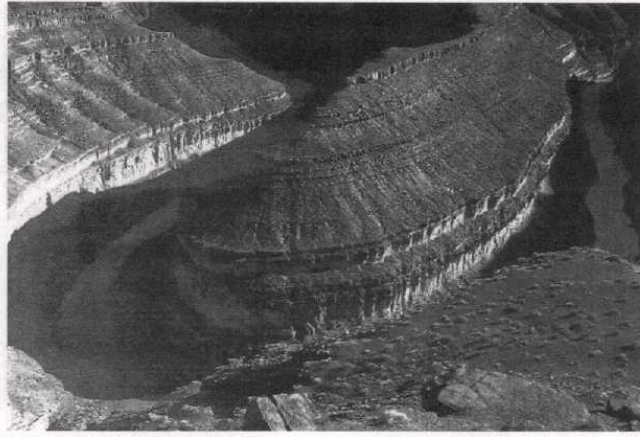
التي تنصرف من الجليد المذاب تكون عملية النحت الرأسى واضحة وتترك الأتجار قيعاها في صورة مصاطب ، والفرق بين مصاطب الأجزاء الدنيا ومصاطب الأجزاء العليا هو أن الأولى قد تكونت في الفترات الجليدية بينما تتكون الثانية أثناء الفترات غير الجليدية.



شكل (٣-٣٨) مراحل تكوين المدرجات النهرية المزدوجة

### ٣- المنعطقات النهرية المتعمقة Incised Meanders :

تتكون المنعطقات المتعمقة في حالتين أولهما ، عند تعرض النهر لانخفاض مستوى قاعدته، والحالة الثانية عند تعرض إقليم الخوض النهري لحركة رفع تكتونية ، ويلجأ النهر في الحالتين إلى إعادة شبابه وفتوته عن طريق تعميق ثنيه النهرية رأسياً ، حتى يتوافق مقطعه الطولى مع الظروف الجديدة ، ولذلك تتحول الثنيات النهرية Meanders من إحدى الظواهر الناتجة عن الترسيب والتي تشير إلى بلوغ النهر المرحلة الشيخوخة ، إلى ظاهرة تشير إلى النحت والتعميق الرأسى الناتج عن معاودة الشباب (صوراً ٣-١٣، ٣-١٤) .



صورة ( ١٣-٣ ) غر عاود تعميقه رأسياً في مُنعطف نهرى نتيجة إنخفاض مستوى القاعدة  
(Photo: Danny Vaughn in: Slattery,2003 )



صورة ( ١٤-٣ ) مُنعطف نهرى مُتعمق  
(Photo: Richard Kesel in: Slattery,2003)

#### ٤- أودية أو مجارى غارقة Drowned Valleys – Streams :

تظهر المجارى النهرية الغارقة حينما تتعرض منطقة المصب لإرتفاع مستوى سطح البحر، فتغمر مياه البحر جزء من النهر ، ويطلق عليها في هذه الحالة عدة مصطلحات منها "مدخل بحرى " Inlet ، أو الشرم Sharm ، أو الخور Khour، ويمكن تصنيف المجارى الغارقة إلى عدة أنواع ثانوية وفقا لاختلاف مظهرها المورفولوجى العام هى :

"أ" المصببات النهرية الضيقة القصيرة ، وهى تنتشر في منطقة كالا Cala بجزر البليار ، وساحل "كالانكى Calanque" الفرنسى ، كما يمثل هذا النوع من المصببات فى الشروم sherm - sherum المتناثرة على سواحل البحر الأحمر فى مصر والسعودية والسودان .

"ب" مصبات الأنهار المتوازية الرجزاجية الشكل Zigzag Vallies على السواحل الطولية الدلماشية Dalmatian Coasts المنتشرة على سواحل كرواتيا المطلّة على البحر الإديراتى.

"ج" المصببات المتسعة التى تعترض مخارجها الحواجز البحرية ، وينتشر هذا النوع من المصببات على سواحل البحر الأسود التركية والروسية .

#### ثامناً :تأثير التراكيب البنيوية على نظم التصريف النهري:

يطلق على الأودية النهرية التى تقطع مجاريها تراكيب بنيوية بأنها أودية معترضة وهى تنقسم إلى أربعة أنواع هى :

#### ١- النهر الالتوائى Folded River :

يتفق الجغرى الرئيسى لهذا النوع من الأنهار مع محاور الطيات المحدبة ، لأنها تعتبر أضعف أجزاء الالتواء ، حيث تتكون العديد من الشقوق الطولية الناتجة عن حركات الشد المصاحبة لطى الطبقات الصخرية .

## ٢- النهر الإنكسارى Faulted River:

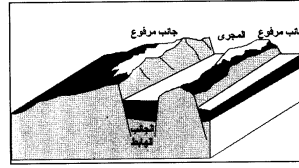
هناك العديد من الأنهار الإنكسارية الناشئة تتفق مجاريها الرئيسية أو بعض روافدها مع خطوط الإنكسار ، سواء الإنكسارات الرأسية البسيطة أو الأحادية ، ويمكن التعرف على الأنهار الإنكسارية الناشئة من خلال بعض المظاهر الجيومورفولوجية أهمها (شكل ٣-٣٩) :

"أ" إمتداد المجارى الإنكسارية بصورة خطية تكاد تخلو من التغيرات النهرية إذا كانت حديثة الناشئة ، ولكن يبدأ فيما بعد الجرى فى عملية الترنج والانثناء مع مراحل تطور النهر .

"ب" إلتقاء الروافد الإنكسارية الناشئة بزوايا قائمة ، ولذلك يسود نمط التصريف المتعامد أو المستطيل .

"ج" تظهر ضفاف الجرى عادة جرفية شبه قائمة .

"د" فى حالة المجارى النهرية المتكونة عن الإنكسارات الأحادية تظهر إحدى ضفافها أعلى من الضفة الأخرى للمجرى .

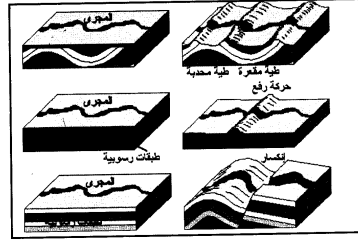


شكل ( ٣-٣٩ ) مجرى نهرى إنكسارى الناشئة

### ٣-النهر المناضل Antecedent River :

يُطلق هذا التعبير على أجزاء من الهاري النهرية تستطيع الحفاظ على إتجاهها على الرغم من تعرضها لحركات الرفع التكتونية ، حيث تؤدي حركة الرفع إلى زيادة الفارق الرأسى بين منسوب مياه تلك الأجزاء وقطاعات النهر الأخرى التى تقع أدنى منها (صوب المصب) ، مما يساعد على سرعة جريان المياه فى الجزء المرفوع ، فتتسبب بالتالى عملية التعميق الرأسى ، وتستمر عملية النحت الرأسى لمقاومة حركة الرفع حتى يتكون فى تلك المنطقة من الهاري خائق نهري عميق ، يُطلق عليه اسم الثغرة المائية Water – Gap ، ولكن لا يُطلق مصطلح الأثمار المناضلة على أى مجرى مائى يتمثل به خائق نهري ضيق وعميق ، ولكن يشترط تكونه عن حركة رفع تكتونى بطيئة، حيث توجد هذه الظاهرة على أودية نهريّة لم تتعرض طوال تاريخها الجيولوجى لأية حركات تكتونية، وإنما تدين فى نشأتها لأسباب أخرى مثل الإنكسارات أو طبيعة السكون الصخرى المقاوم لفعل التعرية ، ومن أمثلة الأثمار المناضلة بعض أجزاء نهر "كلومبيا" ، وبعض أثار نيوزيلندا وخاصة أثار "وايبارا Waipara" و"هورونوى Horonui" و"أيووا Woiaua" التى تصب جميعاً شرقاً فى المحيط الهادى وتخترق مجموعة من الخوائى المتعمقة (حسن أبو العينين ، ١٩٩٥ : ٤٣٤) (شكل ٣-٤٠).





شكل ( ٤٠-٣ ) بعض حالات النضال النهري

#### ٤-النهر المنقطع Superimposed River :

تعرف عملية الإنطباع النهري بأنها إحدى عمليات النحت الرأسى التى تقوم بها الأنهار محاولة الوصول بمنسوب مياهها إلى منسوب مستوى القاعدة الذى تنتهى إليه تلك الأنهار، ولكن يعمق الوادى المنقطع مجاريه رأسياً فى تكويناته اللينة حتى يصل لنظم بنيوية قديمة لم تكن مكتشفة فى الوقت الذى بدأ فيه الوادى حفر مجاريه، بل كانت هذه النظم منطمة تحت سطح الأرض، وعلى ذلك يحتفظ النهر بشكل شبكته التصريفية دون تغير، لكن مع تعميقها رأسياً لتصل للطبقات السفلية، ومع مرور الزمن قد تتعرض الطبقة العليا لعوامل التعرية وتتلاشى تماماً، بعد إنطباع النظام النهري على الطبقة الصلبة القديمة، وهناك العديد من الأنهار المنطبعة فى العالم، لعل أبرزها الأنهار التى تشق مجاريها فى الطبقات القديمة فى الجزر البريطانية، وبعض الأنهار التى تشق إقليم جبال "الروكى".

### تاسعاً : تأثير ميل الطبقات الصخرية على نظم التصريف النهري :

يعتبر المظهر الجيومورفولوجي للأودية النهرية وشبكاتها التصريفية أحد الأدلة التي تشير إلى طبيعة نشأة هذا النهر وواديه ، وعلى ذلك فإن أودية الأنهار تنصف بصفات جيومورفولوجية تتوقف على عوامل نشأتها ، وبعد ميل الطبقات الصخرية أحد العوامل المهمة التي تؤثر في المظهر الجيومورفولوجي للنظم النهرية ، وعلى هذا الأساس يمكن تصنيف المجارى النهرية إلى الأنواع الآتية تبعاً لتأثير ميل الطبقات الصخرية عليها (جودة فتحي التركمان ، ٢٠٠٣ : ٨٦) :

#### ١- المجارى الأصلية Consequent Streams :

يُطلق هذا المصطلح على المجارى التي تتبع الإتجاه العام لميل الطبقات Dip ، ولذلك يُطلق عليها تعبير مجارى ميل الطبقات Dip-Type Streams ، أو الأنهار الأولية Primary Streams ، وهي تشمل جميع الأنهار التي تجري على سطح منطقة ما ظهرت حديثاً فوق سطح الأرض وسقط عليها من الأمطار ما يسمح بجريان أنهار على سطحها فإن هذه الأنهار تعتبر أنهاراً أصلية مهما كان نظام الصخر الذي يتكون فوقه سطح تلك المنطقة .

#### ٢- المجارى التالية Subsequent Streams :

يمتد هذا النوع من المجارى المائية متفقاً مع مضارب الطبقات Strike ، أى بالتعتمد مع ميل الطبقات الصخرية ، ولذلك يُطلق عليها اسم مجارى المضرب Strike-Type Streams ، وتتكون هذه المجارى عادة بصورة تالية لتكوين المجارى الأولية .

#### ٣- المجارى العكسية Obsequent Streams :

تطلق هذه تسمية على الأنهار التي عادة ما تكون روافد للأنهار التالية Subsequent وتسير على منحدر ضد ميل الطبقات الصخرية وموقعه في الطبيعة يكون على واجهة الكريستا Escarpment المشرفة بهذا الانحدار على قاع الوادي التالي .

#### ٤- المجارى التلقائية Resequent Streams :

يمتد هذا النوع من المجارى النهرية متفقاً مع إتجاه ميل الطبقات ، إلا أنها أحدث من المجارى الأولية أو الأصلية ، وتتكون عادة على مناسيب منخفضة وتمثل روافد قصيرة للمجارى التالية ، ولذلك يُطلق عليها أحياناً اسم المجارى الأولية الثانوية Secondary Consequent Streams.

#### ٥- المجارى غير التابعة Insequent Streams :

ينحرف هذا النوع من المجارى قناته المائية بدون أية ضوابط جيولوجية على الإطلاق ، وتمتد بمجارية بصورة عشوائية ليست لها علاقة بإتجاه ميل الطبقات الصخرية .

#### عاشراً : الأسر (القرصنة) النهرى River Captures:

تعتمد عملية الأسر النهرى إنعكاساً لاختلاف قوة الأنهار التى تشق أوديتها متجاورة فوق سطح الأرض ، ويؤدى إختلاف قوة الأنهار ، بطبيعة الحال، إلى صراع يبدأه النهر القوى وينتهى باستيلائه على أجزاء من النهر الضعيف تاركاً بصمات قرصنته على سطح الأرض جيومورفولوجية واضحة على كل من يابس الأرض ونظام التصريف النهرى ، وهناك العديد من العوامل التى تجعل نهرأ أقوى من الآخر تتصل بنوع الصخر ونظامه، وكمية مياه النهر، ومنسوب مستوى القاعدة ، ثم المظهر التضاريسى الذى تجرى عليه هذه الأنهار ، والتي يمكن إنجازها فيما يلى (شكلا ٣-٤١، ٣-٤٢) :

- ١- زيادة الفاصل الرأسى للنهر القوى (الأسر) مما يساعد على شدة إنحداره وتسريع جريانه وقوة طاقته وقدرته على عمليتي النحت والنقل معا ، وقد يرجع هذا إلى إرتفاع مناسيب منابعه العليا أو وقوع مصبه على منسوب أدنى من النهر الضعيف (المأسور) .

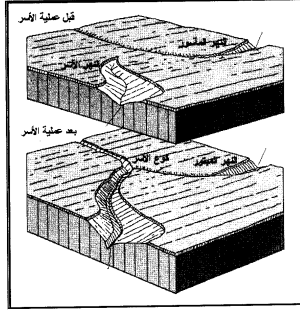
- ٢- زيادة كميات المياه التي تجري في النهر القوي (الأسر) بالمقارنة بالنهر الضعيف (المأسور) ، وقد يرجع ذلك إلى إختلاف مصادر المياه بالنهرين أو تباين مسامية صخور القاع أو غيرها من العوامل الجيولوجية .
- ٣- يثنى النهر القوي مجراه على طول مناطق الضعف الجيولوجي مثل خطوط الإنكسارات والفواصل الصخرية أو محاور الطيات المكدبة أو في صخور أقل مقاومة لفعل التعرية ، مما يؤدي إلى سرعة تطور هذا النهر بالمقارنة بالنهر المأسور.

#### وتحدث عملية الأسر النهري خلال المرحل الآتية :

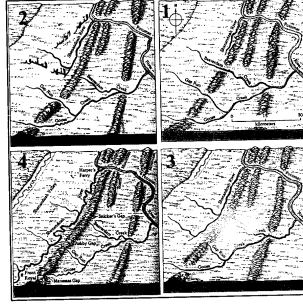
- ١- يستمكن النهر القوي من تنشيط عملية النحت النهري التراجعي لروافده بصورة أكبر من النهر الضعيف .
- ٢- إتصال أحد روافد النهر القوي بأجزاء من النهر الضعيف ويتمكن من أسرها ، حيث يستغیر إتجاه جريان الحمولة النهريية في الروافد المأسورة نحو النهر القوي الأسر، وعلى ذلك تنفصل هذه الروافد كلية من النظام النهري للنهر الضعيف ، وتضاف للنظام النهري القوي .
- ٣- تترك عملية الأسر النهري العديد من الآثار التي تدل على حدوثها أهمها الأدلة والشواهد الآتية :

١- "كَنُوعُ الأسر Elbow of Capture : وهو موضع إتصال الروافد المأسورة بالنهر الأسر ، حيث يظهر هذا الجزء من المجرى خائفتي ذو حوائط جانبية مرتفعة نتيجة زيادة التعميق الرأسى الناجم عن ورود كميات كبيرة من المياه بعد عملية الأسر ، ويمتد المجرى على شكل انثناء واضحة ذات زاوية قائمة .

٢- "ب" الثغرة الهوائية Wind Gab : جزء مضمحل من المجرى القديم لم تعد تجري به المياه بعد حدوث الأسر النهري ، وتظهر عليها بقايا الرواسب الفيضية القديمة .



شكل ( ٤١-٣ ) أدلة حدوث عملية الأسر النهرى



شكل ( ٤٢-٣ ) مراحل الأسر النهرى

(After: <http://www.science.smith.edu/departments/Geology/geomorph/Structure.html>)

قائمة المراجع:

أولاً : مراجع باللغة العربية:

١. جودة حسنين جودة ، ١٩٩٦: الجيومورفولوجيا ، دار المعرفة الجامعية ، الإسكندرية، ٦٨٣ ص.
٢. ----- ، ١٩٩٧: معالم سطح الأرض ، الطبعة الخامسة ، دار المعرفة الجامعية ، الإسكندرية، ٦٢٨ ص.
٣. ----- ، ١٩٩٨: جغرافية البحار والمحيطات ، منشأة المعارف، الإسكندرية، ٥٣٠ ص .
٤. جودة فتحى التركمانى ، ٢٠٠٢: جغرافية الأخطار والكوارث الطبيعية ، دار الثقافة العربية، القاهرة، ٢٨٠ ص.
٥. ----- ، ٢٠٠٣: أشكال السطح — دراسة في أصول الجيومورفولوجيا ، دار الثقافة العربية ، القاهرة، ٣٣٦ ص.
٦. حسن سيد احمد أبو العنين ، ١٩٨٨(أ): أصول الجغرافية المناخية ، الإسكندرية، ٥٥٤ ص .
٧. ----- ، ١٩٨٨ (ب): كوكب الأرض ، الطبعة العاشرة ، مؤسسة الثقافة الجامعية، الإسكندرية، ٥٩٦ ص.
٨. ----- ، ١٩٨٩: الاقلياتوغرافيا — دراسات في جغرافية البحار والمحيطات، الطبعة الثامنة ،مؤسسة الثقافة الجامعية ، الإسكندرية، ٦٦٥ ص.
٩. ----- ، ١٩٩٥: أصول الجيومورفولوجيا، الطبعة الحادية عشرة ، مؤسسة الثقافة الجامعية ، الإسكندرية، ٧٧٠ ص.
١٠. ----- ، ١٩٩٨: الجغرافية الطبيعية ، مؤسسة الثقافة الجامعية ، الإسكندرية، ٥٨٤ ص.

١١. جان دركو، جاك باكيه، ١٩٨٩: الجيولوجيا - مواضيع ومناهج، ترجمة على مقلد، المؤسسة الجامعية للدراسات والنشر والتوزيع، بيروت، ٦٩٢ ص.
١٢. محمد صبرى محسوب، ١٩٩٨: جيومورفولوجية الأشكال الأرضية، دار الفكر العربى، القاهرة، ٤٨٤ ص.
١٣. محمد مجدى تراب، ١٩٩٥: مقالات في تأثير بناء السد العالمى على جيومورفولوجية فرع دمياط، منشأة المعارف، الإسكندرية.
١٤. -----، ٢٠٠٣: بحوث في جيومورفولوجية الأراضى العربية، منشأة المعارف، الإسكندرية، ٤١٩ ص.
١٥. محمود محمد عاشور، وآخرون، ١٩٩١: السبخات في شبه جزيرة قطر، مركز الوثائق والدراسات الإنسانية، جامعة قطر، الدوحة.

ثانياً : مراجع باللغة الإنجليزية :

1. Allen, J.R. and Pye, K., 1992, *Saltmarshes, morphodynamics, conservation and engineering significance*, Cambridge University Press, 184p.
2. Anderson, M.G., (editor), 1988, *Modelling geomorphological systems*: New York, Wiley, 458 p.
3. Bagnold, R.A., 1971, *The Physics of blown sand and desert dunes*, 3<sup>rd</sup> edition, London/
4. Baker, V.R., Kochel, R.C., and Patton, P.C., (editors), 1988, *Flood geomorphology*: New York, Wiley, 503 p.
5. Birkeland, P.W., 1984, *Soils and geomorphology*: New York, Oxford University Press, 372 p.
6. Brown, A.G., (editor), 1995, *Geomorphology and groundwater*: New York, Wiley, 213 p.
7. Budel, J., 1982, *Climatic Geomorphology* (translated by L. Fischer and D. Busche): Princeton, Princeton University Press, 443 p.
8. Bull, W.B., 1991, *Geomorphic responses to climatic change*: New York, Oxford University Press, 326 p.



9. Cooke, R.U., and Warren, A., 1973, *Geomorphology in Deserts*, London.
10. Emery, K.O., 1947, Asymmetrical valleys of San Diego Country, Calif., *Bull. S. Calif. Acad. Sci.*, 46, 61-71.
11. Fairbridge, R.W., (editor), 1968, *The encyclopedia of geomorphology*: Stroudsburg, PA, Dowden, Hutchinson & Ross, 1295 p.
12. Gerrard, A.J., 1981, *Soils and landforms : an integration of geomorphology and pedology*: Boston, George Allen & Unwin, 219 p.
13. Goudie, A.S., (editor), 1981, *Geomorphological techniques*: Boston, Allen & Unwin, 395 p.
14. Goudie, A.S., and Pye, K., 1983, *Chemical sediments and geomorphology: precipitates and residua in the near-surface environment*: New York, Academic Press, 439 p.
15. Goudie, A.S. (Edit.), 2004, *Encyclopedia of Geomorphology*, International Association of Geomorphology, New York, 1156p.
16. Graf, W.L., (editor), 1987, *Geomorphic systems of North America*: Geological Society of America Centennial special volume 2, Boulder, Colorado, 643 p.
17. Kirkby, M.J., (editor), 1994, *Process models and theoretical geomorphology*: New York, Wiley & Sons, 417p.
18. Leopold, L.B., Wolman, M.G., and Miller, J.P., 1964, *Fluvial processes in geomorphology*: San Francisco, W. H. Freeman, 522 p.
19. Lowe, J.J. and Walker, M.J.C., 1997, *Reconstructing Quaternary environments* (2nd ed.): Harlow, Essex , Addison Wesley Longman, 446 p.
20. Melhorn, W.N., and Flemal, R.C., (editors), 1975, *Theories of landform development*: Binghampton, New York, State University of New York, 306 p.
21. Morisawa, M., 1985, *Rivers*: New York, Longman, 222 p.
22. Richards, K., 1982, *Rivers*: New York, Methuen, 358 p.
23. Richards, K.S., Arnett, R.R., and Ellis, S., (editors), 1984, *Geomorphology and soils*: Boston, G. Allen & Unwin, 441p.

24. Scheidegger, A.E., 1987, *Systematic geomorphology*: New York, Springer-Verlag, 285 p.
25. Schumm, S.A., 1977, *The fluvial system*: New York, John Wiley and Sons, 338 p.
26. Schumm, S.A. and Mosley, M. P., 1987, *Experimental fluvial geomorphology*: New York, Wiley, 413 p.
27. Slattery, M.,(ed.) 2004, *Atlas of Geomorphology on CD.*, Christian University, Texas.
28. Thomas, M.F., 1994, *Geomorphology in the tropics : a study of weathering and denudation in low latitudes*: New York, Wiley, 460 p.
29. Thorn, C.E., (editor), 1982, *Space and time in geomorphology*: Boston, Allen & Unwin, 379 p.
30. Thorn, C.E., 1988, *An introduction to theoretical geomorphology*: Boston, Unwin Hyman, 247 p.
31. Thornes, J.B., and Brunsden, D., 1977, *Geomorphology and time*: New York, Wiley, 208 p.



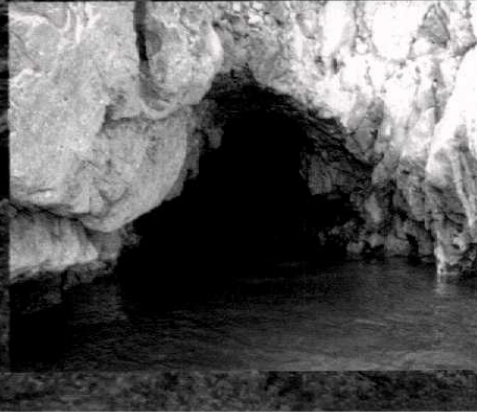
## الفصل الرابع

# أشكال السواحل

أولاً: العوامل المؤثرة في تشكيل السواحل.

ثانياً: أنماط السواحل:

نمط الأول: السواحل القارية الناشئة.  
نمط الثاني: السواحل البحرية الناشئة.  
نمط الثالث: سواحل النشاط العضوي.

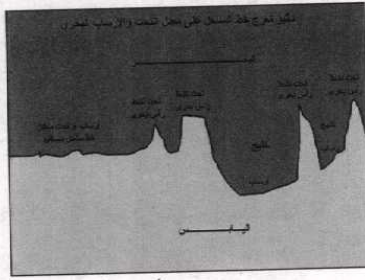




## الفصل الرابع أشكال السواحل

### أولاً : العوامل المؤثرة في تشكيل خط الساحل:

تتميز التعرية البحرية عن جميع عوامل التعرية الأخرى في أن مجال عملها يتركز في نطاق اتصال اليابس بالبحر الذى يطلق عليه تعبير ساحل البحر ، ويتأثر خط الساحل بعدد من العوامل تحدد مدى تعرضه لعمليات النحت أو الارساب البحرى ، ويمكن تقسيم هذه العوامل إلى مجموعتين هما :

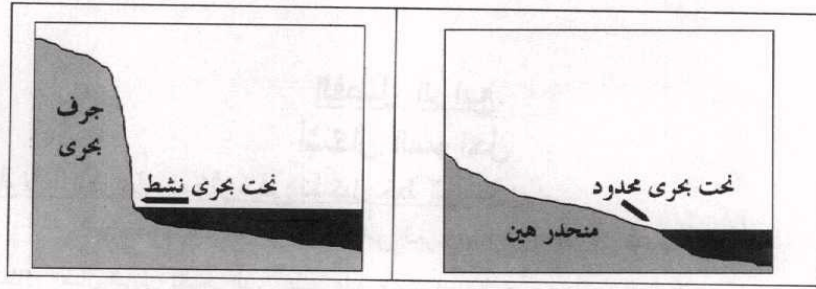


#### المجموعة الأولى : طبيعة المنطقة الساحلية :

١- شكل خط الساحل ومدى تعرجه وتوجيهه بالنسبة للأمواج السائدة ، فخطوط السواحل المتعرجة تشتت تعرية رؤوسها المتوغلة في البحر ، على حين يزداد الترسيب داخل خلجانها ، كما تتأثر بالطبيع المناطق الساحلية المواجهة للأمواج السائدة فيتسارع تراجعها أمام هجمات الأمواج (شكل ١-٤).

شكل (١-٤) تأثير شكل خط الساحل ومدى تعرجه على تحديد عمليات التعرية السائدة

٢- درجة انحدار المنطقة الساحلية وخاصة الجروف البحرية الأكثر تعرضاً لهجمات الأمواج، وكذلك إرتفاع هذه الجروف فكلما انخفضت هذه الجروف ازدادت فرصة نحتها بالأمواج (شكل ٢-٤) .



شكل (٢-٤) تأثير درجة إنحدار المنطقة الساحلية على تحديد نوع العمليات السائدة

٣- صلابة الصخور ودرجة تحملها لنحت الأمواج ميكانيكياً (الناتج عن اصطدام الأمواج) ، وكيميائياً (الناتج عن تفاعل الصخور مع مياه البحر) ، ولعل ساحل "ظفار" بسلطنة عُمان المٌطل على بحر العرب ، وساحل منطقة "سسكس" Sussex جنوب المملكة المتحدة ، وسواحل إنجلترا المٌطلّة على بحر الشمال من أفضل الأمثلة لتراجع السواحل نتيجة ضعف تكويناتها الطباشيرية .

٤- البنية الجيولوجية للمنطقة الساحلية ومدى تأثرها بالانكسارات والالتواءات وأنظمة الفواصل، إذ يسهل نحر الحافات ذات الفواصل المتقاربة ، وكذلك العلاقة بين زاوية ميل الطبقات وتوجيه خط الساحل ، فحينما تميل الطبقات نحو خط الساحل يسهل نحتها بالأمواج، أما الطبقات المائلة نحو اليابس يصعب نحتها بفعل الأمواج وتظل صامدة فترات زمنية أطول نسبياً (صورة ٤-١) .

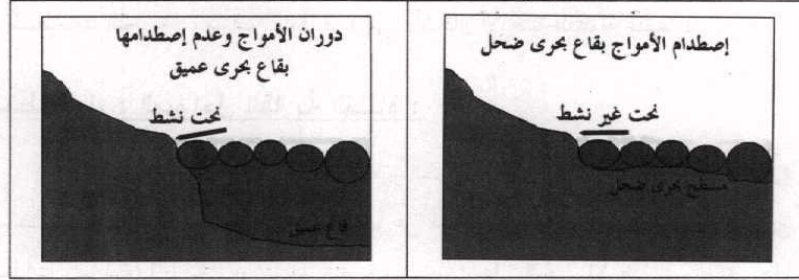


صورة (٤-١) صورة مركبة لساحل إلتوائى النشأة تعرض محوره للتعرية الساحلية النشطة



٥- الغطاء النباتي للمنطقة الساحلية من حيث نوعه ( غابات ، شجيرات ، حشائش ) ومدى كثافته ، حيث يساعد الكساء النباتي الكثيف على حماية السواحل إلى حد ما من غوائل الأمواج.

٦- عمق المياه أمام خط الساحل فالمياه الضحلة تعمل على تكسير الأمواج وإستنزاف طاقتها قبل وصولها للشاطئ ، بينما تساعد المياه العميقة على وصول الأمواج بطاقتها كاملة فيعظم تأثيرها التحاتي (شكل ٤-٣).



شكل (٤-٣) تأثير عمق المنطقة الساحلية على سهولة دوران الأمواج

٧- نوع الصخور على القاع أمام خط الساحل ودرجة مقاومته لعمليات النحت البحري ، ومدى توافر المواد الرسوبية التي يمكن نقلها وترسيبها بالأمواج على الساحل .

المجموعة الثانية : حركة مياه البحر وتغير مستواه :

١- فعل الأمواج : من حيث قوتها ، وإرتفاعها ، وموسميتها ، وتوجيهها بالنسبة لخط الساحل.

٢- تيارات المد والجزر : ومدى تأثيرها بتعرج خط الساحل ، وضحوته ، والموقع الفلكي والجغرافي للساحل .

٣- التيارات البحرية : من حيث قوتها ونوعها وتوزيعها الجغرافي ، ومدى تأثير هذه التيارات بالرياح الدائمة .

٤- الذبذبات في منسوب سطح البحر التي تحدد النطاق الذي يتأثر بالتعرية البحرية نحتاً وترسيباً .

### ثانياً : أنماط السواحل :

تنقسم السواحل وفقاً لاختلاف عوامل نشأتها إلى نمطين أساسيين هما :

**النمط الأول :** السواحل القارية النشأة التي تتكون نتيجة عوامل قارية أى تنشأ على اليابس .

**النمط الثاني:** السواحل البحرية النشأة التي تتكون نتيجة عوامل بحرية أى تنشأ بتأثير حركة المياه في المسطحات البحرية . وسوف نتناول فيما يلي الأشكال الأرضية المتكونة عنهما :

### النمط الأول : السواحل القارية النشأة :

أقترح شيرد (shepard, 1963) تعبير السواحل القارية النشأة ، أو السواحل الأولية أو الشابة، على خطوط السواحل التي تنشأ عن العوامل الغير بحرية ، سواء كانت ناتجة عن العمليات (الباطنية) الجوفية ، أو عوامل التعرية التي تحدث على اليابس الأرضي ، ويصنف هذا النمط من السواحل للأنواع الآتية:

(أ) سواحل النحت القارى والإنغمار البحرى:

#### **Sub-aerial Denudation and Submerged Coasts :**

تنشأ هذه السواحل عن عوامل التعرية القارية وعمليات الإغراق البحرى الذى حدث بسبب الغمر البحرى Marine Transgression ، نتيجة الإرتفاع العام في منسوب سطح البحر على الكرة الأرضية ، بسبب إنصهار الجليد المصاحب لإرتفاع درجة حرارة الكوكب الأرضى خلال عدة أذوار متعاقبة منذ عصر البلايستوسين وحتى وقتنا الحاضر، ويتميز هذا النوع من السواحل بتأثير عمليات النحت التي تقوم بها عوامل التعرية القارية، إلى جانب انغمار خط الساحل بمياه البحر بسبب إرتفاع منسوبه، ويمكن تصنيفه إلى الأشكال الآتية :

#### ١- سواحل مصبات الأودية النهرية ( سواحل الريا ) **Ria Coasts**:

أصل المصطلح أسياني أطلق في أول الأمر على ساحل إقليم ريا في شمال غرب أسبانيا، وتم تعميمه فيما بعد على المصبات الخليجية للأفهار حينما تفرق نتيجة إرتفاع منسوب سطح البحر ، وتبدو " الريا " على شكل خلجان Bays ، أو مداخل بحرية Marine Inlets قُعية الشكل ، تتميز بأتساع مخارجها بالنسبة لأجزائها الداخلية الضيقة الضحلة ، ويصب في كل " ريا " منها أحد الأفهار أو الأودية شبه الحافة ، حيث تلتقي المياه المالحة البحرية مع المياه العذبة النهرية.

وقد صنف بوليج ( Bauling , 1956 ) سواحل الريا الى عدد من الأنواع الثانوية المتباينة من حيث المظهر المورفولوجي العام فيما يلي :

" أ " **سواحل المصبات الضيقة القصيرة** : وأبرز مثال لها في منطقة "كالا Cala " بجزر البليار، وساحل "كالانكي Calanque" الفرنسي ، كما يتمثل هذا النوع من الريا في الشروم Sherum -Sherm المنتشرة على سواحل البحر الأحمر في مصر والسعودية والسودان ، وقد ميز الكاتب عدد منها على الساحل الغربي والشرقي لخليج العقبة في مصر والسعودية ، وأشهرها الشرم الواقع الى الجنوب من جزيرة "فرعون" بالقرب من مدينة طابا .

"ب" **السواحل الطويلة الملائحية Dalmatian Coasts** : المنتشرة على سواحل يوغوسلافيا السابقة ، والتي تتميز بسواحلها الجبلية المقطعة بالأودية الإلتوائية المتوازية ، وهي تبدو بالمظهر الزجاجي Zigzag Vallies .

"جـ" **سواحل المصبات المتسعة** : التي تعترض مخارجها الجوازر البحرية ، ويطلق عليها تعبير "ساحل ليمان Liman Coasts" المأخوذ عن اللغة التركية ويعني البحيرة الساحلية Lagoon، ويرجع سبب التسمية للتشابه بين مظهر هذه المخارج النهرية التي تعترضها الجوازر البحرية وبين البحيرات الساحلية الطويلة الموازية لخط الساحل ، وينتشر هذا النوع من المصبات على سواحل البحر الأسود التركية والروسية.

أما إذا أعترض المصب النهرى حواجز مكونة من الإرسابات الفيضية فيطلق عليه في هذه الحالة تعبير سواحل "ليمان" الفيضية Fluvial Liman Coasts ، ويتمثل هذا النمط في دلتا "الدانوب" على ساحل البحر الأسود ، وبالساحل الشرقى للولايات المتحدة الأمريكية ، وخليج المكسيك ، وحيث تعمل تيارات المد والجزر على إعادة تشكيل الرواسب الفيضية وتكوين الحواجز الرسوبية أمام مصب النهر .

" د " سواحل المصباء المنخفضة المنسوب : وهو أقرب الأنماط للدلالة على مصطلح سواحل المصباء الخليجية Estuary Coasts ، ولعل خليج "تشسبييك Chesapeake" الفرنسى من أبرز الأمثلة لهذا النوع من سواحل الريا.

## ٢- سواحل مصبات الاودية الجليدية (سواحل الفيوردات) Fiord Coasts:

أصل المصطلح نرويجى ويطلق على مصبات الأودية الجليدية العارفة التى تتميز بعدة خصائص جيومورفولوجية أهمها:

- " أ " يشكل الفيورد ذراعاً مائياً متوغلاً داخل اليابس.
- " ب " يتميز بعمق قاعه وخاصة عند اجزائه الداخلية نتيجة اصطدام الكتل الجليدية المنفصلة عن التلاجة بالتالى وخاصة خلال الفترات الباردة من عصر البلايستوسين .
- " جـ " تتميز بعض الفيوردات بإتجاهاتها المستقيمة العمودية على الساحل مما دفع بعض الباحثين لترجيح النشأة الانكسارية لهذه الفيوردات .
- " د " تحيط بالفيورد جروف شبه حائطية مرتفعة مقطعة بالعديد من الاودية المعلقة القديمة النشأة.
- " هـ " يبدو القطاع العرضى للفيورد على شكل حرف U نتيجة احتكاك الجليد المتحرك بجوانبه الحائطية .

"و" ترتبط الفيوردات بالسواحل الغربية للقارات في نصف الكرة الأرضية الشمالي والسواحل الشرقية في نصفها الجنوبي ، بسبب انصهار الكتل الجليدية وانفصالها عن جسم التلحمة عند تلاصقها بالتيارات البحرية الدفينة المارة أمام سواحلها.

"ز" تغطي مخارج الفيوردات حواجز أو عتبات مغمورة مكونة من الارسابات الجليدية . تنتشر الفيوردات على السواحل الغربية للنرويج وأيسلندا وجزيرة جرينلاند وأمريكا الشمالية ، وعلى السواحل الشرقية لنيوزيلندا وأمريكا الجنوبية .

"ح" تتشابه كل من الريا والفيورد في نشأتهما كمصببات غارقة إلا ان الأول له روافد نهرية متصلة بالمصب بصورة مباشرة وعلى نفس المنسوب ، بينما يصب الوادي الجليدي في الفيورد من منسوب شاهق كوادٍ مُعلق Hanging Valley ، وإذا انتهى الوادي الجليدي عند المصب على منسوب منخفض أطلق عليه في هذه الحالة اسم فيارد Fiard أو Fjord.

### ٣ - سواحل الكارست الجيرية karst coasts :

ينشأ هذا النوع من السواحل حيثما تتركب المنطقة الساحلية من الأحجار الجيرية ، أو الطباشير ، أو الدولوميت ، أو الجبس ، بشرط أن تتأثر المنطقة بالأمطار الغزيرة ، أو المياه السطحية الجارية ، وارتفاع منسوب الماء الجوفي ، مما يساعد على تشكيل أحد الأنماط النادرة لمظهر سطح الأرض ، بسبب تأثير فعل الإذابة النشطة للأحجار الجيرية ، ويؤدي الى تكوين العديد من الأشكال الجيومورفولوجية الكارستية على طول خط الساحل مثل : الفجوات والستكهفات والتنوعات وحفر الإذابة الدائرية ، والبرك والبحيرات والأنهار العائرة وغيرها من الأشكال الأرضية .

ويستكون هذا النمط من السواحل في مناطق الكارست في كرواتيا وسواحل جنوب إيطاليا المطلّة على البحر الأدرياتي (صورة ٤-٢) ، والعديد من المناطق الجيرية الأخرى مثل سواحل غرب "فلوريدا" ، وبصفة خاصة على سواحل جزر "الباهاما" والساحل الجنوبي لتركيا، وسواحل محافظة "ظفار" في سلطنة عُمان المطلّة على بحر العرب .



صورة (٢-٤) كهف كارسى تكون عند أقدام جرف بحرى فى منطقة Marina Serra بجنوب إيطاليا  
(تصوير المؤلف فى سبتمبر ٢٠٠٣)

#### (ب) سواحل الإرساب القارى Sub-aerial Deposition Coasts :

ينشأ هذا النمط من السواحل عن عمليات الإرساب التى تتشكل بواسطة عوامل التعرية القارية ، ولكن قد تسهم العوامل البحرية فى إعادة تعديل المظهر المورفولوجى للمواد الرسوبية المستمدة من اليابس ، ويمكن تصنيف هذا النوع من السواحل للأشكال الآتية :

#### ١- سواحل الإرساب النهري Fluvial Deposition Coasts :

يتكون هذا النمط من السواحل بتراكم الرواسب الفيضية على حساب تراجع خط الساحل وينشأ بتأثير الحالات الآتية :

#### "أ" سواحل الدلتاوات (الدالات) Deltaic coasts

تتكون الدلتاوات أو الدالات النهرية حيثما تزداد كمية الرواسب التى ينقلها النهر ويلقى بها عند مصبه البحرى ، بالمقارنة بحجم الرواسب التى يتمكن البحر من إزالتها عن القاع بفعل

الأمواج وحركات المد والجزر والتيارات البحرية. (Shepard, 1971:11). ويمكن إيجاز أهم الظروف الطبيعية الملائمة لتشكيل الدالات البحرية فيما يلي (جودة ، ١٩٨٩ : ١٥٨) :

- ١- عظم الحمولة النهرية ودقة حجم حبيباتها.
- ٢- بطء جريان المياه بالجزء الأدنى من النهر.
- ٣- وصول النهر لمرحلة متقدمة من دورته التحتانية مما يساعد على تراكم الرواسب بالقرب من خط الساحل وعدم دفعها إلى الأعماق البعيدة للبحر بسبب ضعف الطاقة النهرية .
- ٤- هدوء منطقة المصب من الأمواج العاتية والتيارات البحرية النشطة وحركات المد والجزر.
- ٥- قلّة أو إنعدام وجود البحيرات التي تعترض المجرى النهري حتى لا ترسب على قيعانها الرواسب ، مثلما يحدث في دلتا النيل بعد بناء السد وإنحباس الرواسب الفيضية في بحيرة ناصر.
- ٦- أن تكون منطقة المصب ضحلة ولا تعترض لحركات الهبوط التكتوني في حتى تظهر الإرسابات النهرية فوق مستوى سطح البحر ولا تقبض تدريجياً وتغمر بالمياه.

وتأخذ الدالات النهرية عدة أشكال فمنها الدلتا المثلثية الشكل ، التي يتقوس خط الساحل عند شواطئها بسبب تراكم الرواسب النهرية على حساب المسطح البحري، مثل دلتا نهر النيل والرون في البحر المتوسط (صورة ٤-٣)، ودلتا "الجانج" و"إيراوادي" في خليج البنغال، و"السند" في البحر العربي ، ودلتا "البو وتاجليمنتو" في البحر الإندونيسي.

وقد تأخذ الدلتا الشكل المدبب Cuspate ، إذا كانت الأمواج تهب بصورة موسمية وتشتد التيارات البحرية في نفس الوقت، كدلتا نهر التير التي تنمو على شكل رأس بحري متوغل في البحر التيراني ، كما تبدو بعض الدالات على شكل قدم الطائر Bird's Foot مثل دلتا نهر "الميسيسي" المتوغلة في خليج المكسيك كمجموعة أصابع تتخللها بعض الخلجان أو المداخل البحرية ، بسبب زيادة الإرسابات النهرية وضعف الأمواج بالقرب من خط الساحل.



وتخزينها في بحيرة السد العالي ، مما أدى إلى تراجع مصبى فرع رشيد ودمياط بمعدل يصل لنحو ٤٠ متر في العام الواحد (المؤلف ، ١٩٩٥).



صورة (٣-٤) مرئية فضائية لساحل دلتا النيل مأخوذة من مكوك الفضاء

ويظهر من العرض السابق أن بعض الدالات تتكون من مخرج نهرى واحد يتقدم في البحر وتحيط به الإرسابات النهرية تدريجياً ، بينما تتشكل بعض الدلتاوات من عدة مخارج متقطعة مثل دلتا نهر الرون ، كما أن هناك بعض الدلتاوات تتفرع إلى عدد من القنوات النهرية مثل دلتا النيل التي لم يبق منها في الوقت الراهن سوى فرعين منهم (صورة ٤-٣) ، بل أن فرع دمياط يتعرض حالياً للإطماء ومنذ بناء السد العالي ، إلى جانب تعرض دلتا النيل لفعل النهر البحرى ، والتآكل ، والتراجع مرة أخرى ، بعد التحكم في الإرسابات التي كان يلقي بها النهر في البحر المتوسط

وتعد دلتا نهر الفولجا من أكثر الدالات النهرية نمواً ، حيث يصل معدل تقدمها على حساب بحر قزوين أكثر من ١٧٠ متر في السنة ، وذلك بسبب هدوء أمواجه وضخامة قاعه. وعلى النقيض من ذلك يضعف معدل نمو دلتا الجانج بسبب عمق منطقة المصب ، وقد لا تتكون دلتا مطلقاً في بعض الأنهار وإذا كانت مصباتها شديدة العمق مثل نهر الكونغو ، أو بسبب مرور تيارات بحرية قوية مثل مصب نهر الأمازون (Bird, 1970:185).

ويمكن إطلاق مصطلح دالة أو دلتا نهرية على المراوح الفيضية التي قامت ببنائها أودية شبه جافة في المسطحات البحرية المفتوحة ، إلا أنها تكونت خلال مناخات قديمة كانت أكثر مطراً من

الوقت الراهن ، حيث يتشابه تركيبها الرسوبي والمرفولوجي مع الدالات النهرية الحالية (صورة ٤-٤).

صورة (٤-٤) دلتا (مروحة فيضية) عند مصب أحد الأودية الجافة المقطعة لحافة إنكسارية على الساحل السعودي المطل على خليج العقبة .



#### "ب" سواحل السهول الفيضية Alluvial Plains Coasts :

قد لا تتوافر في بعض المصببات النهرية مجموعة الظروف الطبيعية الملائمة لتشكيل الدلتاوات ، وبذلك تنتهي المخارج النهرية بقناة واحدة تحيطها الإرسابات الفيضية ، وقد تتأثر المنطقة الساحلية بتشكيل الجسور الطبيعية Natural Levees ، والمستنقعات الساحلية Coastal Swamps ، والحواجر الرملية Sand Ridges ، والإرسابات الفيضية Fluvial Deposits ، وخاصة في السهول الساحلية المتاخمة لمخرج النهر.

وتتشكل الجسور الطبيعية عن طريق تراكم الرواسب النهرية على ضفتي المجرى أثناء موسم الفيضان ، الناتج عن بطء سرعة جريان التيار النهرى مع زيادة حجم الإرسابات المنقولة أثناء الفيضان ، مما يساعد على رفع منسوب الضفتان تدريجياً كحواجر موازية لضفتي القناة النهرية ، وخلال وقت التحريك تقل كمية الرواسب المنقولة ، وينخفض منسوب المياه في المجرى فيعمل على إطفاء قاعه ورفع منسوبه ، وبذلك يرتفع منسوب المجرى النهرى عن مستوى سهله الفيضى ، مما يهدد المناطق الزراعية بالأخطار الناتجة عن اجتياح المياه لجسورها أثناء الفيضانات المرتفعة.

ويعد نهر "الهوانجهو" من أبرز الأنهار ذات المناسيب المرتفعة بالنسبة لسهولها الفيضية ، وكثيرا ما يحطم ضفافه ويغرق الأراضي الزراعية بالقرب من مصبه عند شبه جزيرة شانتونج الصينية ، كما يهدد مصب نهر الراين الأراضي الهولندية المنخفضة المطلّة على بحر الشمال ، وتنتشر أيضا المستنقعات الساحلية، والحواجر الرملية ، بالقرب من مصب نهر "أورمبا كريك Ourimbah Greek" عند بحيرة "توجيرا Tuggerah" الساحلية ذات المدخل البحري المفتوح على المحيط الهادى ، على الساحل الشرقى لآستراليا ، كما تسهم تيارات المد والجزر فى إعادة توزيع الإرسابات الفيضية المختلطة بالإرسابات البحرية بالقرب من مخارج الأنهار حيث تتخللها بعض المستنقعات الملحية (Bird, 1970:189).

## ٢- سواحل الإرساب الجليدى Glacial Deposition Coasts :

تنشأ سواحل الإرساب الجليدى عند مواضع إلتقاء هوامش الغطاءات الجليدية (خط الثلج الدائم) بخطوط السواحل ، حيث يعمل إنصهار الجليد على ترسيب كميات كبيرة من الحطام الصخرى والمفتتات بمختلف الأحجام (جودة ، ١٩٨٩ : ٢٦٤) . ويمكن تصنيف الأشكال الأرضية الناجمة عن الترسيب الجليدى بالقرب من خط الساحل إلى شكلين هما :

### "أ" سواحل الركامات الجليدية Morainic Coasts :

وهى نطاقات ساحلية تنتشر بها بعض الحواجز أو التلال الطولية الهلالية الشكل، تتميز بانخفاض مناسيبها وتعرجها وتقطعها فى الأجزاء التى أنصهر الجليد ونفذ من خلالها ، وتمتد هذه التلال بصورة عمودية تقريباً على خط الساحل فى معظم الأحيان ، وتتصف المواد المكونة لها بعدم التجانس والتصنيف.

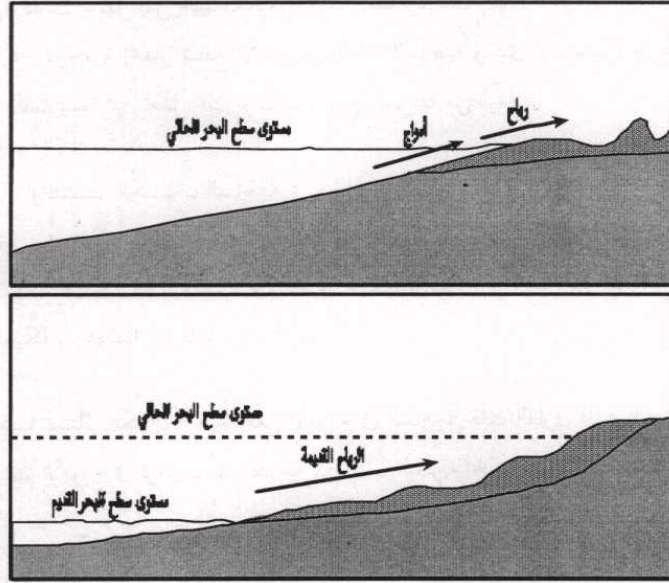
### "ب" سواحل التلال الجليدية Drumlin Coasts :

أصل المصطلح أيرلندى وهو يعنى التل الجليدى الناتج عن الركامات الأرضية أو السفلية ، وتظهر هذه التلال كحافات بيضاوية متطاولة الشكل ، تشير إلى إتجاه حركة الجليد قبل انصهاره (جودة ، ١٩٨٩ : ٢٦٥).

وينتشر هذا النوع من التلال الجليدية على سواحل بعض الجزر المتناثرة بالقرب من الساحل الشمالى الشرقى للولايات المتحدة الأمريكية ، وخاصة جزيرة "لونج أيلند Long Island" ، وعلى تخوم ميناء "بوسطن Boston" ، وخاصة شاطئ منطقة "فانتاسك Nantasket Beach" (Shepard, 1971 :81).

### ٣- سواحل الإرساب بفعل الرياح Aeolian Deposition Coasts:

يتشكل هذا النمط من السواحل عن طريق تراكم التجمعات الرملية بتأثير النقل بالرياح ، ولكن قد يكون مصدر هذه الرمال هو المسطح البحرى نفسه ، حيث تقوم الأمواج بإرساب الحبيبات الرملية على الشاطئ ، فتعمل الرياح على إعادة تشكيلها مرة أخرى (شكل ٤-٤)، وقد يكون اليابس القارى هو مصدر الرواسب الرملية ويقتصر دور الرياح على نقلها لمنطقة الشاطئ ، ولعل أبرز الأشكال الأرضية التابعة لهذا النمط ما يلى :



شكل (٤-٤) مراحل إعادة تشكيل الرواسب البحرية القديمة (الشكل السفلى) بالرياح الحالية (الشكل العلوى)

### "f" سواحل الكثبان الرملية Sand Dunes Coasts :

تشكل سواحل الكثبان الرملية حينما تتجمع الإرسابات الهوائية على السواحل مباشرة، ويتوقف حجم وشكل هذه الكثبان وإمكانية تكوينها على مجموعة من العوامل أهمها:

- ١- طبيعة التركيب الصخري للمنطقة الساحلية ومدى توافر الرمال وقدره الرياح على نقل حبيباتها.
- ٢- اتجاه وسرعة الرياح السائدة في المنطقة وعلاقة اتجاه الرياح بتوجيه خط الساحل.
- ٣- نسبة الرطوبة الجوية حيث تؤدي زيادة الرطوبة إلى تماسك حبيبات الرمل وبالتالي قدرتها على مقاومة نقلها بالرياح.
- ٤- طبيعة حبيبات الرمال من حيث الحجم ، فالرمال الدقيقة الحبيبات من السهل نقلها ، وكذلك يسهل نقل حبيبات الرمل الأكثر إستدارة.
- ٥- درجة إنحدار سطح الأرض في المنطقة الساحلية ومدى تضررها ، ووجود العوائق التضاريسية التي تعمل على إرساب الرياح لحمولتها من الرمال.

وتنتشر الكثبان الساحلية في مناطق متعددة من العالم وخاصة على السواحل ذات الفارق المدي الكبير ، حيث يغطي البحر على الرواسب الرملية أثناء فترات المد العالي ، وتتكشف هذه الرواسب مرة أخرى أثناء حدوث الجزر ، مثل سواحل بحر الشمال في بلجيكا ، وهولندا ، والمانيا ، والدنمارك .

كما تتأثر الكثبان الرملية بفعل الأمواج في السواحل ذات الفارق المدي البسيط ، حيث تسهم الأمواج في ترسيب كميات من الرواسب البحرية الجيرية على الكثبان الهوائية الناشئة ، مثل سواحل غرب وجنوب شرق إستراليا ، وسواحل غرب إفريقيا، وبعض بقاع متفرقة من سواحل الولايات المتحدة الأمريكية سواء المطلّة على المحيط الأطلس أو الهادي ، وسواحل المملكة المغربية المطلّة على المحيط الأطلسي (صورة ٤-٥) .





صورة (٤-٥) كثبان رملية ساحلية جنوب مصب نهر أم الربيع في المحيط الأطلسي بالمغرب  
(تصوير المؤلف في أغسطس ٢٠٠٣)

#### ويمكن تصنيف الكثبان الساحلية Classification of Coastal Dunes للأشكال الآتية:

هناك العديد من المحاولات التي أجريت لتصنيف الكثبان الساحلية ، وقد أعتمد كل تصنيف منها على دراسة مناطق محدودة من سواحل العالم ، وأهم هذه المحاولات : تصنيف فان ديرين (Van Dieren, 1934) ، الذي أعتمد في تصنيفه على دراسة السواحل الألمانية ، وتصنيف بريكيه (Briquet, 1923) للسواحل الفرنسية ، وتصنيف شو (Schou, 1945) لسواحل الدنمارك ، وتصنيف ستيرز (Steers, 1964) لسواحل الجزر البريطانية ، تصنيف كوبر (cooper, 1928) في أمريكا الشمالية ، وجيلشر (Guilcher, 1928) لسواحل غرب أفريقيا ، وتصنيف سميث (Smith, 1924) الذي أعتمد في تصنيفه على عدد من المناطق الساحلية ولذا أتصف بالشمولية ، حيث قسم الكثبان الساحلية للأنماط الآتية (صبرى محسوب ، ١٩٨٦: ٢٥٣):

١- الكثبان الأولية **Primary Dunes** : ويتشكل هذا النمط من الكثبان بواسطة الرمال المنقولة من الشاطئ أو البلاج ثم تتراكم على خط الساحل ، وينقسم هذا النمط إلى شكلين هما :

**الشكل الأول:** الكثبان الأولية الحرة مثل الكثبان العرضية **Transverse Dunes** والكثبان المنحرفة **Oblique Dunes** ، وغالبا ما تتعامد هذه الكثبان على اتجاه الرياح السائدة في مناطق تشكيلها.

**الشكل الثاني:** الكثبان الرملية المقيدة ويرتبط تشكيل هذا النوع من الكثبان بالنباتات، ويظهر عادة خلف الشاطئ ومن أشكالها كثبان الجبهات **Dunes Frontal**، وأرصعة الكثبان الرملية **Dunes Platforms Sand**.

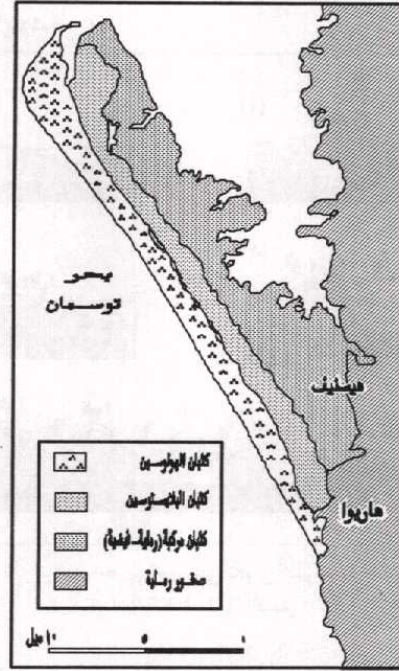
٢- الكثبان الثانوية **Secondary Dunes** : يشق هذا النوع من الكثبان رماله عادة من الكثبان المقيدة ويعاد تشكيلها من جديد بالنقل بالرياح ، وتصنف إلى شكلين هما :  
**الشكل الأول :** الكثبان المقطوعة (المقتطعة) **Parabolic Dunes** وتشمل الكثبان الطولية والفرشات الرملية.

**الشكل الثاني:** الكثبان المتحجرة **Lithified Dunes** وتشمل الكثبان الرملية المتماسكة الحبيبات سواء الرملية أو الجيرية (سوف نتناولها في الفقرة التالية).

"ب" سواحل الكثبان المتحجرة (الحفرية) **Lithified Dunes Coast** :  
تتكون الكثبان المتحجرة من الأحجار الرملية أو الجيرية في معظم الأحوال ، وقد تشكلت هذه الكثبان خلال فترات زمنية قديمة من تجمع الرواسب الرملية الريحية أو الجيرية البحرية المصدر ، وأسهمت الرياح في تراكمها ككثبان موازية لخط الساحل ، وعملت مياه الأمطار خلال



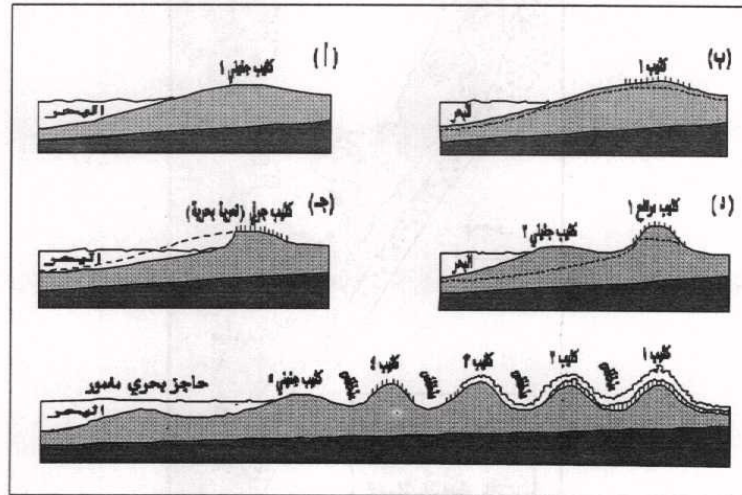
الفتترات المطيرة على إذابة كربونات الكالسيوم الموجودة بحبيبات الرمل ، واستخدامها كمادة لاحمة لحبيبات الرمل وتقليل الفراغات البينية بين حبيباتها ، كما يساعد نمو الغطاءات النباتية الكثيفة فوق الكتبان على استقرارها ، خاصة مع توافر ظروف إنباتها خلال الفتترات المطيرة (شكل ٥-٤).



شكل (٥-٤) كتبان ساحلية متحجرة (حفرية) قديمة

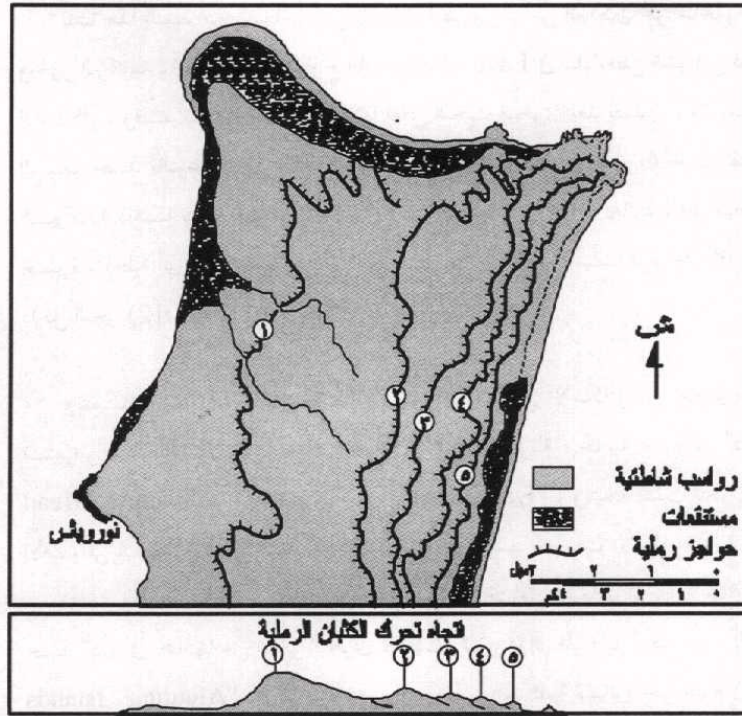
ومن أهم أمثلة الكتبان الرملية المتحجرة مجموعة السلاسل التلالية الممتدة على طول ساحل إقليم مريوط ، من مدينة الإسكندرية شرقا وحتى مدينة السلوم غربا ، بطول حوالى ٥٠٠ كيلو متر ، تمتد خلالها كتبان الحجر الجيري البطروخي بصورة موازية لخط الساحل بلا انقطاع ، وتختصر السلاسل الثلاث فيما بينها مجموعة من المنخفضات أو الأحواض الطولية المستوازية من ناحية والموازية للسلاسل التلالية وخط الساحل من ناحية أخرى ، كما تنتشر

الكتبان المتحجرة على سواحل جنوب أفريقيا ، وجزر الباهاما ، والبرازيل ، وإكوادور ، والساحل الغربي لشبه القارة الهندية في إقليم راجستان ، حيث أثبتت الدراسات أنهما كتبان متخلفة من عصر قديمة ، وخضعت لفترتي جفاف ، انتهت الفترة الأولى منهما بتكوين تربة حمراء على أسطح هذه الكتبان، بينما انتهت الفترة الثانية بحدوث عملية التكلس لتكويناتها (على موسى ، ١٩٨٦ : ١٥٤) (شكل ٤-٦).



شكل (٤-٦) تأثير تراجع خط الساحل على تكوين مجموعة من الكتيبان الساحلية الموازية لخط الساحل المتقهقر

كما ميز المؤلف بقايا بعض التلال الرملية الحفرية Calcarenite على السفوح الشمالية للجبل الأخضر المواجهة للبحر المتوسط ، المنطقة المحصورة بين مدينة درنة ومدينة سوسة في ليبيا ، وهي تشكلت من تراكم الرواسب الرملية بفعل الرياح ثم غمرها البحر خلال الفترات الدفيئة من عصر البلايستوسين ، كما استخدمت بقايا الكائنات الرملية القديمة المتناثرة على سواحل جزيرة "Kangaroo Island" والسواحل الجنوبية لأستراليا في دراسة وربط مناسيب سطح البحر القديمة عن طريق تتبع ومضاهاة بقاياها ، وتفيد هذه الدراسات في تتبع مراحل تطور الكائنات الساحلية في المنطقة (شكل ٤-٧).



شكل (٧-٤) مجموعة كتبان ساحلية متوازية تكونت على شكل حواجز بحرية  
ثم تراجع عنها خط الساحل

#### (ج) سواحل ناتجة عن العوامل الباطنية (الجوفية) Tectonic Coasts :

تشكل بعض السواحل نتيجة عدد من العوامل التكتونية (الجوفية) التي تحدث على  
السياس الأرضي ، ولكنها تسهم في تنوع أشكال السواحل ، ويمكن تصنيفها إلى الأنماط  
الآتية:

### ١- سواحل الثورانات البركانية Volcanic Explosion Coasts :

ينشأ هذا النمط من السواحل عن إنسياب المصهورات من البراكين نحو ساحل البحر، والجزر البركانية، حيث تسهم مراوح اللافا Lava Fans في بناء بعض الشواطئ المقوسة الشكل، وقد تتعرض أنسيابات اللافا لفعل النحت البحرى بعد تصلبها، وتسمح لمياه البحر حينئذ بالتوغل داخل النطاق البركاني، بل وقد تحترق في بعض الأحيان الفوهات البركانية ذاتها نتيجة هبوطها، وينشأ عنها خلجان دائرية متسعة غائرة داخل اليابس أو بحيرة ساحلية أى عكس الرؤوس الأرضية الدائرية الناتجة عن إنسياب مراوح اللافا البارزة داخل البحر (Shepard, 1971:12).

وتتمثل سواحل المصهورات البركانية على سواحل آلاسكا وجزر هاواي، حيث تتعرض اللافا القديمة لفعل النحت البحرى لفترة زمنية طويلة، خاصة عند رأس "دياموند Diamond Head"، وفي جزيرة "أوهو Oahu Islnd"، ونتيجة لذلك تتكون بعض الأقواس البارزة داخل البحر التي استطاعت أن تصمد لهجمات الأمواج العاتية، كما ساعدت الظروف الطبيعية لهذه المنطقة على نمو نطاقات من الشعاب المرجانية ساهمت إلى حد كبير في حمايتها من النحر البحرى، حيث تبدو دوائر المرجان تحيط بجزر "ألوشيان Aleutian Islands"، ولازالت بعض المخروطات البركانية ثائرة حتى اليوم في بعض جزرها (صورة ٤-٦).

كما ساهمت اللافا في بناء مروحة بركانية عظيمة المساحة على سواحل جزر هاواي، ونجحت المياه السطحية في شق مجار لها عبر هذه المروحة، قبل أن تصب في المحيط مكونة دلتا بركانية Volcanic Delta مقطعة بالمجارى المائية.





صورة ( ٤-٦ ) حمم بركانية متصلة على سواحل جزيرة فولكانو شمالى جزيرة صقلية الإيطالية  
(تصوير المؤلف فى سبتمبر ٢٠٠٣)

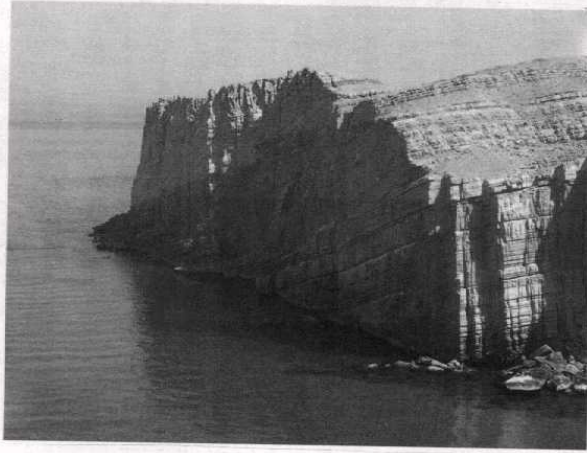
ونستنتج مما سبق أن سواحل الثورانات البركانية تصنف إلى غمطين هما:  
"أ" سواحل تجمع الالفا والمصهورات البركانية وهى تكون بارزة فى داخل البحر  
Volcanic Deposition coasts

"ب" السواحل المقعرة الناتجة عن الإنبثاق البركانى  
Concave coasts Formed by Volcanic explosion

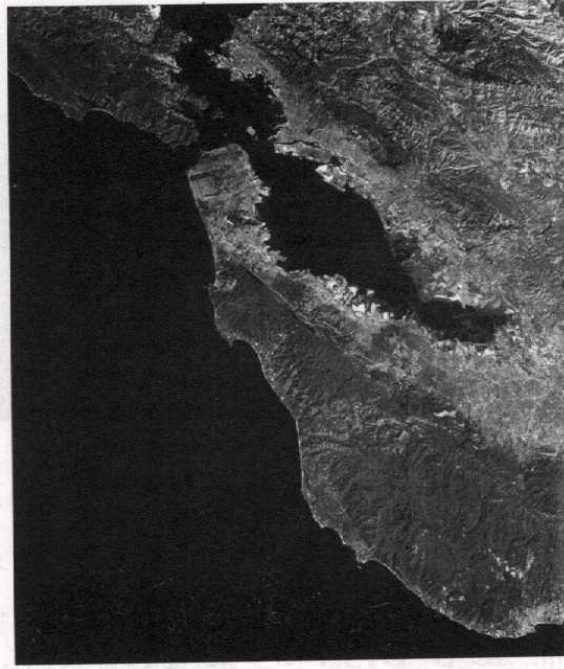
## ٢- السواحل الإنكسارية : Faulted Coasts

تشكل السواحل الإنكسارية فى مناطق الضعف الجيولوجى ، حيث يبدو خط الساحل بصورة خطية مستقيمة ، وتحده مجموعة من الجروف البحرية ، وتحذها الشقوق والثلوم الغائرة الرأسية ، التى تشير إلى حدوث عملية الإنكسار القديمة ، وغالبا ماتتأثر هذه الحواف بآثار النحت البحرى بفعل الأمواج ، حيث تمثل هذه الحافات الجانب المرفوع من الإنكسار ،

على حين يغمر الجانب الهابط من الإنكسار تحت قاع المسطح البحري ، ويتشتر هذا النمط من السواحل في كثير من جهات العالم ، مثل معظم أجزاء السواحل الغربية للأمريكتين ، وبعض أجزاء الساحل السوري المطل على البحر المتوسط ، وسواحل خليج العقبة ، ويقاع متفرقة من سواحل البحر الأحمر (صورة ٧-٤ ، صورة ٨-٤).



صورة (٧-٤) جُرف بحري إنكساري النشأة (تصوير المؤلف في فبراير ٢٠٠٢)



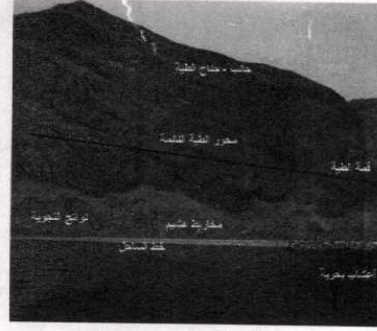
صورة (٨-٤) مرئية فضائية لساحل "سانت أندرياس" الانكسارى

### ٣- السواحل الإلتوائية **Folded Coasts** :

ترتبط السواحل الإلتوائية بنطاقات الضعف الجيولوجى أيضا ، وهناك عدة أشكال للسواحل ترجع فى نشأتها إلى حدوث عملية الطى والإلتواء ، وأهمها الإلتواءات وحيدة الميل التى تعمل على بروز الرؤوس الأرضية داخل المسطحات البحرية ، مثل مجموعة الرؤوس المتوغلة فى البحر المتوسط فيما بين مدينتى الإسكندرية والسلوم ، وأهمها "رأس الحكمة" ، ورأس "علم الروم" ، و"رأس أم الرخم" وغيرها ، وقد تسهم الإلتواءات الغاطسة فى تشكيل السواحل ، حيث تغوص الأجزاء الهابطة من الإلتواءات تحت مستوى سطح البحر ، وتمثلها جهات متفرقة من ساحل خليج "العقبة" جنوبى مدينة "طابا" ، ومنطقة "المعجنة" شمالى مدينة "نويبع" بحوالى ٨ كم (صورة ٩-٤).



صورة (٩-٤)  
صورة مركبة توضح إلتواء مضجع بمنطقة المعجنة  
بالقرب من مدينة نويبع في جنوب سيناء  
(تصوير المؤلف في ١٩٩٩)



#### ٤ - سواحل القباب الملحية Coasts of Salt Domes :

تبدو القباب الملحية الحديثة النشأة على شكل تلال يتباين إرتفاعها بين بضعة أمتار إلى أكثر من ٥٠ متر في بعض الأحيان ، وتتميز بإخداراتها وخطوط تصريفها المائي الإشعاعية ، وقد تشرف هذه التلال القبابية على خط الساحل مباشرة مثل "التل الكبير Big Hill" بولاية تكساس الأمريكية الذي يطل على خليج المكسيك بمنسوب حوالى ٣٥ قدم وقطره ١,٥ ميل ، وتل "باربرز Barber's Hill" الذي قطع شوطا أكبر في دورته التحاتية ، حيث تمكنت عوامل التعرية من تسوية قمته القبابية التي يصل منسوبها إلى حوالى ٨٠ قدم، وقبة "الويلد Weald Dome" التي قطعت شوطا أكبر من مراحل تطورها الجيومورفولوجي المظلة على القنال الإنجليزي جنوبى مدينة لندن.

أما القباب التي قطعت شوطا متقدما في دورتها التحاتية ، فقد تتحول إلى أحواض دائرية الشكل، بعد تمكن عوامل التعرية من تخفيض مناسيبها كإحدى صور الانقلاب التضاريسى ، وتظهر عادة بعيدة عن المناطق الساحلية ، وتتميز بخطوط تصريفها المركزى ،

وتحيط بها مجموعة من حافات أظهر الخنازير Hog-backs ، وإذا غمرت هذه الأحواض بمياه البحر فإنها تبدو على شكل خلجان بحرية دائرية الشكل .

### **النمط الثانى : أشكال السواحل البحرية الناشئة Marine Coasts :**

#### **(أ) سواحل النحت البحرى Marine Denudation Coasts :**

فيما يلي عرض لخصائص أهم أشكال النحت البحرى :

##### **١- الجروف البحرية Marine Cliffs:**

يطلق مصطلح الجرف البحرى على الحافة الصخرية التى تشرف على البحر مباشرة بإنحدار يتراوح بين ٤٥ ، ٩٠ درجة ، وتلاطم الأمواج عادة أسافل هذه الحافات ، وتسمى فى هذه الحالة بالجرف النشط أو الحى ، أما إذا كانت الحافة بمنأى عن تأثير النحت البحرى فيطلق عليها تعبير الجرف الساكن أو الميت ، وعلى ذلك تنقسم الجروف البحرى إلى نوعين هى :

##### **"أ" جروف بحرية نشطة Active Marine Cliff:**

تتأثر الجروف البحرية النشطة بفعل النحت بالأمواج عند حضيضها ولذا تتراجع خلفها ، وتظهر على سفوحها أنماط مختلفة من أشكال حركة المواد بتأثير الجاذبية الأرضية مثل السزحف والانزلاق والتساقط ، كما تظهر أوجه هذه الجروف مكشوفة وتعرض لعوامل النحت البحرى ، ويصنف (جودة ، ١٩٨٩ : ٤١٩) الجروف إلى عدة أنواع هى (صورة ١٠-٤):

##### **١- جروف الصلصال الرأسية.**

٢- الجروف المتأثرة بالانزلاقات الأرضية ذات الطبقات المسامية المنفذة التى تعلو طبقة أخرى صماء تميل فى إتجاه البحر.

- ٣- الجروف الرأسية ذات الصخور المتجانسة ويتراكم أسفلها مخاريط الهشيم الناتجة عن التساقط الصخري (شكل ٤-٨).
- ٤- الجروف المدرجة (السلمية) التي تتكون في الطبقات الصخرية الأفقية المتعاقبة المكونة في الصخور الصلبة والضعيفة المقاومة ، وينتج عنها جروف سلمية الشكل.
- ٥- الجروف المشطوفة وهي التي تتألف من نطاقين العلوي منهما يتكون من منحدرات مغطاه بالكساء النباتي ويقع أسفلها نطاق آخر جرفي يتأثر بالنحت البحري.
- ٦- جروف تميل طبقاتها في اتجاه البحر وتبدو بصورة مسننة بتأثير النحت.
- ٧- الجروف الوعرة وهي تتشكل في الصخور الضعيفة المقاومة لعوامل النحت البحري.



شكل (٤-٨) تأثير النحت بالأمواج على الجروف البحرية



صورة (٤-١٠) جُرف بحري نشط على سواحل منطقة "المغسيل" جنوب مدينة "صلالة" بسلطنة عُمان (تصوير المؤلف في سبتمبر ٢٠٠٣)

#### "ب" جروف بحرية مستقرة Stable Marine Cliff :

عبارة عن جروف صخرية تشرف على الساحل مباشرة ، وتتراكم على أسفلها مخاريط الهشيم فتعمل على حمايتها من تحت الأمواج ، وتبدو منحدراتها بصورة محدبة بسبب تراكم الرواسب على سفوحها ، ويتمثل هذا النوع من الجروف على الحافات المتأثرة بانخفاض مستوى سطح البحر خلال عصر البلايستوسين .

## ٢ - الرؤوس البحرية والخلجان والشروم :

### Marine Headlands , Bays and Coves:

تتكون الرؤوس البحرية والخلجان نتيجة تعرجات خطوط السواحل ، وتبرز الرؤوس داخل البحر بسبب عدة عوامل نحصيها فيما يلي :-

" أ " رؤوس بحرية ليثولوجية **Lithological Marine Headlands**: تنشأ عن صلابة بعض التكوينات الصخرية أمام عوامل النحت البحري .

"ب" رؤوس بحرية بنيوية **Structural Marine Headlands**: تنشأ عن بعض التراكيب البنيوية مثل الثنيات وحيدة الجانب Mono Clinal Folds مثل مجموعة الرؤوس البحرية البارزة على طول ساحل إقليم "مربوط" : "رأس الحكمة" ، رأس "علم الروم" ، رأس "أم الرخم" ، رأس "مرسى جرجوب" وغيرها ، وقد تتكون الرؤوس أيضاً نتيجة الثنيات المحدبة والإنكسارات الممتدة بصورة عمودية على إتجاه خط الساحل .

"ج" رؤوس بحرية تنشأ بسبب ضعف عوامل النحت البحري الذي يحدث نتيجة ضخالة المنطقة الشاطئية ، أو نظم الرياح السائدة بالإقليم ، أو مسارات التيارات البحرية وعلاقتها بتوجيه خط الساحل وغيرها من العوامل .

وتحصر الرؤوس البحرية فيما بينها بعض الخلجان شبه الدائرية أو القمعية الشكل ، التي يتحدد شكلها وإتساعها ودرجة توغلها في اليابس ودرجة تقوس سواحلها بسبب إختلاف العوامل المساهمة في تشكيل كل خليج منها .

## ٣ - الرصيف البحري التحاتي Wave - Cut Platforms :

يرتبط تشكيل الرصيف البحري التحاتي بتراجع الجروف صوب اليابس ، نتيجة عمليات النحت البحري بالأمواج ، والتقويض السفلى لقواعد الجروف البحرية ، وتتميز الأرضفة البحرية بإستوائها وصلقلها نتيجة احتكاك الأمواج بأسطحها ، وتنحدر بصفة عامة نحو

البحر إنحداراً هيناً . وتنتشر على أسطح الأرصفة البحرية المواد الصخرية الناتجة عن تآكل الجرف وتحرك هذه المواد مع إندفاع الأمواج نحو الجرف ، ثم تتراجع مرة أخرى مع إنحسار المياه ، فتسهم بالتالى فى زيادة صقل الرصيف وتسويته (صور من ٤ - ١١ إلى ٤ - ١٤) .

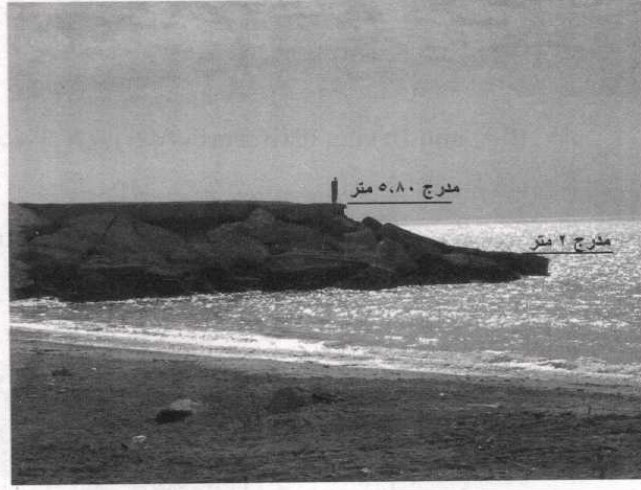


صورة (٤-١١) رصيف وئجرة ناتجة عن تراجع  
جرف بحرى بمنطقة "عجيبه" غرب مدينة  
"مطروح" (تصوير المؤلف فى أغسطس ٢٠٠٢)



صورة (٤-١٢) رصيف بحرى تحاتى قدم يظهر أسفله كهف بمنطقة " Torre dell' Orso " جنوب  
إيطاليا (تصوير المؤلف فى سبتمبر ٢٠٠٣)





صورة (٤-١٣) رصيفان بحريان على ساحل جزيرة "قشم" الإيرانية  
(تصوير المؤلف في مارس ٢٠٠٢)

ويستوقف مدى إتساع الرصيف البحري على عدد من العوامل التي سبق معالجتها في الصفحات السابقة ، ويتحدد بناءً عليها مدى إتساع الرصيف ، وعندئذ يضمحل النحت البحري ويتوقف إتساع الرصيف ليصل بذلك إلى مرحلة التوازن الديناميكي **Dynamic Equilibrium** ، وهناك العديد من أمثلة الأرصفة البحرية المتسعة وأهمها أرصفة جنوب إنجلترا وشمال فرنسا ، وأرصفة خليج "أبولو" على السواحل الجنوبية لأستراليا المكونة في الأحجار الرملية الجوراسية ، كما تصنف الأرصفة البحرية إلى عدة أنواع حسب إختلاف العوامل المؤثرة في تشكيلها (Bird, 1970:61-77) وهي :

#### "أ" الأرصفة المدية **Tidal - Platforms**:

وهي الأرصفة المنحدرة من مستوى المد العالي في إتجاه البحر ، وتنشأ هذه الأرصفة نتيجة فعل الأمواج الديناميكي ، واصطدام الأمواج العاتية بصخور الجرف الضعيفة ، مما يساعد

على إقتلاعها ، خاصة إذا كانت الخصائص الليثولوجية والبنوية للصخور تسمح بزيادة معدل نحتها .

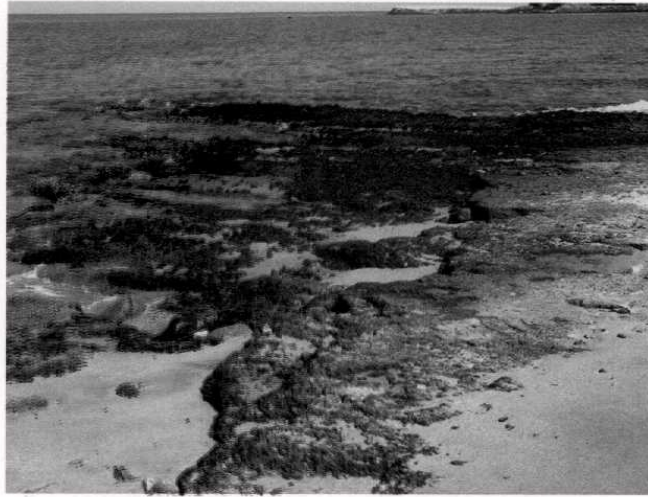
#### "ب" أرصفة الرطوبة والجفاف :Wetting and Drying Platforms:

وهي التي أطلق عليها بيرد (Bird) تعبير أرصفة التجوية المائية Water Weathering Platforms بسبب توالي عمليات غمر الصخور بمياه البحر ، ثم إنحسارها عنها وجفافها ، كما يساعد إرتفاع الأمواج على تحديد مساحة المنطقة المتأثرة بفعل المياه الكيميائي ، كما تسهم مسامية الصخر ، والظروف المناخية السائدة في تحديد سرعة جفاف الصخر من المياه ، فالصخور المنفذة للمياه الخشنة الحبيبات والتي تميل طبقاتها ميلا خفيفا في إتجاه البحر ، تساعد على زيادة معدلات البحر وجفاف الصخر ، وبالتالي تجويته ، خاصة إذا كانت هذه الجروف في مناطق مرتفعة الحرارة (صورة ٤-١٥).

#### "ج" أرصفة الإذابة والنحت الحيوي :Solution And Bioerosion Platforms:

أطلق بيرد ( Bird ) على هذا النوع من الأرصفة تعبير أرصفة المد المنخفض Low Tide Platforms ، وتشكل هذه الأرصفة في الصخور الجيرية الحفرية ذات المظهر الكثبي التي ترجع لعصر البلايستوسين ، وتتكون نتيجة فعل إذابة مياه البحر للتكوينات الجيرية ، وخاصة الشواطئ ذات الفارق المدى المحدود ، ويبدو هذا النوع من الأرصفة على السواحل الجنوبية الغربية لأستراليا حول مدينة "بيرث" ، وعلى سواحل البحر المتوسط بين مطروح والسلوم، ومنطقة الجبل "الأخضر" في ليبيا ، وشمال مدينة اللاذقية على الساحل السوري وحتى قرية "أم الطيور" (صورة ٤-١٦) .





صورة (١٤-٤) رصيف حديث لايزيد إرتفاعه عن متر واحد على ساحل "كلبا" بالإمارات  
(تصوير المؤلف في أكتوبر ٢٠٠٢)



صورة (١٥-٤) رصيف بحري تحاتى يتعرض لفعل الرطوبة والجفاف بالقرب من منطقة "الروشة" في بيروت  
لبنان (تصوير المؤلف في يوليو ٢٠٠٢)





صورة (١٦-٤) رصيف بحري تحاتي يظهر أسفله  
رصيف إذابة تحت مستوى مياه البحر في منطقة  
"عجيبة" غرب مدينة "مطروح"  
(تصوير المؤلف في أغسطس ٢٠٠٢)



صورة (١٧-٤) رصيف بحري تحاتي يتأثر بفعل النحت الحيوي بالطحالب والأشنيات البحرية جنوب مدينة  
بيروت بلبنان (تصوير المؤلف في يوليو ٢٠٠٢)

كما تتكون الأرصفة البحرية كذلك نتيجة النمو المرجاني وعمليات النحت في الشعاب المرجانية القديمة والطحالب البحرية والأشنيات ، وهي التي يطلق عليها الأرصفة الحيوية ، وينتشر هذا النوع من الأرصفة على سواحل جزر هاواي بالمحيط الهادى ، وساحل منطقة "كويرلاند" بأستراليا ، وساحل البحر الأحمر في مصر ، وسواحل لبنان (صورة ٤-١٧).

#### ٤ - الفجوات البحرية Notches:

الفجوات البحرية عبارة عن حروز أو ثلوم أفقية غائرة في قواعد الجروف عند مواضع اصطدام الأمواج بها والتي تتفق مع مستوى المد العالى ، وتشكل هذه الفجوات الموازية لمستوى سطح البحر داخل صخور الجرف البحرى ، وتنمو باستمرار نتيجة الفعل الهيدروليكي لاصطدام الأمواج بأسفل الجرف ، مما يساعد على تكوين بدايات الأرصفة البحرية التي تتسع باطراد على حساب الجرف المتراجع .

#### ٥ - الكهوف البحرية Marine Caves :

تعد الكهوف البحرية إحدى الأشكال الثانوية الناتجة عن تراجع الكهوف البحرية ، وتشكل الكهوف على طول نطاقات الضعف الجيولوجى عند قواعد الجرف ، وتنشأ عن اصطدام الأمواج بها ، فتنهش الصخور القابلة للنحت مكونة نتوءات وفجوات دائرية صغيرة الحجم ، ما تلبث أن تتسع تدريجياً حتى تتحول إلى حجرات غائرة في الحافة الجرفية ، وتتميز هذه الكهوف بإتساع فتحاتها المواجهة لفعل الأمواج وتضيق كلما إتجهنا للداخل ، كما يظهر على أسقفها تأثير التفاعل الكيميائى بين مياه البحر والصخر خاصة إذا كان نوع الصخر قابل للتفاعل والذوبان في المياه ، ومع نشاط عمليات النحت البحرى كثيراً ما يؤدي زيادة توغل الكهف في الحافة الجرفية إلى إهميائه، ويتحول بالتالى إلى مدخل بحرى

. Marine Inlet



صورة (١٨-٤) مدخل كهف بحري جنوب مدينة أترانتو "Otranto" الإيطالية (تصوير المؤلف في سبتمبر ٢٠٠٣)

وتنتشر الكهوف البحرية في جهات متعددة من السواحل مثل سواحل "سسيكس" Sussex وشرق "كنت Kent" في إنجلترا ، وجنوب غرب أستراليا ، وجزيرة "كابري" الإيطالية ، وجزر "أوركني" شمال اسكتلندا ، والجبل "الأخضر" في ليبيا ، ومنطقة "عجينة وأبو هسو ومرسى جرجوب" غربي مطروح ، وساحل قرية "أم الطيور" على الساحل السوري ، وبالقرب من ساحل مدينة "مسقط" بسلطنة عُمان (صورتا ١٨-٤ ، ١٩-٤).



صورة (١٩-٤) كهف ومصطبة بحرية في جزيرة "هيلبر Hilbre" بالقرب من مدينة "ليفربول" ببريطانيا (تصوير المؤلف في سبتمبر ٢٠٠٢)

#### ٦ - الكبارى الطبيعية (١) والأقواس والأنفاق البحرية :

##### Natural Bridges , Marine Arches and Channels :

الأقواس أو الكبارى البحرية هي فجوات متقابلة محفورة في الجروف البحرية بصورة متقابلة ، بحيث تعمل الأمواج على إلتقائها معاً ، ليشكلا فجوة ممتدة في الصخر ، وترتبط هذه

<sup>١</sup> - قد تنشأ الكبارى الطبيعية بمناطق الكارست الجيرية أو بالنحت الريجي ، أو النحت النهري ، وأيضا نتيجة عمليات التجوية الميكانيكية النشطة مثل الكوبري الطبيعي بولاية أوتاه الأمريكية المكونة في الصخور الجوراسية المتأثرة بفعل التقشر ( Fairbridge, 1968 : 766 )

الفجوة عادة بالعيوب الصخرية سواء الليثولوجية " أى ترتبط مع الصخور ضعيفة المقاومة لعوامل النحت ، أو التركيبية أى تمتد مع أحد الفواصل أو الشقوق الصخرية الرأسية " ، ويُطلق تعبير نفق بحرى حينما تمتد الكبارى الطبيعية مسافة كبيرة داخل الكتلة الصخرية ، ولكن مصير الكبارى الطبيعية هو إغيارها أمام هجمات الأمواج وتأثير فعل الإذابة برذاذ مياه البحر ، وعندئذ تتحول إلى مسلة بحرية .

ومن أشهر الأقواس البحرية تلك المتمثلة بمنطقة "دورست Dorest" جنوب إنجلترا ، وساحل "ليفربول" فى بريطانيا ، والساحل الجنوبى لأستراليا ، وسواحل شبه الجزيرة الإيطالية ، وسواحل كرواتيا المطلّة على البحر الإديراتى ، وصخرة "الروشة" على ساحل "بيروت" اللبناى ، وساحل مدينة "مسقط" ، إلى جانب مواضع متفرقة من ساحل الجبل "الأخضر" فى ليبيا (صورتا ٢٠-٤ ، ٢١-٤).

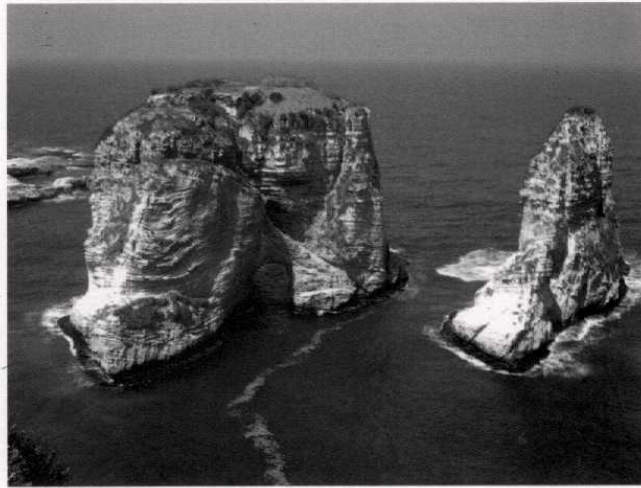
#### ٧ - الثقوب الانفجارية ( الخيشوم الساحلى ) : Blow - Hole :

تنشأ الثقوب الانفجارية عند تضاعف الفعل الديناميكى للأمواج داخل الكهوف البحرية حينما يتصادف وجود أحد الشقوق أو الفواصل الرأسية داخل الكهف، فيعمل تضاعف فعل الأمواج على توسيع الشق أو الفاصل حتى تخرج المياه على هيئة رذاذ من سطح الأرض. وتتمثل هذه الظاهرة الفريدة على شواطئ جزر "الباهاما" ، وميزها المؤلف على ساحل البحر المتوسط شرقى بلدة "النحيلة" غربى مطروح وساحل منطقة "المغسيل" جنوب مدينة "صلالة" فى سلطنة عمان (صورة ٢٢-٤).





صورة (٢٠-٤) قوس بحري مكون في الأحجار الرملية في جزيرة "هيلبر Hilbre" بالقرب، من مدينة "ليفربول" بريطانيا (تصوير المؤلف في سبتمبر ٢٠٠٢)



صورة (٢١-٤) القوس البحري الشهير المقابل لمدينة "بيروت" (تصوير المؤلف في يوليو ٢٠٠٢)





صورة (٢٣-٤) ثقب إنفجاري على ساحل  
منطقة المغسيل جنوب مدينة صلالة بسلطنة  
عمان (تصوير المؤلف في سبتمبر ٢٠٠٣)



#### ٨ - المسلات البحرية :

##### **Marine Stacks - sea Needles - Pillars - Chimney Rocks:**

أصل المصطلح مأخوذ عن اللغات المحلية لبعض الجزر الاسكندنافية ، حيثما تنتشر هذه الظاهرة ، وهى عبارة عن أعمدة من الصخور الناتجة كجزر فى البحر ومتاخمة للجروف البحرية، وتنشأ عن تراجع هذه الجروف ، وتساقط أسقف الأقواس والكبارى أمام هجمات الأمواج ، ومصير هذه المسلات أيضا هو النحت و التآكل تماما ، على الرغم من مقاومتها لفعل النحت البحرى فترات زمنية طويلة ، إلا أنها هى الأخرى تتعرض للانقسام والتآكل والتفتت ، وخاصة حينما تكتشف الأمواج مواطن الضعف الجيولوجى عند أسافلها فتعمل على تحشها وإلتهامها ، وقد يطلق تعبير الأعمدة البحرية Marine Pillars أو المداخن البحرية Marine Chimney على المسلات الطويلة المحدودة القطر (صورة ٢٣-٤).

صورة (٤-٢٣)  
مسلة بحرية بمنطقة "العقة" على ساحل خليج  
عُمان بالإمارات ، يبدو عند أقدامها مدرج بحري  
لا يتجاوز منسوبه ١٧٠ سم  
(تصوير المؤلف في فبراير ٢٠٠٢)



#### ٩- المداخل البحرية Marine Inlets :

يعبر هذا المصطلح على ممر مائي ضيق يتداخل في اليابس وكثيرا ما يتأثر بتيارات المد والجزر ، وقد ينشأ المدخل البحري عن إنحيار أسقف الكهوف البحرية أمام هجمات الأمواج ، كما ترتبط المداخل البحرية أيضا بمصببات الأنهار ، والأودية الجليدية. وعلى ذلك تصنف المداخل للأنماط الآتية تبعا لاختلاف أسلوب نشأتها (صورة ٤-٢٤):

#### "أ" المداخل البحرية الإنكسارية Faulted Marine Inlets :

تنشأ عن الإنكسارات وخاصة إذا كان خط الإنكسار عمودي على إتجاه خط الساحل، ويكون المدخل البحري أكثر عمقا في حالة الأغوار الصدعية .

#### "ب" المداخل البحرية الإلتوائية Folded Marine Inlets :

تتكون المداخل البحرية الإلتوائية نتيجة الضغط الناتج عن شد الطبقات الصخرية المتلوية مما يعمل على ظهور بعض الشقوق الطولية المرتبطة بمحور الالتواء ، فتصبح هذه الشقوق فريسة سهلة أمام هجمات الأمواج ، فيسهل إزالتها وتداخل أذرع من المياه داخل اليابس.

#### "ج" المداخل البحرية الليتولوجية Lithological Marine Inlets :

قد تتشكل المداخل البحرية بالإرتباط مع بعض التكوينات الجيولوجية ضعيفة المقاومة لفعل النحت البحرى ، فسرعان ما تتآكل مكونة ممر مائى ضيق متنوغل باليابس.

#### " د " المداخل البحرية النهرية Fluvial Marine Inlets :

يرتبط هذا النوع من المداخل البحرية مع مصبات انهار النهرية سواء كانت دائمة الجريان أو موسمية أو حتى شبه جافة ، مثل المداخل المنتشرة غربى مرسى مطروح لأودية "عجيسة والحشايفى" ، وأودية الجبل "الأحضر" بليبيا وساحل الصومال. وقد يُطلق على هذه الظاهرة تعبير المصبات النهرية الخليجية Estuaries .

#### " هـ " المداخل البحرية الجليدية Glacial Marine Inlets :

قد تتكون المداخل البحرية عند مصبات الأودية الجليدية ، وذلك فى حالة عدم توافر الظروف الطبيعية الملائمة لتشكيل الفيوردات على السواحل الغربية للقارات فى العروض الشمالية .

#### " و " المداخل البحرية المدية Tidal Marine Inlets :

قد تسهم تيارات المد والجزر المرتفعة فى زيادة تداخل بعض الأذرع البحرية نتيجة إزالة ونقل الإرسابات من هذه الخلجان فى إتجاه البحر المفتوح .

#### " ز " المداخل البحرية الناتجة عن إنهار أسقف الكهوف البحرية :

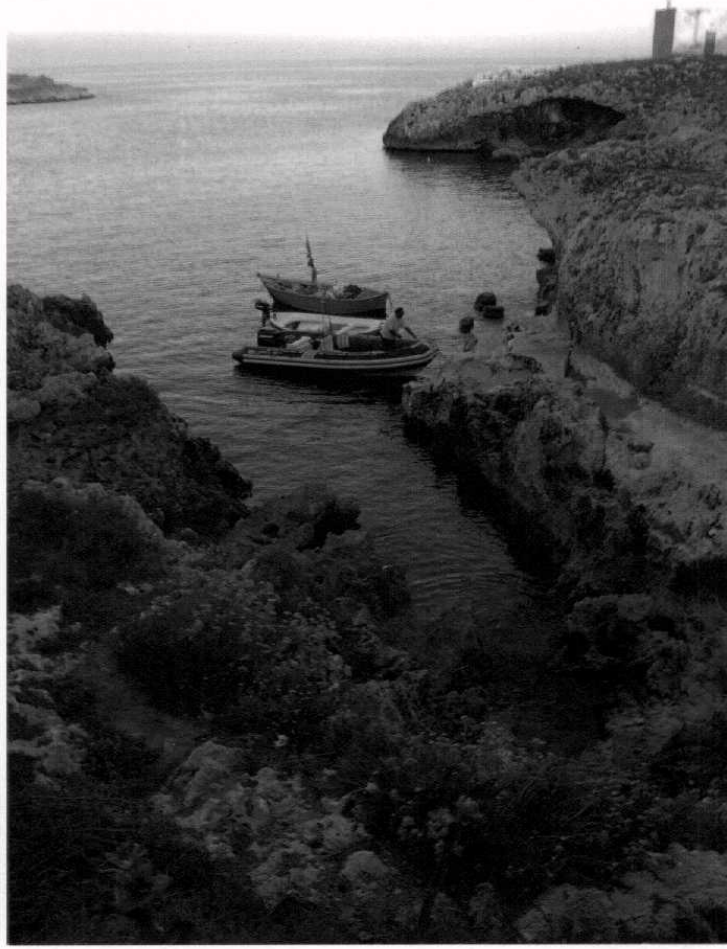
##### Marine Inlets Due to Caves

قد تنهار أسقف الكهوف البحرية أمام هجمات الأمواج فتعمل على تشكيل مداخل بحرية تستوغل فى اليابس ، وقد يرتبط إنهار الكهف بأحد العيوب الجيولوجية فى بعض الأحيان .

#### " ح " المداخل البحرية المركبة Composed Marine Inlets :

قد تنشأ المداخل البحرية نتيجة اشتراك أكثر من عامل من العوامل السابقة مثل تكوين المداخل الرجراجية عند المصبات النهرية الإنكسارية .





صورة (٢٤-٤) مدخل بحري في منطقة "مارينا سيرا Marina Serra" بجنوب إيطاليا المطل على البحر  
الإدرياتي (تصوير المؤلف في سبتمبر ٢٠٠٣)





## ١٠ - أشكال النحت الكيميائي Chemical Denudation Features :

يتركز تأثير الفعل الكيميائي لمياه البحر على الأحجار الجيرية وغيرها من الصخور القابلة للتفاعل مع الماء سواء بفعل الإذابة أو الكربنة أو الأكسدة ، خاصة وأن مياه البحر لها القدرة على إذابة ثاني أكسيد الكربون من الصخر خاصة أثناء الليل، لأن درجة حموضة المياه تتناسب تناسباً عكسياً مع درجة الحرارة ، ولذلك فنجد أن الحمضية تكون أكثر ارتفاعاً مع برودة الليل ، كما تعمل المياه على تفكك وتحلل بعض المعادن التي تدخل في تركيب الصخور، وقد لوحظ أن معادن الفلسبار الأرتوكلاسي والهورنبلند وصخور البازلت والابسيديان تتحلل في المياه المالحة بسرعة أكثر من تحللها في المياه العذبة بنحو عشرة أضعاف مرة في المتوسط (جودة ، ١٩٨٩ : ٤٠٩) وينتج عن التفاعل الكيميائي مع صخور السواحل العديد من الأشكال الجيومورفولوجية (Bird, 1970) التي تظهر فيما بين مستوى المد المنخفض والعالي (١) :

### (ب) سواحل الإرساب البحرية Marine Deposition Coasts :

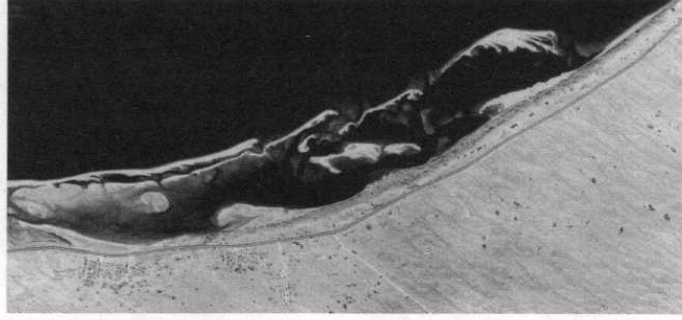
يمكن تقسيم السواحل الإرسابية إلى مجموعة من الأشكال الأرضية هي :

#### ١- الحواجز البحرية Marine Bars :

عبارة عن سلاسل تلالية مغمورة تحت سطح البحر تتكون من الرواسب والمفتتات البحرية الدقيقة الحجم ، وتظهر في صورة حواجز ممتدة فوق مستوى سطح البحر أثناء فترات الجزر ، وهي تشبه في امتدادها علامات الأمواج Ripple Marks ، إلا أنها أكبر حجماً وأقل تناسقاً وانتظاماً منها ، وهي تتشكل في المياه الضحلة بالقرب من خط الساحل ، وتتركب من الرمال المشكلة من الكوارتز والجير والكربونات (صورة ٤-٢٥).

<sup>١</sup> - راجع أشكال الإذابة بالمياه في الفصل الأول (موضوع التجوية الكيميائية) .

وهناك عدة مصطلحات تطلق على الحواجز البحرية منها السلاسل الطائرة Flying Bars ، وحواجز الشاطئ الأمامي Offshore Bars ، وحواجز المستنقعات الشاطئية Marsk Beach Ridges ، والحواجز الأصبعية Finger Bars ، ويطلق المسمى الأخير على الحواجز البحرية الممتدة عند مصب نهر الميسيسي ، ويعبر كل مصطلح من التعبيرات السابقة على حالة خاصة من أشكال الحواجز البحرية ، ولكن يظل تعبير حواجز الشواطئ الأمامية Offshore Bars كمصطلح جامع لكل هذه الحالات. وتصنف الحواجز البحرية إلى الأنواع الأتية حسب أسلوب تشكيلها :



صورة (٤-٢٥) صورة جوية توضح مجموعة حواجز بحرية موازية لخط الساحل في إمارة رأس الخيمة بدولة الإمارات

#### "أ" الحواجز البحرية الطولية Longitudinal Marine Bars:

وهي حواجز ممتدة بصورة منفردة أو مزدوجة أو ثلاثية ، وتكون متوازية وموازية لخط الساحل ، وتبدو هذه الحواجز مستقيمة الامتداد أو منثنية تبعا لظروف تشكيلها ، إذ إنها ترتبط في نموها بتيار الإزاحة الطولي فتمتد بصورة موازية له .

الصفحات من ٢٧٣ الى ٢٨٨

ساقطة من اصل المصدر

الصفحات من ٢٧٣ الى ٢٨٨

ساقطة من اصل المصدر

الصفحات من ٢٧٣ الى ٢٨٨

ساقطة من اصل المصدر

الصفحات من ٢٧٣ الى ٢٨٨

ساقطة من اصل المصدر

الصفحات من ٢٧٣ الى ٢٨٨

ساقطة من اصل المصدر



الصفحات من ٢٧٣ الى ٢٨٨

ساقطة من اصل المصدر

الصفحات من ٢٧٣ الى ٢٨٨

ساقطة من اصل المصدر

الصفحات من ٢٧٣ الى ٢٨٨

ساقطة من اصل المصدر

الصفحات من ٢٧٣ الى ٢٨٨

ساقطة من اصل المصدر

الصفحات من ٢٧٣ الى ٢٨٨

ساقطة من اصل المصدر

الصفحات من ٢٧٣ الى ٢٨٨

ساقطة من اصل المصدر

الصفحات من ٢٧٣ الى ٢٨٨

ساقطة من اصل المصدر



الصفحات من ٢٧٣ الى ٢٨٨

ساقطة من اصل المصدر

الصفحات من ٢٧٣ الى ٢٨٨

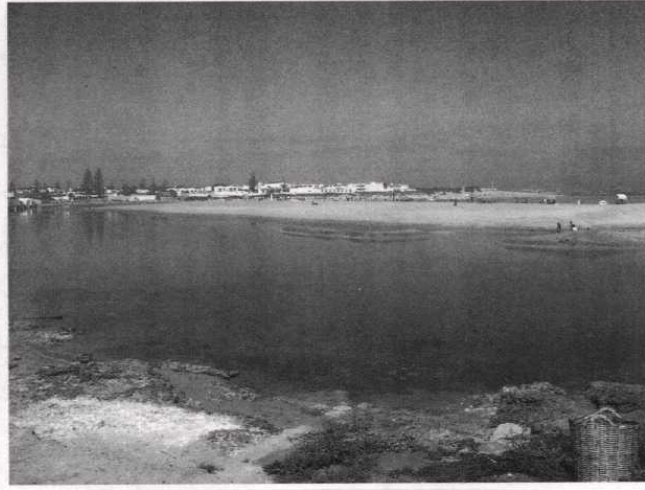
ساقطة من اصل المصدر

الصفحات من ٢٧٣ الى ٢٨٨

ساقطة من اصل المصدر

الصفحات من ٢٧٣ الى ٢٨٨

ساقطة من اصل المصدر



صورة (٤-٣٣) بحيرة "الوليدية" الساحلية الواقعة على ساحل المحيط الأطلسي بالمغرب جنوب الدار البيضاء بحوالى ١٢٠ كم (تصوير المؤلف فى أغسطس ٢٠٠٣)

وعادة ما تقع هذه الفتحات فى نطاقات محمية من خط الساحل حيث تكون الأمواج ضعيفة مع وجود تيارات متبادلة بين البحر ومسطح البحيرة ، مما يعمل على حماية هذه الفتحات من الإطماء والانسداد التام وكثيرا ما يتم تعميق بواغيز البحيرات المستغلة إقتصادياً مثل بحيرات "الردويل" و"البرلس" و"المزلة".

كما يمكن تصنيف البحيرات الساحلية تبعاً لاختلاف عوامل تشكيلها إلى المجموعات الآتية:

#### المجموعة الأولى : البحيرات الساحلية القارية المنشأة Continental Lagoons :

وهى البحيرات التى ساهمت فى تشكيلها عوامل جيومورفولوجية قارية وتشمل ما يلى:

"أ" بحيرات ساحلية عند المصببات الخليجية Estuarien Lagoons

"ب" بحيرات ساحلية دلتاوية Deltaic Lagoons

"ج" بحيرات ساحلية ناتجة عن الإرساب بالرياح Aeolian Deposits Lagoons

المجموعة الثانية : البحيرات الساحلية البحرية النشأة **Marine Lagoons** :

وهي البحيرات التي ساهمت في تشكيلها عوامل جيومورفولوجية بحرية وتشمل ما يلي:

"أ" بحيرات تنشأ عن الحواجز البحرية **Barrier Lagoons**

"ب" بحيرات تنشأ عن الخطاطيف البحرية **Lagoons due to Hooks**

"ج" بحيرات تنشأ عن الألسنة البحرية **Lagoons due to Spits**

"د" بحيرات ساحلية تنشأ عن التسرب تحت السطحي :

ينشأ النوع الأخير بتسرب المياه تحت السطحي لتعويض البخر من المنخفضات المجاورة لخط الساحل ، مما يسهم في تكوين نطاق ضحل من البحيرات الساحلية ، وتنتقل المياه من البحر للمنخفض بخاصية الضغط الأسموزي من المحلول الأقل تركيز للمحلول الأكثر تركيز تبعاً لارتفاع نسبة ملوحة مياه البحيرة المغلقة بسبب البخر ، وكثيراً ما تتحول هذه البحيرات إلى نطاق من المستنقعات نتيجة تراكم الرواسب والمواد الدقيقة العالقة ، مما يسهم في تهيئة الظروف الملائمة لنمو بعض النباتات والحشائش والطحالب ، مثل بحيرة الشمس المتاخمة لساحل "طابا" المطل على خليج العقبة ، وكذلك البحيرة المتشكلة على جزيرة "فرعون" جنوبي مدينة "طابا" ببضعة كيلو مترات .

"هـ" بحيرات ساحلية عضوية النشأة **Organic Lagoons** :

يرجع تشكيل هذا النوع من البحيرات إلى نمو بعض الكائنات العضوية الحية ، مثل الشعاب المرجانية ، والطحالب ، وغابات المنجروف وغيرها ويوضح الجدول التالي أبعاد وأعماق بعض البحيرات الساحلية العضوية الكبرى بالعالم (Daly, 1910).

مسلسل	إسم البحيرة	المنطقة	أقصى عمق للبحيرة بالأقدام	متوسط العمق بالأقدام	أقصى إتساع للبحيرة بالأقدام	طول البحيرة
١	فيتن ليفو	جزر فيجي	٤٦	٣٥	٣٠	٣٨
٢	نوسوكا	جزر تونغا	٤٨	٤٠	٢٠	٢٥
٣	شمال مال	جزر المالديف	٣٨	٣٣	٢٠	٢٤
٤	مولاكو	جزر المالديف	٤٢	٣٥	١٥	٢٥
٥	سوفالديفا	جزر المالديف	٤٨	٤٠	٣٣	٥٠

وينمو المرجان عادة على شواطئ هذا النوع من البحيرات الساحلية نتيجة توافر الظروف الطبيعية الملائمة لنموه ، وخاصة إرتفاع درجة حرارة المياه ، وزيادة نسبة ملوحتها ، بالإضافة السئ شفافيتها ونقاها، ويقتصر نمو الشعاب المرجانية على ضفاف البحيرة الضحلة في صورة أرصفة موازية لخطوط سواحلها دون أجزاءها الداخلية العميقة، ويطلق على هذه البحيرات تعبير الخندق المائي Moat ، أو المداخل البحرية Lagoonlet ، نظرا لشدة أعماقها بالنسبة لإتساعها المحدود.

وهناك العديد من الأشكال الجيومورفولوجية الثانوية التي تتشكل بالبحيرات الساحلية العضوية وأهمها مايلي :

#### ١- شاطئ البحيرة الساحلية Lagoon Beach :

عبارة عن هوامش رملية متاخمة لساحل البحيرة الساحلية ، وينتشر على هذه الهوامش زبد الشاطئ ، والأرسابات الدقيقة والمواد العالقة .



#### ٢- مسطح البحيرة الساحلية Lagoon Flat :

مسطح مستوى تقريباً ، ويتأخم شاطئه البحيرة في إتجاه قاعها ، وهو يتكون عادة من الصخور الأصلية التي ينمو عليها المرجان ، وينتشر على هذا المسطح التجمعات الرملية، والطين المرجاني بالتتابع مع حفر ضحلة تعلوها تجمعات المرجان .

#### ٣- حافة البحيرة الساحلية ( Lagoon Cliff ) :

وهي عبارة عن حافة صخرية مغمورة بالمياه ، تفصل بين أعماق البحيرة وشواطئها، وأحياناً ما تتشكل هذه الحافة في صورة مدرجات متوازية تشير إلى تتابع الذبذبات في مستوى سطح المياه بالبحيرة .

#### ٤- جزر البحيرات الساحلية Lagoon Islands :

جزر بارزة فوق صفحة المياه داخل مسطح البحيرة الساحلية نتيجة نمو الشعاب المرجانية من ناحية ، وانخفاض مستوى الماء بالبحيرة من ناحية أخرى ، مما يسهم في بروز هذه الجزر المتناثرة المحدودة الإتساع .

#### "و" بحيرات ساحلية مركبة النشأة Compound Lagoons :

وهي تلك البحيرات التي يشترك في تشكيلها أكثر من عامل جيومورفولوجي ، مثل البحيرات التي تنشأ عن الارساب النهري بالإشتراك مع الخطاطيف ، أو الحواجز ، أو الألسنة البحرية التي تتكون من الرواسب الغليظة المتأثرة بالتيارات البحرية الموازية لخط الساحل ، مثل اللسان البحري الممتد بمحاذاة ساحل مدينة "دهب" بشبه جزيرة سيناء ، الذي تشكل بتأثير دفع التيار البحري الشمالي للرواسب التي يلقي بها وادي "الغائب" في قاع خليج العقبة ، ليدفعها التيار البحري جنوباً تاركاً بحيرة ساحلية مفتوحة بين اللسان وخط الساحل، حيث تستغل في أغراض الرياضات البحرية لرواد المنشآت السياحية المشيدة بالمنطقة .

نستنتج مما سبق أنه يمكن استخلاص العوامل المؤثرة في تشكيل البحيرات الساحلية ، وتحديد أنماط تطورها الجيومورفولوجي في مجموعة العوامل الآتية :

- ١- مدى ثبات مستوى سطح البحر ودرجة تأثره بتيارات المد والجزر .
- ٢- قوة وتوجيه الأمواج بالنسبة لخط الساحل :

فقد لوحظ أن الحد الأقصى لإرتفاع الأمواج المساهمة في تشكيل البحيرات الساحلية لا يتعدى المترين ، ولا تزيد فترة الموجة ( الفترة الزمنية اللازمة لمرور قمتين متتاليتين ) عن خمس ثوان ، ويزداد تأثير الأمواج في تشكيل البحيرات الساحلية كلما قلت قيمة الزاوية المحصورة بين إتجاه الأمواج وخط الساحل .

- ٣- شدة وتوجيه التيارات البحرية :

يعظم تأثير التيارات البحرية في حالة وجود كميات من الرواسب الدقيقة الحجم بدرجة تلائم قدرة دفع التيارات البحرية السائدة بالمنطقة .

- ٤- طبيعة المنطقة الشاطئية وتشمل مدى توافر الكثبان الرملية الساحلية والإرسابات الفيضية ، التي يمكن استخدام موادها في بناء الحواجز والألسنة البحرية .
- ٥- الظروف المناخية للإقليم : وتشمل درجة الحرارة ومدى مساهمتها في تحديد معدل تبخر المياه بالبحيرة ، ومدى تعويضه بمياه البحر المارة من خلال الفتحات والبواغيز الموصلة بين المسطح البحري والبحر .
- ٦- طبيعة الغطاء النباتي ودوره في حماية مداخل البحيرات من التآكل والنحت البحري ، والعمل على تماسك التربة على شواطئ البحيرة .
- ٧- نوع الكائنات الحية التي تعيش بالبحيرة وتأثيرها على سلامة وتوازن النظام البيئي بالبحيرة ، ومدى مساهمة هذه الكائنات في تنشيط معدلات الترسيب على القاع ، وتأثيرها على درجة ملوحة مياهها .
- ٨- التدخل البشري : ويشمل التدخل السلبي الذي يعمل على إندثار البحيرة الساحلية بردم سواحلها ، مثلما حدث للبحيرات الشمالية لدلتا النيل، أو الدور

البشرى الإيجابي الذى يعمل على حماية مداخل وبواغيز البحيرة بتطهيرها ، لتنشيط وتجديد مياهاها للمحافظة على نسب ملوحتها ، مثل إنشاء الكبارى والبواغيز الصناعية التى أقيمت على بحيرات "Gippsland" فى أستراليا، وبحيرات جنوب أستراليا .

### النمط الثالث :سواحل النشاط الحيوى Bio-Coasts:

ينشأ هذا النمط من السواحل بتأثير بناء الكائنات العضوية ، وهو يصنف إلى الأشكال

الآتية:

#### ١- سواحل الشعاب المرجانية Coral Reef Coasts :

الصدفية Shelly Organisms (صورة  
٣٤-٤).



صورة (٣٤-٤) شعاب مرجانية متصلة على ساحل  
جزيرة "قشم" الإيرانية  
(تصوير المؤلف فى نوفمبر ٢٠٠٢)

تتركب الشعاب المرجانية من صخور  
جيرية ( كربونات الكالسيوم) تم بناءها  
بواسطة كائن بحرى دقيق هو الحيوان  
المرجانى Coral Poluses ، عن طريق  
استخلاص كربونات الكالسيوم وترسيبها  
بعد موت الكائن الحى فى صورة بعض  
الأنسجة أو التراكيب الهيكلية غير المنتظمة  
الشكل ، وبعد موت الكائن الحى تتكون  
كتل كلسية على شكل شعب مرجانية  
كتلية Massive Reef ، يبدأ نموها من  
قاع السطح البحرى الضحل ويعلو تدريجيا  
حتى يصل لمستوى الجزر ، وتنمو حولها  
وداخلها بعض النباتات والطحالب الدقيقة  
والرخويات Nolluscs ، والقواطع

ويتضح من العرض السابق أن نشأة الشعاب المرجانية تنتج من عمليات الترسيب العضوي للكائنات الحية ، ولكن يعاد تشكيلها مرة أخرى بواسطة عمليات التحت البحري ، ويزداد تعقيد أشكالها إذا ما تأثرت بالعمليات (الباطنية) التكتونية (محمد صبرى محسوب ، ١٩٨٦ : ٢٦٦).

وهناك عدة عوامل تتحكم في معدل نمو الشعاب المرجانية وهي التي توفر الظروف الطبيعية الملائمة لإزدهاره وهي (Davies, 1980 : 66):

١- درجة حرارة المياه : يرتبط نمو المرجان بالمياه الدافئة التي تتراوح درجة حرارتها بين ٢٥ و ٢٩ درجة مئوية.

٢- الضوء : يتطلب نمو المرجان قدر كاف من الأشعة الشمسية ، وأفضل معدل لنمو المرجان يكون في المياه الصافية حيث يستطيع الضوء الوصول لعمق ٩٠ متر ، ولكن يزدهر نمو المرجان من سطح البحر وحتى عمق ٢٠ متر حيث تتمتع المياه السطحية بأعلى قدر من أشعة الشمس.

٣- نسبة ملوحة المياه : يتحمل المرجان نسبة ملوحة تتراوح بين ٢٧ إلى ٤٠ في الألف ولكن تعتبر نسبة ٣٥ في الألف البيئة المثالية لإزدهاره، ولذلك يتعذر وجود الشعاب المرجانية أمام مصبات الأنهار والأودية شبه الجافة ، وكذلك فإن الملوحة البالغة الإرتفاع أكثر من ٤٠ في الألف تعد بيئة غير صالحة لنموه.

٤- الإرتكاز على صخور القاعدة المرجانية : يحتاج المرجان في نموه إلى صخور صلبة يمكن أن يرتكز عليها ، وهو لا يمكنه النمو فوق الرواسب المفككة .

٥- حركة المياه : يعتبر تحريك المياه من العوامل المساهمة في إزدهاره للأسباب الآتية:

- "أ" توزيع درجة حرارة المياه وزيادة تحماتها.
- "ب" منع ترسيب المواد الدقيقة على جسم الكائن البحري مما يعوق نموه.
- "ج" تقليص الكتلة المائية للحصول على البلاكتون من القاع وجعله في تناول المرجان ليتغذى عليه.
- "د" إرتفاع نسبة الأكسجين اللازم لتنفس المرجان وخاصة أثناء الليل حيث تتوقف الطحالب الملتصقة بجسم المرجان عن إفراز الأكسجين ليلاً.

وتصنف الشعاب إلى عدة أشكال تبعاً لتقسيم دارون Darwin هي :

#### "أ" هوامش المرجان ( أطر المرجان ) Fringing Reefs :

تعد الهوامش الشكل الأساسي لنمو الشعاب المرجانية ، وأبسطها وأكثرها إنتشاراً، وهي تتكون من قشرة خارجية ضحلة أو رفرف ضحل Shallow shelf تمتد بالقرب من خط الساحل ، أو حول شواطئ الجزر في النطاقات التي تتلائم ظروفها الطبيعية مع نمو كائن المرجان، وتتميز هوامش المرجان باستوائها واتساعها الذي يبلغ حوالي ٥٠ متر ، ويصل في بعض الأحيان إلى أكثر من الكيلومتر ، وتشتد درجة انحدار أطرافها الخارجية المواجهة للبحر ، حيث يتراوح انحدارها بين ٢٥ و ٤٠ درجة، وغالباً ما يكون المرجان حياً في هذه الأطراف. وتستجبه هوامش المرجان إلى تشكيل نطاقات دائرية تحيط بالرؤوس البحرية ، وتبدو كمراوح مرجانية Coral fans وأنصاف دوائر شبه مستوية.

#### "ب" أرضة المرجان Platform Reefs :

يتشكل هذا النمط من المرجان بصفة عامة على شكل بقع دائرية أو بيضاوية الشكل من الشعاب المرجانية المستوية يرتبط سطحها بمستوى الجزر ، ويطلق عليها تعبير أرضة المرجان حينما تستعدى أقطارها الميل ، أما التي تقل أقطارها عن هذه القيمة فإنها تسمى بالبقع المرجانية Patch Reefs ، أو الرفارف المرجانية Shell Reefs، أو الضفاف المرجانية Bank Reefs ، ويطلق على بعضها أيضاً تعبير الكدوات المرجانية Hummock Reefs ، وتتكون أرضة المرجان في المسطحات البحرية التي تتراوح أعماقها من ٢٠ و ٤٠ متر على الرفارف القارية ، وتنمو بصورة متناثرة بغير انتظام في بعض الأحيان ، ولكنها غالباً ما تتشكل في أحزمة تحيط بالرؤوس البحرية بالقرب من خط الساحل كبقع دائرية متلاصقة مكونة من الشعاب المرجانية الثلاثية المظهر.

### "ج" الحواجز المرجانية Barrier Reefs :

تمتد الحواجز المرجانية بصورة موازية لخط الساحل وتبعد عنه بمسافة تزيد عن ٣٠٠ متر ، وتصل أحيانا إلى بضعة كيلومترات ، بحيث تفصلها عنه قناة طويلة عريضة من مياه البحر، تتقطع أحيانا وتتحول إلى بحيرات ساحلية طويلة ضحلة تغطي قيعانها الرواسب وفتات الشعاب المرجانية ، وتتميز الحواجز بإخضرارها الشديد في جوانبها المواجهة للبحر بعمق يصل أحيانا إلى أكثر من ١٠٠٠ متر ، وتبدو جوانبها الداخلية بإخضرار هين ، حيث تنمو عليه بعض السقع المرجانية البارزة المحدودة الحجم ، والأعمدة المرجانية Pinnacle Reef ، والرؤوس المرجانية Coral Heads ، وتُحصر بينها وبين خط الساحل بعض التجويفات العميقة التي تتحول إلى بحيرات ساحلية طويلة الشكل ، تتراوح أعماقها بين ٨٠ و ٥٠ متر

ويعد الحاجز الإسترالي العظيم أطول الحواجز المرجانية في العالم ، حيث يمتد لأكثر من ٢٠٠٠ كم ، بالقرب من ساحل كوينزلاند الإسترالي ، وينحدر جانبه المواجه للمحيط بأكثر من ٤٠ درجة ، بحافة يصل عمقها لأكثر من ١٨٠ متر، بينما يصل أقصى عمق على جانبه الداخلي حوالي ٤٥ متر ، ويحصر داخله نطاق من البحيرات الساحلية الضحلة التي تتميز بالاستواء والانتظام (صورة ٤-٣٣) .



صورة (٤-٣٥) صور جوية لأثنتين من الجزر المرجانية التي ترسبت فوقها طبقة من الرمل بفعل الأمواج والتيارات البحرية وتيارات المد والجزر قبالة إمارة أبوظبي<sup>١</sup>

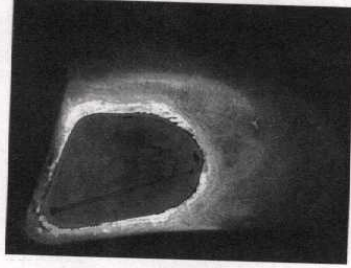
<sup>١</sup> تصوير الأستاذ / عمر البحرة أثناء رحلة بطائرة عمودية (هليكوبتر) لدراسة بعض أشكال الجزر الرسوبية على سواحل الخليج العربي بدولة الإمارات ضمت الدكتورة/ عائشة المطوع برفقة المؤلف في أبريل ٢٠٠٢

### "د" الحلقات المرجانية Atolls :

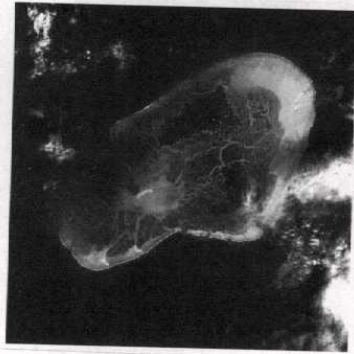
أصل المصطلح أتولو Atolu ، مأخوذ عن سكان جزر المالديف بالمحيط الهندي، وهو يعبر عن حلقات مرجانية دائرية الشكل ، تحصر داخلها بحيرة ساحلية ضحلة لا يزيد عمقها عن بضعة أمتار .



صورة (٣٦-٤) جزيرة حلقية تعرضت للهبوط غير المتساوي ضمن أرخبيل "بولينيزيا polynesia"



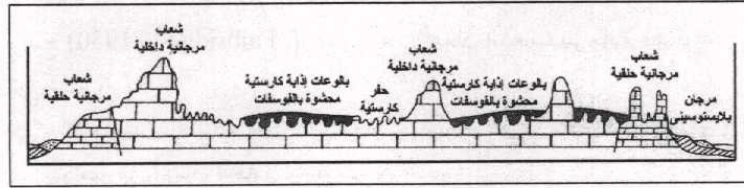
صورة (٣٧-٤) جزيرة حلقية تُدعى "Baker Island" ضمن مجموعة جزر "هاواي" بالمحيط الهادي



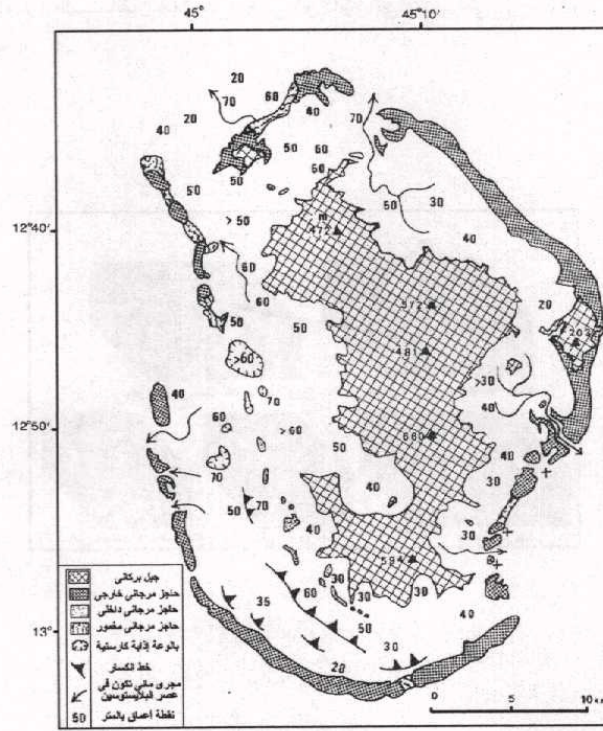
صورة (٣٨-٤) جزيرة حلقية بالمحيط الهادي تكونت فيها بحيرة تحتل فوهة بركان قديم

وقد تبدو بعض الحلقات المرجانية ذات شكل بيضاوي، أو على هيئة حدود الحصان ، أو ذات شكل غير منتظم في بعض الأحيان ، وكثيرا ما تحتوى الحلقات المرجانية على عدد من الفجوات أو الممرات التي تصل بين البحيرة الداخلية والمسطح البحري المحيط بها ، وتتناثر الحلقات المرجانية في أنحاء المحيط الهادي والهندي وأهمها جزر المالديف ، وجزيرة جلبرت ، والجزر المنتشرة في بحر المرجان وبحر تسمانيا. (شكلا ١٣-٤ ، ١٤-٤ ، وصور من ٤-٣٦ إلى ٣٨-٤) .





شكل (١٣-٤) مقطع عرضي في جزيرة "نارو-Nauru" المرجانية الواقعة في المحيط الهادى (المصدر: Guilcher, A, 1988:167)

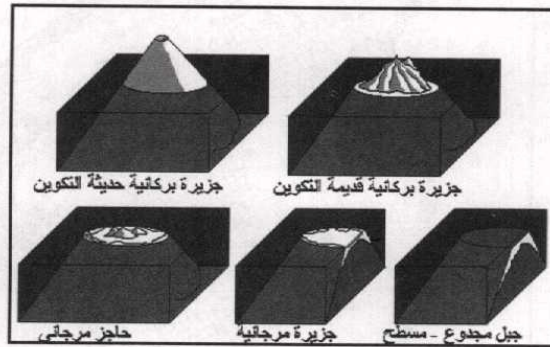


شكل (١٤-٤) مورفولوجية جزيرة "مايوت Mayotte" المرجانية بالجزء الغربي من المحيط الهندي (المصدر: Guilcher, 1988:120)



وهناك عدة أسس تُتبع في تصنيف الحلقات المرجانية ، أهمها التقسيم الذى اقترحه فيربريدج ( Faibridge , 1950 )، اعتمادا على أعماق الشعاب المرجانية عند قواعدها وهى (شكل ١٥-٤) :

"أ" الحلقات المرجانية المحيطية Oceanic Atolls وهى التى ترتبط بالإنشاقات البركانية وتصل إلى أعماق تتجاوز ٥٠٠ متر .  
 "ب" حلقات الرفارف القارية Shelf Atolls : ينمو هذا النوع من الحلقات على الرفارف القارية الضحلة الى لايزيد أعماق قواعدها عن ٥٠٠ متر .  
 "ج" الحلقات المرجانية المركبة Compound Atolls وهى الحلقات التى ترجع للنمطين السابقين معا مثل الجزر البركانية التى تنشق على أرضية الرفارف القارية الضحلة .



شكل (١٥-٤) بعض أنواع الجزر المرجانية الحلقية

## ٢- سواحل المحار البحرى Oyster Reef Coasts :

تمثل سواحل المحار البحرى المرتبة الثانية من حيث الإنتشار بين الكائنات الحية بعد الشعاب المرجانية ، وتمتد تكوينات المحار البحرى على شكل سلاسل طولية ممتدة على مسافات طويلة على الشاطئ ، وتتميز بضيق نطاقها الموازى لخط الساحل ، حيث يتراكم المحار الحى فوق بقايا المحار الميت الذى يفترش بعض الشواطئ ، وهى تنتشر على سواحل الولايات المتحدة الأمريكية وخاصة سواحل ولاية "تكساس" وسواحل ولاية "نيوجرسى" ، وجزر "نيوزيلند" .



صورة (٣٩-٤) ساحل يتشكل من المحاريات فى خور  
كلبا الواقع على خليج عُمان بدولة الإمارات  
(تصوير المؤلف فى أكتوبر ٢٠٠٢)

وتتشكل سواحل المحار بصورة أساسية من بقايا الرمال والحصى العضوى ومكسورات المحاريات مكونة رسوبيات مغمورة على الشاطئ الأمامى ، كما تكون هذه البقايا بعض الألسنة البحرية المتصلة باليابس من أحد طرفيها ، أو حواجز بحرية موازية لخط الساحل ، وذلك حسب طبيعة التيارات البحرية والأمواج، ويمكن إنجاز مجموعة العوامل المؤثرة فى إنتشار المحار البحرى على المناطق الساحلية فيما يلى ( Lund )

(صورة ٣٩-٤) 1957:316:

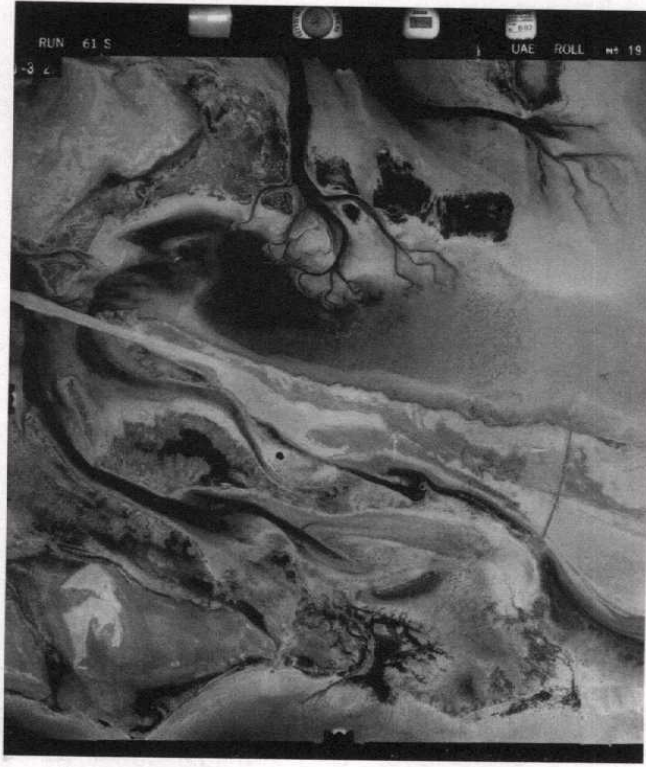
- "أ" مدى توافر المواد الغذائية التى تنقلها التيارات البحرية.
- "ب" يتطلب نمو المحاريات صفاء المياه وارتفاع نسبة الملوحة.
- "ج" يزدهر نمو المحار بعيدا عن المصببات الخليجية للأفهار والمداخل البحرية ، التى يرتفع فيها الفارق المدى ، حيث تعمل حركات المد والجزر على تعكير صفاء المياه .
- "د" يسود المحار البحرى فى السواحل التى لا تتعرض لتباينات حادة فى درجات حرارة المياه ونسب ملوحتها.

"هـ" ينتشر المحار في المناطق التي تتميز باستقرار قيعانها ، وعدم تعرضها لعملية النحت البحري وحركة المواد على قيعانها.  
 "و" تتراوح درجة حرارة نمو المحار البحري بين ١٥ و ٢٥ درجة مئوية ، كما تتراوح نسب ملوحة المياه المناسبة لنموه بين ١٠ و ٣٠ في الألف.

### ٣- سواحل المانجروف (القرم) Mangrove Coasts :

سواحل المانجروف (القرم) عبارة عن نطاقات مستنقعية تنمو بها غابات من الشجيرات تنغمر جذوعها بمياه المد البحري ، وهذه الشجيرات لها القدرة على تحمل بعض الملوحة وقد يصل إرتفاعها إلى ١٢٠ قدم ، وأقطارها إلى ثلاثة أقدام، وقد تغطي غابات المانجروف (القرم) أجزاء من اليابس بالإضافة إلى إنتشارها على الشواطئ الضحلة لمسافة تصل إلى أربعين مترا داخل اليابس وخاصة إذا كان يغمر أحيانا بتيارات المد العالى.

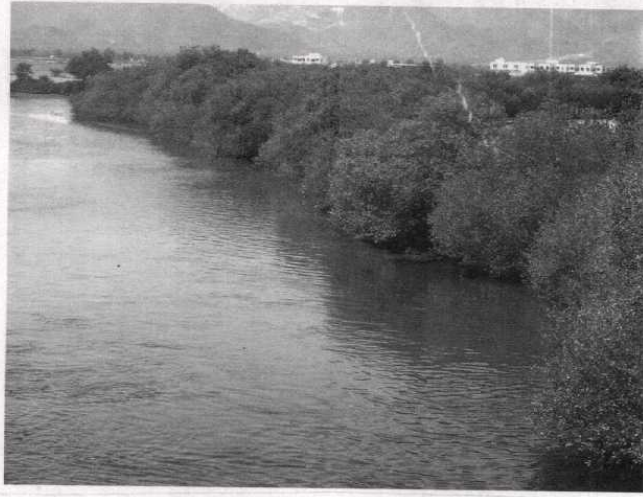
ونادراً ما تتعدى مساحة غابة المانجروف (القرم) أكثر من ٥٠٠ ميل مربع، وهناك العديد من الغابات الكبيرة المساحة ، وخاصة الغابات المنتشرة على الساحل الغربي لولاية فلوريدا الأمريكية ، وعلى سواحل كلومبيا المطل على المحيط الهادى ، وعند المصب الخليجي لنهر "جويياكيل" Guayaquil في إكوادور ، وعلى سواحل جزر الفلبين، وتغطي مستنقعات المانجروف (القرم) حوالى عشرة آلاف ميل مربع من سواحل العالم ، وهى تشكل نحو ١% من مساحة جميع أنواع المستنقعات المعروفة على سطح الأرض (صورة ٤-٤٠).



صورة (٤٠-٤) صورة جوية لبعض قنوات الجزر التي تنتشر على ضفافها شجيرات القرم على سواحل إمارة رأس الخيمة بدولة الإمارات

وتتغمر أرضية مستنقعات المانجروف (القرم) عادة بالمياه خلال فترات المد العالي، ولكن قد تظل هوامشها الداخلية بمنأى عن الغمر البحري، وأثناء إنحسار المياه في فترات الجزر تنكشف الأرض وتجف عنها المياه وتظهر عليها بعض القنوات المتعرجة الضحلة، تمر فيما بين الشجيرات لتصريف المياه نحو البحر، كما تبدو مساحات متناثرة تغطيها الأعشاب الملحية، وتتخللها مساحات من الطين (صورة ٤١-٤).





صورة (٤-٤١) شجيرات القرم الكثيفة على ساحل حور "كلبا" الواقع على خليج عُمان بدولة الإمارات  
(تصوير المؤلف في أكتوبر ٢٠٠٢)

وهناك مجموعة من الضوابط تتحكم في معدل نمو شجيرات المانجروف (القرم) وتحدد مدى إنتشارها وهي :

"أ" تنمو أشجار المانجروف (القرم) على السواحل المحمية من هجمات الأمواج أو التي تتعرض للأمواج الضعيفة.

"ب" تنمو أشجارها في السواحل الضحلة لأن جذور الشجيرات الصغيرة لا تستطيع التوغل في المياه التي يتجاوز عمقها المترين خلال فترات الجزر.

"ج" تستطيع أشجار المانجروف (القرم) التكيف مع ظروف المياه المولحة ، ولذلك فهي تنتشر عند المصببات الخليجية للأفهار والأودية شبه الجافة ، وخاصة التي تلقى بكميات كبيرة من الرواسب الطينية.

"د" ترتبط غابات المانجروف (القرم) بالسواحل ذات الفارق المدى الكبير والتي تتميز بتضاريسها السهلة غير المعقدة في العروض الدفئية .

ويمكن تصنيف مستنقعات المانجروف (القرم) إلى ثلاثة أنماط أساسية اعتماداً على مصادر رواسبها وهي:

- "أ" المستنقعات ذات الإرسابات الأصلية الموضعية الناتجة عن تحلل النباتات ، أو عملية الكربنة التكوينية الطينية ، مثل مستنقعات سواحل جنوب غرب ولاية "فلوريدا" وسواحل "جامايكا" ، وجزر "الباهاما" في المحيط الأطلسي.
- "ب" المستنقعات ذات الإرسابات المنقولة من خارج المستنقع سواء من البحر أو اليابس المتناخم له ، وهي أكثر شيوعاً من النوع السابق وتنتشر في كثير من سواحل العالم.
- "ج" المستنقعات ذات الإرسابات المختلطة من النوعين السابقين ، مثل مستنقعات سواحل "كلومبيا".

وقد تصنف المستنقعات تبعاً للشكل الجيومورفولوجي المرتبطة به فقد تقسم إلى المستنقعات الدلتاوية، ومستنقعات البحيرات الساحلية ، وتلك المرتبطة بالمصببات الخليجية ، أو الحواجز البحرية (1: West, R. C., 1956).

#### ٤- سواحل حشائش المستنقعات Marshgrass Coasts :

يرتبط هذا النمط من السواحل بالمستنقعات والسيخات الساحلية التي تسمح ظروف بيئتها الطبيعية بنمو بعض الحشائش التي لها القدرة على التكيف مع تلك الظروف ، خاصة إرتفاع نسبة ملوحة المياه وفقير ترابها ، ويمكن تصنيفها إلى الأنواع الآتية :

"أ" للمستنقعات الساحلية البحرية الناشئة المتطورة عن البحيرات الساحلية تبعاً لتراكم الإرسابات على قيعانها ، وتستمد هذه المستنقعات مياهها من المسطح البحري المتناخم لها.

"ب" المستنقعات الساحلية القارية الناشئة التي تستمد مياهها من اليابس الأرضي المجاور ، سواء بالأنسياب السطحي ، أو بالتسرب تحت السطح.

"ج" المستنقعات الساحلية الموسمية التي تجف تماماً في أحد فصول السنة وخاصة إذا كانت تستمد مياهها من اليابس القاري ، أو تتعرض للتحفاف على فترات متقطعة إذا كانت ترتبط بتذبذب مستوى المد والجزر في المسطح البحري ، وتنتشر حشائش المستنقعات على ساحل البحر الأحمر وخاصة في منطقة الجمشة ، وجنوب طابا بحوالى ٦ كم في بحيرة أو بركة "الشمس".

#### ٥- سواحل الطحالب البحرية Algal Reefs coasts :

تتركب سواحل الطحالب من بقايا عضوية متحجرة هي في الواقع طحالب كانت تنمو في فترات زمنية سابقة ، وهي تنتشر على بعض السواحل البحرية والمحيطية وبعض البحيرات المالحة ، وقد يرجع تكوين هذه الطحالب إلى فترات جيولوجية قديمة ، وقد عثر على الطحالب مكونة من الطحالب المتحجرة ترجع لما قبل الكمبري ، وتصنف سواحل الطحالب البحرية إلى ثلاثة أنواع أساسية هي:

##### أ" نباك الطحالب البحرية Algal Hummocks :

وهي عبارة عن تلال صخرية محدودة الارتفاع تتكون من بقايا الطحالب المتحجرة يستفاوت ارتفاعها بين ٣٠ إلى ١٠٠ سم ، وهي تأخذ عدة أشكال في توزيعها الجغرافي بالمنطقة الشاطئية ، فقد تتناثر بصورة منفردة ، أو في مجموعات متجاورة في صفوف شبه منتظمة ، وهي ترتبط بظروف المياه شديدة الملوحة ، ولعل شاطئ خليج شرك Shark Bay على الساحل الغربي لأستراليا يعتبر أوضح نموذج لهذا النوع من نباك الطحالب البحرية (Logan,B.W.,1961) .

##### ب" أرضه الطحالب البحرية Algal Platforms :

وهي تبدو كأرضية مستوية السطح ممتدة بصورة موازية لخط الساحل ، وهي تظهر بصفه خاصه في بعض أجزاء ساحل ولاية فلوريدا الأمريكية حيث تشكل هذه الأرضية من طبقة سمكية من الطحالب المتحجرة مكونة فوق الرصيف البحري النحائي القديم الذي يتكون بدوره من الأحجار الجيرية (Ginsburg ,1960).

##### ج" حواجز الطحالب البحرية Algal Ridges :

تأخذ بقايا الطحالب البحرية في هذه الحالة مظهر الحواجز البحرية الموازية لخط الساحل ، وتتميز بارتفاعاتها المحدودة التي تتراوح بين نصف المتر والمترين ، وتعرض هذه الحواجز لهجمات الأمواج مما يعمل على تفتت بقاياها ، وهي تنتشر في أجزاء معينة من سواحل المحيط الهادى والمحيط الهندي (Newell,et al,1957) .



قائمة المراجع:

أولاً : المراجع باللغة العربية :

١. جودة حسنين جودة (١٩٧٦) معالم سطح الأرض ، دار المعرفة الجامعية ، الإسكندرية .
٢. ----- (١٩٨٩) الجيومورفولوجيا ، دراسة في علم أشكال سطح الأرض، دار المعرفة الجامعية الإسكندرية
٣. حسن سيد أحمد أبو العيني (١٩٩٥) أصول الجيومورفولوجيا ، دراسة الاشكال التضاريسية لسطح الأرض ، مؤسسة الثقافة الجامعية، الإسكندرية.
٤. محمد صبرى محسوب (١٩٨٦) جيومورفولوجية السواحل ، دار الثقافة للنشر والتوزيع ، القاهرة.
٥. محمد مجدى تراب (١٩٩٧) أشكال السواحل المصورة ، منشأة المعارف ، الإسكندرية .

ثانياً : المراجع باللغة الإنجليزية:

1. Baulig,H. (1956) Vocabulaire Franco-Anglo Allemand de Geomorphologie, Paris,Publ.Fac.Lettres Univ. Strasbourg,No.130,230p.
2. Baker,G. (1956)*Sand Drift at portland Harbour, Victoria. Proc.R.Soc.Vict.*68,151-198
3. Bird, E. C. F. 1993. *Submerging Coasts*. Wiley, Chichester, England. GB451.2 B58.
4. ----- (1970) *Coasts "An introduction to Geomorphology"*, London
5. Davis, R. A. 1994. *The Evolving Coast*. Scientific American Library, New York.
6. Davis, R. A. 1996. *Coasts*. Prentice-Hall.
7. Dolan, R. et al. 1980. Barrier islands. *American Scientist* 68, 16-25. LJ115 S5 A3
8. Dolan, R. and Lins, H. 1987. Beaches and barrier islands.*Scientific American* 257 (1), 68-77. T1 S3

9. Guilcher, A. (1958) *Coastal and Submarine Morphology*, (ed. Sparks, B.W., and Kneese, R.H.), London.
10. Johnson, D.W. (1919) *Shore Processes and Shoreline Development*. John Wiley & Sons, New York, pp.159-403
11. Kaufman, W. and Pilkey, O. H. 1983. *The Beaches are Moving: The Drowning of America's Shoreline*. Duke University Press. GB460 A2 K38.
12. Komar, P. D. (ed.) 1983. *Handbook of Coastal Processes and Erosion*. CRC Press, Boca Raton. GB451.2 C73
13. Leatherman, S. P. 1982. *Barrier Island Handbook*. College Park, Maryland. GB474 L42
14. -----, 1987. Annotated chronological bibliography of barrier island migration. *Journal of Coastal Research* 3, 1-14. QH541.5 C65 J68 .
15. -----, 1991. Coasts and beaches. In Kiersch, G. A. (ed.), *The Heritage of Engineering Geology, 183-200. Geological Society of America Centennial Special Volume 3*. TA705 H47 .
16. Maragos, J. E. et al. 1973. Tropical cyclone Bebe creates a new land formation on Funafuti Atoll. *Science* 181, 1161-1164. Q1 S3
17. Oertel, G. F. and Leatherman, S. P. (eds.) *Barrier Islands*. *Marine Geology* 63, 1-367.
18. Pilkey, O. H. and Wright, H. L. 1988. Seawalls versus beaches. *Journal of Coastal Research* 4, 41-64.
19. Pethick, J., 1984, *An introduction to coastal geomorphology*: Baltimore, Edward Arnold, 260 p.
20. Pilkey, O. H. and Dixon, K. L. 1996. *The Corps and the Shore*. Island Press, Washington, DC. TC223 P55.
21. Schou, A. (1945) *Det Marine Forland*, *Folia Geogr. Dcnica*, 4, pp.1-236

22. Shepard, F.P. (1963) *Submarine Geology*, 2nd ed. Harper & Row, New York, pp. 5-54
23. Shepard, F.P. (1971) *Our Changing Coastlines*, New York, pp. 551
24. Slattery, M. (ed.) 2004, Atlas of Geomorphology on CD., Christian University, Texas.
25. Steers, J.A. (1964) *The Coastline of England and Wales*, Cambridge. Cambridge University Press, Second ed., pp. 750
26. Strahler, A.N. (1969) *Elements of Physical Geography*, New York
27. West, R.C. (1956) *Mangrove Swamps of The Pacific Coast of Colombia*, Ann. Assoc. Am. Geogr., 46, pp. 98-121



## الفصل الخامس

# أشكال الرياح

- أولاً : العوامل المؤثرة في نشاط الفعل التحاتي للرياح في الصحارى .
- ثانياً : عمليات النحت بالرياح .
- ثالثاً : أشكال النحت بالرياح .
- رابعاً : فعل الرياح كمعامل إرساب .
- خامساً : أشكال الإرساب بالرياح .





## الفصل الخامس

### أشكال الرياح

#### مقدمة :

بعد فعل الرياح من أهم عوامل تشكيل سطح الأرض ، وذلك لأنها تعتبر عامل التعرية الوحيد — بالإضافة إلى فعل الكارست — الذى له القدرة على العمل لمنسوب أدنى من مستوى القاعدة العام ، كما تعتبر التعرية بالرياح عامل التعرية الوحيد الذى يعمل على تشكيل سطح الأرض بدون تأثير المياه سواء في حالتها السائلة مثل التعرية الفيضية والساحلية وفعل الكارست، أو حالتها المستجمدة على شكل ثلج مثل التعرية الجليدية . وتسود التعرية بالرياح في المناطق الصحراوية الحارة الجافة ، بسبب ندرة الغطاء النباتي الذى يعوق إندفاع الريح ، ولكن لا يقتصر دور الرياح النحاتي على الصحاري الحارة ، فإن العواصف الترابية الحارة Hot Dusty Storms تهب من الصحراء الكبرى وتستطيع عبور البحر المتوسط وترسب أطناناً من الغبار والأتربة على سواحل فرنسا وأسبانيا الجنوبية ، ولكن يتوقف نشاط الرياح النحاتي في تشكيل الصحاري الحارة على مجموعة من العوامل نوجزها فيما يلي (Cooke et al. 1993):

#### أولاً : العوامل المؤثرة في نشاط الفعل النحاتي للرياح في الصحاري:

##### ١- الرياح :

يتوقف النشاط النحاتي للرياح على شدة الرياح وإستمرارها لفترات زمنية طويلة نسبياً وتوجيهها وموسميتها.

##### ٢- الجفاف :

من المعلوم أن الرياح تقوم بفعلها النحاتي عن طريق إصطدام حبيبات الرمل والغبار التي تحملها بصخور سطح الأرض ، وعلى ذلك فإن قدرة الرياح على النحت تتوقف على كمية الرسوبيات التي تحملها الرياح من ناحية ، وحجم هذه الحبيبات من ناحية أخرى ، وبالطبع إلى جانب قوة الرياح ذاتها . وهناك علاقة إرتباط عكسية بين الرطوبة النسبية



وقدرة الرياح على حمل الرسوبيات ، أى تقل قدرة الرياح على النقل كلما ارتفعت الرطوبة النسبية ، وفي حالة هطول الأمطار تضعف قدرة الرياح على النقل تماماً .

### ٣-الغطاء النباتي :

يعتبر الغطاء النباتي أهم العوامل الطبيعية التي تعترض هبوب الرياح بالإضافة إلى العوائق التضاريسية ، ولذلك فإن الرياح تصطدم بها وترسب حولها ما تحمله من رمال ، ولكن يتوقف تأثير العوائق النباتية على عدة عوامل تتعلق بطبيعة وخصائص الغطاء النباتي وأهم هذه العوامل ما يلي:

(أ) تنوع الغطاء النباتي : تتعدد أنواع الكساء النباتي بين الغابات والأحراش والحشائش بأنواعها المختلفة ، وبالقسط فإن الحشائش القصير أقل تأثيراً في إعاقه هبوب الرياح ، والغابات الكثيفة تعد من أكبر عوائق هبوبها وتقلل من التأثير النحائي للرياح كعامل تحت .

(ب) إرتفاع الغطاء النباتي : هناك علاقة إرتباط طردية بين إرتفاع الغطاء النباتي وإعاقه تأثير الرياح النحائي ، وبالتالي ترغب الرياح على ترسيب حبيبات الرمل حول النبات ، وقام عدد من الباحثين بدراسة هذه العلاقة ومن بينهم (Thomas & Pelton's, 1960) اللذين درسوا تأثير الغطاء النباتي الذي يتراوح إرتفاعه بين ١٠ و ١٠٠ سنتيمتر ، وأقترحوا المعادلة التالية :

$$\log z_0 = 0.997 \log 10 H - 0.883$$

(حيث H تساوى إرتفاع النبات الطبيعي بالسنتيمتر )

(ج) كثافة الغطاء النباتي: من المنطقي أنه كلما كان الغطاء النباتي كثيفاً كلما أعاق التأثير النحائي للرياح كعامل تحت وهناك العديد من الباحثين اللذين حاولوا وضع معادلة لهذه العلاقة ، ولكن تبين أن هذه العلاقة تختلف اختلافاً كبيراً بتباين البيئة الطبيعية للمنطقة المراد دراستها ، فبيئة الكثبان الساحلية Coastal Dunes

تختلف كلسية عن الصحارى الحارة الجافة وشبه الجافة ولا يمكن إطلاق معادلة واحدة تلائم البيئات المتباينة .

(د) مخلفات النباتات : لمخلفات النباتات المتراكمة في الأراضي الزراعية دوراً

ملحوظاً في تغطية رواسب السطحية والتحكم في تدهورها وإزالتها بالرياح (Chepil & Woodruff, 1954 and Gillette, 1979)

#### ٤- وعورة وتضرس سطح الأرض Surface Roughness:

تعملل الأراضي المضرسة على إعاقه هبوب الرياح القوية ، وترغمها على ترسيب ما تعمله من رواسب ، وتعتبر الحافات الصخرية وخاصة الجروف Cliffs والحواجر Ridges المستعمدة على إتجاه الرياح من أكثر الظواهر التضاريسية إعاقه لهبوب الرياح ، كما أن السنفير الفجائي في درجة إنحدار سطح الأرض يقوم بالأثر ذاته، كما أن الأراضي الموجه تساعد على عمليات الترسيب الريجي .

#### ٥- الأملاح Salt:

تشير مجموعة التجارب العملية التي أجريت خلال العقدين الأخيرين من القرن العشرين أن لنسبة الملوحة في صخور القشرة الأرضية دوراً غير مباشراً في تسهيل تجويتها ميكانيكياً وكيميائياً ، فيسهل بالتالي تدهورها وتخفيض سطح الأرض (Pye, 1985).

#### ٦- القشرة السطحية Crust:

يعنى هذه العامل بنوع القشرة السطحية ومدى توافر المواد المفككة المهيئة للتندرية بالرياح ، ومدى مقاومة صخور سطح الأرض للبرى والكشط بالرياح ، ويتحدد هذا العامل بعدد من الظروف الطبيعية أهمها ما يلى:

(أ) تنوع صخور سطح الأرض ودرجة صلابتها ، وأنسجتها الصخرية ، ونسبة المسامية وطبيعة المادة اللاصقة بين حبيبات الصخر .

(ب) البنية الجيولوجية ودرجة تقطع سطح الأرض بنظم الشقوق والفواصل.  
(ج) مدى توافر الرسوبيات المفككة على السطح وسمكها وحجم حبيباتها ورطوبتها النسبية .

#### ثانياً : عمليات التحت بالرياح :

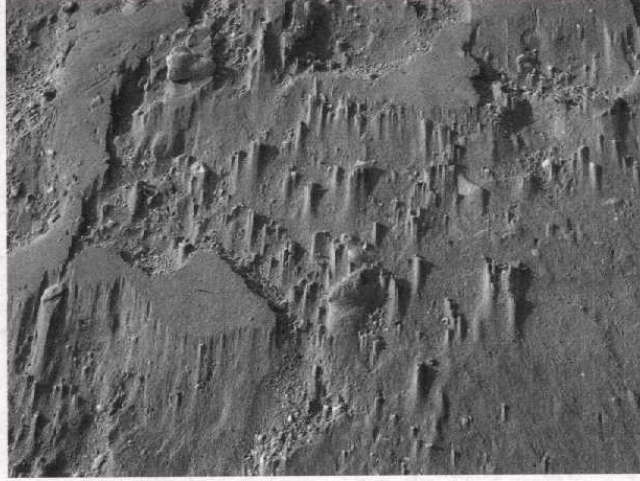
تسهل الرياح في نحت وتعرية بعض أجزاء سطح الأرض بإحدى العمليتين الجيومورفولوجيتين الآتيتين :-

العملية الأولى هي التذرية Deflation وتتم بقوة دفع تيارات الرياح وإحتكاكها بالسطح ، وتعمل بالتالى على جر أو حمل المواد الصخرية المفككة أو الضعيفة التماسك أو الجسواء، سواء المشتقة من الرواسب الفيضية أو الجليدية أو رمال السواحل ، ويتوقف تأثير الكشط بالرياح على عدد من العوامل هي (Cooke et al. 1993):  
"أ" تردد قدرة الرياح على التذرية مع تناقص الرطوبة الجوية .  
"ب" توافر التربة المفككة على سطح المهينة للتذرية ، بحيث يكون حجم حبيباتها متوافق مع قدرة الرياح السائدة على حملها، ولوحظ أن حجم الحبيبات المنقولة يؤثر في سرعة الرياح بنسبة تتراوح بين ١٠-٣٠% .  
"ج" تضرس سطح الأرض ومدى وجود عوائق أو تغيرات حادة في درجة إنحدار سطح الأرض تقلل من سرعة الريح وبالتالي قدرتها على التذرية.  
"د" كثافة ونوع الغطاء النباتي السائد في المنطقة فالكساء النباتي يعد أحد أشكال إعاقه الريح .

#### تقدير معدلات تذرية الرياح Rates of Deflation:

كما حاول العديد من الباحثين تقدير معدلات تذرية الرياح ، فقد قدر (Gibbens et al., 1986) , Hennessey et al., 1983 أن التربة الرملية المفككة التي تمكنت الرياح من تذريتها بحوالى ٦٤,٦ سنتيمتر في منطقة متاحة لمدينة " نيومكسيكو " تغلو من الغطاء النباتي خلال

الفترة بين ١٩٣٣ و ١٩٨٠. كما قدر (Boulaine, 1954) معدل التذرية بالرياح في صحراء الجزائر بحوالى ملليمتر واحد سنوياً ، أما "ويلسون" (Wilson, 1971) يرى أن معدل التذرية السنوى يتراوح بين نصف ملليمتر إلى ملليمترين سنوياً في ضوء نتائج دراسته في منطقة "بيسكرة" في صحراء الجزائر . وفي "بيرو" (lettai, 1969) بحساب معدل تذرية الرمال من بعض الكثبان الهلالية وخلص إلى أن هذا المعدل يتراوح بين ٠,١٥ و ٠,٢٢ ملليمتر سنوياً (صورة ١-٥).



صورة (١-٥) آثار عملية تذرية الرياح لحبيبات مفككة من الرمل على سواحل البحر الأحمر شمال مدينة "رأس غارب" (تصوير المؤلف في يوليو ٢٠٠٣)

أما العملية الثانية من عمليات النحت بالرياح فهي البرى Abrasion ، وهي تتم بقوة الرياح المسلحة بذررات الرمال، فتعمل على كشط الأجزاء الضعيفة من الصخر التي تستجيب للنحت والإزالة وتتم هذه العملية على إرتفاع قريب من سطح الأرض لا يتعدى المترين .

### تقدير قوة البرى بالرياح :

وحاول عدد من الباحثين تقدير قوة البرى الناتجة عن اصطدام الرياح وحمولتها من الرواسب بسطح الأرض ومن بينهم (Marshall, 1979) الذى أقرح المعادلة الآتية لقياس قوة البرى بالرياح (A) بالاعتماد على التجارب المعملية :

$$A = Sa \cdot \rho \cdot (V \sin \alpha - V_0)^n \cdot (D - D_0)^m$$

(حيث Sa تساوى مدى قابلية مواد السطح للنحت التى تتوقف على الصلابة والعوامل الأخرى التى سبق الإشارة إليها ،  $\rho$  تعبر عن حجم حبيبات الصخرى ،  $\alpha$  تساوى زاوية اصطدام الرياح بـ سطح الأرض ،  $V$  = سرعة هبوب الرياح ، أما  $V_0, D_0$  = سرعة تحرك الحبيبات وقطرها .

### ثالثاً : أشكال النحت بالرياح :

فيما يلى عرض لأهم الأشكال الجيومورفولوجية الناجمة عن النحت بفعل الرياح :

#### ١- الوجه ريحيات Ventifaces – Ventifacts- Wind Kanter :

يُطلق عليها أحياناً تعبير الحصوات المنشورية Dreikanter أو الحصوات المشطوفة الأوجه Ventifaces ، وتنشأ عن الصقل المستمر لأحد أوجه الحصوات المواجه للرياح السائدة مما يسهم فى كشطها وتآكلها المستمر، ويشير عدد الأوجه المشطوفة إلى عدد إتجاهات الرياح السائدة بالإقليم ، فهناك حصوات ثنائية الأوجه، والثلاثية الأوجه ، وتتراوح أبعادها من بضعة ملليمترات إلى المتر الكامل .. وقد لوحظ إختلاف تأثير أنواع الصخور بالكشط ، فنجد أن الحصوات المكونة من الحجر الجيرى سرعان ما تستجيب للصقل ، بينما يصمد الصوان لفترات زمنية طويلة نسبياً أمام هجمات الرياح . ويمكن تصنيف حصوات الوجه ريحيات حسب أبعاد أقطارها وتباين أسلوب تشكيلها إلى الأنواع الآتية (Cooke et al. 1993):

(أ) الوجه ريحيات الصغيرة الحجم Small Ventifacts :

وهي الحصوات ذات الأوجه المنحوتة بالرياح بشرط أن تقل أبعاد أقطارها عن عشرة سنتيمترات ، ويتراوح عدد أوجهها المصقولة بين وجهين أو ثلاثة أوجه ، وهي تتأثر برياح تتراوح زاوية هبوبها على سطح الأرض بين ٤٥ و ٧٠ درجة .

#### (ب) الوجه ريحيات الأصلية الشكل Original Shape Ventifacts:

يرى بعض الباحثين أن عدد أوجه الوجه ريحيات يعتمد في المقام الأول على الشكل الأصلي للحصوات الصخرية قبل تأثرها بعوامل البرى بالرياح ، وقد اعتمد أصحاب هذه الرأى على الملاحظات الحقلية والتجارب المعملية (Greeley & Iverson, 1985) .

#### (ج) الوجه ريحيات المتعددة الأشكال Multi-modal Ventifacts:

يرتبط هذه النمط من الوجه ريحيات بعدد وإتجاه الرياح التى تهب على المنطقة ، وتؤثر بالكشط والبرى فى الحصوات المتناثرة على سطح الأرض .

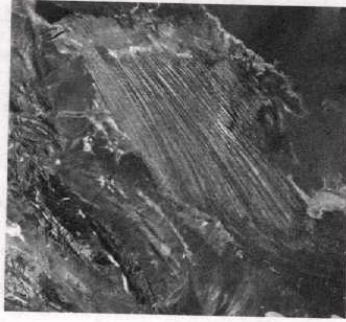
### ٢- تضاريس الباردانج – الحرافيش Yardangs:

أطلق هذا المصطلح لأول مرة على بعض الأشكال الصخرية العربية حفرت فى الرواسب البحرية القديمة فى صحراء تركستان ، وقد يطلق عليها أيضاً تعبير "أشكال الزوجين Zeugen Landforms" وهو مأخوذ عن اللغة الألمانية ، ولكن يفضل إطلاق هذه التعبير على الأشكال الأرضية المتكونة عن نحت وبرى الأجزاء الهشة من الطبقات الأفقية ، وكما يطلق عليها أيضاً اسم الأسطح الصخرية المحفورة Grooved Surface ، أما الأجزاء الصخرية التى تتحول إلى الشكل الأملس بتأثير الاحتكاك بالرياح فيطلق عليها اسم الأسطح الصخرية المصقولة Polished Surface (حسن أبو العينين ، ١٩٩٥) .

وتتكون ظاهرة الباردانج أو الحرافيش من أحاديد وقنوات طويلة ضيقة، تفصل فيما بينها أعداد من الكتل الحجرية المستطيلة تشبه ضلوع الحيوان ، يتراوح إرتفاعها بين المترين

والخمسين متراً ، تشكلت بسبب إصطدام الرياح المحملة بذرات الرمال ، فتمكنت من كشط وتخفيض المواضع الضعيفة دون الصلدة . كما تسهم نظم الفواصل المتوازية الطويلة في تشكيل تضاريس الiardang ، ومن أمثلتها تلك المتناثرة بمرتفعات تبسى جنوب الصحراء الليبية ، وتنتشر أيضاً على هوامش منخفض الخارجة والصحراء البيضاء على تخوم منخفض الفرافرة بالصحراء الغربية المصرية .

وقد تتكون أشكال ضخمة من الiardang Mega Yardang بسبب هبوب الرياح العاتية وتخوير بعض الحافات الطويلة المتوازية وتقطيعها بالري النشط ، ومن أمثلتها حول منطقة " كالوتس Kaluts " في صحراء "لوت Lut " في إيران (صورة ٢-٥) ، كما تتكون تضاريس الiardang بتأثير عمليات الري في أسطح السبخات والبحيرات الجافة خلال عصر الهولوسين ، وإعادة الكشط الإنتقائي لأجزاءها الهشة دون الصلبة ، بمعدل يتراوح بين ٢,٥ إلى ٥ أمتار كل ألف سنة (Goudie,2004) .



صورة (٢-٥) صورة جوية مائلة لأشكال الiardang الطولية المتوازية في صحراء "لوت" Lut الإيرانية

### ٣- المنخفضات الصحراوية Depressions:

مناطق حوضية مغلقة بالصحاري تغور تحت السطح بضعة أمتار وحتى مئات الأمتار ، وتتراعى قيعانها لتصل إلى الآف الكيلومترات المربعة ، أكبرها مساحة وادى السرحان المغلق بالملكة العربية السعودية (٢٥ ألف كم<sup>٢</sup>) ، ومنخفض القطارة بالصحراء الغربية المصرية (٢٠ ألف كم<sup>٢</sup>) . وتختلف أشكال هذه المنخفضات بين المستدير المتسطح الجوانب كالخفر بالأردن، وحوض فزان بليبيا ، والشريطى المتعرج كمنخفضات الواحات الخارجة والداخلية المصرية ، والأهليلجى كمنخفض البحيرة ، والمستطيل المغلق كوادى السرحان السعودى ، ويتوقف شكل وأبعاد المنخفض على ظروف نشأته ( صلاح البحيرى ، ١٩٧٩ "ب" ) (صورتا ٣-٥ ، ٤-٥) .



وتتشكل المنخفضات الصحراوية بتأثير عوامل التحلل المائى والبرى والإكتساح بالرياح، وإعادة إنكشاف السطح أمام المؤثرات الخارجية مرة أخرى، ولكن يرتبط تشكيل المنخفضات بأحد عوامل الضعف الجيولوجى الآتية :-

صورة (٣-٥) صورة جوية لواجهة صحراوية مغلقة بالكتبان الرملية



#### "أ" خطوط الإنكسار ونظم الفواصل الصخرية :

تسمح خطوط الضعف الخطية بنفاذ عوامل التعرية داخل الصخر فتضعفه، وتعمل على تعميق السطح وتوسيعه وتسهيل مهمة الإكتساح والإزالة الهوائية ، وتعد منخفضات الهضبة الشرقية للأردن من أوضح الأمثلة لهذا النوع من المنخفضات الصحراوية ، وأيضاً وادى السرحان الأخدودى الهابط بالسعودية .

#### "ب" الثنيات المحدبة :

من المعروف أن قمم الثنيات المحدبة تشكل أضعف أجزاءها ، ولذا تظهر على سطوحها مجموعة من الفواصل الطولية ، تنفذ خلالها عوامل التحلل المائي والتفكك الحراري ، ثم تكتسح موادها المجواه بالرياح ، فتتسع هذه الشقوق وت تعمق بإطراد ، ومن أمثلتها منخفض الواحة البحرية الذى نشأ في بنية قبابية ، والواحات الخارجة التى يرتبط وجودها بطية محدبة بسيطة .

#### "ج" الثنيات المقعرة :

تسمح البنيات الصخرية المقعرة بتجمع الماء الباطني وتسربه تحت سطح الأرض ، وتعمل الخاصية الشعرية على رفع منسوب المياه نحو السطح مرة أخرى، فتساعد على تحلل مكوناته وإكتساحها بالرياح .

#### "د" خطوط التماس الجيولوجى :

نطاقات حدية فاصلة بين التكوينات الجيولوجية المختلفة ، تتكون على حوافها بعض الحفر والفجوات ، وكثيراً ما تلتحم مع بعضها مكونة نطاقاً غائراً من السطح ، مثل نطاق الإلتحام الصخري بين الطفوح البازلتية الصلبة مع الصخور الكلسية الصوانية بمجموعة المنخفضات الأردنية والسعودية ، وخط

التماس الجيولوجى بين تكوين مارماريكا الجيرى وتكوين المغرة الرملى .منخفض القطاره (المؤلف، ١٩٩٦).



صورة (٤-٥) مرئية فضائية لواحة "تركزى Terkezi Oasis" فى تشاد

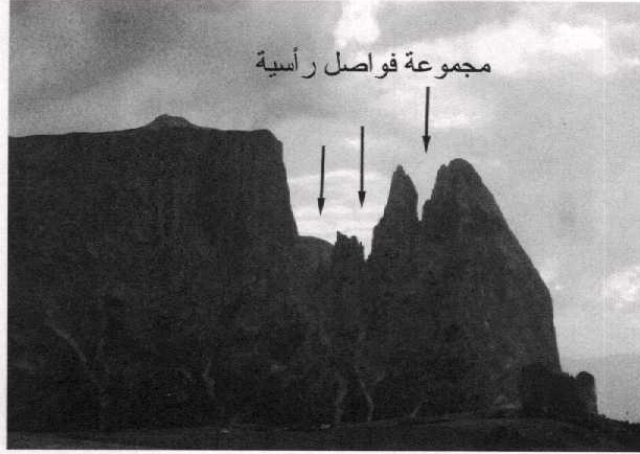
#### ٤- ثقب أو كهوف الرياح Wind Caves – Wind Blowouts

عبارة عن تجاويف تنحت فى الأجزاء اللينة من الصخور ، حيث تعمل الرياح على جر وحمل الفتحات والمواد الصخرية المجواه ، وتترك وراءها بعض الفجوات المتواضعة الإتساع المحددة المساحة ، ترتبط أساساً بالأحجار الرملية والجيرية فى المناطق المكشوفة من الغطاء النباتى التى تتميز بالجفاف ، وقد تتسع هذه الفجوات نتيجة استمرار تأثير عملية البرى وتذرية المواد المجواه، وتتسع هذه التجاويف وتتصل مع بعضها مكونة كهوف كبيرة الحجم يطلق عليها اسم كهوف الرياح Wind Caves ، وهى تتشابه فى خصائصها الشكلية مع الكهوف البحرية Marine Caves التى تنشأ عن عملية النحت بالأمواج . وقد تتحول هذه الكهوف إلى جسر طبيعى

Natural Bridge إذا ما اتصل كهفين متقابلين عبر أحد العيوب الصخرية ، تشبه الجسور الطبيعية التي تنشأ عن التعرية بفعل الأمواج<sup>١</sup>.

#### ٥- المداخن الصخرية Rock Chimneys :

أحد الأشكال الجيومورفولوجية المركبة النشأة ، تتكون بسبب توسيع الشقوق والفواصل الرأسية المستمر ، نتيجة توغل المؤثرات الحرارية والإذابة بفعل المياه ، حتى تنفصل بعض الأعمدة الرأسية عن الحافة المجاورة لها ، بعد إكتساح الرياح للمواد المجوّه لتقف هذه المداخن صامدة بإرتفاع يصل لعشرات الأمتار (صورة ٥-٥).



صورة (٥-٥) مجموعة فواصل رأسية متوازية تعمل على الانفصال التدريجي لمجموعة من المداخن الصخرية عن طريق توغل عمليات التجوية وتذرية المواد المجوّه بالرياح ، في جبال دولوميت في شمال إيطاليا (تصوير المؤلف في أغسطس ٢٠٠٤)

<sup>١</sup> راجع مورفولوجية وكيفية نشأة الكهوف والجسور البحرية في فصل أشكال السواحل .

#### ٦- الجمال الصحراوية Desert Camels :

مظهر صحراوي طريف يتكون من تدرية الرياح في الأحجار الرملية الجيرية على وجه الخصوص ، فقد تتخذ أحياناً بعض الأشكال المألوفة للبشر ، مثل الجمال الصحراوية أو رؤوسها فقط ، أو الأبقار ... وغيرها  
ومما يذكر أن هناك كتلة صخرية كبيرة الحجم تشبه رأس الرئيس الأمريكي الراحل جون كيندي تقف رابضة شمالى مدينة شرم الشيخ ، كانت تستغل سياحياً أثناء الإحتلال الإسرائيلى لسيناء .

#### ٧- حفر التدرية Deflation Hollowa :

تتكون حفر التدرية حينما يتعرض سطح الأرض لإزالة الأتربة والرمال تاركة وراءها حفراً تغور لبضعة سنتيمترات ، وقد تتسع فجواتها لتصل لعدة كيلومترات ، وتزيد أعماقها عن المائة متر ، مثل الفجوات المنتشرة بصحراء منغوليا . وقد درس المؤلف بعض الفجوات الطولية الإنكسارية الناشئة شمالى منخفض القطارة ، حيث تتبعثر حفر التدرية الطولية موازية للحافة الشمالية للمنخفض ذاته ، وتشير إلى إحتمال تكونه بنفس الأسلوب (المؤلف ، ١٩٩٦).

ويكثر وجود حفر التدرية بالمناطق المكونة من الأحجار الرملية خاصة فيما بين الكثبان، حيث تتركز التيارات الهوائية بين التلال المتجاورة ، وتشتد طاقتها فتعمل على تدرية الرمال من السطح بسرعة ، فتتشكل بعض الحفر الطولية موازية لإتجاه الرياح السائد.

#### ٨- الأعمدة الترابية Earth Pillars :

الأعمدة الترابية من الأشكال الناجمة عن فعل النحت بالرياح ، في ظل ظروف التجوية الكيميائية بماء المطر ، كالأهرام الترابية Earth Pyramids ، والأصابع الترابية Earth Fingers وغيرها .

وتتكون الأعمدة الترابية من رؤوس طويلة قائمة تنتهى في أعلاها بكتل جلمودية أصلب من الأجزاء المرتكزة عليها ، ويتراوح إرتفاعها بين ٨ و ١٠ أمتار . فإن الكتلة العلوية كانت تقع في الأصل على سطح الأرض مباشرة ، حيث تمكنت عوامل النحت من تآكل الطبقة السطحية اللينة فظهرت هذه الكتلة ناتئة فوق السطح يتوجها الجلمود ، وقد تتشكل الطبقة السطحية في صخور أفقية أو مائلة (صورتا ٦-٥ و ٧-٥).



صورة (٦-٥) أعمدة ترابية في منطقة Drof Tiol شمال إيطاليا كمظهر تضاريسى متبقى عن عمليات الانحيار والزحف الأرضى للمنحدرات (تصوير المؤلف في أغسطس ٢٠٠٤)

ولعل أحسن الأمثلة لهذه الأعمدة توجد في إقليم التيرول ، حيث ميزها المؤلف في منطقة Drof Tirol في شمال إيطاليا ، وإقليم البادلاند في أمريكا الشمالية . وتسمى الأعمدة الترابية بعدة أسماء محلية منها الهودو Hoodo في أمريكا، ودموازيل Demoiselles في الألب الفرنسية وبنتننس Penitents في أمريكا الجنوبية .



صورة (٧-٥) أعمدة تراية في طور التكوين في منطقة Drof Tirol شمال إيطاليا  
(تصوير المؤلف في أغسطس ٢٠٠٤)

#### ٩- البطيخ المصقول :

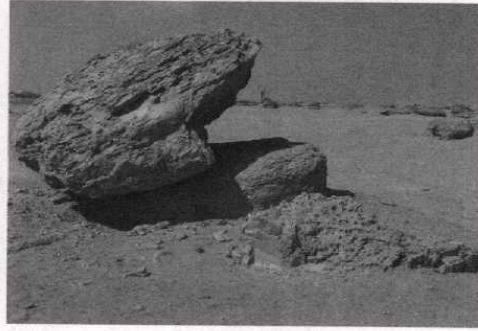
يعد البطيخ الصخري المصقول من الأشكال الجيومورفولوجية التي أثارت العديد من التساؤلات عند محاولة تفسير نشأتها ، حيث تنتشر هذه الظاهرة شمال منخفض الفيوم ببضعة كيلومترات ، على شكل حقل متسع من الربوات المتصلبة تتخذ بعضها الشكل النصف كروي، والبعض الآخر يظهر كأجراس الكنائس ، ويتفاوت إرتفاعها بين بضعة ديسيمترات ونحو المتر الكامل (صورتا ٨-٥ و ٩-٥).

ولعل أقرب التفسيرات لنشأة هذه الروابي ، ما ذهب إلى إفتراض تشكيلها نتيجة النحت والإكتساح بالرياح في ظل وجود بعض العقد الصوانية الصلبة تركزت في بعض أجزاء الحجر الرملي فأكسبته بعض الصلابة أمام فعل البرى بالريح .





صورة (٨-٥) إحدى كتل البطيخ المصقول في منطقة كوم أو شيم على الأطراف الشمالية لمنخفض الفيوم ، لاحظ القشرة الجيرية المتصلبة على سطح الكتلة التي تعمل على حمايتها من عوامل النحت (تصوير المؤلف في يوليو ٢٠٠٤)



صورة (٩-٥) إحدى كتل البطيخ المصقول المصقول في منطقة كوم أو شيم على الأطراف الشمالية لمنخفض الفيوم تأثرت بعمليات التجوية الميكانيكية (الكسر عبر الخطوط المستقيمة) والكيميائية (الثقوب المحفورة على السطح العلوي للكتلة والقاعدة السفلى) (تصوير المؤلف في يوليو ٢٠٠٤)

#### ١٠- الكبارى الطبيعية Natural Bridges :

تتميز الكبارى الطبيعية بتعدد العوامل المساهمة في تشكيلها ، فقد تنشأ نتيجة النحت النهري مثل بعض الروافد العليا لهر "شوكا Soca " في سلوفينيا التي تتبع من جبل "تريجلاف

Triglave"، كما تتكون هذه الظاهرة نتيجة فعل الإذابة في التكوينات الجيرية بالأقاليم الرطبة، وقد تتشكل أيضاً بفعل نشاط النحت البحري، مكونة الأقواس أو الكبارى البحرية Marine Arches-Bridges<sup>1</sup>.

وعلى الرغم من تشابه المظهر المورفولوجي العام للكبارى الصحراوية مع الأشكال السابقة، إلا أن عامل النشأة يختلف، فنجد أنها تتكون نتيجة نشاط الإكتساح بالرياح للمواد الجواه عبر نطاقات الضعف الجيولوجي.

#### ١١- الأنياب الصخرية :

بروزات أو مسلات صخرية تنشأ عن توسيع الشقوق والفواصل عبر الحافات الصخرية المكونة من الحجر الرملي والجيري، ويطلق هذا التعبير محلياً في شبه الجزيرة العربية.

#### ١٢- الأسطح الصلدة Pan Surfaces :

عبارة عن منخفضات ضحلة بوضاوية الشكل ذات أسطح مصقولة ملساء بتأثير الاحتكاك بالرياح، تتميز هوامشها بمنحدراتها الهينة، وتتمركز بها مسطحات البلايا والسيخات التي تتجمع بها المياه المختلطة بالرواسب الطفالية والصلصال، وهذه المسطحات تعمل كمستوى قاعدة محلي للمسيلات المائية التي تنجح في تقطيع هوامش هذه المنخفضات المغلقة. وتنتشر هذه الظاهرة في سهول البامبس Pampas في الأرجنتين، وفي إقليم بانتانال Pantanal في البرازيل، ودلتا نهر السنغال وجنوب غرب أستراليا، وفي زائير، وموزمبيق، وشبه جزيرة منشوريا (Cooke et al. 1993).

<sup>1</sup> راجع كيفية تكوين الأقواس والأنفاق الطبيعية وخصائصها المورفولوجية في فصل أشكال السواحل من هذا الكتاب



#### رابعاً : فعل الرياح كعامل إرساب :

إن الإرساب الريحي ليس قاصراً على المناطق الصحراوية ، فهناك إرسابات رملية في مناطق غير صحراوية مثل شواطئ البحار والمحيطات ، وعلى ضفاف الأنهار في العروض شبه الصحراوية، وفي الأجزاء ذات الأحجار الرملية المتأثرة بعمليات التفكك الصخري ، وغيرها ...

#### ١- المواد المنقولة بالرياح :

تستعمل المواد المنقولة بالرياح سواء من حيث مصادرها أو أحجام حبيباتها وخصائصها المورفولوجية ، وأهمها الغبار Dust: يتم تحديد الغبار على أساس حجمي إذ لا تتجاوز أحجام حبيباتها أكثر من ٧٠ ميكرون ، حيث يطلق اسم غبار دقيق Fine Dust على الحبيبات التي يقل قطرها عن ٢٠ ميكرون ، أما الرمال Sand فهي عبارة عن حبيبات تتراوح أقطارها بين ٧٠-١٥٠ ميكرون. وتحدث عملية الترسيب بالرياح نتيجة حركة الرمال والأتربة والغبار مع الطبقة السطحية من تيارات الهواء الملاصقة لسطح الأرض ، وميز Bagnold, 1936 ثلاث وسائل تتم بها حركة الحبيبات الرملية هي (صورة ١٠-٥) :-

#### (أ) التعلق Suspension :

تتحرك بهذه الطريقة الحبيبات الدقيقة التي تقل أقطارها عن ٠,٢ مم ، وتظل الحبيبات عالقة مع التيارات الهوائية السطحية لمسافات بعيدة قبل إلقائها على سطح الأرض ، عند سكون الرياح أو اصطدامها بأي عائق ، ولا تسهم هذه الطريقة إلا بقدر يسير من حجم الترسيبات الهوائية .

#### (ب) القفز Saltation :

تدين معظم الحبيبات الرملية التي تزيد أقطارها عن ٠,٢ مم إلى الحركة بالقفز مع الهواء ، وذلك لأن التيارات الهوائية السطحية لا تكون منتظمة الانسياب ، وتندفع عادة كهبات صاعدة سرعان ما تهدأ مرة أخرى ، ومع كل دفعة هوائية تحمل معها

ذرات السرمال قافزة لأعلى فتتحرك قدماً لمسافات تتناسب مع سرعة الرياح وأحجام الحبيبات المنقولة ، ولذا تتخذ كل حبة مساراً مقوساً في الهواء شبه اهليلجي ، وحينما تصطدم هذه الحبيبات بسطح الأرض ، قد يتحرك بعضها لأعلى مرة أخرى، ليكرر حركته المتقدمة من جديد، والبعض الآخر يستقر مؤقتاً في موضع سقوطه تبعاً لقوة الدفع الهوائي للحبة القافزة .

#### (ج) الزحف السطحي Surface Creep :

قد تكون شدة التيارات الهوائية غير قادرة على دفع بعض الحبيبات الرملية الكبيرة بالقفز لأعلى ، فتبدأ بالزحف على السطح ، وتتقدم في حركة بطيئة متقطعة في الاتجاه العام للرمال القافزة مع الرياح ، وينتهي مصير الحبيبات الرملية المتحركة بأى صورة من صور الحركة السابقة إلى الإستقرار على سطح الأرض متخذاً أحد الأشكال الثلاثة الآتية:

#### "١" الترسيب Sedimentation:

تحدث عملية الترسيب في حالة ضعف طاقة التيار الهوائي ، أو حينما تزيد الحمولة المنقولة بالنسبة لشدة الرياح الناقلة لها ، عندئذ لا تجدد بعض الحبيبات أو كلها القوة الدافعة لاستكمال رحلتها فسرعان ما تهدأ أو تستقر على السطح .

#### "٢" حشو الفراغات Accretion:

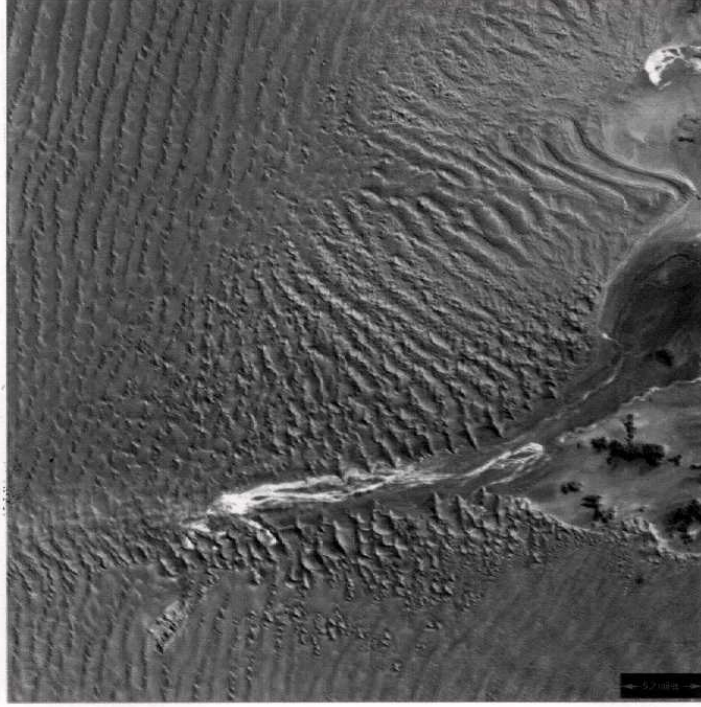
أحياناً تجد بعض الحبيبات القافزة أو الزاحفة بعض الثقوب أو الفجوات الملائمة لإستقرارها على السطح ، فتعمل على حشوها والإستقرار بداخلها .

#### "٣" التوقف والكس Stoppage and Encroachment:

تحدث هذه العملية إذا ما اعترضت مسار الرياح عقبة ، فتتوقف حركة الرمال الزاحفة بوجه خاص ، ولكن قد تتمكن بعض الرمال القافزة في الهواء



من مواصلة رحلتها. وهناك عدة أنماط لهذه العقبات منها العقبات الطبوغرافية الموجبة كالحافات والتلال والروابي ، وأيضاً الشجيرات ، أو الأعمدة والأسوار وغيرها من أوجه التدخل البشرى. وأحياناً ما تكون العقبة الطبوغرافية سالبة مثل التغير الفجائي في درجات الإنحدار عند المقعرات الأرضية ، وأيضاً المنخفضات والحفر والتنوعات . وكثيراً ما تعمل الرطوبة الأرضية كعقبة تعوق حركة الرمال ، حيث تساعد على تماسك الرمال فتشل حركتها وتمنع تقدمها.



صورة (١٠-٥) مرئية فضائية توضح أنواع مختلفة من الكثبان الرملية تغطي صحراء ناميب في ناميبيا  
Namib Desert, Namibia



### خامساً : أشكال الارساب بالرياح **Eolian Deposition Features**:

تعد أشكال الارساب الناجمة عن فعل الرياح بالصحارى أكثر شيوعاً من أشكال النحت، ويمكن تقسيم هذه الأشكال إلى وحدتين هما : التجمعات الرملية ( الارساب الرملية ) Sand Accumulation وإرسابات اللوس Losses Deposition التي حدثت خلال عصر البلايستوسين ، ولكن سوف نكتفى هنا بدراسة الوحدة الأولى بسبب ارتباطها بالأقاليم الجافة من سطح الأرض .

#### التجمعات الرملية ( الإرساب الرملية ) **Sand Accumulation**:

هناك العديد من الأشكال الجيومورفولوجية التي تنشأ عن الإرساب الهوائي للرمال، فهناك التجمعات الرملية المقيدة ، أى التي ترتبط في تكوينها وتدين إلى وجود عوائق طبيعية كالنباتات، وهناك التجمعات الرملية الحرة أي غير المقيدة . ولكن لازالت ميكانيكية هذه الأشكال غير واضحة حتى الآن ، وعلى الرغم من هذا التحفظ يمكن تمييز أهم هذه الأشكال في مجموعتين هما:

#### (أ) مجموعة الأشكال الرملية الدقيقة

تشتمل هذه المجموعة على بعض الأشكال الرملية الصغيرة الحجم وأهمها :

#### نيم الرمال - علامات النيم - نيم الرياح **Ripples** :

يرتبط تشكيل نيم الرمال (النيم) ارتباطاً وثيقاً بعملية التدرية ، فإذا تحركت حبات الرمل القافزة على سطح رملي عديم الانتظام ، أي موج التضاريس فإن السفوح المواجهة للرياح ستضطدم بها هذه الحبات أكثر من السفوح الواقعة في ظل الرياح ، وكذلك فعلية الزحف على السطح المواجهة للرياح ، ستكون أشد من السطح المضاد، ونتيجة لتوالي وتكرار هذه العملية مع كل لفحة للريح ، يزداد تضرس التموجات الرملية ، ولكن في نفس الوقت كلما ارتفعت قمم النيم فإنها تتداخل

بإطراد، حيث تسفى حبات الرمل من القمم وترسب في الأحواض ، ولذا نجد أن الإرتفاع الأقصى الذى يبلغه النيم يكون محدوداً .

(ب) مجموعة الأشكال الرملية الكبرى:

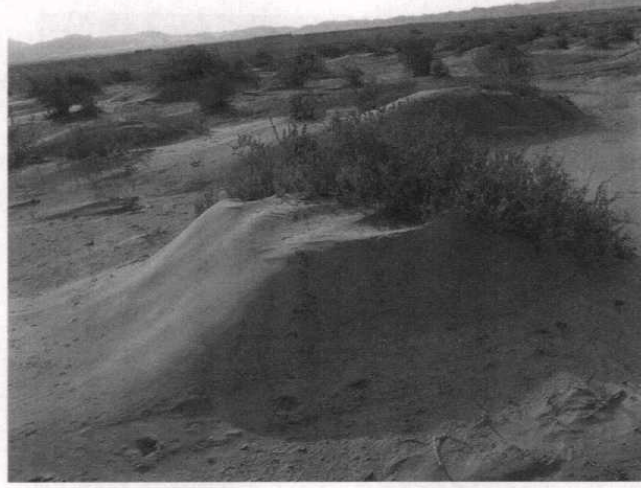
تشتمل هذه المجموعة على الأشكال الجيومورفولوجية الكبيرة الحجم وهى تشتمل على نمطين أساسيين هما :

النمط الأول : التجمعات الرملية حول العقبات ( الجيوب الرملية ) :

"أ" ظلال الرمال Sand Shadows:

عند وجود أى عقبة موجبة في مهب الريح المحملة بالرمال كجلمود مثلاً ، تتراكم الرمال عند قاعدة العقبة المواجهة للرياح ، وتتساقط بعض الذرات الدقيقة العالقة بالهواء على الجانب المحمى خلف العقبة ، ومع استمرار تراكم الرمال تغطى معظم أجزاء العقبة فتنهال الرمال على الجانبين معاً ، ويتوقف نمو كومة الرمل عند هذا الحد ، ويطلق عليها في هذه الحالة اسم ظل الرمل Sand Shadow ، أما إذا كان العائق عبارة عن شجيرة ، فيطلق على الكومات الرملية المتراكمة حولها اسم النباك أو النبكات Mounds وخاصة بالمسطحات السبخية الملحية (صورة ٥-١١).





صورة (١١-٥) تراكم الرمال عند إصطدامها بالنباتات الصحراوية مكونة نبال لا يتجاوز إرتفاعها ٦٠-٥٠ سنتيمتر في منطقة "الزعفرانة" على ساحل البحر الأحمر (تصوير المؤلف في يوليو ٢٠٠٣)

#### "ب" الأشرطة الرملية Sand Drifts:

حينما تهب الرياح فوق أسطح الهضاب المستوية في إتجاه حوافها ، فإنها كثيراً ما تلقى بحمولتها عند قواعد هذه الحافات المحمية من تأثير الرياح على شكل كومات طولية موازية لامتدادها ، وإذا كانت الحافة مقطعة بالمسيلات الجبلية ، نجد أن الرمال تتكاثف وتغطي مداخل هذه المسيلات الخانقية (صورة ١٢-٥).



صورة ( ١٢-٥ ) أشرطة رملية ترسبت عند إعتراض حافة جبال الحجر - بسلطنة عُمان - لإتجاه الرياح فأرغمتها على ترسيب ما تحمله من رمال (تصوير المؤلف في مايو ٢٠٠٤)

#### النمط الثاني : الكثبان الرملية Sand Dunes :

يعرف الكثيب على أنه كومة من الرمال المتحركة لا تدين في نشأتها وتشكيلها إلى أي عائق ثابت أمام الرياح ، سواء كان هذا العائق طبيعياً أو بشرياً ، وعادة ما تتكون فوق السطوح المستوية .

ويطلق على تجمعات الكثبان الرملية العديد من المسميات مثل المستعمرات الكثيبية Dune Colonies أو السلاسل الكثيبية Dune Chains ، أو الكثبان المركبة أو التجمعات الكثيبية Dune Complexes .

تعد الكثبان الرملية أهم الظواهر الناجمة عن الارساب الهوائي ، وهي تتخذ العديد من الأشكال الجيومورفولوجية التي يمكن تصنيفها تبعاً لعدد من العوامل هي :-

١ - إتجاه الرياح السائدة .

٢ - حجم الكثيب .

٣- شكل ترسيب الكُتيب ومدى تعقده .

٤- بيئة ترسيب الكُتيب .

٥- أسلوب نشأة الكُتيب .

٦- درجة تطور وغو الكُتيب .

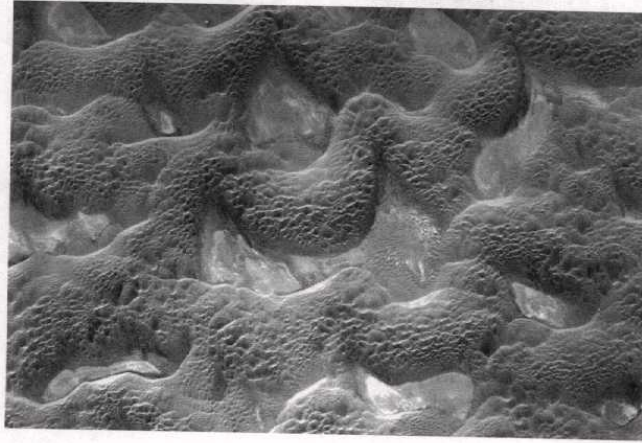
وتعتبر الكثبان الرملية من أغرب مظاهر الأشكال الأرضية ، بسبب ما يحيط بظروف النشأة وعوامل التشكيل من غموض ، فهذه الكثبان تشبه الكائنات الحية ، فهي تولد وتنمو وتتحرك وتتوالد وتهرم وتموت لتندفن ، كما أنها تتخذ العديد من الأشكال وفيما يلي عرض لأهم مظاهرها (صلاح الدين بحيرى ، ١٩٧٩"أ") :

#### (أ) الكُتيب الهلالى " البرخان " Barchan- Crescentic Dunes :

مصطلح برخان Barchan تركستانى الأصل ، وهو عبارة عن كُتيب قوسى الشكل ، يتميز بوجود طرفين يمتدان إلى الجهة التى تندفع نحوها الرياح ، ويظهر جانب البرخان المواجه للرياح محدباً طويلاً حين الإنحدار ( ٦-١٧ درجة ) ، ويطلق عليه تعبير ظهر الكُتيب ، أما جانبه الآخر فيبدو مقعراً شديداً الإنحدار (٣٣-٣٥ درجة ) ويسمى بواجهة الكُتيب . وينبغى توافر ثلاثة شروط لتشكيل الكثبان الهلالية هى (صورتا ٥-١٣ ، ٥-١٤ وشكل ٥-٥) :-



صورة (١٣-٥) كتيب هلالى بالقرب من قرية "الشويب" بدولة الإمارات العربية المتحدة  
(تصوير المؤلف فى أبريل ٢٠٠٤)



صورة (١٤-٥) صورة جوية رأسية لكثبان هلالية فى القسم الجنوبي الغربى من إمارة أبوظبى ، لاحظ إمتداد  
قرون اليرخانات فى إتجاه منصرف الرياح

- ١- إنتظام هبوب الرياح من إتجاه ثابت معظم الفترات .
- ٢- تنقل الرياح في حركتها جمولة متوسطة من الرمل ، أى ليست كميات ضخمة أو شحيحة .
- ٣- تراكم الرمال على سطح مستو تفرشه الحصرات ويخلو من الغطاء النباتى . وإذا لم يستوفى للكتيب الشروط الثلاثة السابقة ، وإذا حدث أى إختلاف في عناصر بيئة البرخان الطبيعية تحول عنه إلى أى نمط آخر من الكتيان .

وتنشأ الكتيان الهلالية بتحول كومات الرمال العفوية تدريجياً إلى كتيان متحركة مع الريح، لأن الجوانب المواجهة للرياح تتعرض لإزالة الرمال عند قواعدها وتراكمها عند القمم ، فتتحول الأكسوام إلى تسلال غير منتظمة الإغندار على جانبيها ، وتصبح الجوانب المواجهة للريح هينة الإغندار والأخرى شديدة الإغندار بسبب إقبال الرمل على سفوحها، فيزحف الكتيب ببطء للأمام ، ولكن يتفاوت معدل تحرك أجزاء الكتيب ، فالأطراف تتقدم على كلا الجانبين أكثر من وسطه ، بسبب تزايد سرعة الرياح عند الطرفين ، ولذا تعطف هذه الأطراف وتمتد على شكل قرنين Horns ، ويصيحان في مآمن من الرياح الشديدة (شكلا ١-٥ و ٢-٥).

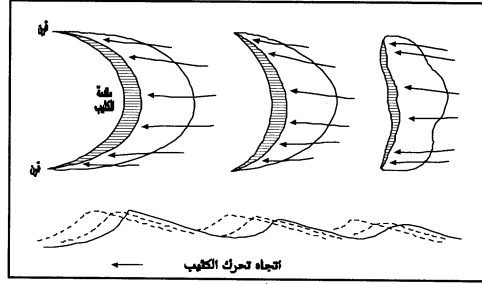
ويسود هذا الشكل من الكتيان في جنوب الربع الخالى دون بقية أجزاء شبه جزيرة العرب، وعاصمة في صحراء "الأحفاف" ، وتسهم الرياح الشمالية الشرقية والجنوبية الشرقية في تكوين برخانات في هذا النطاق الصحراوى الفاحل (Holm, 1960: 1374) وهو ينقسم إلى شكلين هما :

"١" الحواجز الهلالية البسيطة Simple Crescentic Ridges:

"٢" الحواجز الهلالية المركبة Compound Crescentic Ridges:



شكل (١-٥) تقدم الكتيب عن طريق دفع حبيبات الرمل على ظهر الكتيب من مؤخرته نحو مقدمته



شكل (٢-٥) تحرك الكتيب خلال تقدمه بقرنيه للأمام

(ب) الكتيان الطولية "العروق- السيوف - الغرود"

#### Longitudinal-Linear Dunes- Seif Dunes

تنشأ العروق أو الكتيان الطولية أو السيوف بصورة موازية لإتجاه الرياح السائدة ، وتبدأ هذه الكتيان دورة حياتها بكتبان هلالية في بادئ الأمر ، ثم تتحول إلى سيوف ، حينما تتعرض إلى رياح جانبية تتقاطع مع الإتجاه العام للرياح الدائمة ، وعندئذ يستطيل أحد قرني البرخان أكثر من الآخر ، وإذا ما تكرر هبوب الرياح الجانبية لفترات زمنية طويلة ، يستمر هذا الجانب في النمو والإستطالة ، ويتحول إلى كتيب ممتد طولياً ، وهو يتألف في حقيقة الأمر من مجموعة قعم

هلالية الأصل ، متفقة في إتجاهها العام الموازي لإتجاه الرياح الدائمة (Bagnold, 1936) (شكلا ٣-٥ و ٥-٥).

وتنتشر السيوف أو العروق في معظم أنحاء الصحارى الحارة ، فهي تنتشر في صحارى شبه جزيرة العرب ، وخاصة في الدهناء ، فهي تمتد على شكل حواف طولية مدببة القمم ، تضم فيما بينها بعض الكثبان الحلزونية المقوسة وتتحرك في نفس الإتجاه العام من الشمال إلى الجنوب. كما تنتشر في الصحراء الأفريقية الكبرى على شكل نطاقات طولية متوازية تمتد أيضاً من الشمال للجنوب ، تتفاوت أطوالها بين بضعة كيلومترات ، ويصل طول بعضها في صحارينا المصرية لـ ٣٥٠ كم ، وأشهرها غرد أبي الحاريق بالصحراء الغربية ، الذي يتحرك نحو الجنوب بمعدل عشرة أمتار سنوياً . ويتوقف شكل وحجم السيوف على عدد من العوامل أهمها:

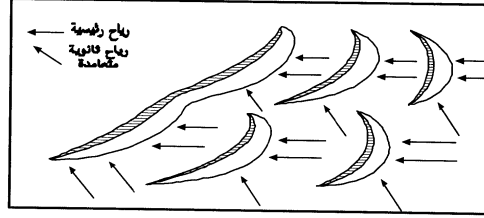
- ١- اختلاف طبيعة المواد التي تشكل منها .
- ٢- إتجاه الرياح السائدة .
- ٣- الفترة الزمنية التي تكون خلالها السيوف .
- ٤- خصائص شكل سطح الأرض الذي تكون عليه السيوف .

وتنقسم أشكال هذا النوع من الكثبان إلى نمطين متميزين هما :

"١" الكثبان الطولية البسيطة Simple Linear Dunes :

"٢" الكثبان الطولية المعقدة Complex Linear Dunes :

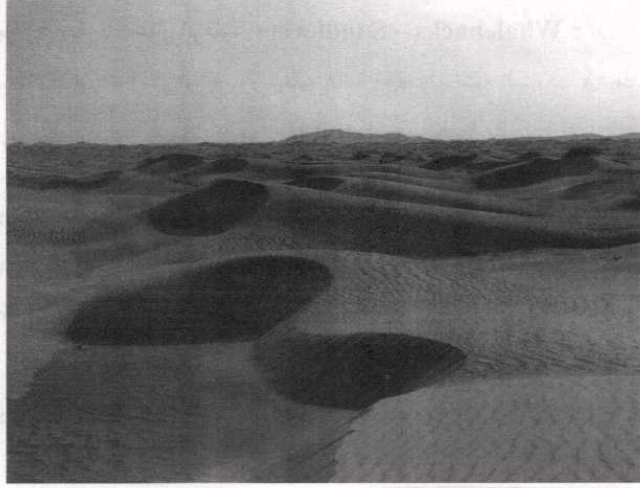




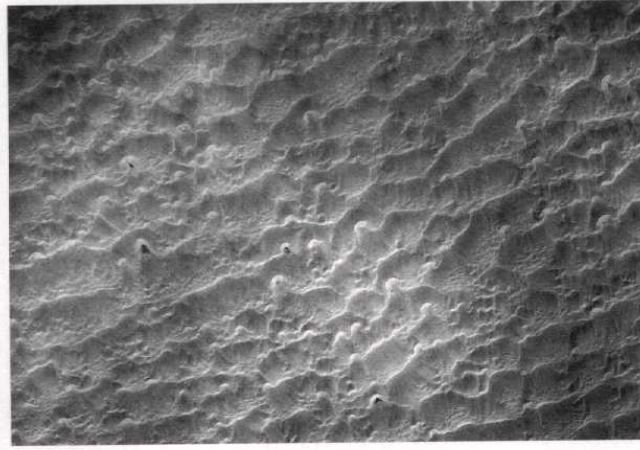
شكل (٣-٥) تحول الكتيب الغلالي إلى كتيب طولى بسبب هبوب رياح ثانوية متعامدة على إتجاه الكتيب الأصلي

#### (ج) الحواجز الرملية العرضية Sand Ridges-Transverse Dunes :

تمتد الحواجز الرملية في وضع عمودى على إتجاه الريح ، وتتشكل حينما يحتوى الرمل المنقول على حبات خشنة وأخرى ناعمة ، حيث يؤدي تراكم الحبات الخشنة فوق قمم الحواجز إلى فشل الرياح في نقلها مرة أخرى ، وتسهم بالتالى في زيادة إرتفاعه ، وينحدر الكتيب العرضي إنحداراً هيناً في جانبه المواجهة للرياح، وينحدر الجانب المظاهر لها إنحداراً شديداً قد يصل إلى حوالى الخمس وثلاثون درجة ، متفقاً في هذا مع البرخانات (صورتا ١٥-٥ و ١٦-٥ وشكل ٥-٥) .



صورة (١٥-٥) مجموعة كثبان رملية مستعرضة بالقرب من قرية "الشويب" بدولة الإمارات  
(تصوير المؤلف في أبريل ٢٠٠٤)



صورة (١٦-٥) صورة جوية رأسية لكثبان رملية مستعرضة جنوب منطقة الظفرة في القسم الغربي  
من إمارة أبوظبي بدولة الإمارات العربية المتحدة

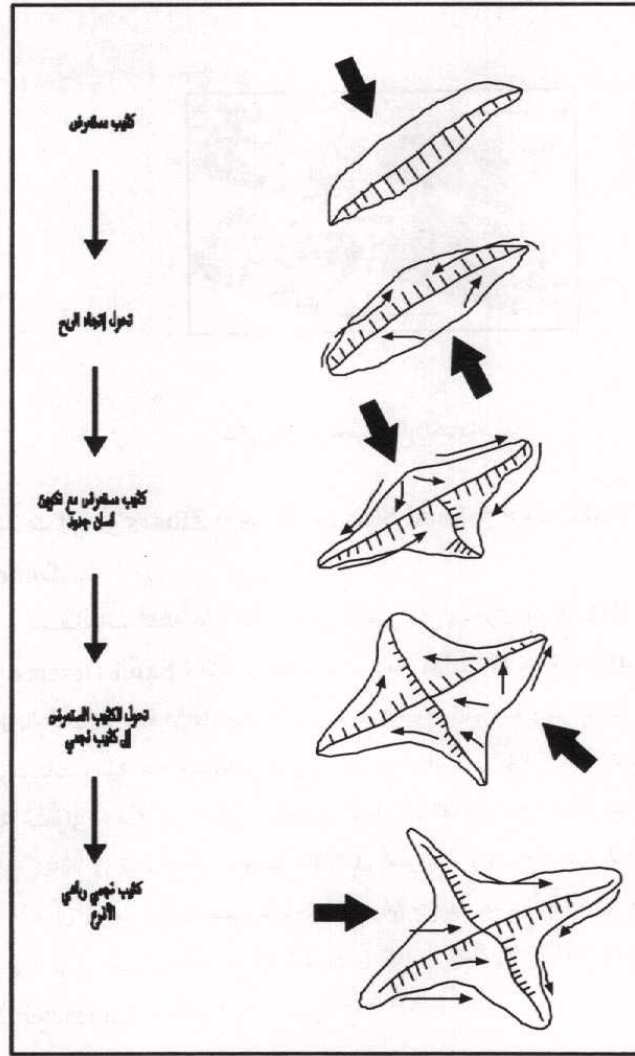
(د) أظهر الحيتان - الجسور الرملية **Whalebacks - Sandleeves** :

عبارة عن سلاسل أو جسور رملية هائلة الحجم ، تشبه السيوف في إمتدادها الموازي لإتجاه الرياح ، إلا أنها تختلف عنها في بعض خصائصها مثل :-

- ١- تبدو أظهر الحيتان مسطحة القمة بعكس السيوف الحادة المسننة .
- ٢- تتميز جوانب أظهر الحيتان ببطء الإنحدار ، بينما يشتد إنحدار أحد وجهيه.
- ٣- ظهر الحوت أكبر حجماً من السيوف ، إذ يصل طول ظهره لأكثر من ٢٠٠ كم ، وعرضه لا يتعدى ٣ كم وإرتفاعه حوالى ٥٠ متر .
- ٤- تعد أظهر الحيتان من الأشكال الرملية الميتة عديمة الحركة ، أي على النقيض من البرخانات ، والغرود المتحركة .
- ٥- تنشأ أحياناً بعض الكثبان الطويلة المحدودة الحجم متراكمة فوق أظهر الحيتان .

(هـ) الكثبان النجمية **Star Dunes** :

تشكل الكثبان النجمية حينما تأتى الريح في مناورات من عدة إتجاهات ، ويتناسب عدد أذرع النجوم الرملية ، وطول كل ذراع منها مع إتجاهات الرياح السائدة ، إذ تبدو اشكالها متوافقة إلى حد كبير مع وردات الرياح لإقليم تشكيلها وينتشر هذا النوع من الكثبان الرملية في التركستان ، وصحراء "ثار" شمال غرب الهند ، وبعض أجزاء الصحارى الاسترالية (شكلا ٥-٤ و ٥-٥).



شكل (٤-٥) مراحل تحول كتيب مستعرض إلى كتيب لحي

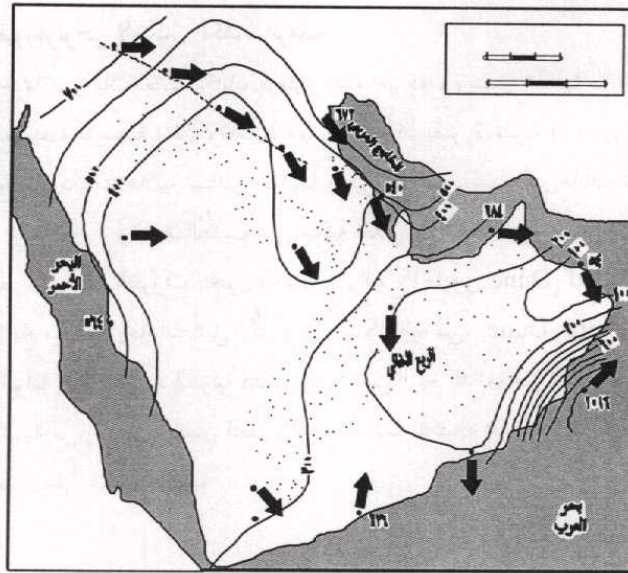


شكل (٥-٥) بعض أنواع الكثبان الرملية

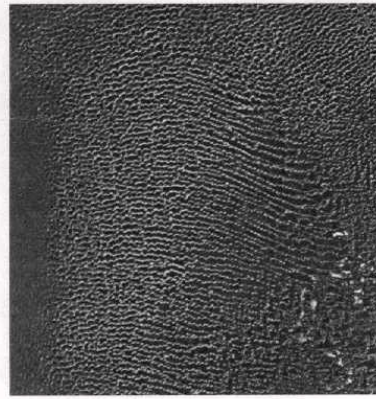
### (و) الغطاءات الرملية Zibars - بحار الرمال Sand Seas - حقول الكثبان

: Dunefields

تتعدد المصطلحات الدالة على هذا المظهر الأرضي مثل صحري العرق **Erg** ، الصحاري الرملية **Sand Deserts** ، القوز **Qoz** ، الرملة **Ramlat** ، وغرد **Ghard** ، وكوم **Kum** ، ومعظم هذه الأسماء مشتقة من اللغات العربية والفارسية والتركمانية . وهي عبارة عن فرشاة رملية شبه مستوية ، تتموج سطوحها بتأثير حركة الرياح . تشغل الغطاءات الرملية حوالي ٨٥% من إجمالي الصحاري الرملية في العالم ، تقع ٤٥% منها في قارة آسيا وحوالي ٣٤% في قارة أفريقيا ، ونحو ٢٠% في أستراليا ، وتتوزع النسبة الباقية بين قارات العالم الأخرى ، وهي بذلك تغطي مساحات شاسعة من الصحاري الحارة في العالم وأهمها في صحراء الربع الخالي والصحراء الكبرى في شمال أفريقيا (Cooke et al. 1993: & Lancaeter, 1995) (شكل ٥-٦ وصورة ٥-١٧)



شكل (٦-٥) إتجاه حركة الغطاءات الرملية بفعل الرياح في شبه الجزيرة العربية



صورة (١٧-٥) مرئية فضائية للكثبان الرملية في الربع الخالي  
(ألوان الصورة غير حقيقية False Color Image)

### التطور الجيومورفولوجي لأشكال الكثبان الرملية

نخرج مما سبق بأن معظم الكثبان الرملية دائمة الحركة ، ويتبدل شكلها من حين لآخر ، لتتكيف مع بيئتها الترسيبية ، فالكومات الرملية التي تتراكم بصورة عفوية في بادئ الأمر تتحول بالتدريج إلى كثيبات هلالية تستدير جوانبها وتنثنى أطرافها ، لتبدو كبرخانات تتحرك بتؤدة وتسرى مع الرياح ، ويحافظ الكثيب على شكله الهلالي مع ثبات ظروفه البيئية ، ولكن إذا ما طرأ أى تغير على تلك الظروف يتحول الكثيب إلى النوع الحلزوني Sigmoided Dune ، أما إذا أتت الرياح من عدة إتجاهات يميل الكثيب إلى الشكل النجمي Stare Dune . أما أنسب الظروف المواتية لنشأة الغرود الطولية فتتأتى عندما تقبل الرياح الدائمة من إتجاه غالب ، تؤازرها رياح آتية من إتجاهين جانبيين لتعطى الرياح الدائمة للكثبان محاورها الطولية ، بينما تعمل الرياح الجانية على ضيق عروضها .

قائمة المراجع:

أولاً مراجع باللغة العربية :

١. جودة حسنين جودة ، ١٩٦٥ : الاكتساح والنحت بواسطة الرياح ، مجلة كلية الآداب ، جامعة الإسكندرية ، المجلد ١٨ ، ص ص ١٥٧-١٧٨.
٢. ----- ، ١٩٩٦ : الجيومورفولوجيا ، دار المعرفة الجامعية ، الإسكندرية، ٦٨٣ ص.
٣. حسن سيد أحمد أبو العينين ، ١٩٩٥ : أصول الجيومورفولوجيا، الطبعة الحادية عشرة ، مؤسسة الثقافة الجامعية ، الإسكندرية، ٧٧٠ ص.
٤. عبدالله يوسف الغنيم ، ١٩٨١ : أشكال سطح الأرض المتأثرة بالرياح في شبه الجزيرة العربية ، وحدة البحث والترجمة ، جامعة الكويت ، الكويت، ١٥٨ ص.
٥. صلاح الدين بحيرى ، ١٩٧٩ (أ) : جغرافية الصحارى العربية ، المنظمة العربية للتربية والثقافة والعلوم ، معهد البحوث والدراسات العربية ، القاهرة.
٦. ----- ، ١٩٧٩ (ب): أشكال سطح الأرض ، دار الفكر العربى ، دمشق.
٧. محمد صبرى محسوب ، ١٩٩٨ : جيومورفولوجية الأشكال الأرضية ، دار الفكر العربى، القاهرة.
٨. ----- ، ٢٠٠١ : الأطلس الجيومورفولوجى ، معالجة تحليلية للشكل والعملية، دار الفكر العربى ، القاهرة.
٩. محمد مجدى تراب ، ١٩٩٦ : أشكال الصحارى المصورة، منشأة المعارف ، الإسكندرية.
١٠. يحيى عيسى فرحان ، ١٩٨٣ : مورفولوجية المنحدرات في مناطق مختارة من وسط الأردن، منشورات جامعة اليرموك ، اليرموك .



ثانياً: مراجع بلغات أجنبية :

- 1- Abrahams, A.D. & Parsons, A.J. 1994, Geomorphology of desert environments. Chapman and Hall, London. GB611.A2 (2 copies in Nuffield collection).
- 2- Bagnold, R.A., 1936, The movement of desert sand, Royal. Soc. London Ser. A 157, 594-620.
- 3- Brookfield, M., 1970, Dune trends and wind regime in central Australia, Zeitschrift für Geomorphologie, Supplementband 10, 121-53.
- 4- Carter, R.W.G. 1988, Coastal Environments Academic Press QH541.5.C65. (4 copies, 3 of which are in Nuffield collection). Most wide-ranging, authoritative text on coasts. Also includes a chapter on coastal dunes.
- 5- Chepil, W.S. & Wooldruff, N.P. 1954, Estimations of wind erodivity of field surfaces. Jurnal of Soil and Water Conservatio 9, 257-65.
- 6- Cooke, R.U., Warren, A., and Goudie, A.S. 1993, Desert geomorphology. UCL Press, London. GB611.C6 (2 copies in Nuffield collection).
- 7- Gibbens, R.P., Tromble, J.T., Hennesey and Cardenas, M., 1983, Soil movement in mesquite dunelands and former grasslands of south New Mexico from 1933 to 1980, Journal of Range Management 36, 145-8.
- 8- Gillette, D.A. 1979, Environmental factors affecting dust emission by wind erosion, In Morales, C. (ed.) 1979, Sahara dust. Chester, England: Jon Wiley.
- 9- Goudie, A.S. (Edit.), 2004, Encyclopedia of Geomorphology, International Association of Geomorphology, New York, 1156p.

- 10-Greeley, R. & Iversen, J.D. 1989, Wind as a eological process on Earth, Mars, Venus and Titan. Cambridge: Cambridge University Press.
- 11-Hennessey, J.T., Kies,B., GtobbensR.P. and Tromble, J.M.,1986, Soil sorting by forty-five years of wind erosion on a southern New Mexico range, Journal of Soil Scince Society of America,v. 50,391-4.
- 12-Holm, D.A., 1960, Desert Geomorphology in the Arabian Peninsula, Science,v.132, No.3437,1369-79.
- 13-Lancaster, N. 1995, The geomorphology of desert dunes. Routeledge, London. QE597.L2 (1 copy in Nuffield collection).
- 14-Livingstone, I. & Warren, A. 1996, Aeolian Geomorphology Addison Wesley Longman, Harlow. GB 631.L4 (1 copy in Nuffield collection).
- 15-Viles, H. & Spencer, T., 1995, Coastal Problems. Geomorphology, Ecology and Society at the Coast. Edward Arnold. GB451.2 (3 copies in Nuffield collection). A more integrated geographical approach to coasts.
- 16-Wilson, I.G., 1971, Desert sandflow basins and a model for the development of ergs, Geographical Journal 137,180-99.



## الفصل السادس أشكال الكارست

أولاً: أصل الكارست.

ثانياً: العوامل المؤثرة في

تكوين الكارست.

ثالثاً: أنماط الكارست.

رابعاً: أهم الظاهرات

الجيومورفولوجية الناتجة عن فعل الكارست:

خامساً: التصريف المائي في مناطق الكارست.

سادساً: تصنيف أشكال الكارست.

سابعاً: التوزيع الجغرافي لأهم مناطق الكارست في العالم.

ثامناً: الدورة الجيومورفولوجية الكارستية.



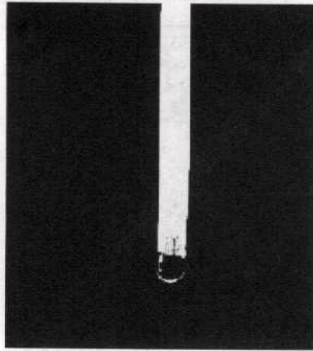
## الفصل السادس أشكال الكارست

مقدمة :

تتأثر الصخور الكربونية بفعل الإذابة سواء بالمياه الجوفية أو مياه الأمطار (صورة ٦-١) ، وأشهر المناطق الجيرية في العالم إقليم كارست Karst ، Krass ، Kras ، Carso Kra في يوغسلافيا السابقة، وبالتحديد في القسم الغربي من دولة سلوفينيا المطل على البحر الأدرياتي.

### أولاً: أصل مصطلح "كارست - Karst" :

اكتشفت في هذا الوقت مجموعات الكهوف التي يزخر بها هذه الإقليم .



صورة (٦-١) قطرة من نواتج ذوبان الحجر الجيري متدلية من عمود نازل بسقف كهف كارستي نشط

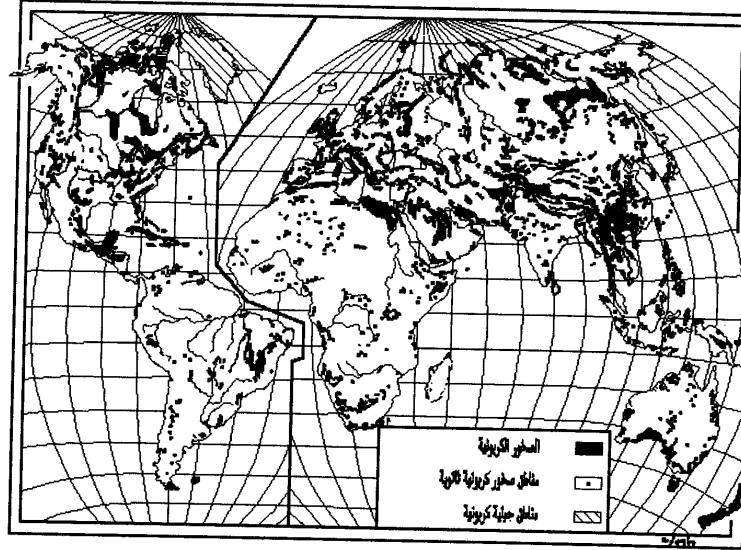
يُعد الجيولوجي اليوغوسلافي "فالفسور Valvasorjevo" أول من أطلق تعبير Kras على الأراضي الجيرية المتأثرة بفعل الإذابة النشطة وقدم وصفاً وافياً عنها عام ١٦٨٩ ، وأطلق هذا التعبير نسبة لقرية تحمل هذا الاسم كانت تقع للشرق من ميناء "تريست Triest" -الإيطالي حالياً- ثم تبعه بعض المسافرين المتجهين من وسط أوروبا نحو هذا الميناء المطل على البحر الأدرياتي ، وكانت هذه المنطقة عبارة عن صحارى جيرية حارة في فصل الصيف ، عارية من الغطاء النباتي ، تحذوها مجموعات كبيرة من الحدوذ الغائرة التي عُرفت فيما بعد بمناطق التشرشر الجيري، إذ لم تكن قد

وخلال الفترة من أواخر القرن السادس عشر وحتى أوائل القرن العشرين ، أنتقل هذا المصطلح للغة الألمانية ، واستخدم في التعبير عن ملامح المظهر الكارستي في النمسا وألمانيا، ثم أنتشر مصطلح الكارست وأطلق على جميع المناطق المتأثرة بفعل الإذابة النشطة في العالم .

### ثانياً: العوامل المؤثرة في تكوين المظهر الكارستي :

هناك مجموعة من الظروف البيئية يجب توافرها حتى يتكون المظهر الكارستي بأكمل صورته نوجزها فيما يلي :

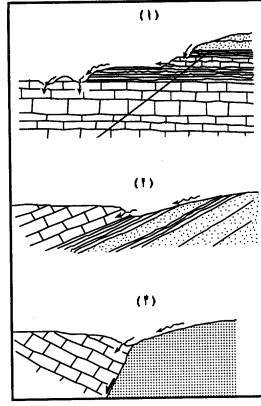
أولها نوع الصخر : فلا بد وأن يتكون سطح المنطقة من صخر قابل للتحلل والذوبان، إذ يشهد تأثير الإذابة في مجموعة الصخور الكربونية ، وخاصة الأحجار الجيرية والدولوميت والجبس والهاليت ، وتعتبر الأحجار الجيرية أكثرها تأثراً بعملية الإذابة بسبب إرتفاع نسبة الكالسيوم القابل للذوبان لأكثر من ٩٥% من تكويناته ، أما الطباشير فهو صخر قابل للذوبان ، ولكن ينقصه أحد العوامل الأساسية اللازمة لتكون أشكال الكارست وهو المسامية (شكل ٦-١).



شكل (٦-١) التوزيع الجغرافي للصخور الكربونية في العالم

### وثانيها خصائص البنية الجيولوجية :

ويعتبر أحد العوامل المهمة ويعني مدى قابلية الصخر للتحلل أو الذوبان ، الذي يتأثر بنسبة المسام في الصخر ، ودرجة نفاذيته ، واتساع الفراغات بين حبيباته ، ودرجة وإتجاه ميل طبقاته الصخرية ، فينبغي أن تكون الطبقة الصخرية سمكية ومتماسكة ولها كثير من الشقوق والفواصل ، إلى جانب درجة تأثير الصخر بنظم الفواصل الصخرية التي تساعد على سرعة تغلغل المياه داخل الصخر . ويرى بعض دارسي علم الكهوف أن أهم خاصية تسهم في تكوين المظهر الكارستي هي وجود الأحجار الجيرية المسامية ، وفي الحقيقة فإن مسامية الصخر بصورة كلية ليست من الصفات المساعدة على تكون المظهر الكارستي ، فإذا كان الصخر ذو مسامية عالية في كل كتلته الصخرية ، فإن مياه الأمطار سوف تمتص بكل أجزاء الصخر ويصبح مشبعاً بالمياه تماماً دون أن تتركز المياه على طول خطوط معينة ومسالك بنية في الصخر تسلكها وتقوم بتدويرها (شكل ٦-٢).



شكل (٦-٢) بعض حالات تسرب المياه من خلال التكوينات الجيرية

- ١- تسرب المياه على أسطح الطبقات الأفقية نحو الحفر الغائرة
- ٢- تسرب المياه مع ميل الطبقات الصخرية على سطح الإنفصال الطبقي
- ٣- تسرب المياه عبر خطوط الانكسارات



وثالث العوامل المؤثرة في تكوين المظهر الكارستى بصورته المثالية ، هو الوضع الطبوغرافى وتأثيره على سرعة جريان المياه وتقليل نسب التبخر ، فوجود نظم فيضية مخفورة على مستوى أقل من منسوب الأرضى الجيرية المرتفعة القابلة للتحلل الكيميائى ، حتى يساعد هذا الوضع الطبوغرافى على تحريك المياه بفعل الجاذبية الأرضية ، وبذلك يعد النظام الفيضى كمصرف للتخلص من المياه المشبعة بالكربونات المذابة .

أما العامل الرابع فهو الظروف المناخية : وتشمل كميات الأمطار الساقطة والتلوج المنصهرة التى تسهم في إذابة التكوينات الجيرية ، كما يساعد إرتفاع درجة الحرارة على تنشيط عملية الاذابة وسرعة تحلل الصخر ، إذ يجب أن تتمتع المناطق الجيرية بكمية معتدلة من المطر ، وأنه لمن الواضح أن كل المناطق الكارستية تقريباً توجد في مناطق تتفاوت فيها كمية المطر من المعتدل إلى الغزير ، ومن المناطق التى يمكن استثنائها من هذه القاعدة منطقة الكارست في " يوكاتان Yucaton " ، ولكن من المحتمل أن كمية المطر الساقطة على هذه المنطقة كانت أعظم بكثير أثناء الفترات المطيرة من عصر البلايستوسين بالمقارنة مما يسقط عليها في الوقت الحاضر . ولا يتوقف الأمر على كمية الأمطار فقط ولكن لابد وأن نضع في إعتبارنا خصائص المياه الجوفية: من حيث تركيبها الكيميائى ، وبصفة خاصة نسبة الحمضية PH. Ratio ، ومدى إقتراب وثبات مستوى المياه الجوفية.

وعموماً فإن المناطق الجافة ذات التكوين الصخرى الجبرى لا تتمثل فيها الظواهر الكارستية، ولكن يدل وجود الظواهر الكارستية المتبقية في تلك المناطق إلى أن الظروف المناخية لها كانت أكثر مطراً مما هي عليه الآن ، وبخاصة أثناء الفترات المطيرة التى حدثت في عصر البلايستوسين ، ومثل هذه الظواهر الكارستية منتشرة في معظم المناطق الجيرية من الوطن العربى في حوض البحر المتوسط ، وخاصة في شمال أفريقيا وغرب آسيا، إلى جانب أجزاء معينة في شبه الجزيرة العربية ، خاصة في سلطنة عُمان والمملكة العربية السعودية .

وأخيراً **الغطاء النباتي ونوع التربة** : يختلف تأثير نوع وكثافة الغطاء النباتي ، على معدلات تأثر الأحجار الجيرية بفعل الإذابة الكارستية ، من منطقة لأخرى فقد تسهم جذور الأشجار في تجوية الصخور ميكانيكياً ، وتوسيع الشقوق والفواصل ، مما يساعد على تنشيط فعل الإذابة .مساهم المطر ، وقد يكون تأثير الغطاء النباتي سلبياً ، أى يقلل من نشاط عمليات الإذابة ، خاصة في المناطق التي يسود بها أنواع من الأشجار تحتاج في نموها لكميات كبيرة من المياه ، فتقلل من نشاط الإذابة بسبب إستتواف جزء من المياه المتساقطة على سطح الأرض في تغذية الغطاء النباتي . كما يؤثر نوع وسمك التربة في تكوين المظهر الكارستي ، فالترتبات المسامية ذات القوام الخشن تعجل من تسرب المياه لصخر الأساس الجيري ، أما الترتبات الدقيقة الحبيبات التي تكاد تنعدم فيها الفراغات البينية ، فهي تساعد بالتالي على تبحر المياه وعدم وصولها للأحجار الجيرية فتقلل من ذوبانها في المياه .

### **ثالثاً : أنماط الكارست Types of Karst:**

وفقاً لمدى توفر الظروف البيئية الملائمة لتشكيل المظهر الكارستي ، فإنه يمكن تصنيف أقاليم الكارست الجيرية في العالم للأنماط الآتية :

- (أ) مناطق الكارست الرطبة (الكارست الحقيقي) True Karst وهي تنتشر في الأقاليم المعتدلة التي يتكون من الأحجار الجيرية في الوقت الحاضر ، وهي التي يتمثل بها المظهر الكارستي النشط في أوج صورته.
- (ب) مناطق الكارست الفيضي Fluvio-karst
- (ج) مناطق الكارست في الأقاليم المدارية Tropical Karst
- (د) مناطق الكارست الجليدية Glacio- Karst
- (هـ) مناطق الكارست الجفري بالنطاقات الجافة الحالية Arid-Karst

#### **رابعاً : أهم الظواهر الجيومورفولوجية الناتجة عن فعل الكارست :**

يمكن تصنيف أهم الظواهر حسب نطاق تواجدها إلى نوعين هما : أشكال الكارست السطحية **Surficial Karst** ، وأشكال الكارست الجوفية **Underground Karst** :  
(أ) أشكال الكارست السطحية **Surficial Karst** :  
يُطلق هذا المصطلح على الأشكال الأرضية الكارستية التي تتكون بفعل الإذابة السطحية ، وأهمها الظواهر الآتية :

##### **١- التربة الحمراء Terra Rossa :**

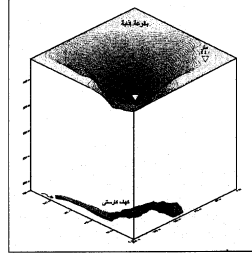
عادة ما تترك عملية التحلل السطحية أو القرية من السطح نتيجة تسرب المياه في الصخر المكون لسطح الأرض آثارها ممثلة في تربة حمراء طينية تغطي سطح الأرض وضاربة بصورة رأسية على طول الفوالق الصخرية، وقد لا تتكون هذه التربة على المنحدرات المعتدلة والضعيفة، وتنبأين في سمكها بين بضعة أمتار وعشرات الأمتار ، كما قد تغطي سطح الصخر تغطية كاملة، وتشبه هذه التربة الحمراء Terra Rossa في مظهرها تربة اللاتريت في المناطق الاستوائية أو العروض المدارية المطيرة.

##### **٢- الحفر الغائرة وبالوعات الإذابة Sink Holes & Dolines :**

بالوعات الإذابة عبارة عن منخفضات أرضية قمعية المقطع دائرية أو طولية الشكل ، تتكون بتأثير فعل الإذابة السطحية للمياه في الأحجار الجيرية ، وهي من أوسع الظواهر الكارستية إنتشاراً ، إذ توجد هذه الظاهرة بالئات بل بالآلاف في أقاليم الكارست كبرى .

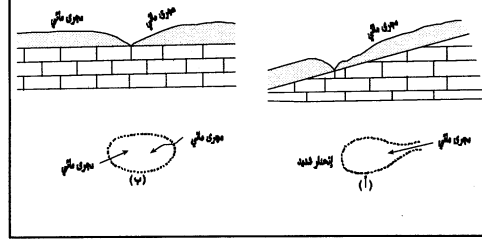
وتعتبر البالوعة من الناحية الطبوغرافية منخفضاً أرضياً يتباين عمق معظمها من ١٠-٣٠ متر ، وقد تصل لأكثر من مائتي متر مثل حفرة إذابة "طوى أعتير" في محافظة ظفار بسلطنة عُمان ، أما من حيث المساحة فتتراوح هذه البالوعات من بضعة عشرات من الأمتار المربعة إلى حوالي الكيلومتر المربع وربما أكبر من ذلك ، وشكل البالوعة العام هو الشكل القمعي

(المحروطي) رأسه إلى أسفل وقاعدته المتسعة إلى أعلى ، ولكن هناك أشكالاً متباينة للبالوعة غير شكلها المألوف ، مثل الشكل البيضاوي ، أو شبه النجمي وغيرهما (شكل ٦-٣).



تعتبر الحفر الغائرة أو بالوعات الإذابة من أكثر الظواهر الكارستية إنتشاراً في العالم، وهي تنشأ نتيجة تسرب المياه من خلال الفواصل وإذابتها لمكونات الصخر، ويتوقف شكل الحفرة الغائرة على الخصائص البنيوية للصخر ومدى وفرة المياه (شكل ٦-٤).

شكل (٦-٣) مجسم للبالوعة Dol Risnik في سلوفيا



شكل (٦-٤) مقطعان عرضيان في بالوعتي إذابة يوضحان:  
البالوعة (أ) غير متماثلة الإخمدار نتيجة إنسياب المياه من مجرى مائي واحد.  
البالوعة (ب) متماثلة الإخمدار نتيجة إنسياب المياه من مجريين متقابلين .

وتُعد حفرة إذابة "طوى أعتير" في ولاية مرباط التابعة لمحافظة ظفار بسلطنة عُمان واحدة من أكبر حفر الإذابة في العالم، إذ يبلغ حجمها حوال ٩٧٥٠٠٠ متر مكعب، ويتراوح طول قطرها فيما بين ١٣٠ - ١٥٠ م، أما عمقها فيصل الى ٢١١ م، وبإمكان هذه الحفرة استيعاب مبنى يتألف من ٧٠ طابق، كما يُعتقد أن حفرة إذابة "طبق" بسلطنة عُمان واحدة من أكبر حفر الإذابة على سطح الأرض، إذ يبلغ حجمها ٣٠٠ مليون متر مكعب (١٢٥ × ١ كم × ٢٥٠ م) ويصب في الكهف المخفور في قاعها أنثين من المجارى العمياء (Hanna et al., 1996) (صورة ٢-٦).



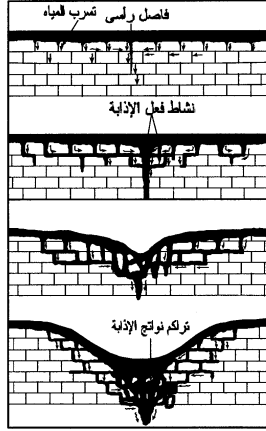
صورة (٢-٦) الجانب الشمالى من حفرة إذابة "طوى أعتير" بولاية مرباط في محافظة ظفار بسلطنة عُمان (تصوير المؤلف في سبتمبر ٢٠٠٣)

ويمكن تصنيف حفر الإذابة للأشكال الآتية وفقاً لأسلوب تشكيلها :

(أ) بالوعات الإذابة

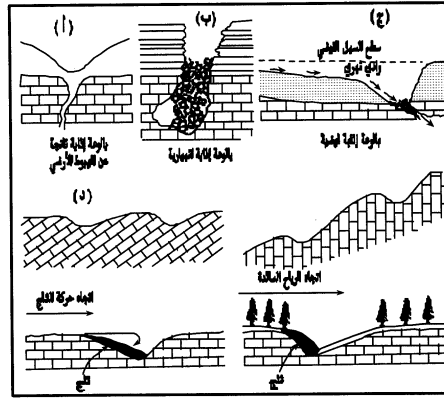
#### Solution Dolines or Solution Sink Holes :

يتكون هذا النمط من البالوعات نتيجة نشاط فعل الإذابة على سطح الأرض ، وتكوين بعض الحفر الدائرية أو المنخفضات القمعية المظهر ، ومع نشاط عملية الذوبان تتسع هذه الحفر ببطء ، وقد تتلاحم مع بعضها مكونة منخفضات أكثر اتساعاً ويطلق عليها في هذه الحالة اسم بالوعة إذابة مركبة Compound Sink Hole.



وتتكون بالوعات الإذابة نتيجة التحلل الراسي البطيء تحت غطاء من التربة دون حدوث أى تأثير للتجويف الميكانيكية للصخر الذى تكونت فيه تلك البالوعات التى يطلق عليها اسم "بالوعات الإذابة Solution Sinks" (شكلا ٥-٦ ، ٦-٦ ، وصورنا ٣-٦ ، ٤-٦).

شكل (٥-٦) مراحل تكوين بالوعة الإذابة



شكل (٦-٦) بعض أنواع بالوعات الإذابة

- (أ) بالوعة إذابة ناتجة عن هبوط أرضي  
(ب) بالوعة إذابة إغيارية  
(ج) بالوعة إذابة فيضانية  
(د) بعض مسببات عدم تماثل انحدارات جوانب بالوعة الإذابة



صورة (٣-٦) بالوعة إذابة في منطقة Rakov Skocjan في سلوفينيا  
(تصوير المؤلف في أغسطس ٢٠٠٣)

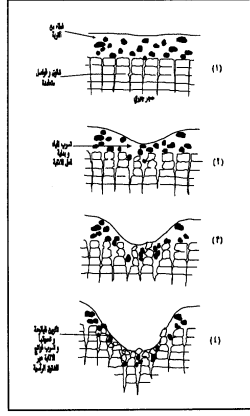


صورة (٤-٦) مدخل كهف طيق في سلطنة عُمان الذي أستهل نشأته كبالوعة إذابة قبل تطوره إلى كهف  
كارستي يغوص فيه أنثين من الأودية العمياء اللذين يظهران في الصورة (تصوير المؤلف في سبتمبر ٢٠٠٣)





(ب) بالوعات الإذابة الفيضية Alluvial Dolines :



شكل (٦-٧) مراحل تكوين بالوعة الإذابة الفيضية

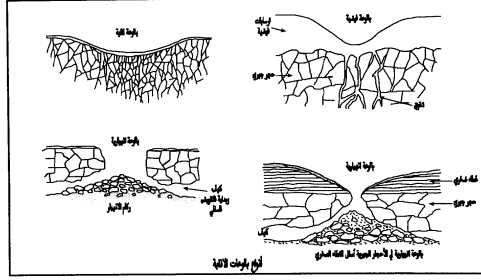
ينشأ هذا النمط من البالوعات نتيجة تسرب المياه من خلال التربة الفيضية التي تغطي الأحجار الجيرية ، مما يساعد على إذابة مكونات الصخر ، وهبوط سطح الأرض على شكل حفرة دائرية الشكل مغطاه بالرواسب الفيضية (شكل ٦-٧).

(ج) الحفر الطولية Polje

ينتشر هذا النوع من بالوعات الإذابة في إقليم كارست في غرب سلوفينيا وبلغاريا واليونان، وهو عبارة عن حفر طولية الشكل ذات جوانب شديدة الانحدار . ويعرف هذا النمط من البالوعات باسم Polje -Bolje، وأطلق هذا الاسم على منخفضات ذات أشكال مختلفة وأصول متباينة، ولكن البالوعة البوسنية (إحدى جمهوريات يوغسلافيا السابقة) الحقيقية هي عبارة عن حوض مستطيل يتميز بقاع مسوى وجوانب شديدة الانحدار تدين في وجودها إلى تعديلات عملية الإذابة لمناطق إنكسارية أو التوائية هابطة من الكتل الجيرية، وقد تشبه كل من (البولجيه Polje والأوفالا Uvala) ولكنها تختلف في أصل نشأتها من ناحية وفي درجة امتدادها من ناحية أخرى .

#### (د) وعاء الإذابة Solution Pan:

وهناك نمط من بالوعات الإذابة يسمى وعاء الإذابة Solution Pan ، منخفض دائري الشكل كبير المساحة ذو جوانب هينة الانحدار يتكون نتيجة فعل الإذابة السطحية، وتتجمع على قاعه الرواسب العضوية والطين والأملاح ، وهو عادة يشغل مساحة أكبر بكثير من تلك التي تشغلها الدولين، فتبلغ مساحة البالوعة المعروفة باسم وعاء الإذابة أكثر من ٣٠ فدانا ، وقد تسد فتحات بعض بالوعات الإذابة نتيجة تجمع بعض المواد الطينية وترسيبها عند قاعها بدرجة تجز المياه فوق منسوب الماء الباطني ، ويطلق على المياه المتجمعة نتيجة إنسداد فتحات البالوعات اسم " برك البالوعة Sinkhole Ponds " أو "البحيرات الكارستية Karst Lakes" إذا كان حجمها من الكبر بحيث يمكن معه استخدام لفظ بحيرة ، وخير مثل على هذه البرك أوالبحيرات الكارستية والتي يتفق سطحها مع المنسوب العلوي لمستوى الماء الباطني، مجموعة البحيرات والبرك المنتشرة في السهل الأوسط في سلوفينيا ، ومنطقة فلوريدا الكارستية بالولايات المتحدة الأمريكية (شكل ٦-٨) .



شكل (٦-٨) أنواع بالوعات الإذابة

### (هـ) بالوعة الإذابة المركبة Compound Sinkholes:



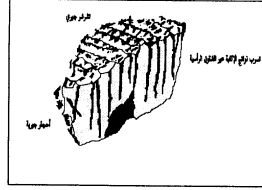
صورة (٥-٦) فوهتي بالوعة إذابة مركبة في منطقة Rakov Skocjan في سلوفينيا (تصوير المؤلف في أغسطس ٢٠٠٣)

يُطلق هذا المصطلح على البالوعات الكبيرة المساحة ، وهي في الواقع تتكون من مجموعة من البالوعات الأصغر حجماً، وحيثما تزدحم البالوعات ويكثر عددها إلى عدة مئات في الميل المربع، ونتيجة لإتساع مساحة البالوعة تنموها على حساب الأرض السحيق تفصلها عن البالوعة المجاورة، عادة ما تلتحم هذه البالوعات لتكون ما يطلق عليه البالوعات المركبة Compound Sinkholes (صورة ٥-٦).

ومثل هذه البالوعات المركبة عادة ما تحتوي على منخفض رئيسي كبير ناتج عن عملية الإذابة يشغل عدة أقدنة ويحتوي هذا المنخفض على العديد من البالوعات الإذابة الأصغر حجماً.

### ٣- الأسطح الجيرية المضروسة (التشرشر الجيري)

#### Bogaz -Karren or Lapies



شكل (٦-٩) ملامح التشرشر الجيري

تظهر الأسطح الجيرية مُقطعة ومرصعة بالنقوب والخطوط والخزوز العائرة ، نتيجة عدم إنتظام فعل الإذابة على سطح الأرض، وتعرف هذه الظاهرة باسماء محلية مختلفة منها : البوجاز Bogaz في سيبيريا وسلوفينيا وكرواتيا وصربيا ، والليبيه Lapies في فرنسا ، والكارن Karren في ألمانيا .

وعادة مايكون سطح الأرض في مناطق الحجر الجيري المطيرة شديد التضرس، ولذلك فإنه يكون عاريا من التربة الحمراء ، ويبدو ممزقا بواسطة أودية صغيرة عميقة تفصلها حواف حادة بارزة ، وتعرف هذه الأودية باسم التخرزات الأرضية Lapies ، ويتوقف تكوين الأسطح الجيرية المضرسة على عدد من العوامل أهمها ما يلي :

١-التكوين الصخري Lithification ، من حيث النسيج الصخري وحجم الفراغات البينية ودرجة صلابته ومدى تأثيره بالإذابة بالمياه .

٢- البنية الجيولوجية Geological Structure : بصفة خاصة ميل الطبقات ، ونظم الشقوق والفواصل : ومن الملاحظ أن التشترش الجيري نادر التكوين فوق الطبقات الصخرية الأفقية حيث تحمل محلها ظاهرة البالوعات الأرضية Sinkholes .

٣- درجة إنحدار سطح الأرض Surface slope : إذ تتدرج التخرزات الجيرية من حفر ضحلة Shallow Pits على المنحدرات البطيئة إلى تجاويف Grooves على المنحدرات المتوسطة، وأخيرا إلى تخرزات خطية Furrows على المنحدرات الشديدة وهذه الأخيرة أطلقا عليها اسم Lapies.

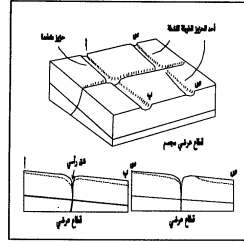
٤- نوع وكثافة التربة والغطاء النباتي الطبيعي فوق التكوينات الصخرية: تتكون هذه الخروز عادة في المناطق الجيرية التي تغطيها طبقة من التربة، وينمو عليها غطاء من النباتات الطبيعية .

تصنيف أشكال التشترش الجيري :

تصنف أشكال التشترش الجيري إلى عدة أنماط وفقاً لاختلاف أسلوب النشأة ، أو على أساس تباين مظهرها المورفولوجي ، وأهمها الأنماط الآتية (Hanna & Al-Belushi, 1996) :

١. حفر صغيرة Small pits طولية الشكل ، أو حذوذ دقيقة لايتعدى عمقها بضعة ملليمترات.

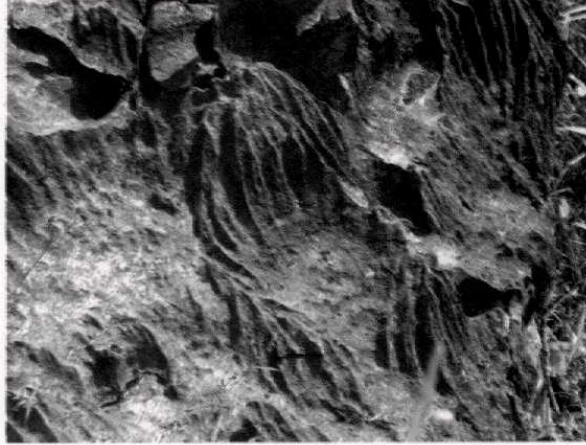
٢. قنوات دائرية القاع Round-bottomed channels ، وهي تبدو مشابهاة للحدلول المائية الدقيقة الحجم Microrills إلا أن قاعها يتميز بمظهره الدائري بتأثير بفعل الإذابة ، وهي عادة ما تحوز الحافات الصخرية شبه الرأسية .
٣. التلوم الخطية Linear fissures بتشكيل هذا النمط من التشعر الجوى متفقا مع إمتداد الشقوق والفواصل الصخرية .
٤. التشعر الجدولى Rillenkarren وهو أكثر الأشكال شيوعا ، وهو يتكون بتأثير جريان مياه الأمطار على المنحدرات المكونة من الأحجار الجيرية والدولوميت والطباشير .
٥. الحواط المشرشرة Wallkarren وهو يتكون بتأثير الإذابة على الحواط الجانبية للكتل والحافات الصخرية .
٦. التشعر الدائرى Roundkarren وهو عبارة عن مجارى أو قنوات مائية متسعة وعميقة يتراوح درجة انحدارها الطولى بين ٣٥ - ٤٠ درجة .
٧. التشعر العملاق Giant karren- Mega karren يطلق هذا المصطلح على الخلود التى يتجاوز اتساعها أكثر من عشرة سنتيمترات .



شكل (٦-١٠) مقاطع عرضية في الأسطح الجيرية المضرسة

وتعتبر ظاهرة التحزرات الأرضية الكارستية من أفضل الظواهر الجيومورفولوجية الكارستية في إظهار الاختلافات الدقيقة في درجة ذوبان الصخر ومساميته ومفاصله وطباقته ، وبعض الخصائص الطبيعية والكيميائية الأخرى التى تؤثر على معدل وإتجاه عملية التحلل الكيميائى عن طريق تسرب مياه الأمطار فيه .





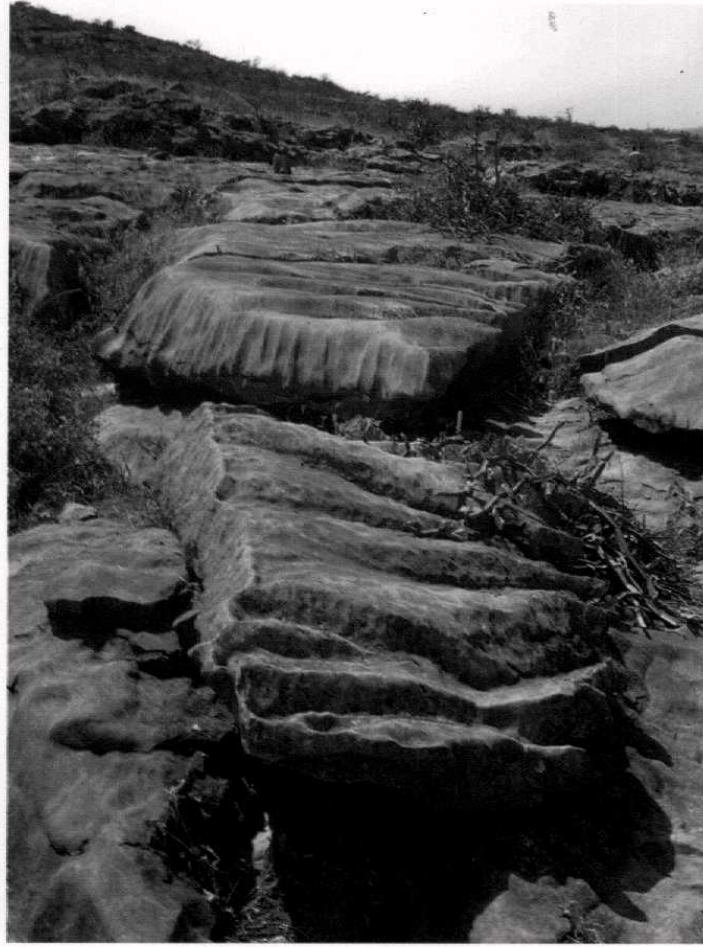
صورة (٦-٦) حوائط مشرشرة Wallkarren قرب كهف طيق بولاية مرباط في محافظة ظفار، سلطنة عُمان (تصوير المؤلف في سبتمبر ٢٠٠٣)



صورة (٦-٧) تشرشر جدولي Rillenkarren بالقرب من كهف طيق بولاية مرباط في محافظة ظفار، سلطنة عُمان (تصوير المؤلف في سبتمبر ٢٠٠٣)







صورة (٦-٨) كتل صخرية مُفككة بالتجوية الميكانيكية على طول نظم الفواصل المتعامدة ، ثم ساعدت عملية الإذابة بالرطوبة الجوية على تكوين مظاهر التشرشر الجوى على أسطح الكتل وحوافها على السواء ، الجبل الأخضر في سلطنة عُمان (تصوير المؤلف في مارس ٢٠٠٤)





صورة (٩-٦) تشرشر دائري Roundkarren يشبه قناة مائية مسواة القاع في حوض وادي  
دريبات بمنطقة "صلالة" في سلطنة عُمان (تصوير المؤلف في سبتمبر ٢٠٠٣)



#### ٤ - مدرجات الترافرتين Travertine Terraces

تعتبر مدرجات الترافرتين من الأشكال الجيومورفولوجية الفريدة ، إلا أنها محدودة الانتشار ، وهي عبارة عن مدرجات متتابعة على شكل سلمى ترتبط بالينابيع الحارة غالباً ، حيث تظهر المدرجات العليا حول فوهة الينبوع ، يحيط بها عدد من المدرجات الأقل منسوباً ، وتتكون هذه المدرجات من تجمع الترسبات الكلسية (الترافرتين) المتدفقة من الينابيع بعد تصلبها نتيجة تبخر مياهها ، وتبدو أسطح هذه المدرجات حوضية الشكل ، مما يساعد على تجمع الماء بكل حوض منها ، ثم تنساب المياه الزائدة نحو المدرج التالي لأسفل حاملة معها بعض محاليل الترافرتين الذائبة مكونة ستائر من الكالسيت المتصلب على هوامش المدرج .



صورة (٦-١٠) مدرجات ترافرتين تكونت على أرضية كهف Skocjanske في سلوفينيا (تصوير المؤلف في أغسطس ٢٠٠٣)

وتتكون هذه الظاهرة قرب مدينة "دنزلى" في جنوب غرب تركيا، وتستغل كمعلم سياحي فريد ، وقد تتكون هذه المدرجات داخل كهوف الكارست (من أوضحها كهف Skocjanske في سلوفينيا) أو على ضفاف بعض الأنهار في المناطق الطباشيرية نتيجة تدفق المياه الحارة من الينابيع .

#### ٥ - الكبارى الطبيعية Natural Bridges :

تبدو الكبارى الطبيعية على شكل جسور من الأحجار الجيرية تقاوم عمليات الإذابة النشطة أسفلها ، ويرتبط تكوين الكبارى الطبيعية بالحالات الآتية :

- (أ) الأنهار المفقودة .
- (ب) الأسر النهرى تحت السطحي .
- (ج) إغيار أجزاء متعددة من أسقف الكهوف الكارستية .
- (د) إلتحام أحواض أو حفر الإذابة تحت سطح الأرض .





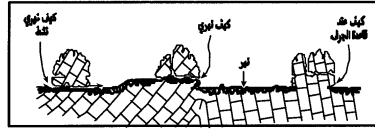
صورة (١١-٦) كوبرى طبيعى فى منطقة الروشة - بيروت بلبنان (تصوير المؤلف فى يوليو ٢٠٠٢)

#### ٦- تلال وأبراج الكارست Karst Hills & Towers



صورة (١٢-٦) تلال كارستية متبقية عن فعل الإذابة فى منطقة مشقى الحلو بسوريا (تصوير المؤلف فى يوليو ٢٠٠٢)

تعتبر تلال وأبراج الكارست من الأشكال الأرضية المتبقية عن نشاط فعل الإذابة، وتبرز هذه التلال فى المواضع التى تتميز بصلابتها النسبية ، وتأثر الأجزاء المتاخمة لها بالتحلل الصخرى ، ويطلق على هذه التلال العديد من الأسماء المحلية مثل تلال الموجوتس Mogotes فى جزيرة كوبا ، وتلال الهمز Hums فى إقليم الكارست ، وحينما تنتشر مجموعات التلال الحجرية المتبقية يطلق عليها تعبير الغابات الحجرية Stone Forests .



شكل (٦-١١) مقطع في أبراج الكارست في منطقة وادي كتنا - غرب ماليزيا

#### ٧- أودية الكارست Karst Vallies

يعتبر وجود الأودية من أهم مميزات الأقاليم الجيرية الرطبة ، وتتكون هذه الأودية نتيجة تدفق وجريان المياه السطحية مكونة العديد من الأشكال الجيومورفولوجية أهمها ما يلي :

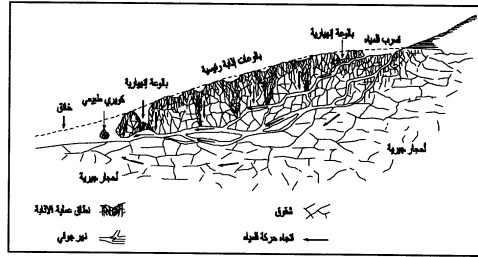
##### (أ) المجارى أو الأنهار المفقودة Lost Rivers

ينشأ هذا النمط من الأنهار حينما تغور مياه النهر داخل إحدى البويعات الإذابة أو الكهوف، إلا أنه قد يظهر مرة أخرى على السطح حينما يتفق منسوب الجرى الجوفى مع مستوى سطح الأرض.

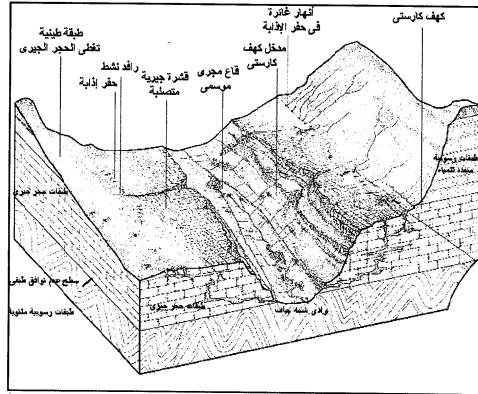
##### (ب) الأودية العمياء Blind Valleys

يقصد بها المجارى السطحية التي تحف مياهها نتيجة تسربها في باطن الأرض وتحولها بذلك إلى مجار جوفية ، وقد تظهر هذه المجارى من جديد مع زيادة كميات المطر بدرجة تفوق معدلات تسرب المياه في باطن الأرض .





شكل (١٢-٦) بعض الأشكال الجيومورفولوجية المرتبطة بالأنهار المنقودة



شكل (١٣-٦) أشكال الكارست في منطقة Dalse - Yorkshire في بريطانيا

## ٨- أشكال الكارست العليا Epikarst :

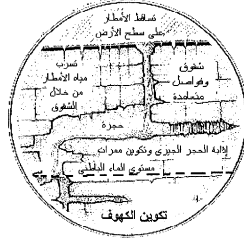
يطلق هذا التعبير على الجزء العلوى من الأحجار الجيرية المتأثرة بفعل الإذابة ، ويقع هذا النطاق أسفل التربة المفككة مباشرة ، حيث يشهد تأثير عمليات الإذابة بمياه الأمطار المتسربة عبر نظم الفواصل المنتشرة على الأسطح الجيرية المشترشرة Karren ، وكذلك من خلال خطوط الانكسار والعيوب الصخرية ، وأسطح الانفصال الطبقي مما يسهم في توسيع هذه النطاقات وتسوية طبوغرافيتها (William in Goudie, 2004).

## (ب) أشكال الكارست الجوفية Underground Karst :

### ١- كهوف الكارست Karst Caves

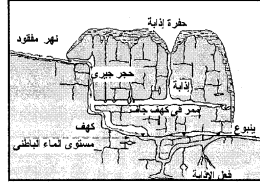
تعد الكهوف من الأشكال الأرضية الفريدة التي تميز مناطق الكارست ، وهي أهم الظواهرات الجوفية التي تتشكل في مناطق الكارست ، وهي عبارة عن ممرات أو أنفاق ودهاليز طبيعية تمتد تحت سطح الأرض لمسافات كبيرة جداً تصل لأكثر من ٥٦٣ كيلومتر في أطولها وهو كهف ماموث Mammoth بولاية كنتاكي الأمريكية ، وهي ذات إمتداد أفقى ورأسى يستغرق إلى حد كبير مع نظم الفواصل الصخرية ، وقد تمتد هذه الكهوف لأعماق كبيرة تصل لحوالى ١٥٠٠ متر في أعماق الكهوف في العالم وهو كهف Huautle في المكسيك (شكل ٦-١٤) .

وقد تتألف الكهوف من حجرة واحدة أوعدد محدود من الحجرات ، تتكون هذه الحجرات عادة عند مواضع التقاء نظم الفواصل الرأسية والأفقية ، وقد تتعدد طوابق الكهف نتيجة توالى إنخفاض مستوى الماء الجوفى ، وكثيراً ما تجرى الأنهار الجوفية على قيعانها مكونة العديد من الأشكال الجيومورفولوجية الفريدة مثل الشلالات الجوفية ، والمنعطفات النهرية الجوفية ، والأشكال المرتبطة بقاع هذه الأنهار التي تستهوى مرتادى هذه الكهوف لممارسة رياضة الغوص في مياهها .



شكل (٦-١٤) أجزاء كهف كارستى

وتتمثل بالكهوف الكارستية العديد من المظاهر الجيومورفولوجية مثل الأعمدة الجيرية الهابطية **Stalactite** التى تسيلو متدلّية من أسقف الكهوف نتيجة تسرب المياه المشبعة بالكالسيوم وتصلبها بعد تبخر المياه ، والأعمدة الجيرية الصاعدة **Stalagmite** التى تظهر بارزة على أرضية الكهوف نتيجة تساقط قطرات المياه المشبعة بالكالسيوم وتصلبها.



شكل (٦-١٥) بعض أشكال الكارست الجوفية

وقد يحدث إلتقاء بين عمود هابط وآخر صاعد على إمتداده مما يكون عمود جوى متصل من سقف الكهف حتى أرضيته ، وقد تظهر الترسبات الكلسية بأشكال فريدة منها الستائر المتدلّية من سقف الكهف والأعمدة الإبرية الشكل والأسطح الملساء وغيرها (شكل ٦-١٥) .

بعض الأشكال الجيومورفولوجية التي تتكون داخل الكهوف :

(أ) أشكال ناتجة عن فعل النحت:

١- أشكال ناتجة عن النحت بفعل المياه الجارية:

- مجارى عمياء Blind Streams : وهى عبارة عن مجارى مائية سطحية تغوص داخل إحدى الودعات الإذابة أو كهوف الكارست.

- شلالات جوفية Underground Waterfalls : عبارة عن نقط تغير فى الانحدار الطويل للمجارى المائية الجوفية ، لىولوجية النشأة فى أغلب الأحوال، وقد تتكون أسفل كل منها بركة غطس أو كهف نتيجة اصطدام المياه بقاع المجرى الجسوفى وهى بذلك تشبه الشلالات السطحية فى مظهرها المورفولوجى العام.

- خوانق جوفية Underground Canyons: مقاطع ضيقة من ممرات الكهوف تتميز بأعماقها السحيقة ، وهى تتشكل عادة بفعل اندفاع المياه فى المجارى الجوفية الشديدة الانحدار ، التى ترتبط فى بعض الأحيان بالطبقات الجيرية الشديدة الميل.
- الحفر الوعائية الجوفية Underground Potholes: حفر اسطوانية الشكل تتكون بتأثير الفعل الهيدروليكي لإندفاع المياه المحملة بالحصى فى المجارى الجوفية ، وهى تشبه فى تكوينها ومظهرها الحفر الوعائية النهرية .

- مسيلات تخدد حوائط الكهوف Underground Wall Gullies: أخاديد وتلصوم طويلة شديدة الانحدار تحاذى جوانب الكهف ، نتيجة الفعل الهيدروليكي وتأثير إذابة المياه المتسربة من المستويات التى تعلو ممرات الكهف.

● مجارى جوفية متعرجة **Underground Meandering Stream**: أجزاء منتشية من المجارى الجوفية تتكون بتأثر تغير اتجاهات ممرات الكهوف الناجمة عن تقاطع نظم المفاصل الصخرية، وتدفع المياه على الجانب المقعر للثنية ، بحيث ترسب حبيبات الترافرتين والطين على جوانبها المحدبة .

● كسارى طبيعية داخل الكهوف **Underground Natural Bridges** : من الأشكال المألوفة داخل كهوف الكارست تكوين كسارى طبيعية تتشكل من عقد صخرية أكثر مقاومة لفعل الإذابة .

## ٢- أشكال ناتجة عن النحت بفعل الإذابة:

● حفر إذابة تتكون على أرضية الكهوف **Caves Floor Sinkholes** .  
 ● حفرة إذابة تتكون على حوائط الكهوف **Wal Solution Pits** .  
 ● أسقف الكهوف الإهيارية **Collapses Caves**.  
 ● حجرات كهفية **Cave Chamber** : أجزاء متسعة من الكهف الكارستى ، وتكون غالباً عند تقاطع نظم الفواصل الصخرية ، حيثما تنشط الإذابة فيعمل على توسيعها ، وتندلى من أسقفها النوازل ، وتنمو على أرضيتها الصواعد .

● ممرات (أنفاق) جوفية **Underground (Tunnels) Passages**: ترتبط ممرات الكهوف بإمتداد الشقوق والفواصل الصخرية ، التى تسمح بتسرب المياه من خلالها ، فتتسع تدريجياً نتيجة فعل الإذابة ، ويمكن تصنيفها لأنواع التالية وفقاً لتوجيهها وأشكال مقاطعها :

- أفقية التوجيه **Horizontal direction**.
- رأسية التوجيه **Vertical direction**.
- مائلة التوجيه **Dipped Passages**.
- دائرية المقطع .

- رباعية الأضلاع .
- بيضاوية المقطع .

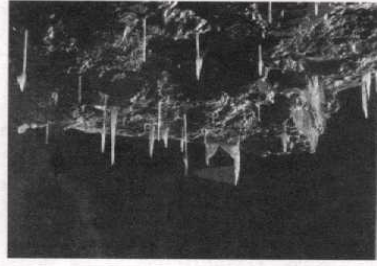
(ب) أشكال ناتجة عن الارساب:

١- الأعمدة الصاعدة Stalagmites:

- تشبه قواعد التماثيل Talagmite Pedestal Shaped
- تشبه أشكال الحيوانات Animals Shaped Stalamite
- هرمية أو مخروطية Coned shape Stalagmite
- قبابية الشكل Domed Shape Stalagmite
- روائى مزدوجة القمم Double Summits Mounds
- روائى متعددة القمم Multi-summits Mounds
- أعمدة متعددة الطوابق Multi-stages Stalagmite
- أعمدة متدرجة (على شكل مدرجات) Teraced Stalagmite
- مداحن حجرية Limestone Chimneys

٢- الأعمدة الهابطة (النازلة) Stalactites:

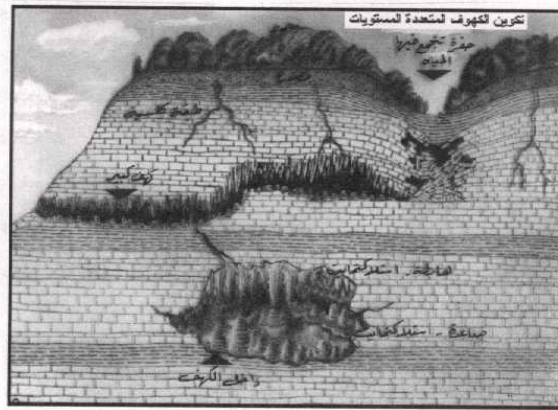
- إبرية الشكل (صورة ٦-١٣).
- ثريات متدلّية (أحادية الذراع - متعددة الأذرع) (صورة ٦-١٤)
- أعمدة مقطّعة يشبه حرف أوميغا Ω.
- أعمدة محززة.
- أعمدة ملساء.
- أعمدة مقاطعها دائرية
- أعمدة مقاطعها نصف دائرية



صورة (٦-١٣) أعمدة أبرية نازلة من سقف كهف



صورة (٦-١٤) أعمدة نازلة من سقف أحد الكهوف



شكل (٦-١٦) تكوين الكهوف المتعددة المستويات نتيجة انخفاض مستوى الماء الباطني

- ٣- الأعمدة المتصلة Jointed Column.
- ٤- الستائر الكلسية Caveous Curtains.
- ٤- مدرجات الكهوف الكلسية Travertine Caves Terraces
- ٥- رواسب أرضية الكهوف Caves Floor Deposites :

  - حبيبية الشكل Granular.
  - إبرية Stylar.
  - كروي Ball-Shaped.
  - موجة ملساء Waved & Smooth.
  - متبلرة Crystalline.
  - مدرجات Scalar.

- ٦- رواسب متدلّية من أسقف الكهوف Spelcothems.
- ٧- مدرجات ترافرتين جوفية Underground Travertine Terraces.
- ٨- مخاريط الهشيم الجوفية Underground Talus Cones.

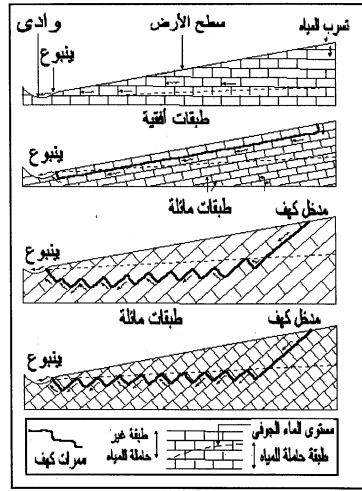
#### تصنيف كهوف الكارست :

تصنف كهوف الكارست حسب عدد من الضوابط أهمها مايلي :

##### (أ) حسب نظام بنية الطبقات :

- ١- كهوف الطبقات الأفقية .
- ٢- كهوف الطبقات المائلة .
- ٣- كهوف الطبقات الرأسية وشبه الرأسية .
- ٤- كهوف المناطق الالتوائية .
- ٥- كهوف المناطق الانكسارية .
- ٦- تأثير نظم الفواصل على الكهوف .



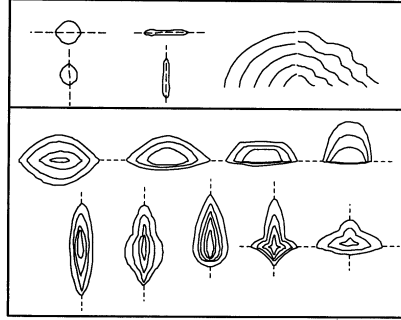


شكل (٦-١٧) تأثير نظم بنية الطبقات على إمتداد ممرات كهوف الكارست

(ب) حسب أشكال مداخل الكهوف :

- ١- مداخل دائرية أو شبه دائرية.
- ٢- مداخل بيضاوية .
- ٣- مداخل مثلثة.
- ٤- مداخل طولية .

- ٥- مداخل عرضية.
- ٦- مداخل مستطيلة.
- ٧- مداخل معينة الشكل.
- ٨- مداخل عديسية .
- ٩- مداخل نجمية.
- ١٠- مداخل عديدة الشكل.



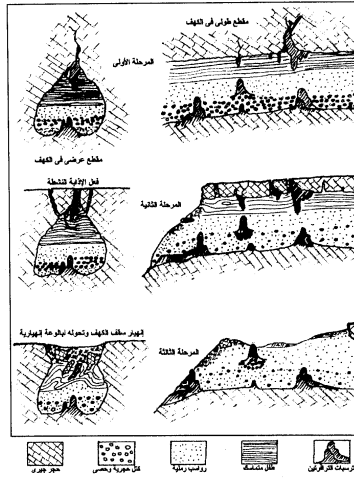
شكل (٦-١٨) تأثير نظم الشقوق والفواصل على تحديد أشكال مداخل الكهوف

(ج) حسب عدد مداخل الكهف:

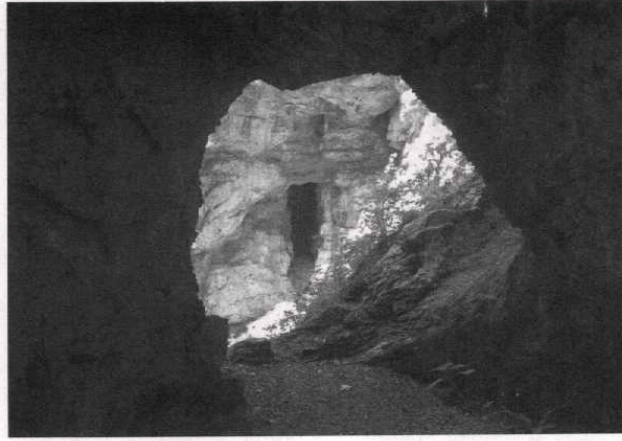
- ١- كهوف إحادية المدخل .Blind Cave
- ٢- كهوف مزدوجة المداخل .Double Cave Entrances
- ٣- كهوف متعددة المداخل .Multy Cave Entrances

(د) حسب تأثير عوامل التعرية:

- ١- كهف مسقوف Roof cave.
- ٢- كهف مكشوف بدون سقف Roofless Cave أى تعرض سقفه للإلتهيار وتحول بالتالى إلى حفرة إهيارية طويلة الإمتداد Collapse Sinkhole .
- ٣- كهف متآكل Eroded Cave أو كهف إهيارى Collapse Cave .
- ٤- كهف حفري Fossil Cave: أى كهف غير نشط أو حائل ، ويتشتر هذا النوع من الكهوف في الأقاليم الجافة وشبه الجافة الحالية وهو تكون في ظروف مناخية مطيرة.



شكل (٦-١٩) مراحل إهيار سقف أحد كهوف سلوفنيا



صورة (١٥-٦) أثنين من مداخل الكهوف يفصل بينهما بالوعة إغيارية في منطقة Rakov Skocjan في سلوفينيا (تصوير المؤلف في أغسطس ٢٠٠٣)



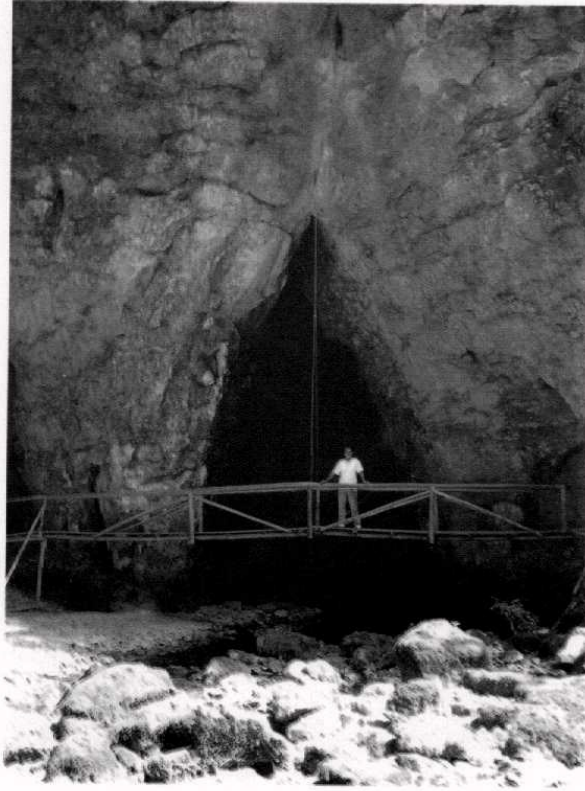
صورة (١٦-٦) مدخل كهف يضاوى الشكل يظهر بداخله مجرى مائى جوفى في منطقة Rakov Skocjan في سلوفينيا (تصوير المؤلف في أغسطس ٢٠٠٣)

## ٢-بالوعات الإذابة الانهيارية

### Collapse Dolines or Collapse Sink Holes

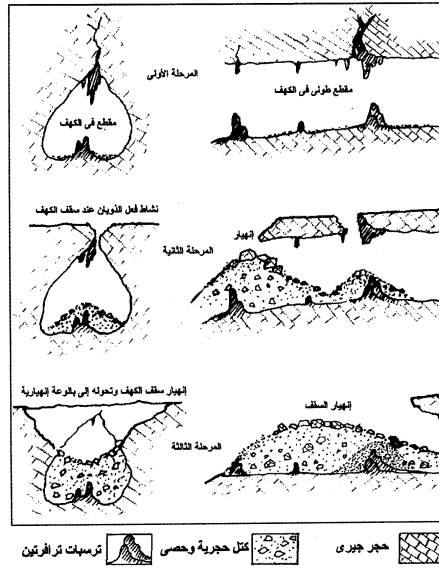
يتكون هذا النمط من البالوعات نتيجة نشاط عملية الإذابة تحت سطح الأرض وبصفة خاصة في الكهوف ، مما يؤدي إلى انهيار أسقف هذه الكهوف مكونة حفر دائرية الشكل تتميز بشدة الانحدار أحد جوانبها ، وانتشار الفتات الصخري الناتج عن الانهيار على قاعها ، ويستخدم تعبير " دولين Doline " (باللغة الصربية Dolinas) والذي اشتق من إقليم الكارست في صربيا للدلالة على النوع السابق وهو الناتج عن عملية الإذابة الكيميائية، أما تعبير بالوعات الانهيارية فيطلق على تلك البالوعات التي تتصف جوانبها بشدة الانحدار نتيجة انهيار سقف التجاويف الأرضية، وعلى العموم فإن بالوعات الإذابة Dolines تعتبر أكثر شيوعاً من البالوعات الانهيارية حتى في مرحلة النضج من الدورة الكارستية، وعادة ما نجد المياه الجارية السطحية التي تنصرف في تلك البالوعات طريقها إلى المسالك الباطنية بواسطة عملية التسرب خلال التربة المتكونة في قاع البالوعة.

وهناك نمط آخر من البالوعات الانهيارية يطلق عليه النافذة الكارستية Karst Window ، ويستخدم هذا المصطلح للدلالة على جزء من كهف كارستى المهدم سقفه وتحول إلى واد، وتنساب المياه في الوادى السطحي متدفقة من الكهف إلى منطقة مفتوحة ثم تدخل إلى كهف آخر على الجانب المقابل، وقد تتفاوت هذه الفتحة من مجرد فتحة ضيقة جداً إلى فتحة كبيرة جداً، ولقد استخدم مصطلح "Uvala" باللغة البوسنية للتعبير عن منخفضات أكبر حجماً تتشكل نتيجة تدهم مقاطع كبيرة من أسقف الأنهار الجوفية .



صورة (٦-١٧) مدخل كهف مثلث الشكل ينتهي إليه وادي أعمى في منطقة  
Rakov Skocjan في سلوفينيا (تصوير المؤلف في أغسطس ٢٠٠٣)





شكل (٢٠-٦) مراحل تحول كهف إلى بالوعة أنهارية



#### خامساً : التصريف المائي في مناطق الكارست :

١- نظم التصريف المائي :

- (أ) مجارى سطحية Surface Streams.
- (ب) مجارى جوفية Underground Streams.
- (ج) مجارى مفقودة Missing Streams.
- (د) مجارى منبثقة أو بازغة Emerging Streams.
- (هـ) مجارى متسربة Flow Out (Sneak) Streams.
- (و) الأسر النهرى الجوفى Underground River Capture.

٢- أهم الأشكال الجيومورفولوجية المرتبطة بالتصريف المائي الجوفى:

- (أ) حفر وعائية جوفية Underground Pot-holes.
- (ب) خوانق جوفية Underground Gorges.
- (ج) شلالات جوفية Underground Waterfalls.
- (د) مسيلات جوفية Underground Gullies.
- (هـ) منعطفات جوفية Underground Meanders.
- (و) مدرجات جوفية (ترافرتين) Underground Travertine Terrace.
- (ز) مراوح جوفية Underground Alluvial Fans.

#### سادساً : تصنيف أشكال الكارست Classification of Karst landforms :

تصنف أشكال الكارست وفقاً لعدد من المعايير أو الضوابط سواء حسب التكوين الجيولوجى ، أو البنية الجيولوجية ، أو مدى نشاط عملية الإذابة ، الفعل التحاتى ، حسب نوع وكثافة الغطاء النباتى :

١- حسب نوع الصخر:

- (أ) أحجار جيرية. (ب) دولوميت. (ج) طباشير.

٢- حسب نظام البنية الجيولوجية:

- (أ) طبقات أفقية Horizontal
- (ب) طبقات مائلة Dipped
- (ج) طبقات رأسية Vertical
- (د) مناطق إلتوائية Folded
- (هـ) مناطق إنكسارية Faulted

٣- حسب نشاط فعل الإذابة:

- (أ) أشكال كارست نشطة Active Karst Features
- (ب) أشكال كارست غير نشطة (متبقية عن مناخ قديم)
- Unactive Karst Features

٤- حسب الفعل النهائي :

- (أ) أشكال ناتجة عن النحت Denudation Karst.
- (ب) أشكال ناتجة عن الارتفاع Deposition Karst.
- (ج) أشكال متبقية Residual Features.

٥- حسب الغطاء النباتي :

- (أ) أشكال كارست مكشوفة Exposed karstic features.
- (ب) أشكال كارست مغطاة بالغابات أو الحشائش Vegetative Karst.

**سابعاً: التوزيع الجغرافي لأهم مناطق الكارست في العالم :**

ينتشر المظهر الكارستي في أكثر من ١٥ ٪ من سطح الأرض ، لعل أشهرها إقليم الكارست Karst غرب سلوفينيا ، وبالإضافة إلى وجود هذا المظهر في المنطقة التي أعطته اسمها، فإنه يوجد أيضا في منطقة كوس Causse في جنوب فرنسا، ومنطقة يوركشير-دالاس Yorkshire-Dalse في بريطانيا، وفي سهل الأندلس بأسبانيا، وفي اليونان، وفي جاميكا، وماليزيا ، وجزر أندونيسيا ، والفلبين ، وشمال بورتوريكو، والهامش الغربية لكوبا، وفي وسط

فلوريدا ، وفي السهل الساحلي للخليج الأسترالي العظيم ، وغيرها . وتنتشر جميع هذه المناطق العديد من الأشكال الكارستية الفريدة ، ولكن لا تستأثر أى منطقة منها بكل الظواهر الجيومورفولوجية التي يتكون منها النمط الطبوغرافي الكارستى ، ولذلك لا يمكن إدراك الخصائص الجيومورفولوجية للمظهر الكارستى إلا بدراسة مناطق عديدة ، ذلك لأن المظهر الكارستى المثالى لا يمكن تشكله في منطقة واحدة<sup>١</sup> . ومن ناحية أخرى فإن كل منطقة لها سماتها التي تميزها عن المناطق الأخرى من حيث خصائصها الجيومورفولوجية المميزة ، وكذلك المرحلة التي قطعتها من دورها التحاتية ، وهي التي يطلق عليها الدورة الجيومورفولوجية الكارستية .

<sup>١</sup> انقسمان دراسة الأنماط المختلفة لأشكال الكارست حرص المؤلف على زيارة نماذج من بيئات متنوعة لمناطق

الكارست في العالم هي:

(أ) الظواهر الكارستية في منطقة الجبل الأخضر في ليبيا وكهف الشقية الواقع على الجانب الأيمن من وادي درنة خلال فترة عمل المؤلف في جامعة قاربونس (١٩٩١-١٩٩٣).

(ب) أشكال التشرشر الجبرى في يوركشير Yorkshire وكهوف White Scar Caves (سبتمبر ١٩٩٩).

(ت) مدرجات الشرافتين السانحة عن انسياب المياه الحارة المشبعة ببيكربونات الكالسيوم بالقرب من مدينة Denizily بتركيا (يوليو ١٩٩٨).

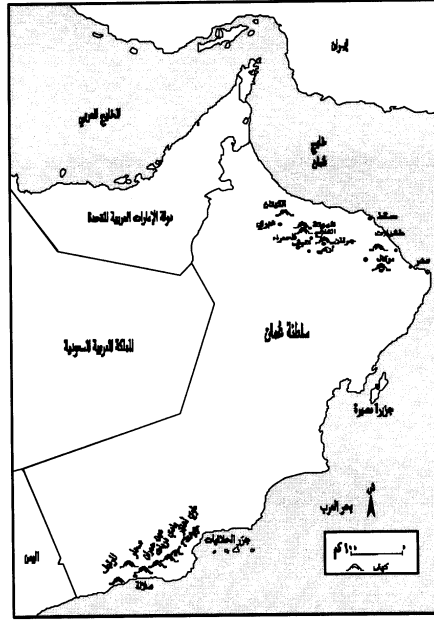
(ث) كهف جعينة في لبنان وبعض أشكال الكارست في مجموعة الأخمار اللبنانية ومحيط مدينة بيروت (٢٠٠٠-٢٠٠٢).

(ج) كهف الضويات بالقرب من قرية مشق الحلو في سوريا ومجموعة البنايع المتاخمة له (يوليو ٢٠٠٢).

(ح) مجموعة كهوف إقليم الكارست في سلوفينيا وأهمها : Skocjanske Jame الذى اعتبرته منظمة اليونسكو محمية طبيعية منذ عام ١٩٨٦ ، Postojana Jame ، بالإضافة إلى أشكال الكارست المنتشرة في وادي Rakov Skocjan وأهمها بالوعات الإذابة بأنواعها المختلفة ، الكهوف الإهبارية، والكهوف المتطورة إلى بالوعات إهبارية ، وأهمها بالوعات العمياء ، وأشكال الكارست الجليدية في أودية Mojstrana ، Logarska Dolina في منطقة جبال الألب السلوفانية ( أغسطس ٢٠٠٣).

(ح) أحد الكهوف الكارستية النادرة المتكونة في حرف بحرى ويتأثر مدخلها بالأمواج على الطرف الجنوبي لإيطاليا جنوبي مدين Otranto بحوالى ١٧ كم (سبتمبر ٢٠٠٣).

(د) بعض كهوف سلطنة عُمان كنموذج لأشكال الكارست المختلفة عن المناخ المطير في عصر البلايستوسين وأهمها : نظم كهوف الموتة في الجبل الأخضر ، وكهف طبق جنوب مدينة صلالة (سبتمبر ٢٠٠٣).

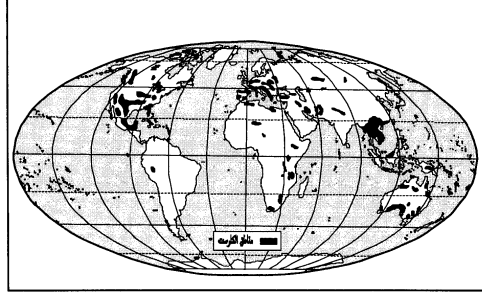


شكل (٦-٢١) التوزيع الجغرافي لأهم كهوف الكارست الحفرية القديمة المتبقية عن المناخ الرطب خلال عصر البلايستوسين في سلطنة عُمان

كما تنتشر بعض الظواهر الكارستية المتبقية عن ظروف المناخ الرطب الذي حدث خلال الفترات المظيرة بعصر البلايستوسين ، وتنتشر هذه الأشكال في النطاقات الصحراوية الحالية مثل

إقليم الجبل الأخضر ، ومحافظة ظفار بسلطنة عُمان، وسهل الاحساء ومنطقة القصيم بالمملكة العربية السعودية ، وأجزاء من الصحراء الغربية المصرية وأهمها هضبة مارمريكا الميوسينية ، وتكوينات الحجر الجيري الايوسيني فيما بين منخفض الداخلة ووادي النيل .

تسود معظم مناطق الكارست في الأقاليم التي تتكون من الحجر الجيري ، وأن كان في بعض الأماكن يرتبط وجود الكارست بصخور الدولوميت أى الحجر الجيري الدولوميتي. وقد تتكون الظواهر الناتجة عن عملية التحلل الصخري فوق صخور قابلة للتحلل غير الحجر الجيري أو حجر الدولوميت مثل صخر الجبس و الملح الصخري Salt Rock ، ولكن مثل هذه الظواهر المبعثرة لا تكتسب أهمية كبيرة في الدراسات المتعلقة بالكارست ، ولما كان الحجر الجيري من الصخور السائدة في القشرة الأرضية ، كان يتوقع بالضرورة إنتشار المظهر الطبوغرافي الكارستي في بقاع سطح اليابس من الكرة الأرضية ، ولكن الحقيقة أن المظهر الكارستي بأكمله وأجلى صورة يقتصر وجوده على أجزاء من مناطق الحجر الجيري الواسعة الإنتشار ، نظرا لعدم توفر الظروف الملائمة لتكونه .



شكل (٦-٢٢) التوزيع الجغرافي لمناطق الكارست في العالم

#### مناطق شبه الكارست :

بالإضافة إلى المناطق التي ذكرت آنفاً، يوجد عدد لا يحصى من المناطق التي توجد بها الظواهر الكارستية ، ولكن لا تسود أو تغطي هذه الظواهر على المظهر الطبوغرافي المميز لتلك المناطق ، وقد يرجع سبب عدم سيادة المظهر الكارستى لسبب أو أكثر مما يلي:

- ١ - حداثة المرحلة التي قطعها المنطقة من دورتها الجيومورفولوجية ، وبذلك تكون معظم الظواهر الكارستية لازالت في دور التشكيل أو بداية مرحلة الشباب.
- ٢- عدم هطول كميات من الأمطار تكفى لتنشيط لفعول الإذابة .
- ٣- الانحدار الشديد لسطح الأرض قد لا يعطى فرصة زمنية مواتية لتغلغل المياه داخل التكوينات الكربونية .
- ٤- عدم تكون نظم فواصل كثيفة في التكوينات الصخرية تسمح بتسرب المياه داخلها .

ولكن عادة ما يكون السبب هو غياب عامل أو أكثر من العوامل الأساسية اللازمة لتكوين المظهر الكارستى المثالى ، وأينما يوجد صخر قابل للتحلل مثل الحجر الجيري، أو الدولوميت ، أو الجبس يمكن توقع عملية التحلل ، ولكن بشرط توفر الظروف الملائمة لذلك.

#### ثامناً : الدورة الجيومورفولوجية الكارستية:

##### The karst gromorphic cycle

تمر أشكال الكارست بدورة تطورية يمكن أن نطلق عليها تعبير الدورة الجيومورفولوجية الكارستية ، تستوى في ذلك مع جميع مظاهر سطح الأرض ، وقد اقترح الجيومورفولوجى اليوغسلافى "تسيفيتش civic" هذه الدورة الكارستية ، فهو يرى أن أشكال الكارست تمر بأربع مراحل في تطور دورتها الجيومورفولوجية هي:

- ١- مرحلة الشباب youth
- ٢- مرحلة النضج Maturity
- ٣- مرحلة النضج المتأخرة late Maturity

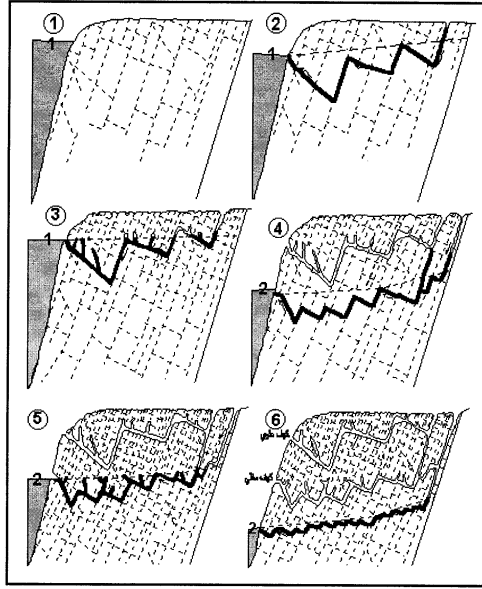
#### ٤- مرحلة الشيخوخة Old Stage

ويرى "سفيتش" أن مرحلة الشباب تبدأ بتصريف نهري سطحي إما على سطح أصلي جيري ، أو على سطح عار يتميز بشبكة كثيفة من التصريف النهري الجوفي Underground Network ، وتنتشر خلال هذه المرحلة المبكرة من مراحل تطور المظهر الطبوغرافي الكارستي بعض الظواهر أهمها : التشرش الجيري بمختلف درجاته Lapis or Karren ، وحفر الإذابة Doling ، كما تبدأ بعض الكهوف Caves في التكوين ، ولكن لا تكون داخلها في هذه المرحلة النوازل والصواعد بأشكالها البديعة.

وفي مرحلة النضج تنمو شبكات التصريف الباطني لأقصى درجات تطورها ، على حساب التصريف السطحي الذي يقتصر على بعض الجداول المائية والنهيرات الغائرة والأودية العمياء التي تصب حولتها في البالوعات ، وتعتبر هذه المرحلة الفترة التي تتجلى فيها الظواهر الكارستية بأجل صورها ، كما تتميز هذه المرحلة بتكوين شبكات كثيفة من الكهوف المتعددة الطوائق ، كما يرتبط عدد هذه الطوائق ، وتحديد مستوياتها بتذبذب منسوب سطح البحر ، الذي يؤثر بدوره في تغير مستويات الماء الجوفي (شكل ٦-٢٣).

أما مرحلة النضج المتأخرة فتعتبر بداية اضمحلال وتقدم الظواهر الكارستية ، فتتعرض أسقف الكهوف للإهيار وتحول إلى أودية طولية ، كما تحطم أسقف البالوعات الإذابة ، والكبارى الطبيعية ، تفصل بينها مجموعات متناثرة من التلال المنعزلة Hums ، وتصبح مناطق الكارست متقطعة الأوصال ، ويختلف مظهرها المورفولوجي عن السطح الجيري الأصلي .

وتتميز مرحلة الشيخوخة بعودة ظهور التصريف السطحي مرة أخرى مع وإنتشار التلال الإنعزالية المتبقية من السطح الجيري القديم لسطح الأرض.



شكل (٦-٢٣) مراحل الدورة الجيومورفولوجية لكهوف الكارست  
بتأثير تذبذب مستوى الماء الجوف من المستوى (1) إلى المستوى (2)

وعلى ذلك فإن كل أجزاء سطح الأرض الجيرية تتأثر دون شك بدرجات متفاوتة بعوامل التعرية ، فقد تظهر في أجزاء منها بعض خصائص مرحلة ، وتبدل في أجزاء أخرى خصائص مرحلة النضج ، كما يمكن أن نرى خصائص مرحلة الكهولة في جزء ثالث . ففي



الإقليم الكارستى الواحد يمكن وجود خصائص المراحل الثلاث في الدورة الجيومورفولوجية الكارستية ، وقد يحدث هذا لاختلاف بعض الظروف الموضعية داخل الإقليم الواحد ، مثل تباين كثافة نظم الفواصل الصخرية ، ودرجة إتساعها، أو إختلاف درجة إنحدار سطح الأرض، أو درجة تقوسه ، وغيرها من العوامل ، ويحدث هذا الأمر تماماً في الدورة الجيومورفولوجية النهرية، فنجد في بعض الأحيان بعض مظاهر مرحلة الشباب في الجزء الأوسط للنهر ، لظروف بنسوية أو ليثولوجية محلية ، على حين تظهر بعض ملامح مرحلة النضج في أحد الروافد العليا للنهر ذاته.

قائمة المراجع :

أولاً : معاجم عن أشكال الكارست :

1. Addison, K., 1973, Selected glossary, in Sweeting, Marjorie M., *Karst Landforms*: Columbia University Press, New York, p. 332-335.
2. Bates, Robert L. and Jackson, Julia A. (editors), 1987, *Glossary of Geology* (third edition): American Geological Institute, Alexandria, Virginia, 788 p.
3. F'nelon, Paul, 1968, Vocabulaire Francais des phenomenes karstiques, in F'nelon, P. (editor), Phenomenes karstiques: *Editions du Centre National de la Recherche Scientifique, Memoires et Documents*, v. 4, p. 13-68.
4. Food and Agriculture Organization, 1972, *Glossary and Multilingual Equivalents of Karst Terms, First Preliminary Edition*: United Nations Food and Agricultural Organization, 72 p.
5. Gams, Ivan, 1973, *Slovenska Kraska Terminologija* (Slovene Karst Terminology): Kraska Termonologija Jugoslovanskih Narodov, Ljubljana, Yugoslavia, v.1, 77p.
6. Monroe, Watson H., 1970, A glossary of karst terminology: *United States Geological Survey Water-Supply Paper* 1899-K, 26 p.
7. Muma, Martin H. and Muma, Katherine E., 1944, A glossary of speleology: *Bulletin of the National Speleological Society*, v. 6, p. 1-10.
8. Paloc, Henri, 1975, Glossaire d'hydrogeologie du karst, in Burger, A. and Dubertret, L. (editors), Hydrogeology of karstic terrains: *International Union of Geological Sciences, Series B.*, no. 3, p. 151-186.
9. Trimmel, Hubert (editor), 1965, *Spel ologisches Fachw"rterbuch*: Landesverein flr Hohlenkunde in Wien und Nieder"sterreich, 112 p.

10. White, William B., 1986, Geological terms used in caving: *National Speleological Society Caving Information Series* no. GEO 8601, 4 p.

ثانيا : مراجع عامة عن أشكال الكارست :

1. Bleahu, Marcian D., 1974, *Morfologia Carstica* (in Rumanian, untranslated): *Conditionarea Geologica si Geografica a Procesului de Carstificare*: Editura Stiintifica, Bucharest, Romania, 590 p.
2. Bögli, Alfred, 1980, *Karst Hydrology and Physical Speleology* (translated from the German by June C. Schmid): Springer-Verlag, New York, 284 p.
3. Bonacci, Ognjen, 1987, *Karst Hydrology: With Special Reference to the Dinaric Karst* (translated from the Yugoslavian) (Springer Series in Physical Environment 2): Springer-Verlag, New York, 184 p.
4. Burger, Andr and Dubertret, Louis, 1984, Hydrogeology of karstic terrains: Case histories: *International Association of Hydrogeologists, International Contributions to Hydrogeology*, v. 1, 264 p.
5. Dreybrodt, Wolfgang, 1988, *Processes in Karst Systems Physics, Chemistry and Geology*: (Springer Series in Physical Environment 4): Springer-Verlag, New York, 288 p.
6. Ford, Trevor D. and Cullingford, C. H. D. (editors), 1976, *The Science of Speleology*: Academic Press, New York, 593 p.
7. Ford, Derek C. and Williams, Paul, 1989, *Karst Geomorphology and Hydrology*: Unwin Hyman, Winchester, Massachusetts, 320 p.
8. Gams, Ivan, 1974, *Kras (Karst, in Yugoslavian, untranslated)*: Izdala Slovenska Matica, Ljubljana, Yugoslavia, 359 p.
9. Herak, M. and Stringfield, Victor T. (editors), 1972, *Karst: Important Karst Regions of the Northern Hemisphere*: Elsevier Publishing Company, New York, 551 p.

10. Hill, Carol A. and Forti, Paolo, 1986, *Cave Minerals of the World*: National Speleological Society, Huntsville, Alabama, 238 p.
11. Jakucs, Laszlo, 1977, *Morphogenetics of Karst Regions: Variants of Karst Evolution* (translated from the Hungarian): Halstead Press, John Wiley and Sons, New York, 284 p.
12. Jennings, Joseph N., 1971, *Karst*: M.I.T. Press, Cambridge, Massachusetts, 252 p.
13. Jennings, Joseph N., 1985, *Karst Geomorphology* (revised and expanded edition of Jennings, 1971): Basil Blackwell, Oxford and New York, 293 p.
14. Maksimovich, G. A., 1963, *Osnovy Karstovedeniya, T. 1, Voprosy Morfologii Karsta Speleologii i Gidrogeologii Karsta* (*Principles of Karst Science, v. 1, Questions of Karst Morphology, Speleology, and Karst Hydrogeology*, in Russian, untranslated): Permske Knizhoe, Izdat, Perm, 445 p.
15. Maksimovich, G. A., 1969, *Principles of Karst Science, v. 2, Questions of Karst Hydrogeology, Rivers and Lakes of Karst Regions, Karst of Chalk, Hydrothermokarst*: Permske Knizhoe, Izdat, Perm, 530 p.
16. Mijatović, Borivoje F., 1984, Hydrogeology of the Dinaric karst: *International Association of Hydrogeologists, International Contributions of Hydrogeology*, v. 4, 254 p.
17. Milanovic, Petar T., 1981, *Karst Hydrogeology* (translated from the Yugoslavian by J. J. Buhac): Water Resources Publications, Littleton, Colorado, 434 p.
18. Moore, George W. and Sullivan, G. Nicholas, 1979, *Speleology, the Study of Caves* (second edition): Zephyrus Press, 150 p.
19. Sweeting, Marjorie M., 1973, *Karst Landforms*, Columbia University Press, New York, 362 p.
20. Trimmel, Hubert, 1968, *Höhlenkunde* (*Cave Science*, in German, untranslated): Friedr. Vieweg & Sohn, Braunschweig, 300 p.

21. Trudgill, Stephen, 1985, *Limestone Geomorphology* (Geomorphology Texts, No. 8), Longman, London and New York, 196 p.
22. Trudgill, Stephen (editor), 1986, *Solute Processes*: John Wiley and Sons, Chichester, Great Britain, 512 p.
23. White, William B., 1988, *Geomorphology and Hydrology of Karst Terrains*, Oxford University Press, New York, 464 p.
24. White, W.B., 1984: *Rate processes: chemical kinetics and Karst landform development*. V Groundwater as geomorphic agent. R.G. Lafleur (edit.) 227-248 London.
25. Zötl, Joseph G., 1974, *Karsthydrogeologie* (Hydrogeology of Karst, in German, untranslated): Springer-Verlag, Vienna, Austria, 291 p.

ثالثاً : مراجع تتعلق بأقاليم الكارست في شبه الجزيرة العربية وسلوفينيا :

(أ) مراجع باللغة العربية :

١. حنا، سمير وما لكير، فرانك (١٩٩٨): دراسة جيولوجية وهيدروجيولوجية للمنطقة الواقعة بين طوى اعتر وقشروب (ظفار، سلطنة عُمان ) جامعة السلطان قابوس (غير منشور) : مسقط.

(ب) مراجع بلغات أجنبية :

1. Abdul Razzak, M.J., Sorman, A.U. & Al-Hames, A.S. (1989): Water balance approach under extreme arid conditions - Case study of Tabalah-basin, Saudi Arabia. Hydrological Processes, 3: 107-122.
2. Abdullah, M. & Alam, S.A. (1987): Karst phenomena Project. Karst Geomorphology of the Shawia and Ma'aqla Area. Map 1 : 50,000, Dhahran.
3. Al-Saafin, A.K., Bader, T.A., Hötzl, H., Shehata, W., Wohnlich S. & Zötl (1990): Groundwater Recharge in an Arid Karst Area in Saudi Arabia. Selected Papers on Hydrogeology, 1, Hannover (Heise): 29-41

4. Al-Saafin, A.K., Bader, T.A., Shehata, W., Hoetzel, H., Wohnlich, S., Zoetl, J.G. (1989): Groundwater Recharge in an Arid Karst Area in Saudi Arabia, Selected Papers on Hydrogeology from the 28th International Geological Congress, Washington, D.C. USA: 29-41
5. Al-Sayari, S.S. & Zötl, J.G. (Eds., 1978): Quaternary Period in Saudi Arabia. 1: Sedimentological, Hydrogeological, Hydrochemical, Geomorphological and Climatological Investigations in Central and Eastern Saudi Arabia - XI, 335 S., Vienna/New York (Springer).
6. Baciewicz, W., Millner, D.M & Noori, M., (1982): Hydrogeology of the Umm er Radhmuma Aquifer, Saudi Arabia with reference to fossil gradients - Q.J. Eng. -Geol., 15, London: 105-126.
7. Benischke, R., Fuchs, G. & Weissensteiner, V. (1989): Karst phenomena of the Arabian Shelf Platform and their Influence on Underground Aquifers. Third Report. Speleological Investigations in the Shawyah-Ma'aqla Region, Eastern Province, Saudi Arabia, Vol. I, 59 pp, 7 figs.; Vol. II, 6 pp., 16 figs., 15 maps, Graz.
8. Bjurström, Lars (2000): Caving in Saudi Arabia, Ahlan Wasahlan (Saudia Airways) November 2000, 12-17.
9. Cucchi, F. & Forti, A. Marinetti, 1997 : Surface degradation of carbonate rocks in the karst of Trieste (Classical Karst, Italy) . Fieldtrip guide, Meeting M , Fourth International Conference on Geomorphology, 3-8, Trieste .
10. Cucchi, F. , & p. Forti, 1989: The first absolute datation of a speleothem from Trieste Karst. Acta carsologica 18, 53-64, Ljubljana.
11. Dabbagh, A.E., Hötzel, H., Zötl, J.G. (1988): Karst Features of the Arabian Platform and their Influence on Aquifers, Proceedings of the IAH 21st Congress, Karst Hydrogeology and Karst Environment Protection, V. XXI, Part I, Guilin, China, Geological Publishing House, Beijing, China, 1988: 452-460

12. Davison, W.D. jr. (1985) An Overview of Karst in the Sultanate of Oman - NSS Bulletin, 47 (1), Huntsville (NSS): 62
13. Davison, W.D. Jr. (1985): Meeting Place of the Spirits. - Aramco World, 41 (5), Dhahran, Saudi Arabia (Aramco): 16-23
14. Davison, W.D. Jr. (1985): The Caves of the Selma Plateau, the Sultanate of Oman - NSS Bulletin, 47 (1), Huntsville (NSS): 62
15. Davison, W.D. Jr. (1985): Majlis Al Jinn Cave, Sultanate of Oman - Report PAWR (Public Authority for Resources), Oct. 1985, 17 S., Muscat: 85-20
16. Drole, F., 1997: New survey of Skocjanske jame. Proceeding of the 12<sup>th</sup> International Congress of Speleology, 6, (v tisku), La Chaux-de-Fonds.
17. Edgell, H.S. (1993) Karst and Water Resources in The Hyperarid Areas of Northeastern Saudi Arabia, Proceedings of Articles of International Karst Symposium (Vol I) Shiraz, Iran: 309-326
18. Ganter, J. (1998): Caving on the Selme Plateau, Sultanate of Oman - NSS News, April 1998: 100-108
19. Ganter, J.H., Davison, W. D. Jr. (1989): Desert Mountain Karst of the Middle East, with Emphasis on the Selme Plateau, Sultanate of Oman. Geological Society of America Annual Meeting, GSA Abstracts with Programs 21:6, October 1989.
20. Gospodarič, R., 1985: Age and development of collapse dolines above the cave systems. The examples from classical karst of Slovenia (NW Yugoslavia). Annales de la Société Géologique de Belgique, 108, 113-116, Liege.
21. Goudie, A.. S., 2004, Encyclopedia of Geomorphology, International Association of Geomorphology, New York, 1156p.

22. Hanna, S. & Al-Belushi M. (1996): Introduction to the caves of Oman, Sultan Qaboos University : Muscat.
23. Herak, M. and Stringfield, V.T. (1972): Karst, Important karst regions of the northern hemisphere, Elsevier publishing company, New York, 551 p.
24. Hötzl, H., Sheikh, K.S. & Zötl, J. (1988): Geomorphologic Map of Ma'aqala Area, Province of Al Hasa, Saudi Arabia, Dhahran-Graz-Karlsruhe, 1:50,000.
25. Irtem, O., Wasim, A. (1987): Karst phenomena of the Arabian Shield Platform and their Influence on Underground Aquifers. Stratigraphy and Sedimentology, 31 pp, 22 figs., Dhahran.
26. Jado, A.R. & Zötl, J.G. (1984): Quaternary Period in Saudi Arabia. Volume 2: Sedimentological, Hydrogeological, Hydrochemical, Geomorphological, Geochronological and Climatological Investigations in Western Saudi Arabia - XII, 361 S., Vienna/New York (Springer).
27. Kenz, M. & Kranjc, A. & Mihevc, A. & Petrič, M., 1997: The Caves of Škocjanske Jame and Kras. – Acta carsologica, 26 / 1, supplementum, 8-35, Ljubljana.
28. Kranjc, A. (ed.), 1997: Slovene Classical Karst – Kras. Založba ZRC, p. 254, Ljubljana
29. Middleton, A. (1985): Oman 85. Stafford Speleo Journal, 1 (May), 1-4, Stafford, U.K.
30. Middleton, J.R. (1978): Some Notes on the World Caving Scene, Asia. Caves & Caving, No.1 (Aug. 1978), 2-11, Bridgwater, UK (Brit. Cave Res. Assoc).
31. Myers, R. (1984): In search of caves: No. 1. Saudi Arabia - Craven Pothole Club Journal, 6 (5-6), Skipton, U.K.: 226-228.

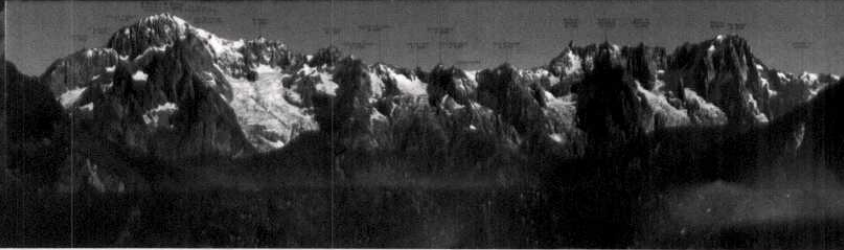


32. Peters, D., Pint, J., Kremla, N. (1990): Karst Landforms in the Kingdom of Saudi Arabia, NSS Bulletin, June, 1990: 21-32
33. Pint, J., Peters, D. (1985): The Caves of Ma'aqala, NSS News, Sept. 1985: 227-282
34. Pint, J. (1995): The Treasures of Dahl Sultan, Ahlan Wasahlan, October, 1995: 16-19
35. Pint, J. (1995): The Caves of Ma'aqala, The Desert Rambler (Riyadh Natural History Society), January 1995; Into the Teapot, March 1995
36. Pint, J. (1997): Return to the Desert Caves of Saudi Arabia, NSS News, Nov. 1997: 329-335
37. Pint, J. (1998): Caves beneath Dunes, The Discovery of Dahl Sultan, Risalat Al-Ma'ahad 110/111, Ramadan/Shawal 1418 - Jan/Feb. 1998.
38. Pint, J. (1998): The Secrets of Dahl Shawiah, Ahlan Wasahlan, October, 1998: 12-14
39. Pint, J. (1998): Dharb Al-Najem, A Visit to Saudi Arabia's Deepest Pit, Risalat Al-Ma'ahad 118/119/120, Jumada I/Jumada II/Rajab 1419 - Sept./Oct. 1998.
40. Pint, J. , Bjurström, L. (2000): Saudi Arabia's Desert Caves, Aramco World, March/April 2000, Vol 51, No 2: 26-38
41. Pint, J. (2000): The Desert Cave Journal 1998-2000, NSS News, October 2000, Vol 58, Number 10: 276-281.
42. Waltham, A.C., Brown, R. D. & Middleton, C. (1985): Karst and Caves in the Jabal Akhdar, Oman. Cave Science, Vol 12, No 3 (Sept. 1985), Bridgwater, UK (Brit. Cave Res Assoc): 69-79.

## الفصل السابع

### أشكال الجليد

- أولاً: مظاهر الجليد
- ثانياً: دور الجليد في تشكيل سطح الأرض
- ثالثاً: تكوين الوديان الجليدية
- رابعاً: أشكال النحت الجليدي
- خامساً: أشكال الإرساب الجليدي
- سادساً: تأثير التغيرات المناخية على الظواهر الجليدية



✓ 13

## الفصل السابع أشكال جليدية

الجليد عبارة عن كتلة متراكمة متجمدة من الثلج Snow ، والثلج في الواقع عبارة عن قشور رقيقة هشة تشبه قطعاً من القطن المندوف ناصعة البياض ، ويسقط الثلج في حالة انخفاض درجة حرارة الجو عن الصفر المئوي ، وعندما يتزل الثلج فقد يتراكم في طبقات سمكية يطلق عليه اسم (جليد Ice)، وقد يظل متماسكاً على السطح أو ينصهر ويتحول إلى مياه ، ويتوقف هذا على درجة حرارة الجو ، إلا أن هناك مناطق لا ينقطع عنها الثلج صيفاً أو شتاءً ، مثل المناطق القطبية ، وقمم الجبال الشاهقة .

ويحدد هذه المناطق منسوب معين نطلق عليه خط الثلج الدائم Snow-Line ، وينطبق هذا المنسوب مع مستوى سطح البحر في المناطق القطبية ، أى أن الثلوج تغطي سطح الأرض بصورة دائمة ، ثم يأخذ هذا المنسوب في الارتفاع عن سطح البحر تدريجياً كلما بعدنا عن القطبين ، حتى يبلغ أقصى ارتفاع له في العروض الاستوائية . ففي جبال الألب الأوربية على سبيل المثال يبلغ ارتفاع هذا الخط حوالي ثلاثة آلاف متر ، وهناك بعض القمم يتجاوز ارتفاعها هذا المنسوب في نطاق جبال الالب والبرانس ، ولذلك فإنها تكون مغطاة بالثلج طوال العام مثل بعض القمم الجبلية في محمية Alto Adige وجبال Ortler وجبال Texelgruppe وغيرها من نطاق جبال الألب الوسطى، أما السلاسل الجبلية التي تبلغ قممها منسوباً أقل من ثلاثة آلاف متر فقد تغطيها الثلوج شتاءً ، ولكنها تذوب، وتجري كمياه بمجرد ارتفاع درجة الحرارة في فصلي الربيع والصيف . ويرتفع هذا المنسوب لأكثر من خمسة آلاف متر عند المدارين كما هو الحال في جبال الهيمالايا ، وعند خط الاستواء يغطي الثلج أطراف محدودة من قمم الجبال الشاهقة مثل جبال كينيا وكليمنجارو في وسط أفريقيا.

## أولاً : مظاهر الجليد :

يتخذ الجليد على سطح الأرض أحد المظهرين الآتين :

(أ) الغطاءات الجليدية Ice Sheets

(ب) الأنهار الجليدية أو التلجات Glaciers

الغطاءات الجليدية عبارة عن مناطق فسيحة جداً ، يغطيها الجليد على شكل طبقة عظيمة السمك - تبلغ مئات الامتار - وهذا الجليد يتزلق وينتشر من الوسط نحو الاطراف بحكم الضغط والجاذبية الأرضية ، ولكنه انتشاراً بطيء جداً ، إلى أن تصل أطراف الجليد إلى أقصى مداها ، فتذوب - إذا كانت لا تزال على سطح الأرض ، أو تنكسر إلى قطع جليدية كبيرة الحجم تطفو على سطح البحر ، وتسمى هذه الكتل بالجلال الجليدية الطافية Icebergs وفي الوقت الحاضر يقتصر وجود الغطاءات الجليدية في الجهات القطبية ، مثل قارة أنتاركتيكا وجزيرة جرينلاند ، أما في العصر الجليدي ، فقد كانت هذه الغطاءات أوسع انتشاراً منها الآن - وخاصة في نصف الكرة الشمالي ، وقد كانت مراكز انتشارها في اسكنديناو وفي شمال غرب أوروبا ، وكذلك في شمال أمريكا الشمالية حتى جنوب منطقة البحيرات العظمى .

أما التلجات أو الأنهار الجليدية Glaciers ، فتوجد عادة في المناطق الجليدية ويقسم مجراها إلى قسمين (صورتا ٧-١ ، ٧-٢) :

١- **حقل الثلج** Snow Field : وهو عبارة عن مساحة كبيرة تتجمع فيها الثلوج فتتراكم وتندمج ، وعادة تحيط بها المرتفعات وقمم الجبال ، وتجمع الثلج هنا إما أن يكون عن طريق التساقط من الهواء أو عن طريق سقوط كميات عظيمة منه على شكل الهبات ثلجية Avalanches من منحدرات القمم المحيطة بها .

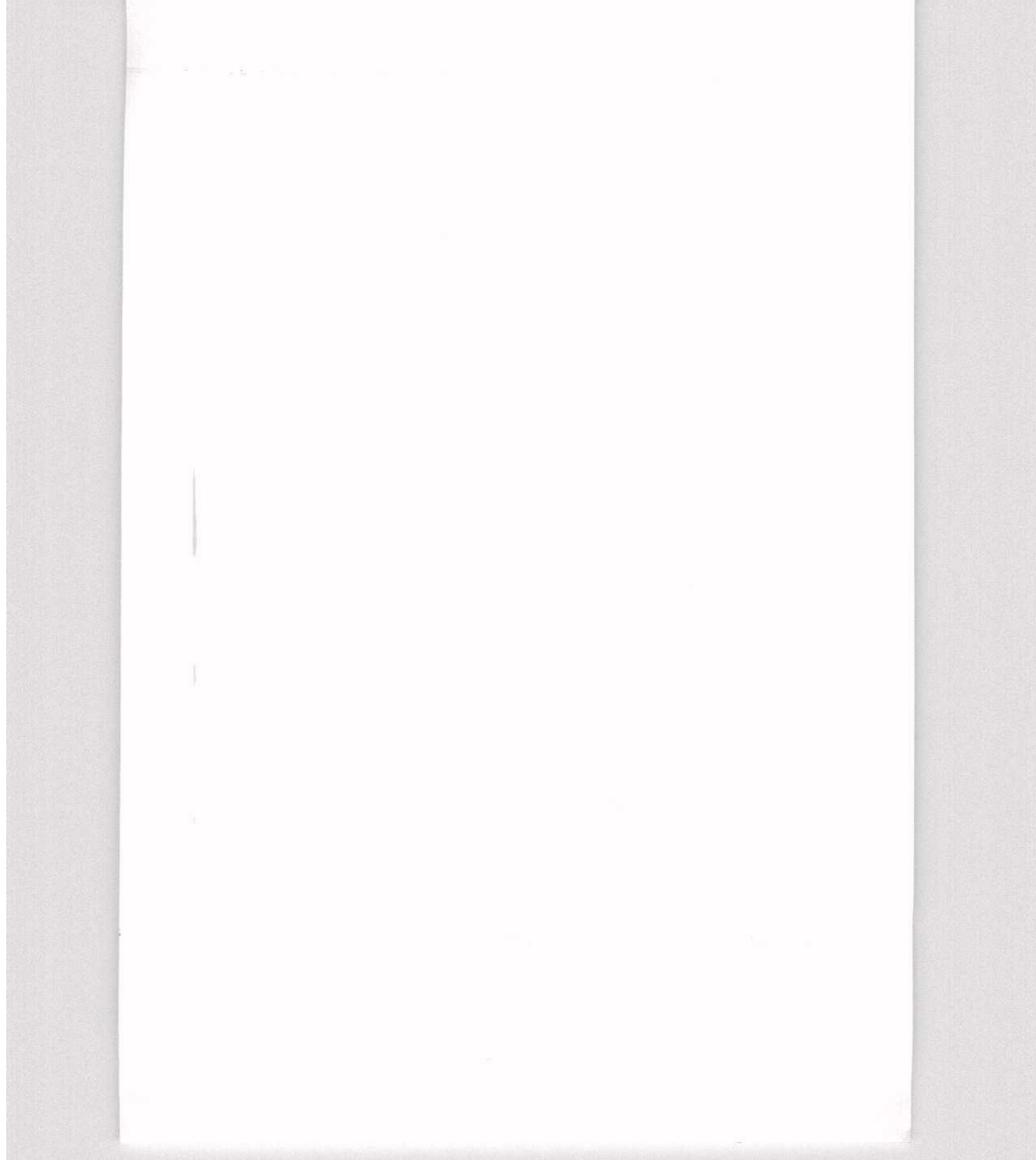
٢- **الوادي الجليدي** Glacier Valley : فهو عبارة عن النهر الذي يخرج من حقل الجليد ويسير فيه الجليد ببطء متزلقاً على سفح الجبل بتأثير الجاذبية الأرضية، حتى يصل إلى خط الثلج الدائم ، فيذوب الجليد ويجري على شكل نهر مائي .



صورة (١-٧) مرئية فضائية لمجموعة من الأودية الجليدية



صورة (٢-٧) إحدى الفلاجات التي تتبع من جبل "أورتلز Ortles" أعلى قمم محمية "ستيلفيو Stelvio" الممتدة في أراضي شمال إيطاليا وجنوب سويسرا. بمساحة تتجاوز ١٣٤ ألف هكتار (تصوير المؤلف في أغسطس ٢٠٠٤)

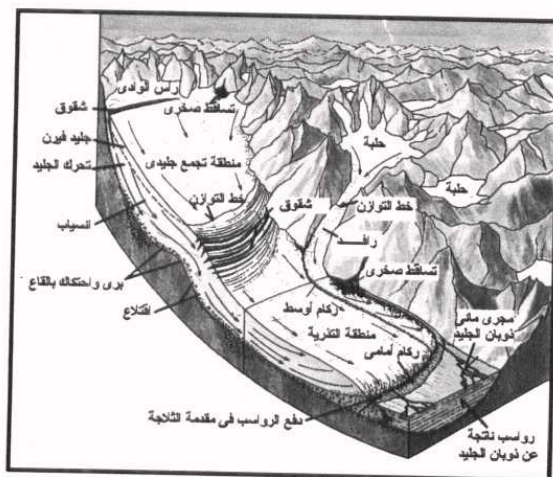


### ثانياً : دور الجليد في تشكيل سطح الأرض :

الجليد المتحرك يقوم بدور مهم في تشكيل سطح الأرض كأحد عوامل التعرية المتحركة Mobile Agents في المناطق الباردة ، ولقد كان من المعتقد أن الجليد يحمي سطح الأرض كغطاء أو كدرع من تأثير عوامل التعرية الأخرى ، ولربما كان هذا التصور راجعاً إلى صعوبة ملاحظة حركة الجليد البطيئة ، فالجليد يزلق بدرجة من البطء لا يتمكن معها الإنسان من ملاحظة حركته بسهولة ، فهو يختلف عن بقية عوامل التعرية التي يستطيع المرء أن يدرك سرعة تحركها وتأثيرها التحوالي ، ولذلك كان الاعتقاد السائد في أوائل القرن العشرين أن الجليد غطاء ثابت على سطح الأرض ، وكان ذلك أيضاً سبباً من الأسباب التي دعت بعض الباحثين إلى الاعتقاد بأنه مادام الجليد ساكن غير متحرك فإن ليس له أى دور في تشكيل سطح الأرض بعمليات النحت والنقل والإرساب ( شكل ٧-١ ، صورة ٧-٣).

ولكن لوحظ في أوائل القرن العشرين وجود أنواع من الكتل والرواسب الصخرية المنقولة ، ولكن من الصعب نقلها بالمياه الجارية أو بفعل الرياح أو بمياه البحر ، ولاحظوا أن هذه المواد تبدو مختلطة وغير مصنفة ، حيث يتراكم الفتات الناعم مع الجلاميد والكتل الصخرية الضخمة بدون ترتيب ، كما أن بعض الكتل كبيرة الحجم لدرجة يصعب نقلها بعوامل التعرية الأخرى ، كما تظهر على هذه الكتل ببعض الحدود Striation على سطحها تشير إلى تأثيرها بالاحتكاك أثناء نقلها ، دفعت هذه المشاهدات للاعتقاد بأن الجليد ليس ثابتاً بل متحركاً ، وبالتالي فإن آثاره تمتد لمسافات أبعد من مناطق وجوده في الوقت الحاضر .





شكل (٧-١) عناصر الوادي الجليدي



صورة (٧-٣) شق رأسى يظهر على السطح العلوى لإحدى ثلاجات نطاق الألب الأوسط شمال إيطاليا تكون نتيجة حركة شد جسم الثلاجة لأسفل بالجاذبية الأرضية (تصوير المؤلف فى أغسطس ٢٠٠٤)

### ثالثاً : تكوين الوادى الجليدى:

عند تساقط الثلوج وتجمعها على القمم الجبلية المرتفعة ، يزداد سمكها تدريجياً مع استمرار تساقط الثلج وانخفاض درجة الحرارة ، ويتحول الثلج نتيجة تراكمه وتضاغطه إلى جليد يتسم بالمرونة يطلق عليه باللغة الألمانية "جليد فيرن Fim" ، تنساب منه عند حوافه بعض الألسنة Lodes في الودى النهرية التي كانت تتبع من تلك المناطق المرتفعة قبل أن يغطيها الجليد ، وباستمرار الظروف المناخية الجليدية تنمو هذه الألسنة تدريجياً ويزداد هذا النمو يزداد امتدادها داخل تلك الودى النهرية فتعرف عندئذ باسم الأنهار الجليدية Glaciers ويتحرك الجليد من القمم الجبلية نحو المنخفضات المتاخمة لها بتأثير عاملين هما :

١- إنحدار سطح الأرض والجاذبية الأرضية.

٢- استمرار تراكم الجليد مع تساقط المزيد من الثلج.

كما أن سرعة تحرك الجليد تتحدد وفقاً لمجموعة من العوامل نوجزها في النقاط التالية :

١- درجة إنحدار المقطع الطولى للثلاجة .

٢- درجة وعورة القاع .

٣- سمك الجليد المتحرك في الثلاجة.

٤- مدى تساقط المذيد من الثلج على المنابع العليا للثلاجة ومدى إستيعاب

كميات إضافية من الجليد في الحلبة.

٥- درجة حرارة الجو في منطقة الثلاجة.

٦- كمية وحجم حبيبات الفتات الصخرى المنقول في الثلاجة.

٧- طبيعة الغطاء النباتي في المنطقة .

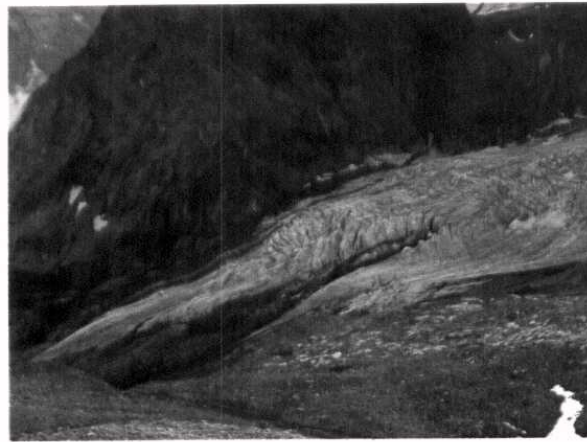
ويواصل النهر الجليدى إحتكاكه بأرضية الوادى الذى ينساب فيه ويجانبى هذا الوادى،

كما بطبيعة قاع الوادى الصخرية أثرها أيضاً على حركة الجليد ، فالقاع الوادى المتكون من

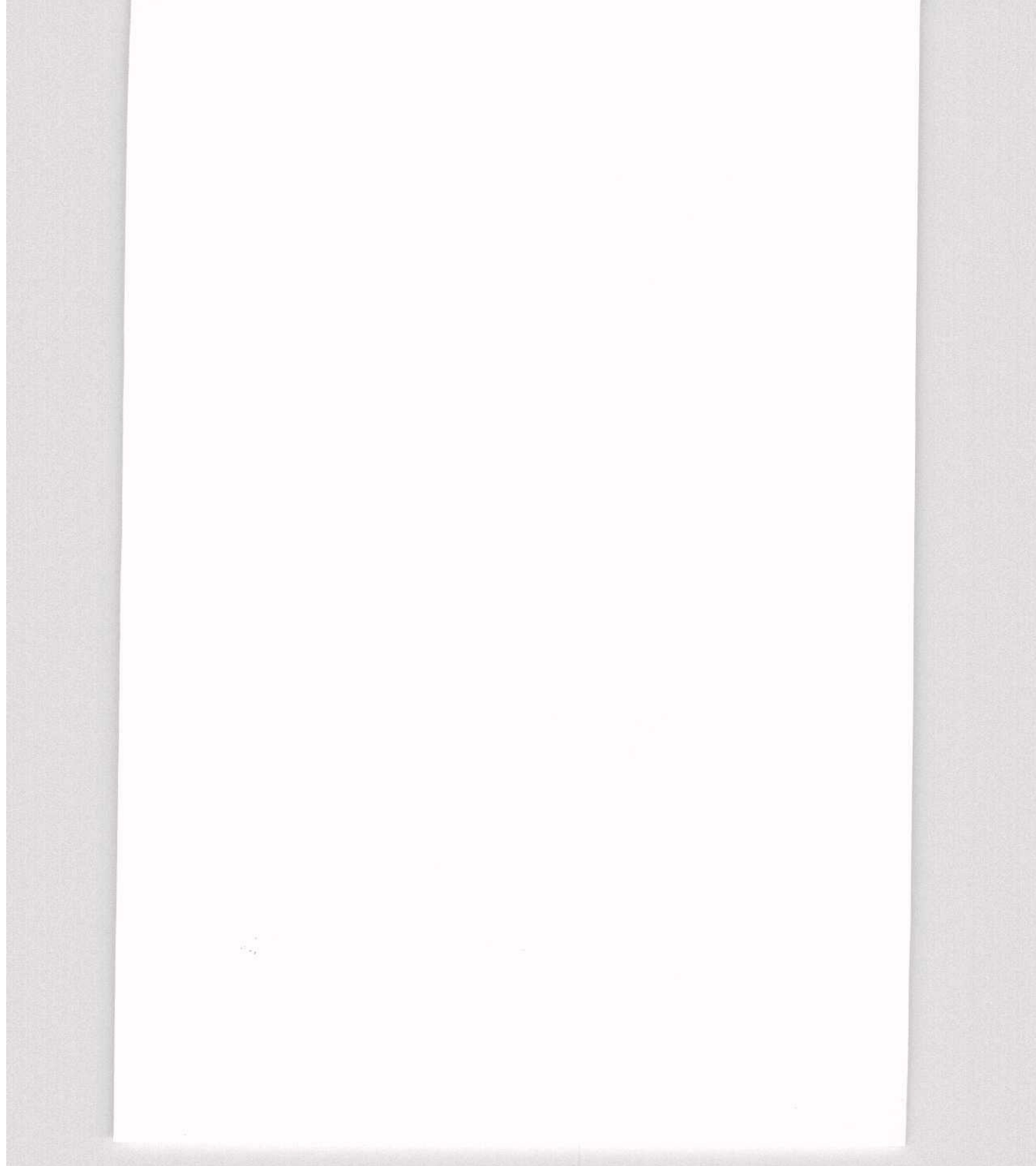
صخور متقاومة المقاومة (قوية وضعيفة) يؤثر فيه الجليد تأثيراً منفصلاً بمعنى أن تأثير الجليد لا يكون كـتأثير التعرية النهرية إذ أن كل جزء من النهر المائي مرتبط بالآخر منها اختلف نوع الصخر في حين أن النهر الجليدي يتوقف عمل الجليد فيه على درجة مقاومة الصخر ، فإذا كان الصخر ضعيفاً كان تحت الجليد كبيراً والعكس صحيح. وهذا معناه أن النهر الجليدي لا يتأثر بعمل الارتباط بين أجزائه المختلفة كما هو الحال في النهر المائي وعليه فإن الوادي النهرى الذي يستقار نوع الصخر على قاعة قوة وضعفاً ويزحف على قاعة جسم جليدي ، يتصف بعدم الانتظار حيث أن الأجزاء التي تتكون من صخور ضعيفة تكون أقل منسوباً من تلك المتكونة من صخور قوية . ولا شك أن عدم الانتظار في إنحدار قاع الوادي المتأثر بفعل الجليد هو من نتائج الجليد ، يؤثر وره بعد ذلك على حركة الجليد نفسه حيث تقف الأجزاء المرتفعة كعقبات في مجرى الجليد تؤثر على أجزائه السفلي وتنعكس على سطحه في تلك المناطق في صورة شقوق تعرف باسم Crevasses ، ويمكن تصنيف الشقوق على سطح الثلجة إلى صنفين (نوعين) من حيث الشكل العام لسطح الثلجة، وهناك شقوق عريضة Crevasses Cross والشقوق الطويلة Long Crevasses . وتنشأ الشقوق العريضة نتيجة وجود العقبات المستعرضة للاتجاه ، أما الشقوق الطويلة فتنتشأ نتيجة احتكاك جوانب الثلجة بجوانب الوادي النهرى إذ أن هذا الاحتكاك يؤثر بطبيعة الحال على سرعة الجليد في جسم الثلجة في الأجزاء القريبة من جانبي الوادي تأثيراً كبيراً في حين أن الأجزاء الوسطى من جسم الثلجة لا تتأثر كثيراً ، وهذا من شأنه يؤدي إلى اختلاف السرعة ويترتب على ذلك صراع بين أجزاء أسرع من أجزاء في جسم الثلجة ، فالأجزاء الوسطى تكون أسرع من الأجزاء الجانبية ولذلك يتشقق سطح الجليد المستحرك شقوقاً طويلة، ومن هنا نجد أنه في بعض المناطق في جسم الثلجة تتقاطع الشقوق الطويلة مع الشقوق العرضية (صور أرقام من ٧-٤ إلى ٧-٦) .



صورة (٤-٧) خدوش و حدود ناتجة عن احتكاك الجليد المتحرك وفعل الصقيع على حافة جبل "تريجلاف" Triglav " في سلوفينيا (تصوير المؤلف في أغسطس ٢٠٠٣)



صورة (٥-٧) شقوق عرضية على مقدمة إحدى الثلجات في منطقة Stillfser Joch على منسوب ٢٧٦٨ متر ضمن نطاق محمية Stelvio على الحدود الإيطالية / السويسرية (تصوير المؤلف في أغسطس ٢٠٠٤)





صورة (٦-٧) شقوق طويلة ناتجة عن تحرك الجليد على المنحدر. ولاحظ أن الشقوق محشوة بالرسوبيات الدقيقة المنقولة على سطح الثلجة بالماء الجارى من قمة المنحدر (تصوير المؤلف فى أغسطس ٢٠٠٤)

#### خصائص الوادى الجليدى :

تتميز الأودية الجليدية عن الأودية النهرية بعدة خواص نوجزها فيما يلى :

- ١- شدة الفاصل الرأسى أى الفارق الرأسى بين المنابع العليا للثلجة عند الحلبات الجليدية ومصباتها سواء فى الفيوردات الساحلية أو حيثما يذوب الجليد ويتحول إلى نهر مائى ، ولذلك تبدو المقاطع الطولية للثلجات أشد إنحداراً من المقاطع الطولية للمجارى المائية .
- ٢- يظهر المقطع العرضى للوادى الجليدى على شكل حرف U سواء عند منابعه العليا أو أجزاءه الدنيا بعكس الوادى النهرى الذى يظهر مقطعه العرضى على شكل حرف V عند منابعه العليا وويتحول لشكل حرف U فى أجزاءه الدنيا (صورتا ٧-٧ ، ٧-٨) .
- ٣- تمتد الثلجات على شكل مجار مستقيمة تكاد تخلو من المنعطقات و الثنيات لأن الجليد المتحرك ليست له المرونة الكافية للاستجابة للانشاء والانعطاف، ولذلك تبدو المجارى النهرية التى تتفق مساراتها مع ثلجات قديمة بصورة خالية من المنعطقات النهرية .

٤ - تتكون على سطح الثلجة مجموعات من الشقوق العميقة المتشابكة وهي تنقسم إلى ثلاثة أنواع هي :

- (أ) شقوق عرضية Transverse Crevasses تمتد بصورة متعامدة على اتجاه الوادى الجليدى ، وتتكون بسبب تحرك الجليد فوق أجزاء وعرة أو شديدة الانحدار من سطح الأرض .
- (ب) شقوق طولية Longitudinal Crevasses وهي تمتد موازية لاتجاه الوادى الجليدى ، وتتكون بسبب اختلاف سرعة تحرك الجليد ، فعادة ما يكون أسرع في منتصف الجرى وبطيئاً على هامشه بسبب الاحتكاك بمنحدراته الجانبية .
- (ج) شقوق حدية أو هامشية Marginal Crevasses وهي تتكون عند مقدمة الوادى الجليدى بسبب اصطدام كتلة الجليد المتحركة بالعوائق التضاريسية التي تعترض تقدمه نحو منحدراته الدنيا .
- وما يهمنا من وجهة النظر الجيومورفولوجية هو دور الشقوق المحفورة في سطح الثلجة الجليدية في المساهمة في تشكيل بعض الظواهرات الجيومورفولوجية، فالشقوق المحفورة في جسم الثلجة لها أهميتها في نقل المواد الرسوبية ووصولها لسطح الأرض أسفل الثلجة ، وبخاصة الشقوق الطولية المتاخمة لجوانب الثلجة ، التي تسهم في نقل المواد الرسوبية إلى سطح الأرض أسفل جسم الثلجة ، فتكون بمثابة مصائد يتجمع فيها ما يسقط على جسم الثلجة من فتات صخرى ، كما أنها تتعرض لحرارة الشمس أثناء فترات سطوح الشمس ، وتتأثر أيضا باختلاف الظروف الجوية مما يساعد على توسيع هذه الشقوق وذوبان قسم من الجليد .





صورة (٧-٧) مقطع عرضي على شكل حرف U لنهر "شوكا Soca" في سلوفينيا ذو النشأة الجليدية في عصر البلايستوسين (تصوير المؤلف في أغسطس ٢٠٠٣)



صورة (٧-٨) مقطع عرضي في واد جليدي النشأة  
(After Carol Harden in: Slattery, 2004)



٥- تتصل روافد الثلجات بمجاريها الرئيسية من مناسب مرتفعة يطلق عليها اسم الأودية الجليدية المعلقة Hanging Glaciers . قد تتكون على القمم الجبلية الشاهقة في المناطق الباردة مجموعة من الحلقات الجليدية متعددة الاتجاهات ، بحيث تشكل كل حلبة منها أحد المنابع العليا لود جليدى ، وتعمل كل حلبة منها على نحت القمة الجبلية ويطلق على الجزء الهرمى المتبقى منها اسم " قمة جبلية هرمية أو قرنية " Glacial Horn (شكل ) .

٦- يمكن التعرف على المناطق التي كانت مغطاة بالجليد عن طريق عدة ظاهرات أولها الحذوذ والفلوم الطولية التي تنتج عن احتكاك المواد الملتصقة بقاع الجليد عند تحركها على سطح الأرض ، والظاهرة الثانية هي الصخور الغنمية (أظهر الخراف) التي ينحج الجليد المتحرك في صقلها وتسويتها بالاحتكاك، أما الظاهرة الثالثة فهي الكتل الضالة Erratic Blocks التي يقوم الجليد بإقتلاعها ونقلها ثم يرسبها في مكان آخر يندر وجود تكوينها الجيولوجى حينما ترتفع درجة الحرارة لدرجة كافية بذوبان الجليد.

#### رابعاً : أشكال النحت الجليدى:

هناك العديد من الظاهرات الجيومورفولوجية تدل على مقدرة الجليد على النحت والتعديل في المظهر الجيومورفولوجي السابق لتكون الجليد ، والأودية النهرية تعد من أكثر الظاهرات التي تعرضت للتعديل الجليدى على سطح الأرض في المناطق المحيطة بالغطاء الجليدى بسبب إنسياب ألسنة جليدية من هذا الغطاء أتبعته مجارى الأنهار . ولا شك أن عملية التعديل في الظاهرات الجيومورفولوجية في الوادى النهري وما ينشأ عنها من ظاهرات تختلف من واد نهرى إلى آخر، بل على أجزاء الوادى النهري الواحد، ومعنى ذلك أن الظاهرات الجليدية المعدلة تتوقف على عاملين أساسيين أولهما نوع الصخور الذى تمكن الوادى النهري من شق مجراه خلالها ، وثانيهما يتمثل في المرحلة التي قطعها الوادى النهري من دورته التحتانية، فالوادى النهري الذى وصل إلى مرحلة النضج مثلاً سوف يتأثر ولا شك بفعل الجليد بدرجة تختلف عن

تأثر الوادى النهري الذى مازال فى مرحلة الشباب ، وكذلك بالنسبة للوادى النهري الذى وصل إلى مرحلة الشيخوخة (صورة ٧-٩) .



صورة (٧-٩) آثار الاحتكاك بالجليد على أحد جوانب قمة جبل Ortles (٣٣٨٦ متر) فى محمية Stelvio فى شمال إيطاليا (تصوير المؤلف فى أغسطس ٢٠٠٤)

وتتطلب دراسة هذه التعديلات فهماً دقيقاً للتاريخ الجيومورفولوجي للوادي النهري قبل تأثره بالتعرية الجليدية، وهى مهمة تتطلب دراسة جادة للعمليات الجيومورفولوجية الراهنة والسابقة على السواء ، ومحاولة الكشف عن ملامح سطح الأرض القديمة قبل أن يغطيها الجليد. وتظهر على أرضية وجوانب الوادى الجليدى مجموعة من ظاهرات النحت تظهر من منابعه العليا وحتى المصب أهمها ما يلى (صورة ٧-١٠):



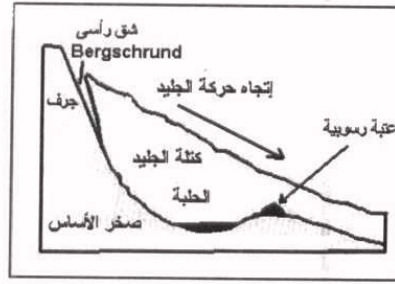
صورة (٧-١٠) حذوذ الصقل والاحتكاك بالجليد تظهر على قاع إحدى التلججات  
(After Allan James in: Slattery, 2004)

- ١- الحلبات الجليدية Cirques
- ٢- السيف الجليي Arete أو Serrete :
- ٣- القمم الهرمية Matherhorns
- ٤- الهوة الجليدية Bergschrund - الهوة الهامشية Randkluft
- ٥- العتبات الصخرية Rock Steps
- ٦- الصخور الغنمية (ظهور الخراف) Roches Mouttonnes
- ٧- مقدمات أراضي ما بين الأودية المشطوفة Truncated Spurs
- ٨- الأودية المعلقة Hanging Valleys
- ٩- المعابر الجليدية لأراضي ما بين الأودية Preached Watershed
- ١٠- الكتل الضالة Erratic Blocks
- ١١- الفيوردات Fiords و الفياردات Fiards.
- ١٢- برك الغطس الجليدية Shaft Holes - الحفر الوعائية الجليدية Glacial Potholes

وفيما يلي خصائص أهم أشكال النحت الجليدي:

#### ١- الحلبات الجليدية Cirques :

مصطلح فرنسي يطلق على تجاويف مقوسة الشكل يقوم الجليد بنحتها على السفوح الحممية من الإشعاع الشمسي ، تحيط بها جروف مرتفعة من ثلاثة جوانب ، أما الجانب الرابع فهو يتميز ببطئ إنحداره مما يسمح بإنسياب وتحرك الجليد من خلاله نحو مصب الوادي الجليدي . وتنشأ الحلبة في بداية الأمر بسبب تجمع الثلج Ice داخل حفر أو نتوءات صغيرة تتكون على السفوح الجبلية العالية ، حيث يساعد فعل الصقيع Frost Action في زيادة تعميق وتوسيع هذه الحفر ، مما يؤدي إلى تراكم وتجمع المزيد من الثلج المتساقط ، وبالتالي يزداد سمك الثلج ، ويتضاعف تدريجياً فيقل سمكه ليستوعب كميات أكبر من الثلج ، الذي يتحول إلى نوع آخر من الجليد يطلق عليه جليد فيرن Firn ، وهو يتسم بسمات تميزه عن الجليد العادي ، نظراً لتضاعف مكوناته ، فكل ثمانية أمتار من الجليد العادي تتضاعف لتكون متراً واحداً من جليد "فيرن" ، ولذلك فإن طبقاته السفلى تصبح لدنة بسبب تعرضها لقوة الضغط الشديدة ، وتعتبر ظاهرة الحلبات الجليدية من أوضح الظواهر الجيومورفولوجية الناتجة عن نحت الجليد ، فهي تتكون بسبب تجمع وتراكم الجليد داخل هذه النتوءات ويزداد سمكه عاماً بعد آخر ، مما يؤدي إلى إنزلاقه لإسفل على المنحدرات الواقعة أسفل الحلبة بتأثير الجاذبية الأرضية في صورة ألسنة جليدية ، وعندما يترلق الجليد يبدأ ينحت رأسياً في صخور هذه المنحدرات (شكل ٧-٢ وصورتا ٧-١١ و ٧-١٢) .



شكل (٧-٢) بعض الأشكال الجيومورفولوجية المرتبطة بالحلبة الجليدية



صورة (٧-١١) حلبة جليدية بدأت في التكون على أحد جوانب قمة جبل Ortles (٣٣٨٦ متر) في محمية Stelvio في شمال إيطاليا (تصوير المؤلف في أغسطس ٢٠٠٤)

وتتعرض الحلبات الجليدية للنمو والتطور بمرور الزمن فهي تتفق في ذلك مع جميع الظواهرات الجيومورفولوجية الأخرى ، فهي تبدأ شابة فتية قليلة العمق ومحدودة الاتساع ، ولكنها تقوم بالتعميق الرأسي التوسيع الجانبي ، وهي تنشأ نتيجة إنسياب وتحرك ألسنة جليدية من حقل جليدي على منحدرات شديدة ، ومع استمرار عملية النحت تنمو الحلبة الجليدية رأسياً وأفقيّاً، فتتسع وتعمق باستمرار ، ولك مع إنصهار الجليد في فصل الصيف تتكون بحيرة أو بركة مائية داخل الحلبة ، كما تظهر على نطاق الاتصال بين الحقل الجليدي وسفح المنحدر الجبلي عتبة منحدر تشبه نقط التجديد على مجارى الأنهار أو مساقط المياه، وتراجع النقطة خلفاً هي الأخرى بسبب شدة نحت وإحتكاك الجليد بسطح المنحدر ، كما أن نمو الحلبة الجليدية لا يقتصر على نحت وتعميق المنحدر الجبلي ، ولكن تتعرض حوائط الحلبة الجانبية للنحت والتوسيع بإتجاه المنابع العليا على حساب تقويض القمم الجبلية وتحويلها إلى قمم هرمية Horns بصورة تشبه التراجع الخلفى أو التقويض الينوعى للأنهار بواسطة النحت التراجعى Headward Erosion للروافد العليا من الرتبة الأولى .



صورة (٧-١٢) مجموعة حلبات جليدية تنكشف بعد ذوبان الجليد  
(After Richard Kesel in: Slattery, 2003)



## ٢- السيف الجليلى Arete أو Serrete :

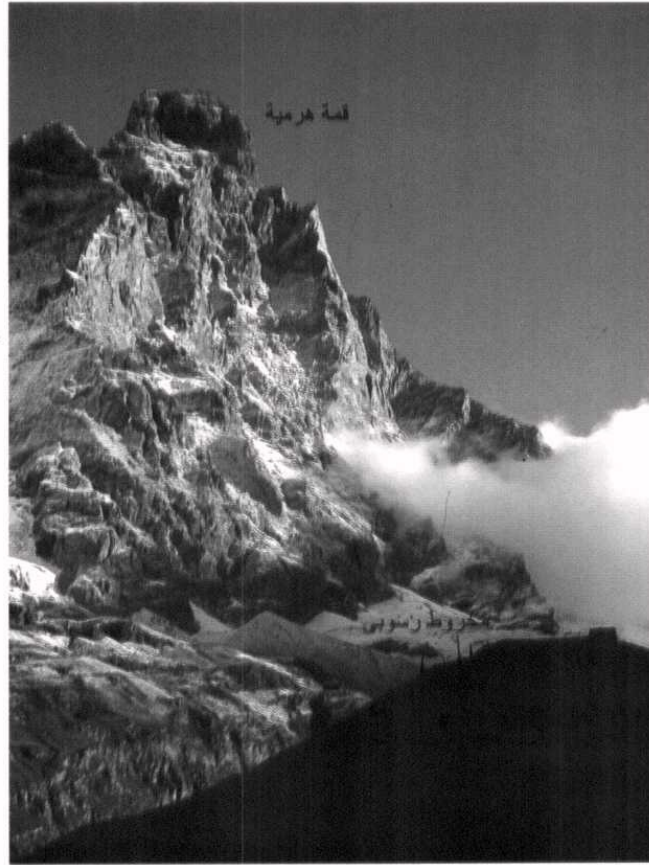
يعد السيف الجليلى Arete أو Serrete إحدى الظواهر الجيومورفولوجية الثانوية التى تنشأ بصورة ملازمة لتطور الحلبات الجليدية ، وهو عبارة عن حافة تمثل بقايا الأراضى الفاصلة بين الأودية الجليدية ، أى أنها تشبه أراضى ما بين الأودية فى التعرية النهرية، وتمتد هذه الحافات السيفية بصورة مستقيمة ، ويشتد إنحدار جانبيها ، وهى تفصل بين التلجات المتجاورة سواء عند منابعها العليا قرب الحلبات أو عند أجزاءها الدنيا الهينة الإنحدار .

## ٣- القمم الهرمية Matherhorns - Horns :

تمثل القمم الهرمية Matherhorns ظواهر متبقية عن عملية نحت الحلبات الجليدية على سفوح المنحدرات ، وتظهر هذه القمم شائعة ومدمية الشكل وتتسم منحدراتها بالوعورة والتضرس وتظهر عليها الخدوش والثلوم الناتجة عن إحتكاك الجليد المتحرك بسطوحها ، وعادة ما تظهر كجزر جبلية وسط بحر هائل من الجليد، وتشبه إلى حد ما ظاهرة تعرف باسم Nunatacks تشبه الجزر الجبلية وسط بحر من الجليد، وتعرض هذه القمم للتخفيض المستمر المصاحب لنحت الحلبات المحفورة فى سفوحها المتقابلة (شكل ٧-٣ و صورة ٧-١٣).

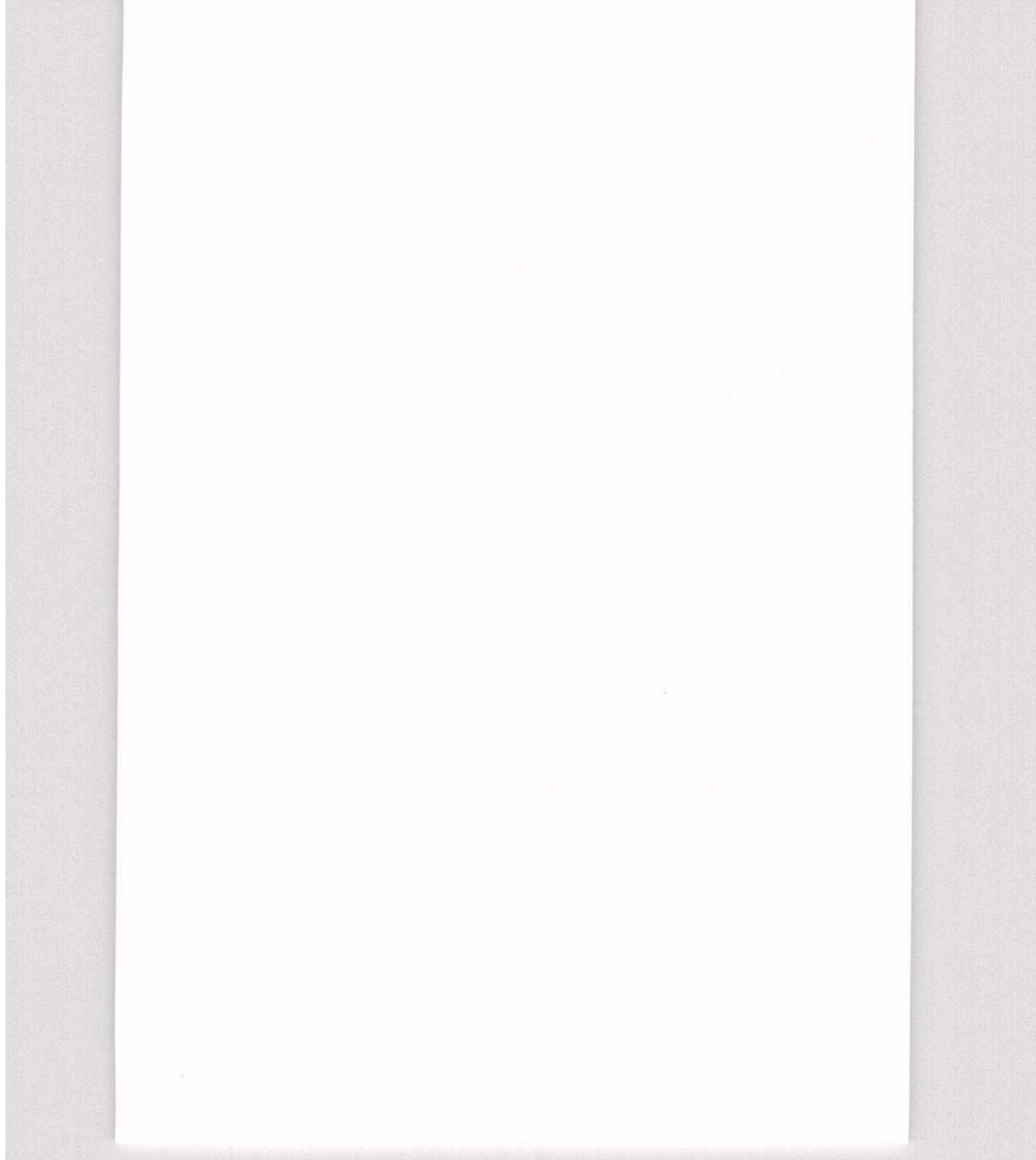


شكل (٧-٣) تكوين القمة الهرمية



صورة (٧-١٣) قمة هرمية لجبل Cervino على منسوب ٤٤٧٨ متر عند المنابع العليا لوادى Marmore أحد روافد وادى آوسطا شمال غرب إيطاليا — لاحظ تكوين مجموعة من الحلقات على سفوح الجبل وتجمع مخروطات رسوبية من نواتج انصهار الجليد تحت أقدام منحدرات الجبل (تصوير المؤلف فى سبتمبر ٢٠٠٣)





#### ٤- الهوة الجليدية Bergschrunds - الهوة الهامشية Randkluft :

أصل مصطلح "بيرجشرونډ" Bergschrunds باللغة الألمانية يطلق على شقوق طولية عميقة يفصل كل منها بين حقل الجليد والحوائط الجليدية التي تغطي القمم الجبلية المحيطة بالخلبات ، وهي تختلف عن ظاهرة أخرى يطلق عليها اسم : الهوة الهامشية Randkluft وهي عبارة عن مصطلح ألماني آخر يطلق على حفرة طولية عميقة تفصل بين جليد الحلبة وحوائطها الجانبية ، ويغطيها عادة معبر أو جسر رقيق من الجليد ، وهي تنشأ عن عاملين أولهما هو قوة شد كتلة الجليد لأسفل بالجاذبية الأرضية ، مما يساعد على انفصالها عن الجروف الجانبية للحلبة، أما العامل الثاني فهو دفع الحوائط الصخرية للحلبة بصورة نسبية عن الجليد مما يساعد على ذوبان أو إنصهار جزء من الجليد وتكوين هذه الهوة السحقة ، والظاهرتين تمثلان عائقاً يواجهه متسلقي الحافات الجبلية في النطاقات الجليدية (صورة ٧-١٤) .



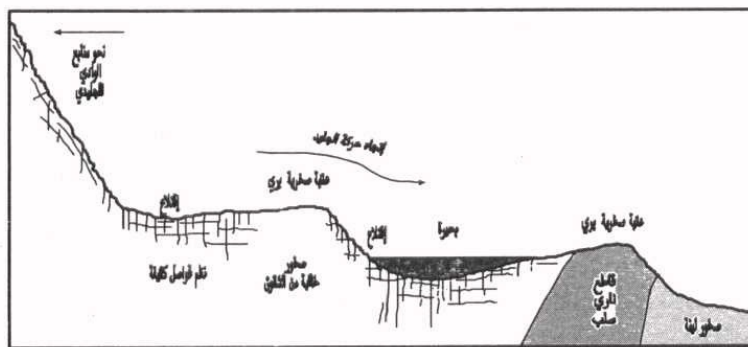
صورة (٧-١٤) حفرة طولية ( هوة هامشية Randkluft ) تفصل بين القسم العلوي من حلبة والحافة الصخرية المتاخمة لها ناتجة عن قوة شد جسم التلاجة بالجاذبية الأرضية في أحد أودية جبال الألب الإيطالية (تصوير المؤلف في أغسطس ٢٠٠٤)

#### ٥- العتبات الصخرية : Rock Steps:

تظهر العتبات الصخرية على شكل نقاط تغير في الإنحدار الطولى لقاع الثلاجة ، وقد يبلغ التعميق الرأسى لبعض أجزاء هذه العتبات لمنسوب منخفض جداً يتجاوز مستوى القاعدة المحلى للوادی الجليدى ذاته ، ولذلك فالعتبات الصخرية تعد من الظاهرات التى يمكن الاستدلال بها على تأثر الوادى النهري بفعل الجليد ، فالجحرى المائى لا يستطيع بأي حال من الأحوال أن ينحس أجزاءه العليا راسياً لمنسوب أقل من مستوى القاعدة Base Level مهما كان ضعف الصخر الذى يجرى عليه. ومن ملامح الاختلاف بين مورفولوجية الوادى النهري والوادى الجليدى أن الوادى الجليدى لا يترتبط بنظام معين لمستوى القاعدة مثل الأودية النهرية التى تعمل لبلوغ هذه المستوى ، فكل نطاق من الوادى الجليدى يتأثر بالظروف الطبيعية للمنطقة التى يزحف عليها ، ووتتحكم فى معدل حركته مجموعة من الضوابط أهمها ما يلى:

- (أ) قوة شد الجليد لأسفل بتأثير الجاذبية الأرضية وسمك الجليد وثقله.
- (ب) درجة إنحدار سطح الأرض ومدى وعورته.
- (ج) مدى صلابة صخور سطح الأرض وبنيتها الجيولوجية .

ولذلك يرتبط ظهور العتبات بالأجزاء الصلبة من سطح الأرض التى لم يتمكن الجليد من تسويتها بالكشط أو بالاختلاع ، كما ترتبط بالقواطع الصخرية Dycks ، والانكسارات Faults ، وتفصل بين مجموع العتبات المتعاقبة على قاع الثلاجة نطاقات هينة الإنحدار ترتبط بالصخور الأقل مقاومة لفعل النحت والاحتكاك بالجليد المتحرك ، ويشند إنحدار الأجزاء الصخرية الصلبة بخلاف الأجزاء اللينة التى تبدو هينة الإنحدار ، كما تحرز سطوح هذه العتبات مجموعات من الخدوش الجليدية Striation والثلوم والشقوق الطولية المتوازية الناتجة عن احتكاك الجليد الزاحف على منحدرات سطح الأرض (شكل ٧-٤ و صورة ٧-١٥).



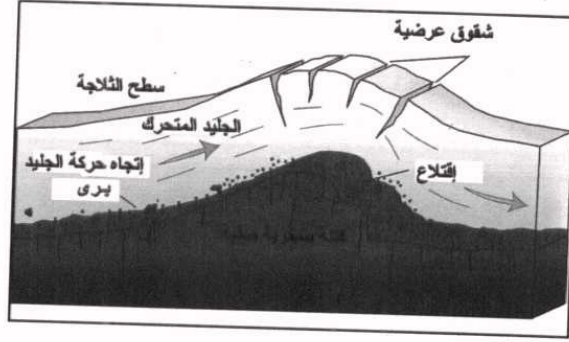
شكل (٧-٤) تكوين عتبات صخرية تعترض وادي جليدي إحداها ناتجة عن قاطع ناري صلب وأخرى عن  
بري صخور صلبة غير مقطوعة بنظم الفواصل (After: Small, 1989)



صورة (٧-١٥) عتبة جليدية تظهر بعد ذوبان الجليد في أحد روافد وادي "ترافوي Trafoi" على منسوب ٢٢٥٤ متر في محمية Stelvio بشمال إيطاليا - لاحظنا نثار حصوات حادة الأطراف ناتجة عن احتكاك الجليد بسطح الأرض (تصوير المؤلف في أغسطس ٢٠٠٤)

#### ٦- الصخور الغنمية (ظهور الخراف) Roche Moutonnee :

عبارة عن كتل صخرية بارزة على قاع الثلجة لم يتمكن الجليد من تسويتها بالاحتكاك أو الاقتلاع ، يتشابه مظهرها المورفولوجي العام مع "الأغنام" ، فهي تتميز باختلاف درجة إنحدار جانبيها المتقابلين ، ويرتبط تكوينها بالأجزاء الصخرية الأكثر صلابة ، ولذلك فهي تشبه العتبات الصخرية في أحدهما من الظاهرات التي تدل على تباين مقاومة الصخر لعوامل التعرية واختلافه من منطقة إلى أخرى ، وتظهر على جوانبها سواء الصلبة أو اللينة آثار النحت الجليدي مثل الخدوش والثلوم التي نستدل منها على إتجاه حركة الجليد ، كما يشير الإنحدار البطيء الأملس لسطح تلك الكتل الصخرية إلى الجهة التي قدم منها الجليد ، بينما نلاحظ أن الإنحدار الشديد يشير دائما إلى الجهة التي يزحف نحوها الجليد (شكل ٥-٧).



شكل (٥-٧) مقطع طولى مجسم يوضح الخصائص المورفولوجية لظهور الخراف

#### ٧- مقدمات أراضي ما بين الأودية المشطوفة: Truncated Spurs :

تعتبر هذه الظاهرة إحدى أشكال التعرية النهرية المتأثرة بفعل الجليد ، فهي تتكون بتأثير زحف الجليد فوق أراضي ما بين الأودية Interlocking Spurs ، وهي تتميز بمجموعة من الخصائص المورفولوجية أهمها ما يلي:

- (أ) شدة إنحدار سطح الأرض بوجه عام.
- (ب) تتحدد سطح الأرض بالحدوش والثلوم بتأثير زحف وكشط الجليد .
- (ج) تبدو مقدمة أراضي ما بين الأودية مكشوفة أو مشطوفة لعدم استكمال القوس الذي يحدد هذه المقدمة.

(د) إنتشار بقايا الرواسب الجليدية الحادة الأطراف Moratnes فوق سطح الأرض بتأثير إحتكاك الجليد وكشطه للصخور وإقتلاع بعض الكتل الصخرية ونثرها فوق السطح. ولكن يجب أن نتوخى الحذر عند تمييز هذه الظاهرة ميدانياً فليست كل أرض مشطوفة يشاهدها المرء على جانبي واد فحري يمكن تفسير نشأتها بفعل النحت الجليدي ، فرمما تحدث مثل هذه الظاهرة نتيجة تأثير نطاقات أراضي ما بين الأودية بحدوث الانكسارات ، التي قد تؤدي إلى هبوط جانب من مقدمة أراضي ما بين الأودية ، بينما يظهر الجانب الآخر مشطوفاً ، وفي هذه الحالة فإن وخط الشطف يمثل سطح انكسار. ومن المؤكد أن هناك العديد من الأدلة الجيومورفولوجية التي يمكن استخدامها للتدليل على تأثير الأودية النهرية بفعل التعرية الجليدية ، خاصة إذا ما كانت عملية الزحف الجليدي حديثة ، فهناك بقايا للارسابات الجليدية الحادة الأطراف الغير مصنفة Moratnes ، بالإضافة إلى إنتشار الحدوش الجليدية المحفورة على منحدرات جوانب الأودية النهرية.

#### ٨- الأودية المعلقة: Hanging Valleys :

لا يقتصر وجود الأودية المعلقة على المناطق الجليدية وحدها ، فهي تتمثل أيضا حينما تشق الأودية الرئيسية مجاريها في مناطق ضعف جيولوجي بينما تحاول روافدها شق مجاريها بصعوبة في تكوينات أكثر صلابة ، كما تتكون الأودية المعلقة في الأودية الانكسارية النشأة ،



وتقطع الجروف البحرية القديمة التي انحسر البحر عنها نتيجة إنخفاض منسوبه ، ولكن لم تتمكن هذه الأودية من الاستمرار في عملية التعميق الرأسى للوصول لمستوى القاعدة الجديد بسبب التغيرات المناخية وسيادة ظروف الجفاف ، ومن أبرزها مجموعة الأودية المعلقة لحافات جنوب بريطانيا التي تطل على بحر الشمال . أما في المناطق الجليدية فهي تنشأ على جوانب الأودية النهرية نتيجة تأثير الأودية الرئيسية بفعل النحت الجليدى، الذى يعمل على زيارة التعميق الرأسى للأودية الرئيسية ، ويقصد هنا بالأودية الرئيسية تلك الأودية التي تنصرف إليها مجموعة من الروافد العليا (صورة ١٦-٧) .



صورة (١٦-٧) وادى مُعلق عند المنابع العليا لوادى Schnals شمال قرية Kurzras على منسوب ٢٨٥٠ متر شمال إيطاليا ينساب منه مجرى مائى نتيجة ذوبان الجليد في فصل الصيف (تصوير المؤلف في أغسطس ٢٠٠٤)

#### ٩- المعابر الجليدية لأراضى ما بين الأودية Preached Watershed :

تعتبر هذه الظاهرة إحدى الأشكال المميزة لفعل النحت الجليدى ، وتنشأ عن عملية زحف الجليد وعبره لأراضى ما بين الأودية حتى يصل لوادى أخرى متاخم له وتراكم الجليد داخله .

وتحدث هذه العملية بسبب ضيق بعض أجزاء الوادى الجليدى لدرجة لا تسمح باستمرار تدفق الجليد بسلاسة ، مما يدفعه لعبور أراضي ما بين الأودية لتصرف الجليد الذى ينوء بحمله ، حيث تبدأ هذه العملية فى إرتفاع مستوى الجليد تدريجيا فى المنطقة الضيقة من الوادى التى تمثل عنق الزجاجاة وتمتد منه ألسنة جليدية ، ومع استمرار هذا الإرتفاع تمتد هذه الألسنة إمتداداً كبيراً حتى تصل إلى منابع الروافد عابرة خط تقسيم المياه بينها وبين الروافد التى تنصرف على الجانب الآخر من المقسم المائى ، ولكن عندما ترتفع الحرارة وينصهر الجليد تظهر المنطقة التى كانت معبراً له فى صورة خائق يحمل كل صفات الوادى الجليدى من جروف تقطعها الخدوش الجليدية وقد تتناثر على السطح بعض أشكال النحت الجليدى الأخرى مثل الصخور الغنمية (ظهور الخراف) والكتل الضالة والأسطح المكشوفة .

#### ١٠ - الكتل الضالة Erratic Blocks:

يقوم الجليد الزاحف بإقتلاع الكتل الصخرية التى تعترض طريقه ، كما يقوم بكشط ونحت الكتل الصخرية التى لا يستطيع إقتلاعها ويقوم بتحويلها إلى كتل بيضاوية الشكل تحددتها الخدوش الغائرة يطلق عليها اسم الصخور الغنمية كما سبق أن أوضحنا فى الصفحات السابقة، ولكن قد تنتشر على قيعان الثلاثجات كتل صخرية تختلف فى تركيبها الجيولوجى عن طبيعة تكوين المنطقة التى تتواجد فيها ، يُطلق عليها اسم الكتل الضالة ، تشير إلى قدرة الجليد على نقلها من المنابع العليا ثلاثية ونقلها على سطح كتل الجليد الزاحف ، وإعادة ترسيبها عند إنصهار الجليد ، تفيد دراسة هذه الظاهرة فى قياس قدرة الثلاثجة على الاقتلاع والنقل الجليدى (صورة ٧-١٧) .





صورة (٧-١٧) كتلة ضالة متبقية عن النقل الجليدي ثم تفككت بالتجوية العضوية الناجمة عن نمو جذور شجرة داخل الفواصل الصخرية في وادي "شوكا Soca" (تصوير المؤلف في أغسطس ٢٠٠٣)

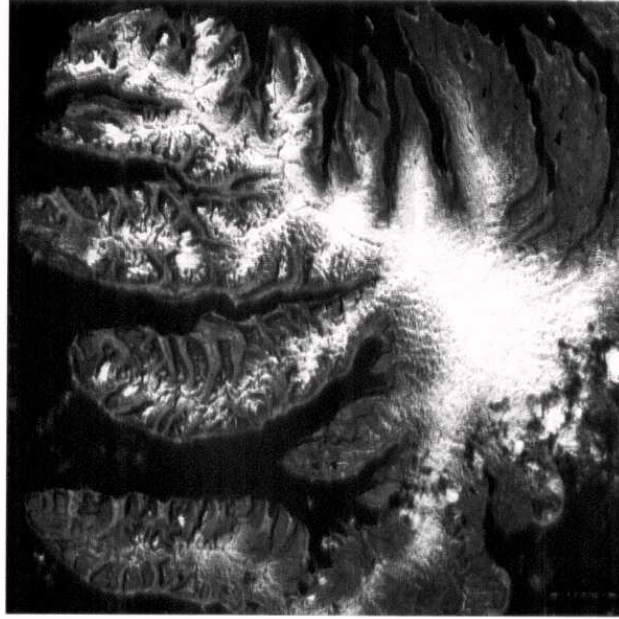
#### ١١- الفيوردات Fiords و الفياردات Fiards:

أصل مصطلح Fiords نرويجي ويطلق على مصبات الأودية الجليدية الغارقة ، وهي من الظاهرات المركبة النشأة بمعنى أنها تسهم في تكوينها عوامل كثيرة سواء أكانت عوامل جيولوجية أو عوامل تعرية، وهي عبارة عن ذراعمائي يتوغل داخل اليابس ، تحيط به جروف شبه حائطية مرتفعة مُقطعة بالعديد من الأودية المعلقة القديمة النشأة ، فالموقع الساحلي للفيوردات أشارك البحر في تكوينها ، كما تسهم الأنهار أيضاً في تشكيلها ، لكن لا يطلق على هذه الظاهرة اسم "الفيورد" إلا إذا أشارك الجليد مع هذه العوامل في نشأتها ، فهناك مناطق ساحلية تتصف بوجود الخلجان التي تشبه الفيوردات في مناطق ساحلية كثيرة في العالم، ولكن لا يطلق عليها مصطلح "الفيورد" ما لم توجد آثار فعل الجليد تحت وارسابا، ومن هنا يتبين لنا أهمية هذه الظاهرة بالنسبة لفعل الجليد كعامل نحت ومن هنا أيضاً لا نستطيع أن نعرف الفيورد بأنه ذراع بحري متوغل في أرض ساحلية ، إذ يتميز الفيورد بخصائص تنشأ في معظمها بفعل الجليد، ومن أهم هذه الخصائص مايلي (صورة ٧-١٨) :

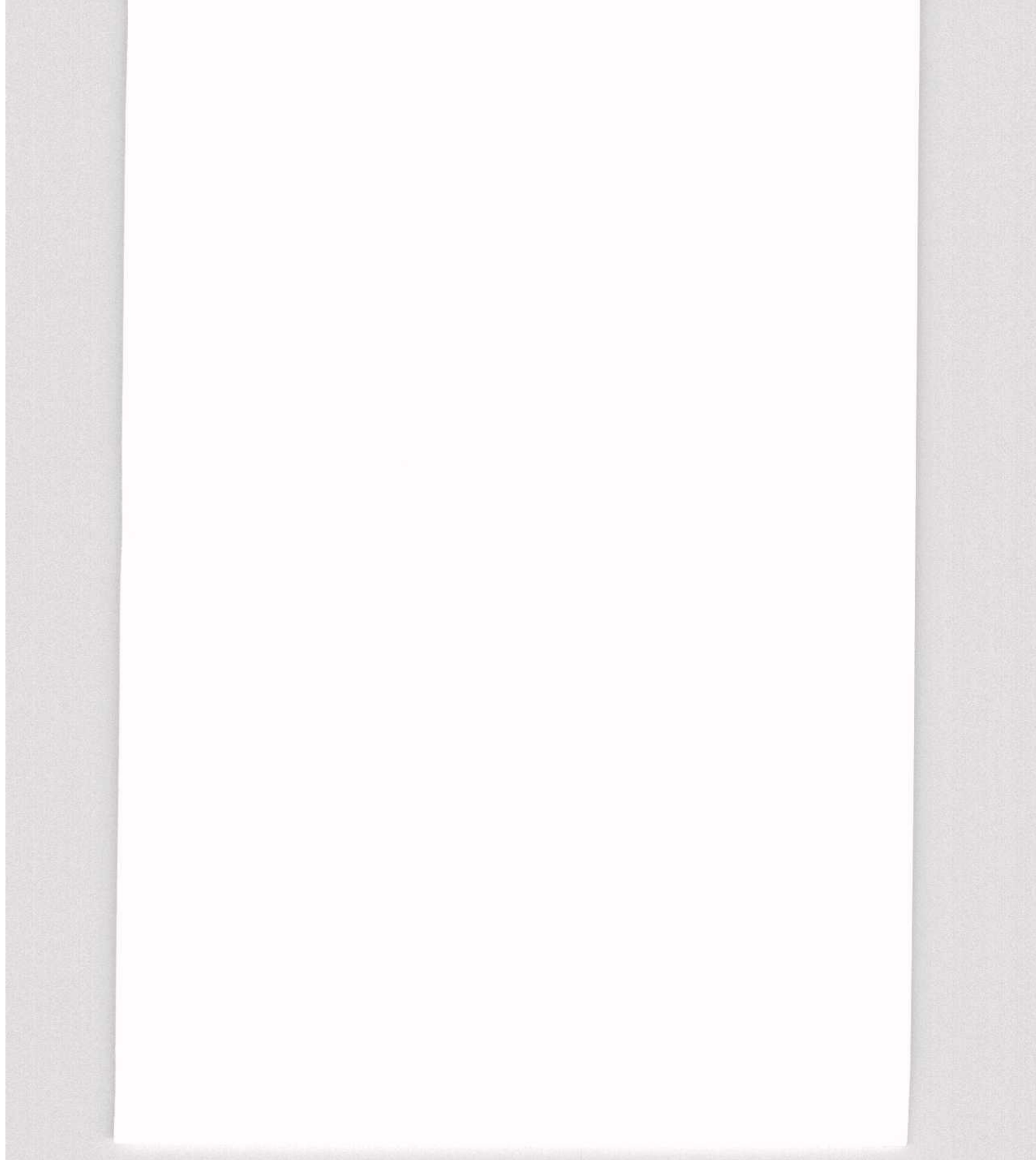
- ١- تظهر جوانب الفيورد شبه قائمة شديدة الانحدار لأنها كانت تشكل أجزاء دنيا من أودية قديمة ، لازالت تبدو عليها آثار الحدوش الجليدية.
- ٢- يتميز الفيورد بعمق قاعه وخاصة عند اجزائه الداخلية نتيجة اصطدام الكتل الجليدية المنفصلة عن الثلاجة بالتالى وخاصة خلال الفترات الباردة من عصر البلايستوسين .
- ٣- يبدو القطاع العرضى للفيورد على شكل حرف U نتيجة احتكاك الجليد المتحرك بجوانبه الحائطية وتقطعه أعداد من الأودية المعلقة المرتفعة المنسوب .
- ٤- ترتبط الفيوردات بالسواحل الغربية للقارات فى نصف الكرة الارضية الشمالى والسواحل الشرقية فى نصفها الجنوبى ، بسبب انصهار الكتل الجليدية وانفصالها عن جسم الثلاجة عند تلامسها بالتيارات البحرية الدفينة المارة أمام سواحلها، ولذلك تنتشر الفيوردات على السواحل الغربية للنرويج وأسكوتلندا وجزيرة جرينلاند وأمريكا الشمالية ، وعلى السواحل الشرقية لنيوزيلندا وأمريكا الجنوبية .
- ٥- تغطى مخارج الفيوردات حواجز أو عتبات مغمورة مكونة من الإرسابات الجليدية التى تعوق عمليات الملاحة البحرية ، ومن هنا تظهر اهمية إطلاق كلمة فيورد لأنها تعنى للملاح خصائص مميزة لهذا اللسان البحرى، فكلمة فيورد تعنى تراكم الواسب الجليدية فى تلك المنطقة.
- ٦- تعد ظاهرة الركامات النهائية End Moraines أخطر ظاهرات الرواسب الجليدية للملاحة البحرية فى الفيوردات ، وهى تبدو على شكل أقواس من الرواسب تحيط بمداخل الفيوردات وتظهر كأرض مغمورة تحت مستوى سطح البحر مرتفعة على قاع الفيورد وتغمرها مياهه، ويدل عدد هذه الأقواس على فترات الاستقرار فى تراجع



الجليد. وهذه الركامات المغمورة تؤدي إلى اختلاف أعماق المياه في مداخل الفيوردات فتكون ضحلة فوق هذه الحواجز الركامية وأكثر عمقا في الأرض التي تفصلها، وهنا تظهر خطورتها على غاطس السفينة، فإذا كان الغاطس أكبر من عمق المياه فوق هذه الحواجز ظهرت هذه الخطورة، وعليه فإن الدراسة الجيومورفولوجية للفيوردات لها أهميتها بالنسبة لملاحة البحرية، على الرغم أن هذه الفيوردات يمكن أن تكون مرافئ طبيعية تنشأ فيها الموانئ، إلا أن قاع الفيورد لا بد من دراسته حتى يمكن عمل ممرات تسلكها السفن بوضع علامات خطر في تلك المناطق التي توجد بها أقواس الركامات النهائية المغمورة.



صورة (٧-١٨) مرئية فضائية لمجموعة فيوردات شمال غرب جزيرة آيسلندا



## ١٢ - برك الغطس الجليدية Shaft Holes :

تعتبر ظاهرة برك الغطس الجليدية من أندر الأشكال الأرضية في المناطق الجليدية ، وهي تتكون بتأثير إندفاع المياه الناتجة عن إنصهار الجليد من القمم الجبلية الشاهقة وإرتطامها بسطح الأرض ، مما يؤدي إلى تكوين حفر دائرية عميقة ، تتراوح أعماقها بين بضعة أمتار وأكثر من ألف متر ، وتصل أقطارها إلى عشرات الأمتار ، تبعا لمدى صلابة سطح الأرض من ناحية وإرتفاع مصدر المياه المندفعة من ناحية أخرى ، وقد ميز المؤلف هذه الظاهرة في جبال الألب السلوفانية ، وخاصة في وادي "Savinja valley" و منطقة جبال "Kanin" Mountains التي توجد بها حفرة يصل عمقها لنحو ١٥٣٠ متر (صورة ٧-١٩) .

صورة (٧-١٩) حفرة يصل عمقها لحوالى ٣٠ متر بقطر يبلغ نحو ١٥ متر ناتجة عن تساقط مياه الجليد المنصهر من أحد الأودية المعلقة على إرتفاع ٤٠ متر من سطح الأرض في منطقة Savinja valley في سلوفيا (مصدر الصورة والبيانات : [www.logarska-dolina.si](http://www.logarska-dolina.si) )



## خامساً : أشكال الإرساب الجليدى:

يتشابه الجليد مع جميع عوامل التعرية المتحركة على سطح الأرض في قدرتها على الحركة ونقل الرواسب ، ولكن مقدرة الجليد على الحمل تتلاشى عند ذوبانه وتحوله من الحالة الصلبة للحالة السائلة فيرسب المواد التي يحملها الجليد في رحلته من منابع الوادى الجليدى لمصبه حينما ترتفع درجة حرارة الجو فيذوب الجليد ويتحول لمياه جارية ، كما تنجح بعض التلاجات في الوصول للسواحل البحرية عند الفيوردات ذات الجروف البحرية الشاهقة ، ومما لا شك فيه أن حركة التلاجة الطرفية تعنى أن الأجزاء الأمامية من جانبي التلاجة (أى في الجزء الأدنى من النهر الجليدى) تحمل من الفتات الصخرى أكثر مما تحمله الأجزاء الجانبية من مؤخرة النهرى

الجليدى، وذلك لأنه على طول المسافة التى قطعها الجليد منذ ان خرج من حقله الجليدى حتى وصله إلى منطقة الثلج الدائم وهو يتسلم فى مقدمته رواسب او فتات صخرى من الأجزاء المكشوفة من جانبي الوادى النهري ، وهناك العديد من الظاهرات الجيومورفولوجية تنتج عن الإرساب الجليدى ، ولكن يمكن تقسيمها إلى مجموعتين تختص الأولى منهما بظاهرات الإرساب التى يقوم بها الجليد المتحرك ، وتتناول المجموعة الثانية ظاهرات الإرساب التى تنشأ عن الماء المنصهر من الجليد :

المجموعة الأولى : ظاهرات الإرساب بالجليد :

#### ١- الركام الجانبي Lateral Moraine :

يتكون الركام الجانبي على السطح الجانبي للجليد المنقول فى الوادى الجليدى، وهو عبارة عن المواد المجواه المتراكمة من حواف الوادى ، حيث تتساقط هذه المواد على هذه المنحدرات قبل أن تستقر على سطح الجليد فيحملها معه نحو المصب ، وقد تنغمس بعض هذه المواد الرسوبية داخل الشقوق المحززة لسطح الجليد ، وتغوص داخل الجليد مع إرتفاع درجة الحرارة حتى تتراكم على سطح الأرض عند ذوبانه وتحوله لماء جارى (صورة ٧-٢٠).





صورة (٧-٢٠) تراكم حصوات مجواه على السطح الجانبي لإحدى ثلاجات محمية Stelvio شمال إيطاليا، وقد تكون هذه الحصوات ركاماً جانبيّاً بعد ذوبان الجليد  
(تصوير المؤلف في أغسطس ٢٠٠٤)

#### ٢- الركام الأوسط Medial Moraine :

يتكون الركام الأوسط عندما يلتحم رافد جليدي مع رافد جليدي آخر، فيلتحم نتيجة لذلك ركامين جانبيين، ليشكلا معاً ركاماً أوسط يحتل النطاق المنصّف للسطح العلوي للثلاجة ، وعدد خطوط الركامات الوسطي يعد دليلاً على عدد الروافد التي إلتحمت أثمارها الجليدية مع بعضها لتكون في النهاية النهر الجليدي الرئيسي .

#### ٣- الركام الأرضي أو ركام القاع Ground Moraine :

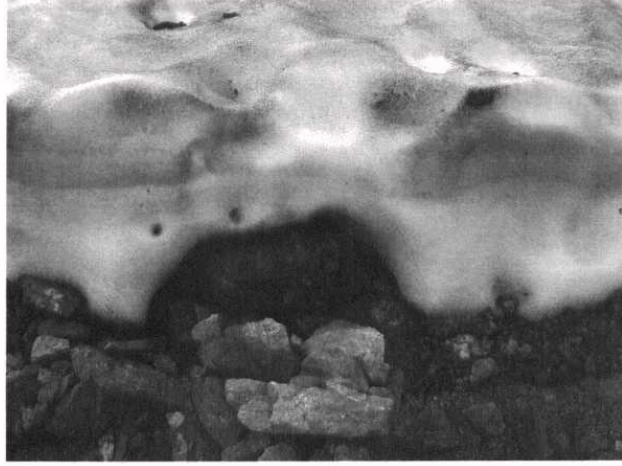
يتكون هذا النوع من الركامات بتأثير إلتصاق الفتات الصخري بقاع جسم الثلاجة أثناء عملية الزحف على سطح الأرض ، ولذلك يطلق عليه أحياناً اسم الركام الملتصق



Lodgement Till ، وقد يتكون هذا الركام أيضاً من المواد التي يتمكن الجليد من إقتلاعها أو كشطها من صخور السطح ، إلى جانب الكتل التي تغوص داخل الجليد وتتمكن من إجتياز سمك الكتلة الجليدية وتصل إلى قاع الثلاجة ، فيقوم بنقلها معه خلال رحلته من المنابع العليا الجبلية وحتى إنصهار الجليد فيرسبه على سطح الأرض على شكل تلال غير مُصنفة وغير طباقية، أى تختلط بها المواد الدقيقة مع الحصوات الخشنة بدون إنتظام أو فرز ، وهو يتكون عادة من خليط غير متجانس من الأحجار والحصى والحصباء والرمال والصلصال . وتتميز المواد التي يتألف منها الركام المنقول لمسافات قصيرة بخشونة مكوناته وزاوية (متعددة الزوايا) ، أما مواد الركامات المنقولة لمسافات طويلة تستدق مكوناتها وتصل وتصبح أكثر استدارة ، وتتناكل زواياها بسبب الاحتكاك بعضها ببعض وبسطح الأرض (صورتا ٧-٢١ و ٧-٢٢).



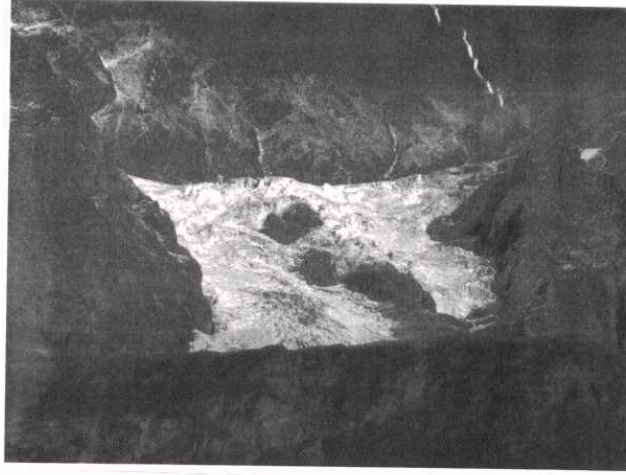
صورة (٧-٢١) مرئية فضائية لأحد الأودية الجليدية تظهر عليه الركامات الجانبية والوسطى



صورة (٧-٢٢) بعض الحصوات الصخرية ملتصقة بأرضية ثلاجة زاحفة في وادي "Schnals" في سلسلة جبال الألب بالقرب من الحدود الإيطالية / السويسرية (تصوير المؤلف في أغسطس ٢٠٠٤)

#### ٤- الركام النهائي والركام الأمامي End & Terminal Moraine :

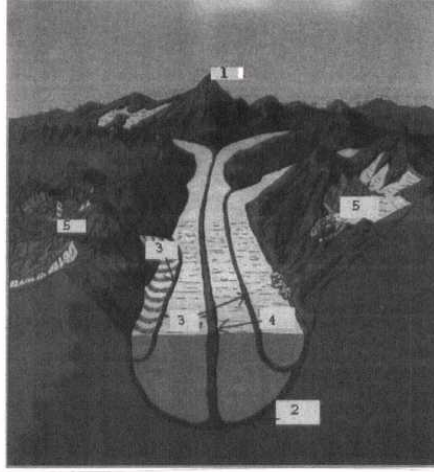
الركامات الأمامية والنهائية عبارة عن تلال هلالية مقوسة الشكل ترتبط بمقدمات الأودية الجليدية ، وهي تتكون حيثما يحدث إستقرار في مقدمة النهر الجليدي ، ومعنى هذا الإستقرار أنه كلما تقدم الجليد أتى بحمولة جديدة إلى هذه المنطقة وترتفع درجة الحرارة لدرجة ينصهر عندها الجليد فيرسب نطاق مقوس من الرسوبيات الغير مصنفة يطلق عليها اسم الركام الأمامي ، ويتكرر تكون سياج من الركامات الأمامية في بداية فصل الصيف ، وتحدد هذه الظاهرة أقصى إمتداد يصله خط الثلج الدائم قبل إنصهار الجليد وإنسيابه على سطح الأرض ، ولذلك فهي تعد مؤشراً مهماً للباحثين لدراسة الدورات المناخية بصورة غير مباشرة ، ولكن إذا جاء فصل الشتاء قارص لبرودة فإن معنى ذلك فإن الأودية الجليدية سوف تكتسح في زحفها مجموعة الركامات الأمامية التي كونتها خلال العام السابق ، وتعيد ترسيب ركامات أخرى ، تمثل أقصى إمتداد لترسيب الثلاجة ، ويطلق على هذا النوع من الركامات اسم الركام النهائي (شكل ٧-٦ وصورتا ٧-٢٣ و ٧-٢٤).



صورة (٢٣-٧) ركام أمامي مدفوع في مقدمة ثلاجة Marmore Valley أحد روافد وادي Aosta على الحدود الإيطالية الفرنسية (تصوير المؤلف في سبتمبر ٢٠٠٣)



صورة (٢٤-٧) مقدمة ثلاجة ثانوية تدفع أمامها بعض الحصوات في وادي "ترافوي Trafoi" بجبال الألب الإيطالية (تصوير المؤلف في أغسطس ٢٠٠٤)



شكل (٦-٧) بعض الأشكال الجيومورفولوجية التي تظهر في الوادى الجليدى

١- قمة هرمية	٢- ركام القاع	٣- ركام جانبي	٤- ركام أوسط	٥- حلبة جليدية
--------------	---------------	---------------	--------------	----------------

#### ٥- التلال الجليدية "الدرومولين" Drumeins:

الدرومولين مصطلح أيرلندى يعبلا عن الشكل المثالى للتلال الجليدية الناشئة ، وتنتشر هذه التلال على طول الأودية الجليدية ، وهى تتألف من الركامات الأرضية أو السفلى ، وهى تمتد فى مجموعات متوازية وموازية لإتجاه حركة الجليد ، وهى عبارة عن تلال بيضاوية الشكل متطاولة المظهر ، يميل سطحها للمظهر القبابى ، وتتراوح إرتفاعاتها بين خمسة إلى عشرة أمتار ، وتتباين أطوالها بين نصف كيلومتر وثلاثة كيلومترات ، أما العرض فيصل إلى حوالى ٢٠٠-٣٠٠ متر فقط . وتنتشر فى وسط أوروبا مجموعات من التلال الجليدية الحفرية أى أنها تكونت خلال الفترات الباردة من عصر البلايستوسين ، وهى تفيد الباحثين فى إعادة رسم الخرائط المناخية القديمة للإقليم وتتبع أقصى إمتداد للزحف الجليدى البلايستوسينى ، وكما تنتشر فى السهل الأوروبى الشمالى فى ألمانيا وبولندا وبلجيكا وسويسرا ، كما تتوزع فى كندا والولايات المتحدة وخاصة غربى ولايتى نيويورك وويسكونسنين .

**المجموعة الثانية : ظاهرات تنشأ عن الإرساب بالمياه المنصهرة :**  
تنشأ هذه المجموعة من الظاهرات بتأثير الإرساب بالمياه المنصهرة ، ولذلك يطلق عليها اسم أشكال رسوبية فيضية / جليدية Fluvio- Glacial Deposition Features ، وتنتشر هذه المجموعة من الأشكال الأرضية على هوامش الجليد، وتتكون مصاحبة لإرتفاع درجة الحرارة الكافية لإنصهار الجليد وأهم هذه الظاهرات ما يلي:

#### ١- الكام ومدرجات الكام Kame & Kame Terraces :

عبارة عن رواسب حصوية تمتد بصورة موازية لإتجاه حركة الجليد أو متقاطعة في بعض الأحيان ، على شكل روابي طولية أو تلال أو مدرجات محدودة الارتفاع وضيقة ، وقد تمتد بصورة متصلة لمسافات كبيرة ، وتتشند درجة إنحدار وجهاتها المشرفة على الجليد لحوالى ٢٠ درجة ، بينما يقل إنحدار سفوحها الأمامية لأقل من عشرة درجات . وتنشأ هذه الظاهرة بتأثير إمتلاء الشقوق الأرضية بالرواسب التي ينقلها الجليد المنصهر ، وقد تبدو على شكل مخروطات رسوبية أو دالات مروحية تجمعت رواسبها المنقولة بالماء المنساب على سطح الأرض ، وهى تتألف من رواسب ناعمة رملية أو صلصالية ، تتجمع داخل الحفر والتتوءات المنتشرة على نطاقات السهول، وتغطى روابي الكام أجزاء واسعة من سهول شمال أوروبا وأمريكا الشمالية (جودة ، ١٩٩٥) .

#### ٢- تلال الاسكر Esker :

مصطلح أيرلندى آخر وهو يعبر عن حواجز Ridges طولية ضيقة تستعرج أو تنثنى على شكل أفاعى منفردة ، أو متفرعة إلى فروع متعددة ، وهى تتألف من تراكم الرواسب الفيضية / الجليدية التى تنقلها المياه المنصهرة عن الجليد ، وتتراكم على السهول المنتشرة في نطاقات هوامش الجليد وعلى



- جوانب الأودية وسفوح منحدراتها الجانبية ، وتنقسم تلال الإسكز إلى أربعة أنواع متباينة في خصائصها المورفولوجية هي (Goudie, 2004):
- (أ) تلال ممتدة سواء بصورة منفردة أو متعددة.
- (ب) قنوات مائية/ جليدية تتراكم داخلها الرواسب المنقولة بالجليد المنصهر عند إرتفاع درجة الحرارة.
- (ج) حواجز رسوبية تملأ الأنفاق والكهوف الأرضية .
- (د) مراوح رسوبية ودالات جليدية .
- وتنتشر تلال الاسكز في سهول أيرلندا وفنلندا وروسيا وبروسيا الشرقية والسويد وألمانيا وأسكتلندا (صورة ٧-٢٥).



صورة (٧-٢٥) مراوح رسوبية ناتجة عن تراكم نواتج إنصهار الجليد على جوانب وادي "شوكا Soca" في سلوفينيا (تصوير المؤلف في أغسطس ٢٠٠٣)

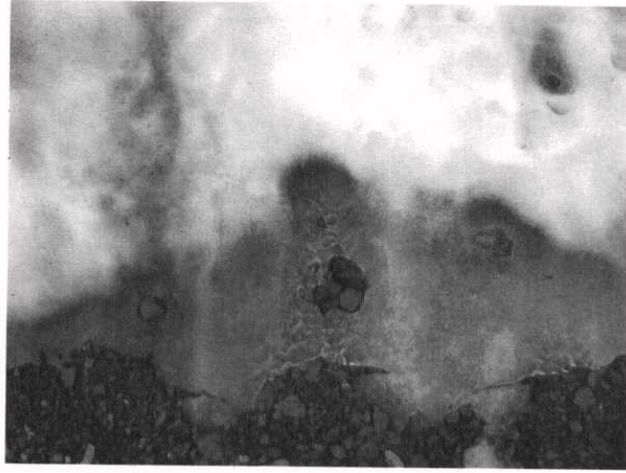
### ٣- سهول الإرساب الرملية (مراوح الغسل الجليدية) - Sander

#### : Outwash Fans (Sandurs)

أصلح مصطلح Sander أيسلندي وهو يعبر عن سهول فسيحة تنتشر في أقاليم هوامش الجليد التي تتجاوز نطاق الركامات النهائية ، وهى مغطاه بالرواسب والمفتتات الحصوية التي نقلها الماء المنصهر وهى تتألف عادة من الرمال والصلصال ، حيث تنساب المياه من الركانات النهائية حاملة معها كميات من الرواسب تتوقف على شدة إنحدار سطح الأرض ومدى تدفق المياه المنصهرة وقدرتها على حمل الفتات ، وهى تنتشر عند مصبات الأودية الجليدية في شمال أوروبا وخاصة أودية سويسرا التي أكتسحها الجليد البلايستوسيني ، وسهول أمريكا الشمالية وأيسلندا (صورتا ٢٦-٧ و ٢٧-٧) .



صورة (٢٦-٧) حصوات وحبيبات تتراكم على مقدمة إحدى ثلاجات جبال الألب الإيطالية نتيجة ذوبان الجليد (تصوير المؤلف في أغسطس ٢٠٠٤)



صورة (٢٧-٧) زيادة نشاط ذوبان الجليد عند المواضع التي تنطمر بها الحصوات المنقولة داخل جسم ثلاجة بالقرب من جبل "متسبيتز Mutspitze" على منسوب ٢١٦٠ متر بمنطقة "دروف تيرول Drof Tirol" بجبال الألب الإيطالية (تصوير المؤلف في أغسطس ٢٠٠٤)

#### ٤- برك وبحيرات الجليد Glacial lakes:

تتجمع بقايا المياه الناتجة عن إنصهار الجليد في الحفر والمقعرات الصخرية في مناطق السهول الساحلية المنتشرة على هوامش الجليد، ولكنها سرعان ما تجف نتيجة تسرب المياه تحت سطح الأرض، أو يعاد تجملدها مرة أخرى وفقاً لدرجة حرارة الجو، وعادة ما تترسب على قيعان هذه البرك المواد الرسوبية الدقيقة التي تنجح في الوصول مع المياه المنسابة على السطح ولا تترسب ضمن مكونات تلال الإسكرومدرجات الكمام أو سهول الغسل الجليدي، وتنتشر في شمال أوروبا وخاصة في سهول فنلندا آلاف من البحيرات والبرك المتبقية عن عصر البلايستوسين، وتتباين أشكالها من البحيرات الطولية أو الدائرية أو البضاوية، حيث تملأ المياه الحفر والتوءات المحفرة بتأثير إحتكاك الجليد البلايستوسيني أثناء اجتيازه هذه الأصقاع الأوربية (صورة ٢٩-٧).





صورة (٧-٢٨) بركة ناتجة عن تجمع المياه المنصهرة عند إلتقاء إحدى الروافد المعلقة بالجهرى الرئيسى لودى "ترافوى Trafoi" فى نطاق جبال الألب الإيطالية (تصوير المؤلف فى أغسطس ٢٠٠٤)

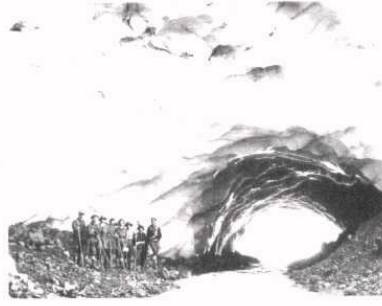
#### ٥- الكهوف والجسور الجليدية Glacial Caves & Bridges :

- تعد الكهوف والجسور الجليدية من الأشكال النادرة والبديعة الشكال فى مناطق التعرية الجليدية ، وهى عبارة عن تجاويف تنشأ داخل كتل الجليد نتيجة إنصهاره التدريجى داخل الجليد لأحد الأسباب الآتية :
- (أ) تدفق أحد المجارى المائية ذات الحرارة المرتفعة .
  - (ب) إنسياب ينبوع حار أو مدخنة وتدفعه من جوف الأرض مما يساعد على سرعة إنصهار الجليد الداخلى .
  - (ج) إرتفاع حرارة سطح الأرض الناتج عن نشاط تكتونى جوفى بسبب إقتراب خزان جوفى للصهير Magma .



صورة (٧-٣٠) جسر جليدي ضمن مجموعة  
كهوف جليدية في منطقة Big Four Ice  
Everett, Washington بإقليم Caves  
بالولايات المتحدة

(المصدر : [www.glaciercaves.com](http://www.glaciercaves.com))



صورة (٧-٢٩) كهف Paradise الجليدي في  
منطقة Mount Rainier في نيوزيلندا

(المصدر : [www.glaciercaves.com](http://www.glaciercaves.com))

وتنتشر العديد من الكهوف الجليدية في جبال الألب سواء في  
سويسرا وإيطاليا وفرنسا ، وولاية واشنطن الأمريكية ونيوزيلندا وكندا،  
وقد أتاحت للمؤلف فرصة زيارة أحد هذه الكهوف في وادي "سشنالز  
Schnals" في سلسلة جبال الألب بالقرب من الحدود الإيطالية /  
السويسرية ، حيث يمتد هذا الكهف أفقياً تحت سطح الأرض لمسافة  
٥٠٠ متر بعرض يبلغ حوالى ١٠ - ١٥ متر وإرتفاعه يتراوح بين ٢-  
٣ أمتار خلال فصل الصيف من كل عام ، ولكن يختلف طوله وإرتفاعه  
حسب متوسط درجة حرارة الجو خلال فصل الصيف ، يتكون هذا  
الكهف بسبب إنسياب ينوع حار من جوف الأرض ، يساعد على  
إنصهار بعض أجزاء من الجليد الجوفي مكوناً كهف أحادى المدخل على  
منسوب حوالى ٣٤٢٠ متر ، و تتدلى من سقف الكهف أعمدة من  
الثلج الشفاف تتراوح أطوالها بين بضعة سنتيمترات وحوالى المتر الكامل،  
وهي تشبه الأعمدة النازلة من أسقف كهوف الكارست ، كما تتكون

على أرضية الكهف بركة طويلة تتجمع فيها المياه الناتجة عن إنصهار الجليد (صورتا ٧-٢٩ و ٧-٣٠)<sup>١</sup>.

#### **سادساً : تأثير التغيرات المناخية على الظواهر الجليدية :**

انعكست الظروف الجليدية التي طرأت على أجزاء العالم اثناء فترة البليستوسين بآثارها نتيجة تغير الظروف المناخية التي كانت سائدة بها ونتيجة التذبذب في منسوب مستوى القاعدة، ولقد أثر ذلك على عوامل التعرية الاخرى مثل التعرية النهرية والساحلية وكل أنواع التعرية في مناطق الكارست، وتكررت فترات أو أطوار التغيرات المناخية عدة مرات خلال عصر البلايستوسين، فهناك فترات جليدية متتابة ومتعاقبة مع فترات أخرى غير جليدية . وهذا بطبيعة الحال يعكس آثار عوامل تعرية مختلفة . بمعنى ان سطح اى منطقة قد تعاقبت فوقه ظروف جيومورفولوجية تعاقبا رأسيا اثناء فترة البليستوسين ، بمعنى أن المظهر الجيومورفولوجي اختلف في نفس المكان خلال تلك الفترات ، أى ان هناك مظهراً جيومورفولوجياً ناتج عن أحد عوامل التعرية منطبعاً فوق مظهر جيومورفولوجي لعامل تعرية اخر، كما يجب ان نشير هنا ايضا أن الكثير من الظواهر الجيومورفولوجية على سطح الارض في الوقت الحاضر يدين بوجوده للظروف المناخية في فترة البليستوسين.

<sup>١</sup> راجع الموقع التالى في شبة إنترنت : [www.glaciercaves.com](http://www.glaciercaves.com)

قائمة المراجع :

أولاً : مراجع باللغة العربية:

١. جودة حسنين جودة ، ١٩٩٦: الجيومورفولوجيا ، دار المعرفة الجامعية ، الإسكندرية، ٦٨٣ ص.
٢. ----- ، ١٩٩٧: معالم سطح الأرض ، الطبعة الخامسة ، دار المعرفة الجامعية ، الإسكندرية، ٦٢٨ ص.
٣. جودة فتحي التركمان ، ٢٠٠٣: أشكال السطح - دراسة في أصول الجيومورفولوجيا ، دار الثقافة العربية ، القاهرة، ٣٣٦ ص.
٤. حسن سيد احمد أبو العينين ، ١٩٩٥: أصول الجيومورفولوجيا، الطبعة الحادية عشرة ، مؤسسة الثقافة الجامعية ، الإسكندرية، ٧٧٠ ص.
٥. ----- ، ١٩٩٨: الجغرافية الطبيعية ، مؤسسة الثقافة الجامعية ، الإسكندرية، ٥٨٤ ص.
٦. محمد صبرى محسوب ، ١٩٩٨: جيومورفولوجية الأشكال الأرضية ، دار الفكر العربى، القاهرة، ٤٨٤ ص.

ثانياً : مراجع بلغات أجنبية:

- 1- Bates, R., and Jackson, J., eds., *Dictionary of Geological terms*. New York: Doubleday. 1984. 571.
- 2- Benn DI, and Evans, DJA. *Glaciers and glaciation*. London: Arnold. 1998. 734 p.
- 3- Berry, W.B.N., and Boucot, A.J., 1973, Glacio-eustatic control of Late Ordovician-Early Silurian platform sedimentation and faunal changes: *Geological Society of American Bulletin*, v. 84, p. 275-284

- 4- Drewry, D., 1986, *Glacial geologic processes*: London, Edward Arnold, 276 p.
- 5- Embleton, C., and King, C.A.M., 1975, *Glacial and periglacial geomorphology*: New York, Wiley, (2 volumes).
- 6- Gunay, Gultekin, Johnson, A. Ivan, *Karst Waters Environmental Impacts*, Rotterdam, A.A. Balkema, 1997.
- 7- Goudie, A.S.(Edit.), 2004, *Encyclopedia of Geomorphology*, International Association of Geomorphology, New York, 1156p.
- 8- James, N.P., Choquette, P.W., *Paleokarst*, New York, Springer-Verlag, 1987.
- 9- Martin, Lawrence. 1965. *The physical geography of Wisconsin*. Madison, Wisconsin: University of Wisconsin Press. 608 p.
- 10- Martini IP, Brookfield ME, and Sadura S. *Principles of glacial geomorphology and geology*. Upper Saddle River, NJ: Prentice Hall. 2001. 381 p.
- 11- Paull RK, and Paull RA. *Geologic Field guides*: Devils Lake region, Door County, Kettle Moraine country, and zinc-lead district of Wisconsin. (Dept. of Geosciences, Univ. of Wisconsin--Milwaukee), Edina Minnesota: Burgess Int'l Group. 1988. 167 p.
- 12- Schneider AF. Road log, day 1. *In Pleistocene geomorphology and stratigraphy of the Door peninsula*, Wisconsin. 1993. Midwest Friends of the Pleistocene 40th annual meeting. May 21-23, 1993. Allan F. Schneider (Ed.) Sponsored by College of Science and Technology, University of Wisconsin--Parkside, Kenosha, Wisconsin. 117-138.
- 13- Sheehan, P.E. *The relation of Late Ordovician glaciation to the Ordovician-Silurian changeover in North American brachiopod faunas*: Lethaia, v. 6, p 147-155.

- 14-Smith, William B., *Geomorphology and Hydrology of Karst Terrains*, New York, Oxford University Press, 1988.
- 15-Summerfield MA. *Global geomorphology: an introduction to the study of landforms*. Essex, England: Addison Wesley Longman Limited. 1991 537 p.



الفهارس  
أولاً: فهرس الموضوعات

الصفحة	الموضوع
	<b>الفصل الأول : أشكال التجوية</b> <b>وحركة المواد على المنحدرات</b>
٩	أولاً: عمليات التجوية:
٩	(أ) التجوية الميكانيكية ( الطبيعية ) .
٢٥	(ب) التجوية الكيميائية .
٤٣	(ج) الأشكال المتبقية عن عمليات التجوية.
٤٤	ثانياً : حركة المواد على المنحدرات بتأثير الجاذبية الأرضية :
٤٤	(أ) أنواع المنحدرات.
٤٧	(ب) حركة المواد على سفوح المنحدرات.
٥٢	(ج) أشكال حركة المواد على المنحدرات.
٦٦	(د) تطور المنحدرات.
	<b>الفصل الثاني : الأشكال الجوفية (التكتونية)</b>
٧٧	أولاً : أشكال الطبقات الصخرية الأفقية.
٨٣	ثانياً : أشكال الطبقات الصخرية المائلة .
٨٧	ثالثاً: الأشكال الإلتوائية .
٨٩	رابعاً : الأشكال الإنكسارية ( الصدعية ) .
٩٤	خامساً : الأشكال البركانية .
	<b>الفصل الثالث : أشكال فيضية (هجرية)</b>
١٤١	أولاً : الأنهار ، مصادرها، عناصرها ، ودورها في تشكيل سطح الأرض.
١٤٨	ثانياً: الودى النهري :



١٤٨	(أ) تعريف الوادى .
١٤٩	(ب) المقطع العرضى للوادى
١٥٥	(ج) الظواهرات التى تظهر على المقطع العرضى للوادى.
١٥٦	(د) خصائص الوادى النهري.
١٦٠	ثالثاً : الجرى النهري :
١٦٠	(أ) تعريف الجرى النهري.
١٦٠	(ب) المقطع الطولى للمجرى .
١٦٢	(ج) الحمولة النهريه.
١٦٣	(د) العوامل المؤثرة فى سرعة الجريان.
١٦٥	رابعاً : أنماط التصريف المائى
١٧٠	خامساً : الدورة الجيومورفولوجية للوادى النهري المثالى.
٢٠٠	سادساً : الإرساب الحوضى فى الأقاليم شبه الجافة .
٢٠٦	سابعاً : تأثير تغير منسوب مستوى القاعدة على النظم النهريه.
٢١٢	ثامناً : تأثير التراكييب البنوية على نظم التصريف النهري.
٢١٦	تاسعاً : تأثير ميل الطبقات الصخرية على نظم التصريف.
٢١٧	عاشراً : الأسر (القرصنة) النهري
	<b>الفصل الرابع : أشكال السواحل</b>
٢٢٧	أولاً: العوامل المؤثرة فى تشكيل السواحل.
٢٣٠	ثانياً: أنماط السواحل :
٢٣٠	النمط الأول : السواحل القارية المنشأة .
٢٥١	النمط الثانى : السواحل البحرية المنشأة.
٢٩٤	النمط الثالث : سواحل النشاط العضوى.
	<b>الفصل الخامس : أشكال الرياح</b>
٣١٣	أولاً : العوامل المؤثرة فى نشاط الفعل التحاتى للرياح فى الصحارى.

٣١٦	ثانياً : عمليات النحت بالرياح .
٣١٨	ثالثاً : أشكال النحت بالرياح .
٣٣٠	رابعاً : فعل الرياح كعامل إرساب .
٣٣٥	خامساً : أشكال الإرساب بالرياح .
	<b>الفصل السادس : أشكال الكارست</b>
٣٥٧	أولاً: أصل الكارست .
٣٥٨	ثانياً: العوامل المؤثرة في تكوين الكارست.
٣٦١	ثالثاً: أنماط الكارست .
٣٦٢	رابعاً : أهم الظواهر الجيومورفولوجية الناتجة عن فعل الكارست:
٣٦٢	١ - أشكال الكارست السطحية.
٣٨٥	٢ - أشكال الكارست الجوفية .
٤٠٠	خامساً: التصريف المائي في مناطق الكارست .
٤٠٠	سادساً : تصنيف أشكال الكارست.
٤٠١	سابعاً: التوزيع الجغرافي لأهم مناطق الكارست في العالم.
٤٠٥	ثامناً : الدورة الجيومورفولوجية الكارستية
	<b>الفصل السابع : أشكال جليدية</b>
٤٢٠	أولاً: مظاهر الجليد .
٤٢٣	ثانياً : دور الجليد في تشكيل سطح الأرض .
٤٢٥	ثالثاً: تكوين الودى الجليدى .
٤٣٢	رابعاً: أشكال النحت الجليدى.
٤٥٣	خامساً: أشكال الإرساب الجليدى.
٤٦٦	سادساً : تأثير التغيرات المناخية على الظواهر الجليدية .

فهرس الأشكال

رقم الصفحة	عنوان الشكل	رقم الشكل	مسلسل
١٥	ملاحظ المظهر العمدان	١-١	١
١٦	تأثير نظم الفواصل المتعامدة على تكوين المظهر العمدان	٢-١	٢
١٧	قبة صخرية تعرض سطحها الخارجى لفعل التقشر	٣-١	٣
٢٣	التجوية الميكانيكية بجذور الأشجار	٤-١	٤
٢٨	دور القشرة الجيرية المتصلبة فى حماية سطح الأرض من التآكل والتحت بعوامل التعرية	٥-١	٥
٣١	مراحل تكوين التجوية البضاوية بسبب تسرب المياه عبر الشقوق والفواصل المتعامدة	٦-١	٦
٤٤	مراحل إنخفاض مستوى سطح الأرض بتأثير إزالة المواد الجواه بعوامل التعرية	٧-١	٧
٤٦	أنواع المنحدرات	٨-١	٨
٤٩	تأثير درجة إنحدار سطح الأرض على حركة المواد على المنحدرات	٩-١	٩
٤٩	تأثير غمط تقوس سطح الأرض على حركة المواد على المنحدرات	١٠-١	١٠
٥٠	تأثير نوع الصخر على حركة المواد على المنحدرات	١١-١	١١
٥٠	تأثير إتجاه ميل الطبقات على سرعة تحرك المواد على المنحدرات	١٢-١	١٢
٥٠	تأثير درجة وعسورة المنحدر على سرعة تحرك المواد على المنحدرات	١٣-١	١٣
٥١	تأثير إختلاف درجة إنحدار سطح الأرض على سرعة تحرك المواد على المنحدرات	١٤-١	١٤

١٥	١٥-١	تأثير نوع الغطاء النباتي على سرعة تحرك المواد على المنحدرات	٥١
١٦	١٦-١	تأثير درجة كروية الكتلة المتحركة على سرعة تحرك المواد على المنحدرات	٥١
١٧	١٧-١	ملاصيح زحف التربة	٥٤
١٨	١٨-١	ملاصيح زحف الصخور	٥٥
١٩	١٩-١	ملاصيح التدفق (الإنسياب) الأرضي	٥٥
٢٠	٢٠-١	الحواسز المترلفة القديمة والحديثة	٥٦
٢١	٢١-١	مراحل الإنزلاق الأرضي	٥٦
٢٢	٢٢-١	مجسم يوضح تساقط صخرى في حافة أفقية الطبقات متأثرة بالتقويض بالماء الباطني	٥٩
٢٣	٢٣-١	ملاصيح الطبوط الأرضي	٦٣
٢٤	٢٤-١	عناصر أو أجزاء المنحدر	٦٤
٢٥	٢٥-١	تراجع حافة صخرية وتحولها لحافة مقعرة التقوس	٦٦
٢٦	٢٦-١	مراحل تراجع الجروف الرأسية	٦٧
٢٧	٢٧-١	تراجع متوازي لحافة صخرية	٦٨
٢٨	١-٢	بعض الظواهر المتكونة عن نحت الطبقات الأفقية	٨٠
٢٩	٢-٢	عش غراب متكون في طبقات الحجر الرملي الأفقية	٨٠
٣٠	٣-٢	مجسم لعناصر حافة ظهر ميمون	٨٥
٣١	٤-٢	أنماط البراكين وبعض الأشكال المصاحبة لإنشاق البركان	٩٥
٣٢	٥-٢	الملاصيح الجيومورفولوجية لجزيرة "فولكانو"	١٠٦
٣٣	٦-٢	أعمدة من الحمم البازلتية	١١٢
٣٤	٧-٢	خصائص جسور الحمم الطبيعية	١١٦
٣٥	١-٣	بعض طرق تغذية الأنهار بالمياه	١٤٢

١٤٣	خط تقسيم مياه يفصل بين حوضين	٢-٣	٣٦
١٤٣	أبعاد المجرى النهري	٣-٣	٣٧
١٤٤	أنماط المجارى المائية	٤-٣	٣٨
١٤٤	تسرب المياه سطحياً وباطنياً نحو المجارى المائية	٥-٣	٣٩
١٤٥	بعض أجزاء النظام النهري	٦-٣	٤٠
١٤٥	شبكة تصريف المياه	٧-٣	٤١
١٤٦	عناصر النظام النهري	٨-٣	٤٢
١٥٠	بعض أشكال المقاطع العرضية للأودية	٩-٣	٤٣
١٥٣	مراحل تكوين المقطع الطولي المتوازن	١٠-٣	٤٤
١٥٥	مجسم لمعاودة التعميق الرأسى لنهر في مرحلة الشباب إنخفض مستوى قاعدته	١١-٣	٤٥
١٥٨	تكوين بحيرة نهرية تعتبر كمستوى قاعدة محلى للروافد التى تعلوها	١٢-٣	٤٦
١٦١	تطور المقطع الطولى للمجرى	١٣-٣	٤٧
١٦٤	تأثير إحتكاك الحمولة النهرية بالقناة المائية على سرعة الجريان	١٤-٣	٤٨
١٦٥	بعض أنماط شبكات التصريف النهري	١٥-٣	٤٩
١٦٦	التصريف الشجرى	١٦-٣	٥٠
١٦٩	مراحل تشكيل التصريف المقلقل	١٧-٣	٥١
١٧١	مراحل الدورة الجيومورفولوجية	١٨-٣	٥٢
١٧٣	خصائص النهر في بداية تشكيل واديه	١٩-٣	٥٣
١٧٤	خصائص النهر في مرحلة الشباب	٢٠-٣	٥٤
١٧٥	خصائص النهر في مرحلة النضج	٢١-٣	٥٥
١٧٦	خصائص النهر في مرحلة النضج المتأخر	٢٢-٣	٥٦

١٧٨	خصائص النهر في مرحلة الشيخوخة	٢٣-٣	٥٧
١٧٨	خصائص النهر في نهاية مرحلة الشيخوخة	٢٤-٣	٥٨
١٨٧	بعض أنماط نقاط تجديد شباب النهر	٢٥-٣	٥٩
١٨٨	بعض الأشكال النهرية الرسوبية	٢٦-٣	٦٠
١٨٩	رواسب السهل الفيضي	٢٧-٣	٦١
١٩٠	عناصر مُعطف الشيخوخة	٢٨-٣	٦٢
١٩٣	النظور الجيومورفولوجي لمُعطفات نهر المسيسيبي	٢٩-٣	٦٣
١٩٤	مراحل تكوين البحيرات المُتقطعة	٣٠-٣	٦٤
١٩٤	إنفصال البحيرات المُتقطعة عن مُعطفات الشيخوخة	٣١-٣	٦٥
١٩٦	تركيب الدلتا	٣٢-٣	٦٦
١٩٦	تكوين الدلتا بتراكم الرواسب الفيضية على قاع البحر	٣٣-٣	٦٧
١٩٩	الجزور الطبيعية وإطماء القاع	٣٤-٣	٦٨
٢٠٢	الملاصق الجيومورفولوجية لمروحة فيضية	٣٥-٣	٦٩
٢٠٤	علاقة البلايا بأشكال الترسيب الحوضي الأخرى	٣٦-٣	٧٠
٢٠٧	الظواهرات الجيومورفولوجية الناتجة عن إنخفاض مستوى القاعدة	٣٧-٣	٧١
٢١٠	مراحل تكوين المدرجات النهرية المزدوجة	٣٨-٣	٧٢
٢١٣	مجرى نهرى إنكسارى النشأة	٣٩-٣	٧٣
٢١٥	بعض حالات النضال النهرى	٤٠-٣	٧٤
٢١٩	أدلة حدوث عملية الأسر النهرى	٤١-٣	٧٥
٢١٩	مراحل الأسر النهرى	٤٢-٣	٧٦
٢٢٧	تأثير شكل خط الساحل ومدى تعرجه على تجديد عمليات التعرية السائدة	١-٤	٧٧

٢٢٨	تأثير درجة إنحدار المنطقة الساحلية على تحديد نوع العمليات السائدة	٢-٤	٧٨
٢٢٩	تأثير عمق المنطقة الساحلية على سهولة دوران الأنواع	٣-٤	٧٩
٢٣٩	مراحل إعادة تشكيل الرواسب البحرية القديمة بالرياح الحالية	٤-٤	٨٠
٢٤٣	كتبان ساحلية متحجرة (حفريّة) قديمة	٥-٤	٨١
٢٤٤	تأثير تراجع خط الساحل على تكوين مجموعة من الكتبان الساحلية الموازية لخط الساحل المنخفض	٦-٤	٨٢
٢٤٥	مجموعة كتبان ساحلية متوازية تكونت على شكل حواجز بحرية ثم تراجع عنها خط الساحل	٧-٤	٨٣
٢٥٢	تأثير النحت بالأمواج	٨-٤	٨٤
٢٧٧	المظاهر الجيومورفولوجية المرتبطة بخطاف بحري حصوى	٩-٤	٨٥
٢٧٩	تكوين القرون أو الضروس البحرية	١٠-٤	٨٦
٢٨٠	تومبولو مزدوج الألسنة تكون بإعادة الترسيب البحري للرواسب الفيضية	١١-٤	٨٧
٢٨١	تومبولو مزدوج الألسنة بدأ في تشكيل لسان ثالث	١٢-٤	٨٨
٢٩٩	مقطع عرضي في جزيرة "Nauru" المرجانية الواقعة في المحيط الهادى	١٣-٤	٨٩
٢٩٩	مورفولوجية جزيرة "مايوت Mayotte" المرجانية بالجزء الغربى من المحيط الهندى	١٤-٤	٩٠
٣٠٠	بعض أنواع الجزر المرجانية الحلقية	١٥-٤	٩١
٣٤٢	تقدم الكُتيب عن طريق دفع حبيبات الرمل على ظهر الكُتيب من مؤخرته نحو مقدمته	١-٥	٩٢
٣٤٢	تحرك الكُتيب الهلالي بتقدم قرنيه للأمام	٢-٥	٩٣

٩٤	٣-٥	تحول الكتيب الهلالى إلى كتيب طولى بسبب هبوب رياح ثانوية متعامدة على إتجاه الكتيب الأصلي	٣٤٤
٩٥	٤-٥	مراحل تحول كتيب مستعرض إلى كتيب نجمى	٣٤٧
٩٦	٥-٥	بعض أنواع الكتيان الرملية	٣٤٨
٩٧	٦-٥	إتجاه حركة الغطاءات الرملية بفعل الرياح في شبه الجزيرة العربية	٣٤٩
٩٨	١-٦	التوزيع الجغرافى للصخور الكربونية في العالم	٣٥٨
٩٩	٢-٦	بعض حالات تسرب المياه من خلال التكوينات الجيرية	٣٥٩
١٠٠	٣-٦	مجسم لبالوعة Dol Risnik في سلوفنيا	٣٦٣
١٠١	٤-٦	مقطعان عرضيان في بالوعتي إذابة	٣٦٣
١٠٢	٥-٦	مراحل تكوين بالوعة الإذابة	٣٦٥
١٠٣	٦-٦	بعض أنواع بالوعات الإذابة	٣٦٦
١٠٤	٧-٦	مراحل تكوين بالوعة الإذابة الفيضية	٣٦٩
١٠٥	٨-٦	أنواع بالوعات الإذابة	٣٧٠
١٠٦	٩-٦	ملامح التشرشر الجيرى	٣٧١
١٠٧	١٠-٦	مقاطع عرضية في الأسطح الجيرية المضرسة	٣٧٣
١٠٨	١١-٦	مقطع في أبراج الكارست في منطقة وادى كنتا - غرب ماليزيا	٣٨٣
١٠٩	١٢-٦	بعض الأشكال الجيومورفولوجية المرتبطة بالأهوار المفقودة	٣٨٤
١١٠	١٣-٦	أشكال الكارست في منطقة Dalse - Yorkshire في بريطانيا	٣٨٤
١١١	١٤-٦	أجزاء كهف كارستي	٣٨٦
١١٢	١٥-٦	بعض أشكال الكارست الجوفية	٣٨٦
١١٣	١٦-٦	تكوين الكهوف المتعددة المستويات نتيجة إنخفاض مستوى الماء الباطنى	٣٩٠



١١٤	١٧-٦	تأثير نظم بنية الطبقات على إمتداد ممرات كهوف الكارست	٣٩٢
١١٥	١٨-٦	تأثير نظم الشقوق والفواصل على تحديد أشكال مداخل الكهوف	٣٩٣
١١٦	١٩-٦	مراحل إختيار سقف أحد كهوف سلوفنيا	٣٩٤
١١٧	٢٠-٦	مراحل تحول كهف إلى بالوعة أنهارية	٣٩٩
١١٨	٢١-٦	التوزيع الجغرافي لأهم كهوف الكارست الحفرية القديمة	٤٠٣
١١٩	٢٢-٦	التوزيع الجغرافي لمناطق الكارست في العالم	٤٠٤
١٢٠	٢٣-٦	مراحل الدورة الجيومورفولوجية لكهوف الكارست	٤٠٧
١٢١	١-٧	عناصر الوادي الجليدي	٤٢٤
١٢٢	٢-٧	بعض الأشكال الجيومورفولوجية المرتبطة بالحلبة الجليدية	٤٣٦
١٢٣	٣-٧	تكوين القمة الهرمية	٤٣٨
١٢٤	٤-٧	تكوين عتبات صخرية تعترض وادي جليدي	٤٤٣
١٢٥	٥-٧	مقطع طولى مجسم يوضح الخصائص المورفولوجية لظهور الخراف	٤٤٤
١٢٦	٦-٧	بعض الأشكال الجيومورفولوجية التي تظهر في الوادي الجليدي	٤٥٩

فهرس الصور

مسلسل	رقم الصورة	عنوان الصورة	الصفحة
١	١-١	تقشر كتلة من الجرانيت بوادي خداع	١١
٢	٢-١	كتلة كروية من الصوان متأثرة بفعل التقشر	١٣
٣	٣-١	تقشر الصخور المتحولة بالقرب من قرية "مسافى" بالإمارات	١٣
٤	٤-١	قبة ناتجة عن فعل التقشر	١٥
٥	٥-١	تأثير الشقوق الرأسية على تكوين المظهر العملاق في الأحجار الرملية	١٥
٦	٦-١	أعمدة رأسية بعد تأثرها بالتجويع الميكانيكية	١٨
٧	٧-١	تفلق كتلة صخرية بالقرب من بلدة "دبا" بالإمارات	١٩
٨	٨-١	تفلق كتلة من الصوان في منطقة "مسافى" بالإمارات	١٩
٩	٩-١	تفكك كتلي في الحجر الرملي	٢١
١٠	١٠-١	تقصد حبيبات الأركوز وتبعثرها على سطح الأرض الناتج عن تقشر صخور الجرانيت	٢١
١١	١١-١	تجويع ملحبة على هوامش حفرة إذابة تتجمع بها مياه البحر الأحمر بمنطقة رأس بناس	٢٢
١٢	١٢-١	تجويع الصقيع وتأثيرها في توسيع الفواصل الرأسية	٢٣
١٣	١٣-١	تجويع ميكانيكية بالضغط الناتج عن نمو جذور شجرة داخل فاصل أفقي	٢٤
١٤	١٤-١	مجموعة روابي قام ببناءها النمل الأبيض في منطقة "صلالة" بسلطنة عُمان	٢٤
١٥	١٥-١	التركيب الداخلي لإحدى روابي النمل الأبيض في منطقة "صلالة" بسلطنة عُمان	٢٥

٢٦	١٦-١	١٦	تأثير مياه الأمطار على إذابة الأحجار الجيرية بجبل لبنان
٢٩	١٧-١	١٧	بداية تأثير التجوية الكروية المتمثلة في توسيع نظم الفواصل
٣٠	١٨-١	١٨	تجوية بيضاوية في الأحجار الرملية
٣٣	١٩-١	١٩	فجوة نافون ضخمة متكونة في الأحجار الرملية
٣٣	٢٠-١	٢٠	تكهفات النافون في الأحجار الرملية
٣٤	٢١-١	٢١	تجوية خلايا النحل على حرف من الأحجار الرملية
٣٥	٢٢-١	٢٢	ثقب وحفر دائرية متكونة في الأحجار الجيرية
٣٥	٢٣-١	٢٣	تجوية عضوية على طول نظم الفواصل الرأسية في منطقة Rakov Skocjan بسلوفينيا
٣٦	٢٤-١	٢٤	حفر إذابة دائرية في الأحجار الجيرية على ساحل جنوب مدينة بيروت
٣٧	٢٥-١	٢٥	قناة دائرية المقطع على شكل حرف أوميغا مقلوب ناتجة عن فعل إذابة الأحجار الجيرية
٣٧	٢٦-١	٢٦	حفر إذابة طويلة في الأحجار الجيرية قرب ساحل بيروت
٣٩	٢٧-١	٢٧	فجوة ناتجة عن إذابة الأحجار الجيرية في المرتفعات الغربية بسوريا
٣٩	٢٨-١	٢٨	ثقب إذابة في الأحجار الجيرية بمنطقة صلالة في سلطنة عُمان
٤١	٢٩-١	٢٩	نفق رأسي صغير أو ثقب إذابة متعمق في الأحجار الجيرية بمنطقة "صلالة" في سلطنة عُمان
٤١	٣٠-١	٣٠	حفرة إذابة بيضاوية الشكل متكونة في الأحجار الجيرية بمنطقة "صلالة" في سلطنة عُمان
٥٤	٣١-١	٣١	إنكشاف جذور إحدى الأشجار نتيجة زحف التربة
٥٧	٣٢-١	٣٢	إنزلاق أرضي في وادي Likhu Khola في الهند
٦١	٣٣-١	٣٣	إنزلاق أرضي قرب بلدة "آزرو" بجبال أطس الوسطى في المغرب

٦١	إنزلاق أرضى فى وادى "باسبا Baspa" بجبال الهيمالايا بشمال الهند	٣٤-١	٣٤
٧٩	قاعدة تمثال فى طبقات الأحجار الرملية الأفقية المتباينة الصلابة	١-٢	٣٥
٧٩	تل شاهد يبرز وسط السبخات الساحلية بالقرب من ساحل الخليج العربى بدولة الإمارات	٢-٢	٣٦
٨١	أهرامات صخرية فى منطقة "واليز Wallis" السويسرية	٣-٢	٣٧
٨١	أحد أعمدة الدمازيل	٤-٢	٣٨
٨١	أعمدة صخرية فى منطقة "دروف تيرول Drof Tirol" بجبال الألب الإيطالية شمال مدينة "مورانو Morano" بحوالى ٥ كم	٥-٢	٣٩
٨٤	حافة ظهر ميمون إلتوائية النشأة فى "جبال الحجر" بسلطنة عمان	٦-٢	٤٠
٨٥	تأثير التعرية بالمسييلات الجبلية على حافة ظهر ميمون إلتوائية النشأة فى "جبال الحجر" بسلطنة عمان	٧-٢	٤١
٨٦	مجموعة حافات شديدة الميل ناتجة عن حركة إلتوائية	٨-٢	٤٢
٨٧	حافة ظهر ميمون إلتوائية النشأة بالقرب من "جبل حفيت" بدولة الإمارات	٩-٢	٤٣
٩٠	حافة صدعية على ساحل منطقة رأس مسندم فى سلطنة عمان	١٠-٢	٤٤
٩٢	مرئية فضائية للبحر الميت و نهر الأردن التى يتفق إتجاههما مع إمتداد الأحود الإفريقى العظيم	١١-٢	٤٥
٩٦	فحوصات ناتجة عن إنحباس الغازات البركانية داخل الماحما على هوامش بركان "استرمبولى"	١٢-٢	٤٦
٩٦	مخروط ثانوى يتكون من الرماد البركانى على منحدرات بركان إتنا الإيطالى	١٣-٢	٤٧

٩٧	بركان مخروطي ثانوي يكسوه غطاء نباتي كثيف	١٤-٢	٤٨
٩٩	قبة بركانية يبلغ قطرها حوالي ١٥ كم تأثر سطحها بفعل عوامل التعرية	١٥-٢	٤٩
١٠١	حمم بازلتية مائعة تتحرك بسرعة على سطح الأرض	١٦-٢	٥٠
١٠٢	فرشسات من الحمم البركاني تغطي سطح الأرض بالقرب من بركان "فيزوف"	١٧-٢	٥١
١٠٣	نفق بركاني يبلغ قطره حوالي ٦ أمتار في جزر هاواي	١٨-٢	٥٢
١٠٣	نفقان بركانيان متقاطعان يبلغ قطرها حوالي الأمتار الأربعة	١٩-٢	٥٣
١٠٤	مداخل لكهوف بركانية في جزيرة "فولكانو" الإيطالية	٢٠-٢	٥٤
١٠٥	صورة جوية مائلة Oplique لدلتا مثلثة الشكل مكونة من إنسياب حمم بركان "Kilauea" بجزر "هاواي"	٢١-٢	٥٥
١٠٥	رأية من الحمم تشرف على ميناء للقوارب في جزيرة "فولكانو" الإيطالية	٢٢-٢	٥٦
١٠٦	رأية ضخمة من الحمم البركانية القديمة تعرضت للإرتلاق الأرضي	٢٣-٢	٥٧
١٠٧	كومة من الحمم البركانية المتصلبة تعرضت قمتها لفعل التعرية	٢٤-٢	٥٨
١٠٧	كومة من الحمم على هوامش أحد البراكين الثانوية المتكونة على بركان "إتنا" المخروطي	٢٥-٢	٥٩
١٠٨	بحيرة بركانية طويلة الشكل ناتجة عن إنسياب الحمم عبر قناة تخرج من فوهة بركان "Kupainanaha"	٢٦-٢	٦٠
١٠٩	جزيرة متصلة من الحمم القديمة ينمو عليها غطاء نباتي كثيف من الأشجار ومحاطة بحمم بازلتية حديثة	٢٧-٢	٦١
١٠٩	مفتحات من الحمم المتصلبة تفتش سطح الأرض بالقرب من بركان "Kilauea"	٢٨-٢	٦٢
١١٠	كتل من السيكونيا بيضاوية يصل قطرها لحوالي ١٢ سنتيمتر	٢٩-٢	٦٣

١١٠	حصوات من السيكونيا الدقيقة الحبيبات تم جمعها من تخوم بركان "استرمبول" بالقرب من مدينة "نابولي" الإيطالية	٣٠-٢	٦٤
١١١	حمم متوهجة عملت على إقتلاع جذع شجرة	٣١-٢	٦٥
١١٣	كمية من الشعر البركاني المقتول على سطح إنسيابات الحمم المنبثقة من بركان "Kilauea" في جزر "هاواي"	٣٢-٢	٦٦
١١٤	كتلة متصلة من رقائق الحمم "ليمو" التي قذفها بركان "Kilauea" في جزر "هاواي"	٣٣-٢	٦٧
١١٤	منظر مكبر تحت المهر لإحدى حبيبات الرماد ضمن مقذوفات بركان "Mount St. Helens"	٣٤-٢	٦٨
١١٦	منعطف في قناة ناتجة عن تدفق الحمم من بركان "Kilauea"	٣٥-٢	٦٩
١١٧	حمم بازلتية غليظة القوام متصلة من نوع "باهوهو"	٣٦-٢	٧٠
١١٧	حمم مجدولة من نوع "آه آه" على منحدرات بركان إتنا بالقرب من مدينة "كاتانيا" بجزيرة صقلية الإيطالية	٣٧-٢	٧١
١١٨	بركان طين لا يتجاوز إرتفاعه ٤٠ سنتيمتر مصاحباً لنشاط الفوارات الحارة	٣٨-٢	٧٢
١١٩	رابية متكلسة حول فوهة مدخنة	٣٩-٢	٧٣
١٢١	مرسية فضائية لمخروط بركاني خامد يتعرض لعمليات التحوية وعوامل النحت البحري وفعل الرياح في جزر القمر	٤٠-٢	٧٤
١٢١	عنق بركاني متبقى عن بركان خامد تعرض لعوامل التعرية	٤١-٢	٧٥
١٢٣	بحيرة بركانية أثبتت داخلها مخروط بركاني ثانوي	٤٢-٢	٧٦
١٢٤	بحيرة منخفضة المنسوب "مار" يبلغ قطرها حوالي ٣٠٠ متر	٤٣-٢	٧٧
١٢٧	فوهة بركان "Panum" تظهر داخلها قبة محاطة بملقة محدودة الإرتفاع من التوفا	٤٤-٢	٧٨

١٢٧	٤٥-٢	٧٩	مسيلات جبلية ناتجة عن فعل التعرية المائية بالقرب من فوهة بركان "فولكانو" الإيطالي
١٤١	١-٣	٨٠	مسيل مائي يشكل اللبنة الأولى لتكوين النظام النهري
١٤٨	٢-٣	٨١	التعميق الرأسى القديم لنهر العاصي (بسوريا)
١٨١	٣-٣	٨٢	مسيل جبلي شديد الانحدار على أحد جوانب وادي "خوالى" في سوريا
١٨٣	٤-٣	٨٣	خائق غمرى في وادي "خميس" بمنطقة "حتا" - الإمارات
١٨٤	٥-٣	٨٤	مجموعة متتابعة من الحفر الوعائية ساعدت على التعميق الرأسى لنهر سوكا Soca في سلوفينيا
١٨٤	٦-٣	٨٥	حفرة وعائية تتكون على قاع أحد الروافد العليا لوداي "خميس" بمنطقة "حتا" - الإمارات
١٩١	٧-٣	٨٦	منعطف غمرى قرب مصب نهر أم الربيع بالمغرب
١٩١	٨-٣	٨٧	منعطف في نهر سافا Sava في سلوفينيا
١٩٧	٩-٣	٨٨	بحيرة مُقْتَطَعَة عن منعطف غمرى
١٩٧	١٠-٣	٨٩	مرئية فضائية لدلتا نهر لينا - روسيا
١٩٩	١١-٣	٩٠	صورة جوية مائلة لجارى ضفيرية
٢٠٢	١٢-٣	٩١	صورة جوية لمروحة وادي "البيح" بإمارة رأس الخيمة بدولة الإمارات
٢١١	١٣-٣	٩٢	نهر عاود تعميقه رأسياً في منعطف غمرى نتيجة إنخفاض مستوى القاعدة
٢١١	١٤-٣	٩٣	منعطف غمرى مُتعمق
٢٢٨	١-٤	٩٤	صورة مركبة لساحل إلتوائى النشأة تعرض محوره للتعرية الساحلية النشطة

٢٣٤	كهف كارسبي تكون عند أقدام جرف بحري	٢-٤	٩٥
٢٣٦	مرثية فضائية لساحل دلتا النيل مأخوذة من مكوك الفضاء	٣-٤	٩٦
٢٣٧	دلستا (مروحة فيضية) عند مصب أحد الأودية الجافة المقطعة لحافة إنكسارية	٤-٤	٩٧
٢٤١	كتبان رملية ساحلية جنوب مصب نهر أم الربيع في المحيط الأطلسي بالمغرب	٥-٤	٩٨
٢٤٧	حمم بركانية متصلة على سواحل جزيرة فولكانو شمالي جزيرة صقلية الإيطالية	٦-٤	٩٩
٢٤٨	جرف بحري إنكساري النشأة	٧-٤	١٠٠
٢٤٩	مرثية فضائية لساحل "سانت أندرياس" الانكساري	٨-٤	١٠١
٢٥٠	صورة مركبة توضح إلتواء مضجع بمنطقة المعينة بالقرب من مدينة نويبع	٩-٤	١٠٢
٢٥٢	جرف بحري نشط على سواحل منطقة "المغسيل" جنوب مدينة "صلالة" بسلطنة عُمان	١٠-٤	١٠٣
٢٥٤	رصيف وثغرة ناتجة عن تراجع جرف بحري بمنطقة "عجينة"	١١-٤	١٠٤
٢٥٤	رصيف بحري تحاتي قدس يظهر أسفله كهف بمنطقة "Torre dell' Orso" جنوب إيطاليا	١٢-٤	١٠٥
٢٥٥	رصيفان بحريان على ساحل جزيرة "قشم" الإيرانية	١٣-٤	١٠٦
٢٥٧	رصيف حديث لايزيد إرتفاعه عن متر واحد على ساحل "كلبا" بالإمارات	١٤-٤	١٠٧
٢٥٧	رصيف بحري تحاتي يتعرض لقفل الرطوبة والجفاف بالقرب من منطقة "الروشة" في بيروت	١٥-٤	١٠٨
٢٥٩	رصيف بحري تحاتي يظهر أسفله رصيف إذابة تحت مستوى مياه البحر في منطقة "عجينة" غرب مدينة "مطروح"	١٦-٤	١٠٩



٢٥٩	رصيف بحرى تحتى يتأثر بفعل النحت الحيوى بالطحالب والأشنيات البحرية جنوبى مدينة بيروت	١٧-٤	١١٠
٢٦١	مدخل كهف بحرى جنوب مدينة "Otranto" الإيطالية	١٨-٤	١١١
٢٦١	كهف ومصطبة بحرية فى جزيرة "Hilbre" بالقرب من مدينة "ليفربول" بريطانيا	١٩-٤	١١٢
٢٦٣	قوس بحرى مكون فى الأحجار الرملية فى جزيرة "Hilbre" بالقرب من مدينة "ليفربول" بريطانيا	٢٠-٤	١١٣
٢٦٣	القوس البحرى الشهير المقابل لمدينة "بيروت"	٢١-٤	١١٤
٢٦٥	ثقب إنفجارى على ساحل منطقة المغسيل جنوب مدينة صلالة	٢٢-٤	١١٥
٢٦٦	مسلة بحرية بمنطقة "العقة" على ساحل خليج عُمان بالإمارات	٢٣-٤	١١٦
٢٦٩	مدخل بحرى فى منطقة "مارينا سيرا Marina Serra" بجنوب إيطاليا المطل على البحر الإدرىاتى	٢٤-٤	١١٧
٢٧٢	صورة جوية توضح مجموعة حواجز بحرية موازية لخط الساحل فى إمارة رأس الخيمة بدولة الإمارات	٢٥-٤	١١٨
٢٧٣	بعض الحواجز الإرسابية الناتجة عن تيارات الجزر عند مصب نهر أم الربيع فى المحيط الأطلسى بالمغرب	٢٦-٤	١١٩
٢٧٥	لسان بحرى بازغ فوق مستوى سطح البحر أثناء فترة الجزر بساحل رأس سدر	٢٧-٤	١٢٠
٢٧٥	بعض أشكال علامات التماوج الناتجة عن تيارات الجزر على الألسنة البحرية على ساحل رأس "سدر" بالبحر الأحمر	٢٨-٤	١٢١
٢٧٧	صورة جوية توضح خطاف بحرى فى إمارة أم القيوين بدولة الإمارات	٢٩-٤	١٢٢
٢٨١	تومبولو وحيد اللسان يقع شمال مدينة "كاتانيا" فى جزيرة صقلية الإيطالية	٣٠-٤	١٢٣

٢٨٤	شاطئ حصوى جنوب مدينة الزعفرانة على ساحل البحر الأحمر	٣١-٤	١٢٤
٢٨٨	بحيرة ساحلية مغلقة صغيرة المساحة للشمال من مدينة "الزعفرانة" على ساحل البحر الأحمر	٣٢-٤	١٢٥
٢٨٩	بحيرة "الوليدية" الساحلية الواقعة على ساحل المحيط الأطلسي بالمغرب	٣٣-٤	١٢٦
٢٩٤	شعاب مرجانية متصلة على ساحل جزيرة "قشم" الإيرانية	٣٤-٤	١٢٧
٢٩٧	صور جوية لأنتين من الجزر المرجانية التي ترسبت فوقها طبقة من الرمل بفعل الأمواج والتيارات البحرية والتيارات المد والجزر قبالة إمارة أبوظبي	٣٥-٤	١٢٨
٢٩٨	جزيرة حلقيية تعرضت للهبوط غير المتساوي ضمن أرخبيل "بولينيزيا polynesia"	٣٦-٤	١٢٩
٢٩٨	جزيرة حلقيية تُدعى "Baker Island" ضمن مجموعة جزر "هاواي" بالمحيط الهادى	٣٧-٤	١٣٠
٢٩٨	جزيرة حلقيية بالمحيط الهادى تكونت فيها بحيرة تحتل فوهة بركان قديم	٣٨-٤	١٣١
٣٠١	ساحل يتشكل من المحاربات فى خور كلبا الواقع على خليج عُمان بدولة الإمارات	٣٩-٤	١٣٢
٣٠٣	صورة جوية لبعض قنوات الجزر التى تنتشر على ضفافها شجيرات القرم على سواحل إمارة رأس الخيمة بدولة الإمارات	٤٠-٤	١٣٣
٣٠٤	شجيرات القرم الكثيفة على ساحل خور "كلبا" الواقع على خليج عُمان بدولة الإمارات	٤١-٤	١٣٤
٣١٧	آثار عملية تدرية الرياح لحبيبات مفككة من الرمل على سواحل البحر الأحمر شمال مدينة "رأس غارب"	١-٥	١٣٥

١٣٦	٢-٥	صورة جوية مائلة لأشكال اليرداتج الطولية المتوازية في صحراء "لوت" Lut الإيرانية	٣٢٠
١٣٧	٣-٥	صورة جوية لواجهة صحراوية محاطة بالكتبان الرملية	٣٢١
١٣٨	٤-٥	مرئية فضائية لواجهة "تركزي Terkezi Oasis" في تشاد	٣٢٣
١٣٩	٥-٥	مجموعة فواصل رأسية متوازية تعمل على الانفصال التدريجي لمجموعة من المداخن الصحراوية عن طريق توغل عمليات السحوية وتذرية المواد المخواه بالرياح ، في جبال دولوميت في شمال إيطاليا	٣٢٤
١٤٠	٦-٥	أعمدة ترابية في منطقة Drof Tirol شمال إيطاليا	٣٢٦
١٤١	٧-٥	أعمدة ترابية في طور التكوين في منطقة Drof Tirol شمال إيطاليا	٣٢٧
١٤٢	٨-٥	إحدى كتل البطيخ المصقول في منطقة كوم أو شيم على الأطراف الشمالية لمنخفض الفيوم	٣٢٨
١٤٣	٩-٥	إحدى كتل البطيخ المصقول في منطقة كوم أو شيم على الأطراف الشمالية لمنخفض الفيوم تأثرت بعمليات التحوية الميكانيكية	٣٢٨
١٤٤	١٠-٥	مرئية فضائية توضح أنواع مختلفة من الكتبان الرملية تغطي صحراء ناميب في ناميبيا	٣٣٣
١٤٥	١١-٥	تراكم الرمال عند اصطدامها بالنباتات الصحراوية مكونة نباك لا يتجاوز إرتفاعها ٥٠-٦٠ سنتيمتر في منطقة "الزعرانة"	٣٣٧
١٤٦	١٢-٥	أشرطة رملية ترسبت عند إعتراض حافة جبال الحجر - بسلطنة عُمان - لإتجاه الريح فأرغمتها على ترسيب ما تحمله من رمال	٣٣٨
١٤٧	١٣-٥	كتيب هلالى بالقرب من قرية "الشويب" بدولة الإمارات العربية المتحدة	٣٤٠

١٤٨	١٤-٥	صورة جوية رأسية لكتبان هلالية في القسم الجنوبي الغربي من إمارة أبوظبي ، لاحظ إمتداد قرون البرحانات في إتجاه منصرف الريح	٣٤٠
١٤٩	١٥-٥	مجموعة كتبان رملية مستعرضة بالقرب من قرية "الشويب" بدولة الإمارات	٣٤٥
١٥٠	١٦-٥	صورة جوية رأسية لكتبان رملية مستعرضة جنوب منطقة الظفرة في القسم الغربي من إمارة أبوظبي بدولة الإمارات	٣٤٥
١٥١	١٧-٥	مرتبة فضائية للكتبان الرملية في الربع الخالي	٣٤٩
١٥٢	١-٦	قطرة من نواتج ذوبان الحجر الجيري متدلية من عمود نازل بسقف كهف كارسبي نشط	٣٥٧
١٥٣	٢-٦	الجانب الشمالي من حفرة إذابة "طوى أعتير" بولاية مبراط في محافظة ظفار بسلطنة عُمان	٣٦٤
١٥٤	٣-٦	بالوعة إذابة في منطقة Rakov Skocjan في سلوفنيا	٣٦٧
١٥٥	٤-٦	مدخل كهف طيق في سلطنة عُمان	٣٦٧
١٥٦	٥-٦	فوهة بالوعة إذابة مركبة في منطقة Rakov Skocjan في سلوفنيا	٣٧١
١٥٧	٦-٦	حوائط مشرشرة Walkarren قرب كهف طيق بولاية مبراط في محافظة ظفار، سلطنة عُمان	٣٧٥
١٥٨	٧-٦	تشرشر جدولي Rillenkarren بالقرب من كهف طيق بولاية مبراط في محافظة ظفار ، سلطنة عُمان	٣٧٥
١٥٩	٨-٦	كتل صخرية مُفككة بالتجويع الميكانيكية على طول نظم الفواصل المتعامدة	٣٧٧
١٦٠	٩-٦	تشرشر دائري Roundkarren يشبه قناة مائية مسوّاة القاع في حوض وادي دربات بمنطقة صلالة في سلطنة عُمان	٣٧٩

١٦١	١٠-٦	مدرجات ترافرتين تكونت على أرضية كهف Skocjanske في سلوفينيا	٣٨١
١٦٢	١١-٦	كوبرى طبيعى في منطقة الروشة - بيروت بلبنان	٣٨٢
١٦٣	١٢-٦	تلال كارستية متبقية عن فعل الإذابة في منطقة مشنّ الحلو بسوريا	٣٨٢
١٦٤	١٣-٦	أعمدة أبرية نازلة من سقف كهف	٣٩٠
١٦٥	١٤-٦	أعمدة نازلة من سقف أحد الكهوف	٣٩٠
١٦٦	١٥-٦	مدخل كهف مثلث الشكل ينتهى إليه وادى أعمى في منطقة Rakov Skocjan في سلوفينيا	٣٩٥
١٦٧	١٦-٦	أثنين من مداخل الكهوف يفصل بينهما بالوعة إغيارية في منطقة Rakov Skocjan في سلوفينيا	٣٩٥
١٦٨	١٧-٦	مدخل كهف بيضاوى الشكل يظهر بدخلة بحرى مائى جوفى في منطقة Rakov Skocjan في سلوفينيا	٣٩٧
١٦٩	١-٧	مرئية فضائية لمجموعة من الأودية الجليدية	٤٢١
١٧٠	٢-٧	إحدى التلجيات التى تنبع من جبل "أورتلز Ortles" أعلى قمم محمية "ستيلفيو Stelvio" الممتدة في أراضي شمال إيطاليا وجنوب سويسرا	٤٢١
١٧١	٣-٧	شق رأسى يظهر على السطح العلوى لإحدى تلجيات نطاق الألب الأوسط شمال إيطاليا	٤٢٤
١٧٢	٤-٧	حدوش وحدود ناتجة عن احتكاك الجليد المتحرك وفعل الصقيع على حافة جبل "تريجلاف Triglav" في سلوفينيا	٤٢٧
١٧٣	٥-٧	شقوف عرضية على مقدمة إحدى التلجيات في منطقة Stillfser Joch	٤٢٧
١٧٤	٦-٧	شقوف طولية ناتجة عن تحرك الجليد على المنحدر	٤٢٩

١٧٥	٧-٧	مقطع عرضي على شكل حرف U لنهر "شوكا Soca" في سلوفينيا	٤٣١
١٧٦	٨-٧	مقطع عرضي في واد جليدي النشأة	٤٣١
١٧٧	٩-٧	آثار الاحتكاك بالجليد على أحد جوانب قمة جبل Ortles (٣٣٨٦ متر) في محمية Stelvio في شمال إيطاليا	٤٣٣
١٧٨	١٠-٧	حذوذ الصقل والاحتكاك بالجليد تظهر على قاع إحدى التلجيات	٤٣٤
١٧٩	١١-٧	حلبة جليدية بدأت في التكون على أحد جوانب قمة جبل Ortles (٣٣٨٦ متر) في محمية Stelvio في شمال إيطاليا	٤٣٦
١٨٠	١٢-٧	مجموعة حلقات جليدية تنكشف بعد ذوبان الجليد	٤٣٧
١٨١	١٣-٧	قمة هرمية لجبل Cervino على منسوب ٤٤٧٨ متر عند المنابع العليا لوادي Marmore أحد روافد وادي أوسا شمال غرب إيطاليا	٤٣٩
١٨٢	١٤-٧	حفرة طولية (هوة هامشية Randkluft) تفصل بين القسم العلوي من حلبة والحافة الصخرية المتاخمة لها	٤٤١
١٨٣	١٥-٧	عتبة جليدية تظهر بعد ذوبان الجليد في أحد روافد وادي "ترافوي Trafoi" على منسوب ٢٢٥٤ متر في محمية Stelvio بشمال إيطاليا	٤٤٣
١٨٤	١٦-٧	وادي مُعلّق عند المنابع العليا لوادي Schnals شمال قرية Kurzras على منسوب ٢٨٥٠ متر شمال إيطاليا	٤٤٦
١٨٥	١٧-٧	كتلة ضالة متبقية عن النقل الجليدي ثم تفككت بالإنجوية العضوية الناجمة عن نمو جذور شجرة داخل الفواصل الصخرية في وادي "شوكا Soca"	٤٤٨
١٨٦	١٨-٧	مرئية فضائية لمجموعة فيوردات شمال غرب جزيرة أيسلندا	٤٥١

١٨٧	١٩-٧	حفرة يصل عمقها لحوالي ٣٠ متر بقطر يبلغ نحو ١٥ متر ناتجة عن تساقط مياه الجليد المنصهر من أحد الأودية المعلقة	٤٥٣
١٨٨	٢٠-٧	تراكم حصوات مجواه على السطح الجانبي لإحدى ثلجات محمية Stelvio شمال إيطاليا، وقد تكون هذه الحصوات ركاماً جانبياً بعد ذوبان الجليد	٤٥٥
١٨٩	٢١-٧	مرئية فضائية لأحد الأودية الجليدية تظهر عليه الركامات الجانبية والوسطى	٤٥٦
١٩٠	٢٢-٧	بعض الحصوات الصخرية ملتصقة بأرضية ثلاجة زاحفة في وادي "سشنالز Schnals" في سلسلة جبال الألب بالقرب من الحدود الإيطالية / السويسرية	٤٥٧
١٩١	٢٣-٧	ركام أمامي مدفوع في مقدمة ثلاجة Marmore Valley أحد روافد وادي Aosta على الحدود الإيطالية الفرنسية	٤٥٨
١٩٢	٢٤-٧	مقدمة ثلاجة ثانوية تدفع أمامها بعض الحصوات في وادي "ترافوي Trafoi" بجبال الألب الإيطالية	٤٥٨
١٩٣	٢٥-٧	مراوح رسوبية ناتجة عن تراكم نواتج إنصهار الجليد على جوانب وادي "شوكا Soca" في سلوفينيا	٤٦١
١٩٤	٢٦-٧	حصوات وحبيبات تراكم على مقدمة إحدى ثلجات جبال الألب الإيطالية نتيجة ذوبان الجليد	٤٦٢
١٩٥	٢٧-٧	زيادة نشاط ذوبان الجليد عند المواضع التي تنطمر بها الحصوات المنقولة داخل جسم ثلاجة بالقرب من جبل "متسبيتز Mutspitze". بمنطقة "دروف تيول Drof Tirol" بجبال الألب الإيطالية	٤٦٣
١٩٦	٢٨-٧	بركة ناتجة عن تجمع المياه المنصهرة عند إلتقاء إحدى الروافد المعلقة بالمجرى الرئيسي لوادي "ترافوي Trafoi" في نطاق جبال الألب الإيطالية	٤٦٤

٤٦٥	كهف Paradise ١٤ جليدي في منطقة Mount Rainier في نيوزيلندا	٢٩-٧	١٩٧
٤٦٥	جسر جليدي ضمن مجموعة كهوف جليدية في منطقة Big Four Ice Caves إقليم Everett, Washington بالولايات المتحدة	٣٠-٧	١٩٨



